

การตัดแปรpolypropyleneชักซิเนตด้วยเทคนิคการอัดรีดแบบบริเอกทีฟเพื่อใช้เป็นสารคุ่มคุบ
สำหรับออร์แกโนเคลร์/polypropyleneชักซิเนตคอมโพสิต

นางสาววนาลี ตันศิริ



จุฬาลงกรณ์มหาวิทยาลัย

CHULALONGKORN UNIVERSITY

บทคัดย่อและแฟ้มข้อมูลฉบับเต็มของวิทยานิพนธ์ตั้งแต่ปีการศึกษา 2554 ที่ให้บริการในคลังปัญญาจุฬาฯ (CUIR)
เป็นแฟ้มข้อมูลของนิสิตเจ้าของวิทยานิพนธ์ ที่ส่งผ่านทางบัณฑิตวิทยาลัย

The abstract and full text of theses from the academic year 2011 in Chulalongkorn University Intellectual Repository (CUIR)

are the thesis authors' files submitted through the University Graduate School.

วิทยานิพนธ์นี้เป็นส่วนหนึ่งของการศึกษาตามหลักสูตรปริญญาวิทยาศาสตรมหาบัณฑิต
สาขาวิชาวิทยาศาสตร์พลิเมอร์ประยุกต์และเทคโนโลยีสิ่งทอ ภาควิชาวัสดุศาสตร์
คณะวิทยาศาสตร์ จุฬาลงกรณ์มหาวิทยาลัย

ปีการศึกษา 2557

ลิขสิทธิ์ของจุฬาลงกรณ์มหาวิทยาลัย

MODIFICATION OF POLY(BUTYLENE SUCCINATE) BY REACTIVE EXTRUSION TECHNIQUE
AS A COUPLING AGENT FOR ORGANOCLAY/POLY(BUTYLENE SUCCINATE) COMPOSITES



A Thesis Submitted in Partial Fulfillment of the Requirements
for the Degree of Master of Science Program in Applied Polymer Science and Textile
Technology
Department of Materials Science
Faculty of Science
Chulalongkorn University
Academic Year 2014
Copyright of Chulalongkorn University

หัวข้อวิทยานิพนธ์

การดัดแปลงอิเล็กทรอนิกส์เพื่อใช้เป็นสารคูณควบสำหรับออร์แกโนเคเลอร์/
พอลิบีวิลีนซัคชีเนตคอมพьюต

โดย

นางสาววนาถี ตันศิริ

สาขาวิชา

วิทยาศาสตร์พอลิเมอร์ประยุกต์และเทคโนโลยีสิ่งทอ

อาจารย์ที่ปรึกษาวิทยานิพนธ์หลัก

รองศาสตราจารย์ ดร. ประณัฐ โพธิยะราช

คณะกรรมการสอนวิทยานิพนธ์
อนุมัติให้นับวิทยานิพนธ์ฉบับนี้เป็นส่วนหนึ่ง
ของการศึกษาตามหลักสูตรปริญญามหาบัณฑิต

คณะกรรมการสอนวิทยานิพนธ์

(ศาสตราจารย์ ดร. สุพจน์ หารหนองบัว)

คณะกรรมการสอนวิทยานิพนธ์

ประธานกรรมการ

(ผู้ช่วยศาสตราจารย์ ดร. สิรีรัตน์ จากรุจินดา)

อาจารย์ที่ปรึกษาวิทยานิพนธ์หลัก

(รองศาสตราจารย์ ดร. ประณัฐ โพธิยะราช)

กรรมการ

(รองศาสตราจารย์ ดร. ดวงดาว อากองค์)

กรรมการ

(รองศาสตราจารย์ ดร. ภาวดี ศรีภูมิ)

กรรมการภายนอกมหาวิทยาลัย

(รองศาสตราจารย์ ไพบูลย์ สันติสุข)

วนาลี ตันศิริ : การดัดแปลงอลิบิวทิลีนซักซิเนตด้วยเทคนิคการอัดรีดแบบบีฟเพื่อใช้เป็นสารคุ่มควบสำหรับออร์แกโนเคลย์/อลิบิวทิลีนซักซิเนตคอมโพสิต (MODIFICATION OF POLY(BUTYLENE SUCCINATE) BY REACTIVE EXTRUSION TECHNIQUE AS A COUPLING AGENT FOR ORGANOCLAY/POLY(BUTYLENE SUCCINATE) COMPOSITES) อ.ที่ปรึกษาวิทยานิพนธ์หลัก: รศ. ดร. ประณัฐ โพธิยะราช, 147 หน้า.

งานวิจัยนี้เป็นการนำเทคนิคการอัดรีดแบบบีฟมาดัดแปลงอลิบิวทิลีนซักซิเนตให้มีหมู่ฟังก์ชันที่เหมาะสมเพื่อใช้เป็นสารคุ่มควบสำหรับพอลิบิวทิลีนซักซิเนตคอมโพสิต รวมทั้งศึกษาผลของชนิดและปริมาณการใช้สารคุ่มควบที่เตรียมได้ต่อสมบัติของพอลิบิวทิลีนซักซิเนต/ออร์แกโนเคลย์คอมโพสิต งานวิจัยเริ่มจากการดัดแปลงอลิบิวทิลีนซักซิเนตโดยการต่อ กิ่งในเครื่องอัดรีดสกรูด้วยมาเลอิกแอนไฮไดรต์และไกลซิเดียมทาคริเลต จากนั้นวิเคราะห์มาเลอิกแอนไฮไดรต์กราฟต์พอลิบิวทิลีนซักซิเนตและไกลซิเดียมทาคริเลตกราฟต์พอลิบิวทิลีนซักซิเนตที่เตรียมได้ด้วยเทคนิคฟูเรียร์ทรานส์ฟอร์મอินฟราเรดสเปกโตรสโคปีและนิวเคลียร์แมกเนติกเรโซแนนซ์สเปกโตรสโคปีเพื่อยืนยันผลของการดัดแปลงอลิบิวทิลีนซักซิเนตด้วยหมู่ฟังก์ชันทั้งสองชนิด ซึ่งผลการวิเคราะห์พบว่าสามารถกราฟต์มาเลอิกแอนไฮไดรต์และไกลซิเดียมทาคริเลตลงบนพอลิบิวทิลีนซักซิเนตได้ จากนั้นนำสารคุ่มควบตั้งกล่าวมาเตรียมพอลิบิวทิลีนซักซิเนตคอมโพสิต โดยใช้ออร์แกโนเคลย์ในปริมาณสัดส่วนต่างๆ เป็นสารเสริมแรง แล้วเปรียบเทียบผลของการใช้สารคุ่มควบแต่ละชนิดต่อสมบัติเชิงกลและสมบัติทางความร้อนของพอลิบิวทิลีนซักซิเนตคอมโพสิต พบว่าคอมพอสิตที่ใช้พอลิบิวทิลีนซักซิเนตกราฟต์ด้วยไกลซิเดียมทาคริเลตเป็นสารคุ่มมีสมบัติเชิงกลที่ดีกว่าการใช้พอลิบิวทิลีนซักซิเนตกราฟต์ด้วยมาเลอิกแอนไฮไดรต์ อีกทั้งยังเพิ่มอุณหภูมิการหลอมพลีกของคอมพอสิตได้เล็กน้อย นอกจากนี้ยังพบว่าคอมพอสิตที่ใช้สารคุ่มควบไกลซิเดียมทาคริเลตกราฟต์พอลิบิวทิลีนซักซิเนตและสารเสริมแรงออร์แกโนเคลย์ที่ 5 และ 0.5 phr ตามลำดับ มีสมบัติเชิงกล ได้แก่ ความทนแรงดึง ความยืดสูงสุด ณ จุดขาด และความทนแรงกระแทกดีที่สุด เนื่องจากสารคุ่มควบไปช่วยเพิ่มอันตรกิริยาระหว่างพอลิบิวทิลีนซักซิเนตและออร์แกโนเคลย์ซึ่งสอดคล้องกับการตรวจสอบสัณฐานวิทยา สำหรับสมบัติทางความร้อนเมื่อใช้สารคุ่มควบชนิดนี้พบว่าไม่ส่งผลกระทบต่อค่าของอุณหภูมิการสลายตัวของคอมพอสิต

ภาควิชา	วัสดุศาสตร์	ลายมือชื่อนิสิต
สาขาวิชา	วิทยาศาสตร์พอลิเมอร์ประยุกต์และ เทคโนโลยีสิ่งทอ	ลายมือชื่อ อ.ที่ปรึกษาหลัก

5672173723 : MAJOR APPLIED POLYMER SCIENCE AND TEXTILE TECHNOLOGY

KEYWORDS: POLY(BUTYLENE SUCCINATE) / COMPOSITE / ORGANOCLAY / COUPLING AGENT

VANALEE TANSIRI: MODIFICATION OF POLY(BUTYLENE SUCCINATE) BY REACTIVE EXTRUSION TECHNIQUE AS A COUPLING AGENT FOR ORGANOCLAY/POLY(BUTYLENE SUCCINATE) COMPOSITES. ADVISOR: ASSOC. PROF. PRANUT POTIYARAJ, Ph.D., 147 pp.

In this research, the reactive extrusion technique was applied in order to modify poly(butylene succinate) with appropriate functional groups which was then utilized as a coupling agent for poly(butylene succinate) composites. The effects of types and amounts of the prepared coupling agents on the properties of organoclay/poly(butylene succinate) composites were also investigated. Initially, the modification of poly(butylene succinate) was carried out by grafting with maleic anhydride and glycidyl methacrylate in a twin-screw extruder. The obtained maleic anhydride grafted poly(butylene succinate) and glycidyl methacrylate grafted poly(butylene succinate) were analyzed by FTIR and NMR spectroscopy techniques to confirm the successful grafting. The results illustrated that both functional groups could be grafted onto poly(butylene succinate) by this technique. After that, the coupling agents were used for preparing poly(butylene succinate) composites filled with organoclay at various ratios as a reinforcement. The mechanical and thermal properties of poly(butylene succinate) composites with two different coupling agents were compared. It was found that the composites with glycidyl methacrylate grafted poly(butylene succinate) as a coupling agent showed better mechanical properties than those of composites with maleic anhydride grafted poly(butylene succinate) as a coupling agent. The melting temperature of composites with glycidyl methacrylate grafted poly(butylene succinate) as a coupling agent also slightly increased. Furthermore, the composites with glycidyl methacrylate grafted poly(butylene succinate) and organoclay at respectively 5 and 0.5 parts per hundred resin (phr) exhibited the highest mechanical properties, namely, tensile strength, elongation at break and impact strength due to the fact that the coupling agent promotes interaction between poly(butylene succinate) and organoclay. The results were in agreement with the morphological study. As for the thermal property, the utilization of coupling agent did not significantly affect the thermal degradation temperature of the composites.

Department: Materials Science Student's Signature

Field of Study: Applied Polymer Science and Advisor's Signature

Textile Technology

Academic Year: 2014

กิตติกรรมประกาศ

งานวิจัยครั้งนี้ผู้วิจัยขอขอบพระคุณ รองศาสตราจารย์ ดร.ประณัฐ โพธิยะราช อาจารย์ ที่ปรึกษาวิทยานิพนธ์ ที่ให้โอกาสผู้วิจัยในการทำวิจัยในครั้งนี้ รวมทั้งการให้ความรู้ คำปรึกษา คำแนะนำ การสนับสนุนเงินทุนในการจัดหาวัสดุอุปกรณ์เพื่อใช้ในการดำเนินงานวิจัยนี้ ตลอดจนถึงการดูแลเอาใจใส่และเสียสละเวลาในการตรวจสอบ แก้ไขวิทยานิพนธ์ฉบับนี้ให้ถูกต้อง สมบูรณ์

ขอขอบพระคุณผู้ช่วยศาสตราจารย์ ดร.สิรีรัตน์ จาธุ Jinida ที่สละเวลามาเป็นประชานสอบวิทยานิพนธ์

ขอขอบพระคุณรองศาสตราจารย์ ดร.ดวงดาว อาจองค์ รองศาสตราจารย์ ดร.กาวิศรีกุลกิจและรองศาสตราจารย์ไฟพรรณ สันติสุข ที่สละเวลามาเป็นกรรมสอบวิทยานิพนธ์

ขอขอบคุณทุน Project to Form a Hub for Human Resources development and New Industry Creation และ Professor Takaomi Kobayashi จากมหาวิทยาลัยเทคโนโลยีนาガโนะ ประเทศญี่ปุ่น ที่ให้โอกาสในการดำเนินงานวิจัยที่ต่างประเทศ

ขอขอบคุณภาควิชาวัสดุศาสตร์ คณะวิทยาศาสตร์ จุฬาลงกรณ์มหาวิทยาลัย ที่เอื้อเฟื้อสถานที่ เครื่องมือและอุปกรณ์ในการทำงานวิจัย รวมทั้งเจ้าหน้าที่ทุกท่านที่ได้อำนวยความสะดวก ในระหว่างการดำเนินงานวิจัย

ขอขอบคุณพี่ๆ และเพื่อนๆ ทุกคน ที่เคยให้คำปรึกษา และเคยช่วยเหลือในการทำงานวิจัยครั้งนี้

สุดท้ายนี้ ขอกราบขอบพระคุณบิดา มารดา ที่ให้การสนับสนุน และเคยให้กำลังใจในการทำงานวิจัยครั้งนี้ตลอดมาจนงานวิจัยนี้สำเร็จลุล่วงไปได้ด้วยดี

สารบัญ

หน้า

บทคัดย่อภาษาไทย.....	๑
บทคัดย่อภาษาอังกฤษ.....	๑
กิตติกรรมประกาศ.....	๒
สารบัญ.....	๓
สารบัญตาราง.....	๔
สารบัญรูป	๕
บทที่ 1 บทนำ	๑
1.1 ที่มาและความสำคัญของปัญหา	๑
1.2 วัตถุประสงค์ของงานวิจัย.....	๒
1.3 ประโยชน์ที่คาดว่าจะได้รับ.....	๒
บทที่ 2 วารสารปริทรรศน์.....	๓
2.1 พลاستิกย่อยสลายได้ทางชีวภาพ	๓
2.1.1 ความหมายของพลาสติกย่อยสลายได้ทางชีวภาพ.....	๓
2.1.2 ประเภทของพลาสติกย่อยสลายได้ทางชีวภาพ.....	๔
2.1.3 พอลิบิวทิลีนซักซิเนต.....	๕
2.2 พอลิเมอร์คอมโพสิต.....	๘
2.2.1 นิยามของคอมโพสิต.....	๘
2.2.2 ประเภทของคอมโพสิต	๙
2.2.3 ข้อดีของคอมโพสิต	๑๐
2.2.4 ตัวเติมเสริมแรง	๑๑
2.3 มอนเต็มอริลโลในตัดแปรหรือออร์แกโนเคลร์	๑๑
2.3.1 การกระจายตัวของออร์แกโนเคลร์ในพอลิเมอร์คอมโพสิต.....	๑๓

หน้า

2.3.2 เทคนิคการเตรียมพอลิเมอร์คอมโพสิตที่เสริมแรงด้วยออร์แกโนเคลย์	14
2.3.3 ลักษณะของเคลย์/พอลิเมอร์คอมโพสิต	15
2.4 สารคุ่มควร	16
2.4.1 กลไกการปรับปรุงการยึดระหัวงตัวเติมหรือสารเสริมแรงกับพอลิเมอร์โดยการใช้สารคุ่มควร	16
2.4.2 วิธีการนำสารคุ่มควรไปใช้งาน	17
2.4.3 พอลิบิวทิลีนซักซิเนตกราฟต์ด้วยมาเลอิกแอนไฮไดรด์	17
2.4.4 พอลิบิวทิลีนซักซิเนตกราฟต์ด้วยไกลซิดิลเมทาคริเลต	18
2.5 กระบวนการเตรียมพอลิเมอร์คอมโพสิตและการขึ้นรูปชิ้นงาน	19
2.5.1 การเตรียมพอลิเมอร์คอมโพสิตด้วยกระบวนการอัดรีด	19
2.5.2 กระบวนการขึ้นรูปชิ้นงานด้วยวิธีการฉีด	22
2.6 งานวิจัยที่เกี่ยวข้อง	22
บทที่ 3 วิธีดำเนินการวิจัย.....	27
3.1 ขั้นตอนการดำเนินงานและแผนงานวิจัย	27
3.2 วัตถุดิบและสารเคมีที่ใช้ในการทดลอง	27
3.3 เครื่องมือและอุปกรณ์ที่ใช้ในการทดลอง	28
3.4 ขั้นตอนการทดลอง	30
3.4.1 การสังเคราะห์พอลิบิวทิลีนซักซิเนต	30
3.4.2 ขั้นตอนการกราฟต์พอลิบิวทิลีนซักซิเนตด้วยมาเลอิกแอนไฮไดรด์และไกลซิดิลเมทาคริเลต	31
3.4.2.1 การกราฟต์พอลิบิวทิลีนซักซิเนตด้วยมาเลอิกแอนไฮไดรด์	31
3.4.2.2 การกราฟต์พอลิบิวทิลีนซักซิเนตด้วยไกลซิดิลเมทาคริเลต	33
3.4.3 การประเมินการกราฟต์ของพอลิบิวทิลีนซักซิเนตกราฟต์ด้วยมาเลอิกแอนไฮไดรด์ และไกลซิดิลเมทาคริเลต	34

3.4.3.1 การหาปริมาณการกราฟต์ของพอลิบิวทิลีนซักซิเนตกราฟต์ด้วยมาเลอิกเอนไซด์ร์	34
3.4.3.2 การหาปริมาณการกราฟต์ของพอลิบิวทิลีนซักซิเนตกราฟต์ด้วยไกลซิเดลเมทัคริเลต	34
3.4.4 การวิเคราะห์หมู่ฟังก์ชันของพอลิบิวทิลีนซักซิเนตกราฟต์ด้วยมาเลอิกเอนไซด์ร์ และไกลซิเดลเมทัคริเลต	35
3.4.5 การเตรียมพอลิบิวทิลีนซักซิเนตคอมพาวน์และชิ้นงาน	36
3.4.6 การทดสอบสมบัติของชิ้นงานพอลิบิวทิลีนซักซิเนตคอมพอยสิต	41
3.4.6.1 การทดสอบสมบัติเชิงกล	41
3.4.6.2 การทดสอบสัณฐานวิทยา	42
3.4.6.3 การทดสอบสมบัติทางความร้อน	43
3.4.6.4 การทดสอบสมบัติด้านความหนืด	45
บทที่ 4 ผลการทดลองและวิจารณ์ผลการทดลอง	46
4.1 การวิเคราะห์หมู่ฟังก์ชันของพอลิบิวทิลีนซักซิเนตสังเคราะห์	46
4.1.1 การวิเคราะห์ด้วยเทคนิค Fourier Transform Infrared Spectroscopy	46
4.1.2 การวิเคราะห์ด้วยเทคนิค Nuclear Magnetic Resonance Spectroscopy แบบ $^1\text{H-NMR}$	47
4.2 การวิเคราะห์หมู่ฟังก์ชันของพอลิบิวทิลีนซักซิเนตกราฟต์ด้วยมาเลอิกเอนไซด์ร์	47
4.2.1 การวิเคราะห์ด้วยเทคนิค Fourier Transform Infrared Spectroscopy	47
4.2.2 การวิเคราะห์ด้วยเทคนิค Nuclear Magnetic Resonance Spectroscopy แบบ $^1\text{H-NMR}$	48
4.2.3 การวิเคราะห์ด้วยเทคนิค Nuclear Magnetic Resonance Spectroscopy แบบ $^{13}\text{C-NMR}$	49
4.3 การวิเคราะห์หมู่ฟังก์ชันของพอลิบิวทิลีนซักซิเนตกราฟต์ด้วยไกลซิเดลเมทัคริเลต	50

4.3.1 การวิเคราะห์ด้วยเทคนิค Fourier Transform Infrared Spectroscopy	50
4.3.2 การวิเคราะห์ด้วยเทคนิค Nuclear Magnetic Resonance Spectroscopy แบบ ¹ H-NMR.....	51
4.3.3 การวิเคราะห์ด้วยเทคนิค Nuclear Magnetic Resonance Spectroscopy แบบ ¹³ C-NMR.....	52
4.4 การหาปริมาณการกราฟต์ของพอลิบิวทิลีนซักซิเนตกราฟต์ด้วยมาเลอิกแอนไฮไดรด์	53
4.5 การหาปริมาณการกราฟต์ของพอลิบิวทิลีนซักซิเนตกราฟต์ด้วยไกลซิเดียมทาคริเลต	54
4.6 สมบัติของพอลิบิวทิลีนซักซิเนตคอมพอสิตเพื่อศึกษาชนิดของสารคู่คุบที่ใช้	55
4.6.1 สมบัติเชิงกลของพอลิบิวทิลีนซักซิเนตคอมพอสิต	56
4.6.1.1 สมบัติด้านแรงดึง.....	56
4.6.1.2 ความทนแรงดัดโค้ง	59
4.6.1.3 ความทนแรงกระแทก	60
4.6.2 สมบัติทางความร้อนของพอลิบิวทิลีนซักซิเนตคอมพอสิต	61
4.6.3 ความหนืด.....	62
4.7 สมบัติของพอลิบิวทิลีนซักซิเนตคอมพอสิตเพื่อศึกษาอัตราส่วนระหว่างสารคู่คุบและสาร เสริมแรง	64
4.7.1 สมบัติเชิงกลของพอลิบิวทิลีนซักซิเนตคอมพอสิต	64
4.7.1.1 สมบัติด้านแรงดึง.....	64
4.7.1.2 ความทนแรงดัดโค้ง	67
4.7.1.3 ความทนแรงกระแทก	68
4.7.2 สัญญาณวิทยาของพอลิบิวทิลีนซักซิเนตคอมพอสิต	69
4.7.2.1 การตรวจสอบด้วยกล้องจุลทรรศน์อิเล็กตรอนแบบส่องกราด	69
4.7.2.2 การตรวจสอบด้วยเครื่องวิเคราะห์การเลี้ยวเบนรังสีเอกซ์	73
4.7.3 สมบัติทางความร้อนของพอลิบิวทิลีนซักซิเนตคอมพอสิต	76

4.7.3.1 การวิเคราะห์ด้วยเทคนิคการวิเคราะห์น้ำหนักภายในตัวความร้อน.....	76
4.7.3.2 การวิเคราะห์ด้วยเทคนิคดิฟเพอเรนเซียลสแกนนิ่งแคลอริมิทรี.....	79
บทที่ 5 สรุปผลการทดลองและข้อเสนอแนะ	82
5.1 สรุปผลการทดลอง.....	82
5.2 ข้อเสนอแนะ.....	83
รายการอ้างอิง	84
ภาคผนวก ก สมบัติด้านแรงดึง	91
ภาคผนวก ข ความทนแรงตัดโค้ง.....	106
ภาคผนวก ค ความทนแรงกระแทก	110
ภาคผนวก ง TGA Thermogram ของพอลิบิวทิลีนซักซิเนตคอมโพสิต	114
ภาคผนวก จ DSC Thermogram ของพอลิบิวทิลีนซักซิเนตคอมโพสิต	124
ภาคผนวก ฉ XRD pattern ของพอลิบิวทิลีนซักซิเนตคอมโพสิต.....	134
ภาคผนวก ช การวิเคราะห์ข้อมูลทางสถิติ.....	143
ประวัติผู้เขียนวิทยานิพนธ์	147

สารบัญตาราง

หน้า

ตารางที่ 3.1 อุณหภูมิและความเร็วตอบสกรูที่ใช้ในการกราฟต์พอลิบิวทิลีนซักซิเนตด้วยมาเลอิกแอนไฮไดรต์.....	33
ตารางที่ 3.2 อัตราส่วนผสมของพอลิบิวทิลีนซักซิเนตคอมพาวน์.....	37
ตารางที่ 3.3 อุณหภูมิและความเร็วตอบสกรูที่ใช้ในการขึ้นรูปชิ้นงาน.....	39
ตารางที่ 3.4 อัตราส่วนผสมของพอลิบิวทิลีนซักซิเนตคอมพาวน์ที่ใช้ในการศึกษาชนิดของสารคุ่ค魔兽.....	39
ตารางที่ 3.5 อัตราส่วนผสมของพอลิบิวทิลีนซักซิเนตคอมพาวน์ที่ใช้ศึกษาอัตราส่วนระหว่างสารคุ่ค魔兽และตัวเติมเสริมแรง	40
ตารางที่ 4.1 ผลการไ泰เกรตเพื่อหาปริมาณการกราฟต์ของพอลิบิวทิลีนซักซิเนตกราฟต์ด้วยมาเลอิกแอนไฮไดรต์.....	54
ตารางที่ 4.2 ผลการไ泰เกรตเพื่อหาปริมาณการกราฟต์ของพอลิบิวทิลีนซักซิเนตกราฟต์ด้วยไกลซิเดลมายาคริเลต	55
ตารางที่ 4.3 อุณหภูมิการหลอมผลึก (T_m) และอุณหภูมิการเกิดผลึก (T_c) ของพอลิบิวทิลีนซักซิเนตคอมโพสิต	61
ตารางที่ 4.4 ผลวิเคราะห์การเลี้ยวเบนรังสีเอกซ์และค่าที่คำนวณได้จากการของ Bragg	75
ตารางที่ 4.5 อุณหภูมิการแตกตัวของพอลิบิวทิลีนซักซิเนตคอมโพสิตที่มีสัดส่วนของออร์แกโนเคลร์และสารคุ่ค魔兽ในปริมาณต่างๆ.....	77
ตารางที่ 4.6 อุณหภูมิเปลี่ยนสภาพแก้ว อุณหภูมิการหลอมผลึก อุณหภูมิการเกิดผลึก และปริมาณผลึกของพอลิบิวทิลีนซักซิเนตคอมโพสิตที่สัดส่วนของออร์แกโนเคลร์และสารคุ่ค魔兽ในปริมาณต่างๆ	80

สารบัญรูป

หน้า

รูปที่ 2.1 กระบวนการสังเคราะห์พอลิบิวทิลีนซักซิเนต.....	5
รูปที่ 2.2 กระบวนการเตรียมมอนอเมอร์ตั้งตันจากผลิตภัณฑ์ทางบีโตรเคมี.....	6
รูปที่ 2.3 กระบวนการเตรียมมอนอเมอร์ตั้งตันจากการหมัก	6
รูปที่ 2.4 การแบ่งประเภทของคอมโพสิตและสารเสริมแรง	10
รูปที่ 2.5 โครงสร้างของมอนต์มอริลโลไลน์.....	12
รูปที่ 2.6 การดัดแปรมอนต์มอริลโลไลน์.....	13
รูปที่ 2.7 การกระจายตัวของแร็ดิโน่ในพอลิเมอร์	13
รูปที่ 2.8 โครงสร้างของพอลิบิวทิลีนซักซิเนตกราฟต์ด้วยมาเลอิกแอกไซด์ไฮไดรต์ (PBS-g-MA).....	17
รูปที่ 2.9 ปฏิกิริยาระหว่างหมูไฮดรอกซิลของสารเสริมแรงและพอลิบิวทิลีนซักซิเนตกราฟต์ ด้วย มาเลอิกแอกไซด์ไฮไดรต์	18
รูปที่ 2.10 โครงสร้างของพอลิบิวทิลีนซักซิเนตกราฟต์ด้วยไกลซิดิลมายาคริเลต (PBS-g-GMA)	18
รูปที่ 2.11 ปฏิกิริยาระหว่างหมูไฮดรอกซิลของสารเสริมแรงและพอลิบิวทิลีนซักซิเนตกราฟต์ ด้วยไกลซิดิลมายาคริเลต	19
รูปที่ 2.12 ส่วนประกอบหลักของเครื่องอัดรีด	20
รูปที่ 2.13 ส่วนประกอบหลักของเครื่องอัดรีดแบบสกรูเดี่ยว	20
รูปที่ 2.14 ส่วนประกอบหลักของเครื่องอัดรีดแบบสกรูคู่.....	21
รูปที่ 2.15 สกรูคู่แบบหมุนทางเดียว (co-rotating twin screw)	21
รูปที่ 2.16 สกรูคู่แบบหมุนสวนทางกัน (counter-rotating twin screw).....	21
รูปที่ 2.17 ส่วนประกอบของเครื่องฉีดพลาสติก.....	22
รูปที่ 2.18 ปฏิกิริยาที่คาดว่าเกิดขึ้นระหว่างเส้นใยธรรมชาติกับ (a) PE-g-MA และ (b) PE-g-GMA	25

หน้า

รูปที่ 3.1 การสังเคราะห์พอลิบิวทิลีนชักซิเนต	31
รูปที่ 3.2 เทคนิคการรีฟลักซ์.....	32
รูปที่ 3.3 เครื่องอัดรีดสกรูคู่ของ Thermo Prism รุ่น DSR-28.....	32
รูปที่ 3.4 เครื่องฟูเรียร์ทرانส์ฟอร์มอินฟราเรดสเปกโตรมิเตอร์	35
รูปที่ 3.5 เครื่องนิวเคลียร์แมกเนติกเรโซแนนซ์สเปกโตรมิเตอร์ของ JEOL รุ่น AL-400	36
รูปที่ 3.6 เครื่องนิวเคลียร์แมกเนติกเรโซแนนซ์สเปกโตรมิเตอร์ของ JEOL รุ่น ECA-400.....	36
รูปที่ 3.7 เครื่องฉีดพลาสติกของ Topfine Precision Machinery รุ่น A25	38
รูปที่ 3.8 เครื่องฉีดพลาสติกของ Battenfeld Austria รุ่น BA 250/50 CDC	38
รูปที่ 3.9 เครื่องทดสอบอเนกประสงค์ ของ LLOYD รุ่น LR100K.....	41
รูปที่ 3.10 เครื่องทดสอบอเนกประสงค์ ของ LLOYD รุ่น LR500.....	42
รูปที่ 3.11 เครื่องทดสอบความทนแรงกระแทก ของ GOTECH รุ่น GT-7045-MD	42
รูปที่ 3.12 กล้องจุลทรรศน์อิเล็กตรอนแบบส่องกราด ของ JEOL รุ่น JSM-6480LV	43
รูปที่ 3.13 เครื่องวิเคราะห์การเลี้ยวเบนรังสีเอกซ์ของ BRUKER AXS รุ่น Diffraktometer D8	43
รูปที่ 3.14 เครื่องวิเคราะห์น้ำหนักภายในตัวความร้อนของ Mettler Toledo รุ่น TGA/SDTA851.....	44
รูปที่ 3.15 เครื่องดิฟเพอเรนเซียลสแกนนิ้งแคลอริมิเตอร์ของ Rigaku.....	44
รูปที่ 3.16 เครื่องดิฟเพอเรนเซียลสแกนนิ้งแคลอริมิเตอร์ของ Mettler Toledo.....	45
รูปที่ 3.17 เครื่องรีโอมิเตอร์ของ Anton Paar รุ่น Physica MCR 301	45
รูปที่ 4.1 FTIR สเปกตัมของพอลิบิวทิลีนชักซิเนตที่สังเคราะห์ (Synthesized PBS) และ พอลิบิวทิลีนชักซิเนตทางการค้า (Commercial PBS)	46
รูปที่ 4.2 $^1\text{H-NMR}$ สเปกตัมของพอลิบิวทิลีนชักซิเนตที่สังเคราะห์ (Synthesized PBS) และ พอลิบิวทิลีนชักซิเนตทางการค้า (Commercial PBS).....	47
รูปที่ 4.3 FTIR สเปกตัมของพอลิบิวทิลีนชักซิเนตสังเคราะห์และจากพอลิบิวทิลีนชักซิเนตทางการค้า	48

หน้า

รูปที่ 4.4 $^1\text{H-NMR}$ สเปกตรัมของพอลิบิวทิลีนซักซิเนตกราฟต์ด้วยมาเลอิกแอนไฮไดรด์จากพอลิบิวทิลีนซักซิเนตสังเคราะห์และจากพอลิบิวทิลีนซักซิเนตทางการค้า.....	49
รูปที่ 4.5 $^{13}\text{C-NMR}$ สเปกตรัมของพอลิบิวทิลีนซักซิเนตและพอลิบิวทิลีนซักซิเนตกราฟต์ด้วยมาเลอิกแอนไฮไดรด์จากพอลิบิวทิลีนซักซิเนตทางการค้า	50
รูปที่ 4.6 FTIR สเปกตรัมของพอลิบิวทิลีนซักซิเนตกราฟต์ด้วยไกลซิดิลเมทาคริเลตจากพอลิบิวทิลีนซักซิเนตสังเคราะห์และจากพอลิบิวทิลีนซักซิเนตทางการค้า.....	51
รูปที่ 4.7 $^1\text{H-NMR}$ สเปกตรัมของพอลิบิวทิลีนซักซิเนตกราฟต์ด้วยไกลซิดิลเมทาคริเลตจากพอลิบิวทิลีนซักซิเนตสังเคราะห์และจากพอลิบิวทิลีนซักซิเนตทางการค้า.....	52
รูปที่ 4.8 $^{13}\text{C-NMR}$ สเปกตรัมของพอลิบิวทิลีนซักซิเนตและพอลิบิวทิลีนซักซิเนตกราฟต์ด้วยไกลซิดิลเมทาคริเลตจากพอลิบิวทิลีนซักซิเนตทางการค้า	53
รูปที่ 4.9 ความทนแรงดึงของพอลิบิวทิลีนซักซิเนตและพอลิบิวทิลีนซักซิเนตคอมโพสิต	57
รูปที่ 4.10 มอดูลัสของยังของพอลิบิวทิลีนซักซิเนตและพอลิบิวทิลีนซักซิเนตคอมพอสิต	58
รูปที่ 4.11 ความยืดสูงสุด ณ จุดขาดของพอลิบิวทิลีนซักซิเนตและพอลิบิวทิลีนซักซิเนตคอมพอสิต ...	59
รูปที่ 4.12 ความทนแรงดัดโค้งของพอลิบิวทิลีนซักซิเนตและพอลิบิวทิลีนซักซิเนตคอมพอสิต.....	60
รูปที่ 4.13 ความทนแรงกระแทกของพอลิบิวทิลีนซักซิเนตและพอลิบิวทิลีนซักซิเนตคอมพอสิต.....	61
รูปที่ 4.14 ความหนืดของพอลิบิวทิลีนซักซิเนตและพอลิบิวทิลีนซักซิเนตคอมพอสิต.....	63
รูปที่ 4.15 ความทนแรงดึงของพอลิบิวทิลีนซักซิเนตคอมพอสิตที่มีสัดส่วนของออร์แกโนเคลร์ และสารคู่ควบในปริมาณต่างๆ.....	65
รูปที่ 4.16 มอดูลัสของยังของพอลิบิวทิลีนซักซิเนตคอมพอสิตที่มีสัดส่วนของออร์แกโนเคลร์ และสารคู่ควบในปริมาณต่างๆ	66
รูปที่ 4.17 ความยืดสูงสุด ณ จุดขาดของพอลิบิวทิลีนซักซิเนตคอมพอสิตที่มีสัดส่วนของออร์แกโนเคลร์ และสารคู่ควบในปริมาณต่างๆ.....	67
รูปที่ 4.18 ความทนแรงดัดโค้งของพอลิบิวทิลีนซักซิเนตคอมพอสิตที่มีสัดส่วนของออร์แกโนเคลร์ และสารคู่ควบในปริมาณต่างๆ.....	68

หน้า

รูปที่ 4.19 ความหนาแรงกระแทกของพอลิบิวทิลีนซักซิเนตคอมพอสิตที่มีสัดส่วนของออร์แกโนเคลียร์และสารคู่ควบในปริมาณต่างๆ.....	69
รูปที่ 4.20 สัณฐานวิทยาของพอลิบิวทิลีนซักซิเนตคอมพอสิตที่มีสัดส่วนของออร์แกโนเคลียร์และสารคู่ควบในปริมาณต่างๆ	70
รูปที่ 4.21 XRD ดิฟเฟρกໂທແກຣມຂອງອอร์แกโนเคลียร์และพอลิบิวทิลีนซักซิเนตคอมพอสิตที่มีออร์แกโนเคลียร์ในปริมาณต่างๆ.....	74
รูปที่ 4.22 XRD ดิຟແພຣກໂທແກຣມຂອງອอร์แกโนเคลียร์และพอลิบิวทิลีนซักซิเนตคอมพอสิตที่มีสารคู่ควบในปริมาณต่างๆ	74
รูปที่ 4.23 TGA เทอร์โมແກຣມຂອງพอลิบิวทิลีนซักซิเนตคอมพอสิตที่มีสัดส่วนของออร์แกโนเคลียร์และสารคู่ควบในปริมาณต่างๆ.....	77
รูปที่ 4.24 TGA เทอร์โมແກຣມຂອງออร์แกโนเคลียร์.....	79

บทที่ 1

บทนำ

1.1 ที่มาและความสำคัญของปัญหา

ปริมาณการใช้ผลิตภัณฑ์ที่ทำจากพลาสติกที่เพิ่มขึ้นอย่างรวดเร็ว ก่อให้เกิดปัญหาสิ่งแวดล้อม ที่เกิดจากขยะพลาสติกสะสมเพิ่มเป็นพลาสติกประเภทกำจัดได้ยากหรือต้องใช้เวลาในการถ่ายตัว เป็นเวลานาน ซึ่งนับวันปัญหาดังกล่าววนบatement ใจความรุนแรงมากขึ้น อีกทั้งพลาสติกโภคภัณฑ์ (commodity plastics) ที่ใช้กันอยู่ทั่วไปนั้นส่วนใหญ่สังเคราะห์จากสารประเทฟฟอสซิลปิโตรเลียม ซึ่งมีอยู่ในปริมาณที่จำกัดและไม่สามารถสร้างทดแทนใหม่ได้ทันต่อปริมาณความต้องการการใช้งาน ของพลาสติกที่เพิ่มมากขึ้นในปัจจุบัน ด้วยเหตุดังกล่าวจึงทำให้เกิดงานวิจัยและการพัฒนาเกี่ยวกับ พลาสติกชีวภาพ (bioplastics) ขึ้นเป็นจำนวนมาก โดยล้วนมีวัตถุประสงค์เพื่อพัฒนาพลาสติก ชีวภาพให้มีสมบัติที่เทียบเท่าและสามารถนำไปใช้งานทดแทนพลาสติกโภคภัณฑ์ที่ใช้อยู่ในปัจจุบัน โดยคาดหวังว่าการใช้ผลิตภัณฑ์จากพลาสติกชีวภาพที่สามารถย่อยสลายได้ทางชีวภาพ (biodegradable) จะช่วยบรรเทาปัญหาสิ่งแวดล้อมที่เกิดขึ้นนี้ได้ และสามารถแก้ปัญหาการขาด แคลนปิโตรเลียมที่อาจเกิดขึ้นได้ในอนาคต ซึ่งโพลีบิวทิลีนซัคซิเนต (poly(butylene succinate), PBS) เป็นพลาสติกชีวภาพชนิดหนึ่งที่ได้รับความสนใจเป็นอย่างมากในปัจจุบัน เนื่องจากโพลีบิวทิลีน ซัคซิเนตจัดอยู่ในกลุ่มโพลีเอสเทอร์ที่สามารถย่อยสลายได้ทางชีวภาพ โดยสังเคราะห์ขึ้นได้จากการ ใช้สารปิโตรเลียมเป็นสารตั้งต้น และจากแหล่งวัตถุธรรมชาติที่สร้างขึ้นใหม่ทดแทนได้ (renewable resource) ซึ่งขณะนี้มีการผลิตโพลีบิวทิลีนซัคซิเนตในระดับอุตสาหกรรมและมีการ จำแนกในเชิงพาณิชย์เป็นที่เรียบร้อยแล้ว โพลีบิวทิลีนซัคซิเนตมีสมบัติเด่นคือมีความยืดหยุ่นสูง มี ความทนแรงกระแทกที่ดี ความทนทานต่อสารเคมีที่สูงและยังมีกระบวนการขึ้นรูปที่ง่ายอีกด้วย ตัวอย่างผลิตภัณฑ์ที่มาจากการผลิตโพลีบิวทิลีนซัคซิเนต เช่น ถุงพลาสติก ฟิล์มบรรจุภัณฑ์อาหาร ฟิล์มคลุม ดินสำหรับการเกษตร ขวดและถ้วยกาแฟพลาสติก อย่างไรก็ตามโพลีบิวทิลีนซัคซิเนตยังคงมีข้อจำกัด อยู่บางประการ โดยเฉพาะในเรื่องของความแข็งแรงเชิงกลเนื่องจากยังคงมีความอ่อนนุ่มเกินไปทำให้ ไม่สามารถนำไปใช้งานได้กว้างขวางเท่าที่ควร ดังนั้นจึงมีงานวิจัยต่างๆ พยายามปรับปรุงสมบัติเหล่านี้ ด้วยวิธีการต่างๆ เช่น การ添加聚丙烯 (additive) ชนิดต่างๆ หรือแม้กระทั่งการทำให้เป็นโพลีเมอร์คอมโพสิตโดยการใช้ตัวเติม (filler) เป็นต้น ซึ่งใน งานวิจัยที่ผ่านมาการ添加聚丙烯 สามารถปรับปรุงสมบัติของโพลีบิวทิลีนซัคซิเนต ได้มากน้อยเท่าไหร่นั้นขึ้นอยู่กับลักษณะการกระเจิงตัวของตัวเติมในโพลีบิวทิลีนซัคซิเนต เนื่องจาก

ตัวเติมส่วนใหญ่ เช่น ซิลิกา ทัลก์ เส้นใย ออร์แกโนเคลร์ เป็นสารอนินทรีย์มีความเป็นข้าวที่ต่างจาก พอลิบิวทิลีนซักซิเนตซึ่งเป็นสารอินทรีย์อย่างมาก ทำให้เกิดการเกาะกลุ่มกันของตัวเติมด้วยกันเอง โดยส่งผลให้สมบัติของพอลิบิวทิลีนซักซิเนตคอมพอสิตลดลงเนื่องจากความไม่เข้ากันของห้องสองเฟส ดังนั้นวิธีการหนึ่งที่จะช่วยให้ตัวเติมมีลักษณะการกระจายตัวที่ดีในพอลิเมอร์เพื่อใช้เป็นสารเสริมแรง ได้แก่คือการใช้สารคู่ควบ (coupling agent) นั่นเอง ซึ่งจะทำหน้าที่เป็นสารเพิ่มอันตรกิริยะระหว่าง พอลิเมอร์กับตัวเติมให้มีแรงยึดเหนี่ยวระหว่างสองเฟสเพิ่มสูงขึ้นและให้มีความเข้ากันได้มากยิ่งขึ้น ส่งผลให้สมบัติของคอมพอสิตที่เตรียมได้นั้นดีมากยิ่งขึ้นเหมาะสมสมกับการนำไปใช้งาน

ในงานวิจัยนี้จึงมีแนวคิดในการพัฒนาสารคู่ควบจากการดัดแปลงพอลิบิวทิลีนซักซิเนตให้มี หมุนเวียน ได้แก่ พอลิบิวทิลีนซักซิเนตกราฟต์ด้วยมาเลอิกแอกไซด์และพอลิบิวทิลีนซักซิเนต กราฟต์ด้วยไกลซิเดลเมทาคริเลต โดยใช้เทคนิคการอัดรีดแบบบีเอกทีฟ เพื่อนำสารคู่ควบที่เตรียมได้ไป ใช้ในการเตรียมพอลิบิวทิลีนซักซิเนตคอมพอสิตที่เสริมแรงด้วยออร์แกโนเคลร์ แล้วทำการ เปรียบเทียบสมบัติของพอลิบิวทิลีนซักซิเนตคอมพอสิตที่มีการใช้สารคู่ควบที่เตรียมได้

1.2 วัตถุประสงค์ของงานวิจัย

- 1.2.1 ศึกษาการประยุกต์เทคนิคการอัดรีดแบบบีเอกทีฟสำหรับดัดแปลงพอลิบิวทิลีนซักซิเนตให้มีหมุนเวียน สำหรับใช้เป็นสารคู่ควบของพอลิบิวทิลีนซักซิเนตคอมพอสิต
- 1.2.2 ศึกษาผลของชนิดและปริมาณการใช้สารคู่ควบที่เตรียมได้ต่อสมบัติของพอลิบิวทิลีนซักซิเนต คอมพอสิตที่เสริมแรงด้วยออร์แกโนเคลร์

1.3 ประโยชน์ที่คาดว่าจะได้รับ

- 1.3.1 ได้สารคู่ควบที่เตรียมได้ด้วยเทคนิคการอัดรีดแบบบีเอกทีฟ โดยสามารถเพิ่มอันตรกิริยา ระหว่างพอลิเมอร์และตัวเติม
- 1.3.2 ได้พอลิบิวทิลีนซักซิเนตคอมพอสิตที่เสริมแรงด้วยออร์แกโนเคลร์มีสมบัติเชิงกลดีขึ้นและ สามารถนำไปใช้งานได้กว้างขวางมากยิ่งขึ้น

บทที่ 2

สารสารปริทรรศน์

2.1 พลาสติกย่อยสลายได้ทางชีวภาพ

2.1.1 ความหมายของพลาสติกย่อยสลายได้ทางชีวภาพ

ปัจจุบันมีการให้คำจำกัดความของพลาสติกย่อยสลายได้ทางชีวภาพ (biodegradable polymer) ซึ่งมีความแตกต่างกันเล็กน้อยไว้ ดังนี้

(1) ตามมาตรฐาน ASTM D6400-99 พลาสติกย่อยสลายได้ทางชีวภาพ หมายถึง พลาสติกที่ถูกย่อยสลายได้จากการทำงานของจุลินทรีย์ตามธรรมชาติ เช่น แบคทีเรีย ราและสาหร่าย

(ASTM D6400-99 - biodegradable plastic is a degradable plastic in which the degradation results from the action of naturally occurring microorganisms such as bacteria, fungi and algae.)

(2) ตามมาตรฐาน ISO 472:1998 พลาสติกย่อยสลายได้ทางชีวภาพ หมายถึง พลาสติกที่ถูกออกแบบมาเพื่อให้เกิดการเปลี่ยนแปลงทางเคมีภายในตัวเองภายใต้สภาวะแวดล้อมที่เหมาะสม ส่งผลให้สมบัติบางอย่างสูญหายไปซึ่งสามารถทดสอบสมบัติเหล่านี้ได้ด้วยวิธีการตามมาตรฐานที่เหมาะสมกับพลาสติกและการประยุกต์การใช้งานนั้นๆ โดยการเปลี่ยนแปลงโครงสร้างทางเคมีดังกล่าวจะต้องเกิดจากการทำงานของจุลินทรีย์ตามธรรมชาติ

(ISO 472:1998 - Biodegradable plastics are plastic designed to undergo a significant change in its chemical structure under specific environmental conditions resulting in a loss of some properties that may vary as measured by standard test methods appropriate to the plastics and application in a period of time that determines its classification. The change in chemical structure results from the action of naturally occurring microorganisms.)

(3) ตามมาตรฐาน BPS Japan (1994) พลาสติกย่อยสลายได้ทางชีวภาพ หมายถึง วัสดุพอลิเมอร์ซึ่งสามารถเกิดการเปลี่ยนแปลงน้ำหนักโมเลกุลให้เป็นสารประกอบที่มีน้ำหนักโมเลกุลต่ำลง โดยในกระบวนการย่อยสลายนี้จะต้องมีอย่างน้อย 1 ขั้นตอนที่เกิดผ่านกระบวนการเผาพาณิชจากจุลินทรีย์ตามธรรมชาติ

(BPS Japan (1994) - Biodegradable plastics are polymeric materials which are changed into lower molecular weight compounds where at least one step in the degradation process is through metabolism in the presence of naturally occurring organism.)

(4) ตามมาตรฐาน DIN FNK103.2 (1993) พลาสติกย่อยสลายได้ทางชีวภาพ หมายถึง วัสดุพลาสติกที่ถูกเรียกว่าสามารถย่อยสลายได้ทางชีวภาพนั้น จะต้องมีสารประกอบอินทรีย์ที่ถูกย่อยสลายอย่างสมบูรณ์ทั้งหมดด้วยสภาวะแวดล้อมที่เฉพาะ และมีอัตราการย่อยสลายที่สามารถวัดได้ด้วยวิธีการทดสอบตามมาตรฐาน

(DIN FNK103.2 (1993) - A plastic materials is called biodegradable if all its organic compounds undergo a complete biodegradation process Environmental condition and rates of biodegradation are to be determined by standardized test methods.)

(5) ตามมาตรฐาน CEN (1993) วัสดุที่ย่อยสลายได้เมื่อเกิดการย่อยสลายจากการทำงานของจุลินทรีย์แล้วทำให้วัสดุเกิดการเปลี่ยนแปลงไปเป็นน้ำ ก๊าซคาร์บอนไดออกไซด์ และ/หรือก๊าซมีเทน และมวลชีวภาพใหม่

(CEN (1993) – A degradable material in which the degradation results from the action of microorganisms and ultimately materials is converted to water, carbon dioxide and/or methane and a new cell biomass.)

อย่างไรก็ตามสำหรับคำว่า biodegradation (การย่อยสลายได้ทางชีวภาพ) นั้นมาจำกัดคำว่า biotic degradation ตามคำจำกัดความของมาตรฐานต่างๆ อาศัยหลักพื้นฐานแนวคิดเดียวกัน คือ การย่อยสลายนั้นจะต้องเป็นการทำงานที่มาจากการจุลินทรีย์ตามธรรมชาติ [1]

2.1.2 ประเภทของพลาสติกย่อยสลายได้ทางชีวภาพ

โดยทั่วไปพลาสติกที่สามารถย่อยสลายได้ทางชีวภาพสามารถสังเคราะห์ได้จากการกระบวนการทางเคมี หรือจากการกระบวนการทางชีวภาพของวัสดุจักษรการเจริญเติบโตในจุลินทรีย์ตามธรรมชาติ ซึ่งสามารถแบ่งประเภทตามแหล่งกำเนิดของวัสดุดิบออกได้เป็น 2 ประเภท ได้แก่

(1) พลาสติกย่อยสลายได้ทางชีวภาพที่ผลิตจากวัตถุดิบปิโตรเคมี (petroleum-based biodegradable plastics) เป็นพลาสติกที่มีวัตถุดิบมาจากน้ำมันดิบและก๊าซธรรมชาติ ส่วนใหญ่จะเป็นพอลิเมอร์สังเคราะห์ที่มีหมุนฟังก์ชันที่สามารถถูกไฮโดรไลซิสได้ เช่น หมุนฟังก์ชันเอสเทอร์ เอไมด์ และยูรีเทน ตัวอย่างพอลิเมอร์ในกลุ่มนี้ เช่น พอลิคาปโรแลคโทน (polycaprolactone, PCL) พอลิไวนิลแอลกอฮอล์ (poly(vinyl alcohol), PVA) พอลิบิวทิลีนอะดิเพตโคลีเพราเลต

(poly(butylene adipate-co-terephthalate), PBAT) พอลิบิวทิลีนซัคชิเนตอะดิเพต (poly(butylene succinate adipate), PBSA)

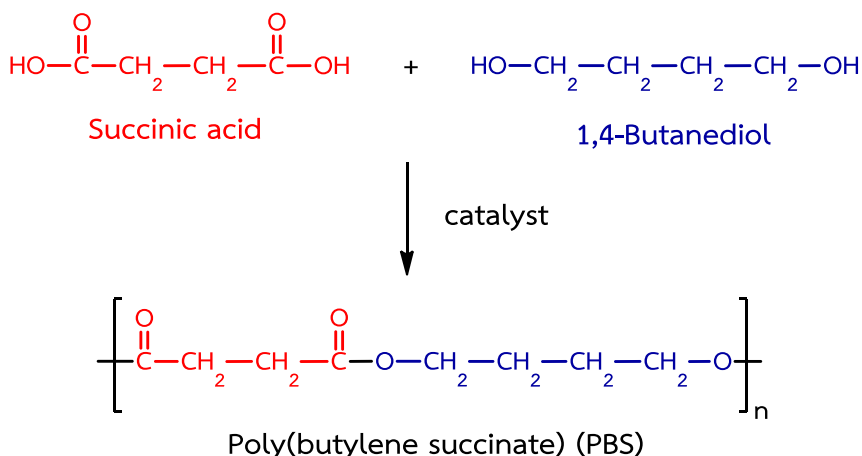
(2) พลาสติกย่อยสลายได้ทางชีวภาพที่ผลิตจากวัตถุดิบมวลชีวภาพ (bio-based biodegradable plastics) เป็นพลาสติกที่มีวัตถุดิบมาจากธรรมชาติ ซึ่งสามารถสร้างทดแทนขึ้นใหม่ได้ (renewable resources) ในระยะเวลาสั้น ส่วนใหญ่จะเป็นพอลิเมอร์ที่มีหมู่ฟังก์ชันเอสเทอร์และพอลิแซ็คการ์ด (polysaccharide) ตัวอย่างพอลิเมอร์ในกลุ่มนี้ เช่น พอลิไฮดรอกซีแอลคาโนเอต (polyhydroxyalkanoates, PHA) พอลิแล็กทิกแอซิด (poly(lactic acid), PLA) พอลิบิวทิลีนซัคชิเนต (poly(butylene succinate), PBS)

ซึ่งปัจจุบันพลาสติกย่อยสลายได้ทางชีวภาพที่ผลิตจากวัตถุดิบมวลชีวภาพเป็นพลาสติกที่ได้รับความสนใจอย่างมากเนื่องจากสามารถผลิตได้จากพืช หรือวัตถุดิบที่สามารถสร้างทดแทนขึ้นมาใหม่ได้โดยอาศัยกระบวนการหมัก (fermentation) ซึ่งใช้พลังงานต่ำ นอกจากนี้ยังเป็นพลาสติกที่สามารถย่อยสลายได้ลงตามธรรมชาติเมื่อผ่านกระบวนการหลังจากการใช้งานได้อีกด้วย [2-4]

2.1.3 พอลิบิวทิลีนซัคชิเนต

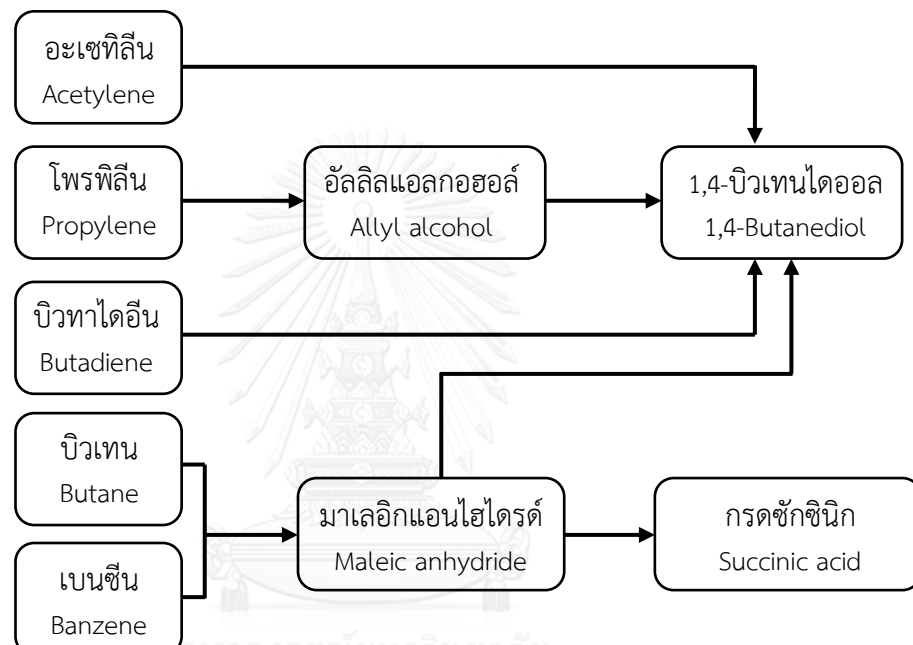
2.1.3.1 กระบวนการสังเคราะห์พอลิบิวทิลีนซัคชิเนต

พอลิบิวทิลีนซัคชิเนต (poly(butylene succinate), PBS) เป็นพอลิเอสเทอเรชิงเส้นชนิดหนึ่ง (linear aliphatic polyester) สามารถสังเคราะห์ได้จากปฏิกิริยาพอลิเมอไรเซชันระหว่างกรดซัคชินิก (succinic acid) และ 1,4-บิวเทนไดออล (1,4-butanediol) โดยมีเททรบิวทิลไททาเนต (tetra-n-butyl titanate) หรือเททรอลิโซพรอพิลไททาเนต (tetraisopropyl titanate) เป็นตัวเร่งในการเกิดปฏิกิริยา ดังแสดงในรูปที่ 2.1

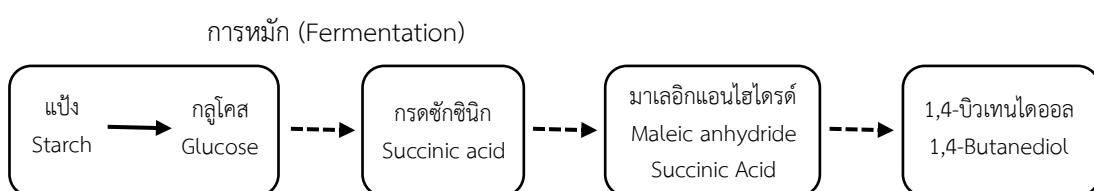


รูปที่ 2.1 กระบวนการสังเคราะห์พอลิบิวทิลีนซัคชิเนต

โดยกรดซัคชินิกและ 1,4-บิวเทนไดออลนี้สามารถเตรียมได้จากทั้งผลิตภัณฑ์ทางปิโตรเคมี และจากวัตถุดิบธรรมชาติ สำหรับการผลิตจากผลิตภัณฑ์ทางปิโตรเคมีนั้นมาจากก๊าซบิวเทน ซึ่งสามารถเปลี่ยนไปเป็นมาเลอิกแอนไฮไดรด์แล้วถูกเปลี่ยนอีกครั้งไปเป็นกรดซัคชินิกและ 1,4-บิวเทนไดออล ได้ ดังแสดงในรูปที่ 2.2 ส่วนการผลิตจากวัตถุดิบธรรมชาติที่สร้างทดแทนใหม่ได้ เช่น แป้ง มัน สำปะหลัง ข้าวโพดและอ้อย เป็นต้น สามารถทำโดยผ่านกระบวนการหมักแป้งและน้ำตาลจะได้ ผลิตภัณฑ์เป็นกรดซัคชินิก เพื่อใช้เป็นสารตั้งต้นในกระบวนการผลิต 1,4-บิวเทนไดออล ผ่านการ เตรียมเป็นมาเลอิกแอนไฮไดรด์ ดังแสดงในรูปที่ 2.3 [5-8]



รูปที่ 2.2 กระบวนการเตรียมมอนomerตั้งต้นจากผลิตภัณฑ์ทางปิโตรเคมี



รูปที่ 2.3 กระบวนการเตรียมมอนomerตั้งต้นจากการหมัก

วิธีการสังเคราะห์พอลิบิวทิลีนซัคชินิดแบ่งออกได้เป็น 2 ขั้นตอนคือ ปฏิกิริยาทรานส์เอสเทอเรฟิเคชัน (transesterification) และปฏิกิริยาพอลิเมอไรเซชันแบบควบแน่น (polycondensation) ซึ่งในระหว่างปฏิกิริยาทรานส์เอสเทอเรฟิเคชันนั้นจะต้องหลีกเลี่ยงการเกิดปฏิกิริยาออกซิเดชันโดยทำ ภายใต้บรรยากาศกําชีญในโตรเจน และใช้อุณหภูมิในปฏิกิริยาทรานส์เอสเทอเรฟิเคชันอยู่ที่ช่วง 150-190 องศาเซลเซียส หลังจากเกิดปฏิกิริยาทรานส์เอสเทอเรฟิเคชันจะมีน้ำเป็นผลิตภัณฑ์ออกมารดับซึ่ง

ต้องกำจัดออกจากระบบ งานนี้ทำให้เกิดปฏิกิริยาพอลิเมอไรเซชันแบบควบแน่นด้วยการเพิ่มความดันให้แก่ระบบที่อุณหภูมิประมาณ 200 องศาเซลเซียสเพื่อให้ได้น้ำหนักโมเลกุลของพอลิบิวทิลีนซักซิเนตที่สูงขึ้น [8]

ปัจจัยสำคัญที่ทำให้พอลิบิวทิลีนซักซิเนตมีน้ำหนักโมเลกุลที่สูง [9] คือ

- การกำจัดน้ำที่เกิดขึ้นระหว่างปฏิกิริยารานส์อสเทอโรฟิเคชันออกจากระบบ
- ปฏิกิริยารานส์อสเทอโรฟิเคชันจะต้องเกิดขึ้นภายใต้อุณหภูมิที่เหมาะสม
- การเพิ่มความดันความร้อนความเมะามะสมเพียงพอที่จะสามารถกำจัดบิวเทนได้อย่างรวดเร็ว
- ตัวเร่งที่ใช้ในการเกิดปฏิกิริยาความร้อนความว่องไว เวลาที่ใช้ในการทำปฏิกิริยาควรไม่นาน และมีความทนต่อการถูกไฮโดรไรซิส ในขณะเดียวกันความร้อนและความทนต่อความร้อนที่ดีเพื่อป้องกันการสลายตัวระหว่างเกิดปฏิกิริยา

2.1.3.2 สมบัติทั่วไปของพอลิบิวทิลีนซักซิเนต

พอลิบิวทิลีนซักซิเนตเป็นเทอร์โมพลาสติกที่มีลักษณะทางกายภาพเชิงรุนแรง มีความหนาแน่น 1.23 กรัม/ลูกบาศก์เซนติเมตร ซึ่งใกล้เคียงกับพอลิแล็กทิกแอซิด แต่พอลิบิวทิลีนซักซิเนตมีจุดหลอมเหลวที่สูงกว่าพอลิแล็กทิกแอซิดมาก และมีอุณหภูมิเปลี่ยนสภาพแก้วที่ต่ำมาก โดยทั่วไปพอลิบิวทิลีนซักซิเนตมีสมบัติเชิงกลสูงซึ่งใกล้เคียงกับพอลิเอทิลีน (polyethylene, PE) และพอลิโพรพิลีน (polypropylene, PP) มีความสามารถในการทนความร้อนได้สูงถึง 200 องศาเซลเซียส โดยไม่เสียสภาพ และมีความยืดหยุ่น (flexibility) อีกทั้งสามารถนำไปขึ้นรูปเป็นผลิตภัณฑ์ได้หลากหลายและย้อมติดสีได้ รวมทั้งสามารถย้อมสีได้ดีกว่าพอลิแล็กทิกแอซิด ซึ่งเป็นลักษณะเด่นที่สำคัญอย่างมาก [10, 11]

2.1.3.3 การนำไปใช้งานของพอลิบิวทิลีนซักซิเนต

เนื่องจากพอลิบิวทิลีนซักซิเนตมีสมบัติเชิงกลที่ใกล้เคียงกับพอลิโอลิฟิน ได้แก่ พอลิเอทิลีน และพอลิโพรพิลีน และสามารถขึ้นรูปเป็นผลิตภัณฑ์ได้ง่าย อีกทั้งยังเป็นมิตรต่อสิ่งแวดล้อม ดังนั้น การนำไปใช้งานสามารถใช้แทนที่พลาสติกโภคภัณฑ์ที่ใช้กันอยู่ทั่วไปได้ เช่น ในอุตสาหกรรมเกษตรมีการนำไปผลิตเป็นฟิล์มคลุมดิน คลุมกระถางต้นไม้ ทำเป็นวัสดุห่อหุ้มหรือปลดปล่อยยาฆ่าแมลง ผ้าวิชพีช เป็นต้น หรือในอุตสาหกรรมบรรจุภัณฑ์มีการนำไปใช้งาน เช่น พอลิบิวทิลีนซักซิเนต ทำเป็นผลิตภัณฑ์ประเภทใช้แล้วทิ้ง เช่น พิล์มเคลือบแก้ว กระดาษหรือขวดน้ำ ฟิล์มบรรจุภัณฑ์และอาหาร เป็นต้น นอกจากนี้ยังมีงานวิจัยและการพัฒนาพอลิบิวทิลีนซักซิเนตเพื่อนำไปประยุกต์ใช้ใน

งานหลายๆ ด้าน โดยเฉพาะในอุตสาหกรรมยานยนต์ ในอุตสาหกรรมวัสดุก่อสร้าง หรือแม้แต่ อุตสาหกรรมอุปกรณ์การกีฬา เป็นต้น [11]

2.1.3.4 การย่อยสลายของพอลิบิวทิลีนซักซิเนต

กลไกการย่อยสลายทางชีวภาพมีกระบวนการหลักอยู่ 2 ขั้นตอน ขั้นตอนแรกเป็นการที่ จุลินทรีย์ปล่อยเอนไซม์เพื่อย่อยสายพอลิเมอร์ที่มีขนาดใหญ่และไม่ละลายน้ำให้มีขนาดเล็กลง หรือ อาจเกิดจากปฏิกิริยาอื่นๆ เช่น การเกิดปฏิกิริยาออกซิเดชัน การถูกไฮโดรไลซิส การสลายตัวทาง ความร้อนหรือแสง ส่งผลให้น้ำหนักโมเลกุลของพอลิเมอร์ลดลง ซึ่งการย่อยสลายครั้งแรกนี้จะเกิดขึ้น ภายในอกเซลล์โดยเกิดได้ทั้งแบบใช้ endo-enzyme หมายถึง เอนไซม์ที่ทำให้เกิดการแตกของพันธะ ภายในสายโซ่พอลิเมอร์อย่างไม่เป็นระเบียบ และแบบ exo-enzyme หมายถึง เอนไซม์ที่ทำให้เกิด การแตกพันธะที่ละหน่วยจากหน่วยที่อยู่ด้านปลายของสายโซ่พอลิเมอร์ เมื่อพอลิเมอร์ถูกแตกพันธะ จนมีขนาดเล็กพอก็จะแพร่ผ่านผนังเซลล์เข้าไปย่อยสลายครั้งที่ 2 ภายในเซลล์ เมื่อเกิดการย่อยสลาย ที่สมบูรณ์จะได้ผลิตภัณฑ์ในขั้นตอนสุดท้าย (ultimate biodegradation) คือ พลังงานและ สารประกอบขนาดเล็กที่เสถียรในธรรมชาติ (mineralization) ได้แก่ ก๊าซคาร์บอนไดออกไซด์ ก๊าซ มีเทน น้ำ เกลือ แร่ธาตุต่างๆ และมวลชีวภาพ (biomass) [1, 12]

ซึ่งปัจจัยที่มีผลต่ออัตราการสลายตัวของพลาสติกที่ย่อยสลายได้ทางชีวภาพ [13] ได้แก่

- (1) สิ่งมีชีวิต เช่น ความเหมาะสมของชนิดเอนไซม์ที่ถูกปล่อยจากสิ่งมีชีวิต รวมทั้งปริมาณของเอนไซม์ ที่เหมาะสม
- (2) โครงสร้างทางเคมีของชนิดพลาสติก รวมทั้งความเป็นระเบียบในการจัดเรียงตัวของโมเลกุลและ น้ำหนักโมเลกุลของพลาสติก
- (3) สภาพแวดล้อม เช่น อุณหภูมิ ปริมาณออกซิเจน ความชื้น และค่าความเป็นกรด-ด่างของสภาพ แวดล้อมที่ใช้ในการย่อยสลาย เป็นต้น

2.2 พอลิเมอร์คอมโพสิต

2.2.1 นิยามของคอมโพสิต

คอมโพสิต (composite) หมายถึง วัสดุซึ่งประกอบด้วยสารที่มีองค์ประกอบทางเคมี แตกต่างกันตั้งแต่สองชนิดขึ้นไปรวมกัน ซึ่งไม่ละลายเป็นเนื้อเดียวกันและสามารถจำแนกความ แตกต่างระหว่างสองเฟสได้แม้ในระดับจุลภาค (microscopic) โดยทั่วไปแล้วคอมโพสิตจะมี องค์ประกอบชนิดหนึ่งทำหน้าที่เป็นเนื้อหลักหรือเมทริกซ์ (matrix) และองค์ประกอบอื่นที่ทำหน้าที่ เป็นสารเสริมแรง (reinforcement) ซึ่งอาจจะมีลักษณะเป็นแผ่น อนุภาคทรงกลม หรือเส้นใย เป็น ต้น [6, 14]

2.2.2 ประเภทของคอมโพสิต

เมทริกซ์จะเป็นองค์ประกอบส่วนที่สำคัญในวัสดุคอมโพสิตทำหน้าที่เป็นตัวประสานหรือตัวยึดเกาะให้กับสารเสริมแรง นอกจากนี้ยังช่วยปกป้องสารเสริมแรงจากการอยู่ข้างนอก สามารถส่งผ่านแรงที่ถูกกระทำหรือความเค้นระหว่างสารเสริมแรงได้ ทว่าไปแล้วแบ่งออกได้เป็น 3 ประเภท ได้แก่

(1) วัสดุคอมโพสิตที่มีพอลิเมอร์เป็นเมทริกซ์ (polymer matrix composites, PMCs) และเรียก คอมโพสิตที่ได้ร่วมกับพอลิเมอร์คือ ชั้นวัสดุคอมโพสิต ซึ่งวัสดุคอมโพสิตประเภทนี้ได้รับการพัฒนาเป็นอย่างมาก เนื่องจากสามารถผลิตได้เป็นชิ้นงานที่มีขนาดใหญ่ มีรูปร่างที่ซับซ้อนได้ นำไปประยุกต์ใช้งานได้ หลากหลาย ทั้งนี้พอลิเมอร์ที่ใช้เป็นเมทริกซ์เป็นได้ทั้งเทอร์โมพลาสติกและเทอร์โมเซตพลาสติก ตัวอย่างเช่น พอลิเอสเทอร์ พอลิไพรพลีน ไนลอน อะคริโลไลน์ทรัล-บีว่าไดอิน-สไตรีนโคพอลิเมอร์ เป็นต้น

(2) วัสดุคอมโพสิตที่ใช้โลหะเป็นเมทริกซ์ (metal matrix composites, MMCs) ส่วนใหญ่มี การนำไปใช้งานที่อุณหภูมิสูงกว่าพอลิเมอร์เนื่องจากมีอุณหภูมิที่ใช้ในการหลอมเหลวที่สูงกว่า แต่มี ข้อเสียคือ คอมโพสิตที่ได้มีน้ำหนักมากและราคาแพง ทำให้มีการนำไปใช้งานไม่กว้างขวางเท่าที่ควร โดยทั่วไปคอมโพสิตประเภทนี้จะใช้โลหะอัลลอยด์เป็นเมทริกซ์ ตัวอย่างเช่น อะลูมิเนียมอัลลอยด์ แมกนีเซียมอัลลอยด์ ทองแดง เป็นต้น

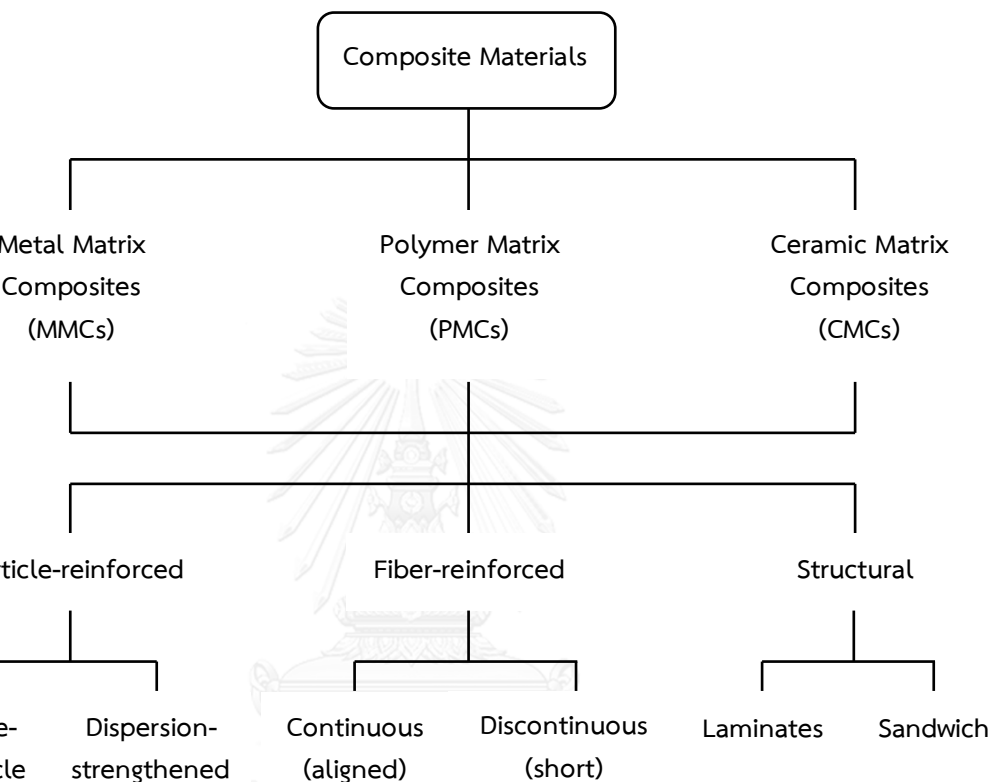
(3) วัสดุคอมโพสิตที่ใช้เซรามิกเป็นเมทริกซ์ (ceramics matrix composites, CMCs) มีการนำเซรามิก มาใช้ในงานที่ต้องการความทนทานต่ออุณหภูมิสูง และในสภาพที่มีการกัดกร่อนสูง แต่ข้อเสียของ เชรามิก คือ เปราะและแตกหักง่าย เมื่อเกิดรอยแตกแล้วไม่สามารถซ่อมแซมได้โดยง่าย เชรามิกที่ใช้ ตัวอย่างเช่น อะลูมินา ซิลิกอนไนเตรต ซิลิกอนคาร์ไบด์ เป็นต้น

ส่วนสารเสริมแรงซึ่งทำหน้าที่ในการดูดซับแรงที่ถูกกระทำจากภายนอกโดยถูกส่งผ่านมาจาก เนื้อเมทริกซ์ในวัสดุคอมโพสิตนั้น สามารถแบ่งออกได้เป็น 3 ประเภท ได้แก่

(1) วัสดุคอมโพสิตที่เสริมแรงด้วยตัวเติมชนิดเป็นอนุภาค (particle-reinforced) ประกอบด้วยเฟส ของเมทริกซ์และเฟสของตัวเติมที่มีลักษณะเป็นอนุภาค โดยอนุภาคนะจะมีรูปทรงได้หลายแบบ ยกตัวอย่างเช่น แผ่นบางๆ (flake) อนุภาคกลม (particle) หรือเม็ดขนาดใหญ่ (filler) เป็นต้น

(2) วัสดุคอมโพสิตที่เสริมแรงด้วยตัวเติมชนิดเส้นใย (fiber-reinforced) เนื้องจากเส้นใยเป็นวัสดุที่มี ความยาวมากกว่าพื้นที่หน้าตัดมากจึงสามารถนำมาใช้เป็นสารเสริมแรงได้ โดยเส้นใยมีทั้งมาจากการ ธรรมชาติ เช่น ผ้ายไหม เป็นต้น และเส้นใยที่มาจากการสังเคราะห์ เช่น พอลิเอทิลีนและ พอลิเอสเทอร์ เป็นต้น โดยเส้นใยที่จะนำมาใช้นั้นสามารถใช้ได้ทั้งเส้นใยยาวต่อเนื่องและไม่ต่อเนื่องใน วัสดุคอมโพสิตได้

(3) วัสดุคอมโพสิตที่เสริมแรงด้วยตัวเติมชนิดโครงสร้าง (structural) ซึ่งสามารถแบ่งคอมโพสิตโครงสร้างได้ 2 ประเภท คือ คอมพอสิตแบบชั้น (laminates) และผลิตภัณฑ์แผ่นประกอบแบบแซนด์วิช (sandwich) โดยสมบัติของคอมพอสิตโครงสร้างขึ้นอยู่กับสมบัติของวัสดุและรูปแบบโครงสร้างของวัสดุที่นำมาประกอบกันด้วย



รูปที่ 2.4 การแบ่งประเภทของคอมพอสิตและสารเสริมแรง

2.2.3 ข้อดีของคอมพอสิต

ในปัจจุบันนี้คอมพอสิตเป็นวัสดุที่นิยมใช้กันอย่างมาก เนื่องจากสามารถผลิตจากสารเสริมแรงและเมทริกซ์ได้หลากหลายชนิด ส่งผลให้นำมาประยุกต์ใช้ในกระบวนการผลิตเป็นวัสดุคอมพอสิตได้อย่างหลากหลายมากยิ่งขึ้น นอกจากนี้ยังมีข้อดีอีกหลายประการ เช่น เพิ่มความแข็งแรง และคงทนร่วงของคอมพอสิตได้ดี สามารถเพิ่มความหนาแน่นและความทนแรงกระแทกได้ ยืดอายุการใช้งาน มีอิเล็กทรอนิกส์และความแข็งตึง (stiffness) สูงขึ้น และในบางกรณีช่วยลดการหดตัวหรือขยายตัวเนื่องจากความร้อนได้อีกด้วย ซึ่งสมบัติของวัสดุคอมพอสิตที่ได้นั้นขึ้นอยู่กับปัจจัยต่อไปนี้ [15]

- แรงยึดระหว่างพอลิเมอร์เมทริกซ์และสารเสริมแรง
- สมบัติของสารเสริมแรง
- ขนาดและรูปร่างของสารเสริมแรง
- ปริมาณสารเสริมแรงในพอลิเมอร์
- การเรียงตัวหรือการกระจายตัว (alignment or distribution) ของสารเสริมแรงในพอลิเมอร์เมทริกซ์
- เทคนิคการขึ้นรูป

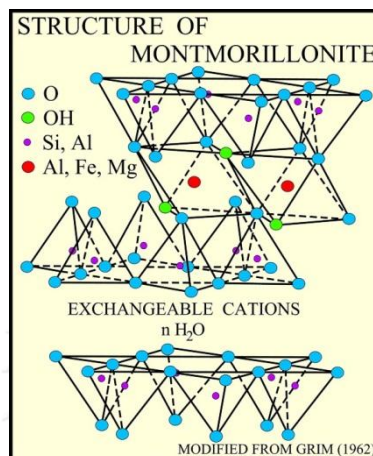
2.2.4 ตัวเติมเสริมแรง

เป็นสารเติมแต่งที่ใส่ลงไปในพอลิเมอร์เมทริกซ์เพื่อเพิ่มความแข็งแรง (strength) โดยเฉพาะอย่างยิ่งความทนแรงดึง และความแข็งตึง (stiffness) ให้แก่พอลิเมอร์ โดยทั่วไปแล้วสารเติมแต่งที่มีค่าอัตราส่วนระหว่างความยาวต่อความกว้างหรือความหนาสูง (high aspect ratio) เช่น สารเติมแต่งที่มีรูปร่างของอนุภาคเป็นเส้นใยหรือเป็นแผ่นจะช่วยเสริมความแข็งแรงให้พอลิเมอร์ได้ ตัวอย่างตัวเติมเสริมแรงได้แก่ เกอลิน ทัลค์ ไมก้า เส้นไยแก้ว เส้นไยคาร์บอน และออร์แกโนเคลย์ (organoclay) เป็นต้น [15] โดยในงานวิจัยนี้เลือกออร์แกโนเคลย์ในการใช้เป็นตัวเติมเสริมแรงให้กับพอลิบิวทิลีนซักซิเนตเนื่องจากเป็นผลิตภัณฑ์ทางการค้าสามารถหาซื้อขายได้ เป็นวัตถุดีบที่มาจากการรวมชาตินำการดัดแปลงเพื่อให้เข้ากับพอลิเมอร์ได้ง่าย อีกทั้งออร์แกโนเคลย์ยังมีอัตราส่วนระหว่างความยาวต่อความกว้างหรือความหนาที่มากพอเพื่อใช้เป็นสารเสริมแรงได้

2.3 มองต์มอริลโลในตัดแปรหรือออร์แกโนเคลย์

มองต์มอริลโลในต์ (MMT) เป็นแร่ดินเหนียว (clay mineral) ชนิดหนึ่งที่มีโครงสร้างผลึกที่เป็นแผ่นหรือชั้นเรียบซ้อนกัน ทำให้มีความยืดหยุ่นและมีความเป็นข้าวที่สามารถนำมาใช้งานได้อย่างกว้างขวาง มีบทบาทที่สามารถใช้ในการเป็นสารเสริมแรงที่มีประสิทธิภาพสำหรับการปรับปรุงวัสดุคอมโพลิต เพื่อให้มีความแข็งแรงเนื่องจากมีอัตราส่วนของความยาวต่อความหนาที่สูงทำให้เป็นตัวเติมเสริมแรงได้ สามารถพบได้จ่ายตามธรรมชาติ มีปริมาณมาก นอกจากนี้เมื่อใช้ร่วมกับพอลิเมอร์บางชนิดยังพบว่าสามารถเพิ่มความหนาแน่นและความสามารถกักกันก๊าซได้ อีกทั้งมองต์มอริลโลในต์ยังเป็นมิตรต่อสิ่งแวดล้อมอีกด้วย โดยมองต์มอริลโลในต์มีโครงสร้างทางเคมีทั่วไปคือ $M_x(Al_{4-x}Mg_x)Si_8O_{20}(OH)_4$ ซึ่งมีรูปแบบผลึกอยู่ในกลุ่มของสมектิไทด์ (smectite) กล่าวคือมีโครงสร้างเป็นแบบแผ่นชนิด 2:1 พิลโลซิลิเกต (phyllosilicate) โดยหนึ่งแผ่นประกอบด้วยชั้นทรงแปดเหลี่ยม (octahedral sheet) ของอะลูมิเนียมไฮド록ไซด์ (aluminium hydroxide) ที่ถูกประกอบทั้งสองด้านด้วยชั้นทรงสี่เหลี่ยม (tetrahedral sheets) ของซิลิกาออกไซด์ (silica oxide) แต่ละแผ่นจะมี

ความหนาประมาณ 1 นาโนเมตร และขนาดพื้นผิว (lateral dimension) ประมาณ 100-200 นาโนเมตร ระหว่างแผ่นชั้นของซิลิกาจะซ่อนกันเป็นชั้นที่ถูกยึดเหนี่ยวกันด้วยแรงอย่างอ่อนหรือแรงวนเด瓦ลส์ (Van der Waals force) และที่บริเวณผิวน้ำของแต่ละชั้นจะมีประจุเป็นลบ จึงทำให้มีประจุบวกของแมgnีเซียม อะลูมิเนียม โซเดียม หรือแคลเซียม และธาตุอื่นๆ เข้ามาแทรกอยู่ในช่องว่างระหว่างชั้นผลึกที่เรียกว่า gallery เพื่อให้เกิดสมดุลของประจุ และช่วยยึดแต่ละชั้นของผลึกที่มีประจุลบเอาไว้ด้วยกัน [16, 17] ดังแสดงในรูปที่ 2.5



รูปที่ 2.5 โครงสร้างของมอนต์มอริลโลไนต์ [16]

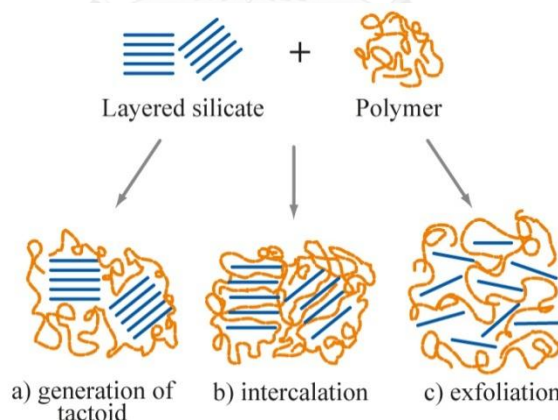
มอนต์มอริลโลไนต์มีสมบัติความเป็นขั้วสูงเนื่องจากประกอบด้วยอะตอมของธาตุออกซิเจน เป็นจำนวนมาก ทำให้มีสมบัติที่ขอบน้ำและสามารถดูดน้ำได้มาก จึงมีความเข้ากันได้กับโพลิเมอร์ที่ตัวและยกต่อการเกิดอันตรภัยระหว่างมอนต์มอริลโลไนต์และโพลิเมอร์ ดังนั้นจึงมีการปรับปรุง มอนต์มอริลโลไนต์ให้เข้ากับโพลิเมอร์ได้ดีขึ้นด้วยการปรับเปลี่ยนให้มีสมบัติที่ไม่ขอบน้ำ วิธีการหนึ่ง ซึ่งเป็นที่นิยมมากคือการนำมอนต์มอริลโลไนต์มาดัดแปลงด้วยการแลกเปลี่ยนไอออนระหว่างประจุบวก ในชั้นดินกับสารอินทรีย์ที่มีประจุบวก (cation exchanging) โดยที่นิยมใช้กันมากคือควรเทอร์นารี แอมโมเนียมแคนต์ไอออน (quaternary ammonium cation) ประกอบด้วยประจุบวกของแอมโมเนียมแคนต์ไอออน (ส่วนที่ขอบน้ำ) และไฮโดรคาร์บอนสายยาว (ส่วนที่ไม่ขอบน้ำ) ซึ่งส่วนของแอมโมเนียมแคนต์ไอออนนี้จะเข้าไปแลกเปลี่ยนกับประจุบวกของโลหะที่อยู่ระหว่างแผ่นของแร่ดิน ส่งผลทำให้ไฮโดรคาร์บอนสายยาวสามารถเข้าไปแทรกระหว่างชั้นผลึกได้ ทำให้ระยะห่างระหว่างแผ่นของแร่ดินและมีความเข้ากันได้มากขึ้น เป็นการเพิ่มประสิทธิภาพให้กับโพลิเมอร์คอมโพสิตที่ดีขึ้น โดยมอนต์มอริลโลไนต์ที่ได้ผ่านการดัดแปลงแล้วเรียกว่ามอนต์มอริลโลไนต์ดัดแปลง (organically modified montmorillonite, OMMT) หรือออร์แกโนเคลล์



รูปที่ 2.6 การตัดแปรมอนต์มอริลโลในต์ [18]

2.3.1 การกระจายตัวของออร์แกโนเคลย์ในพอลิเมอร์คอมโพสิต

โดยทั่วไปการใช้ตัวเติม เช่น ออร์แกโนเคลย์ ร่วมกับพอลิเมอร์จะไม่สามารถเข้ากันได้เนื่องจากเป็นการผสมที่มีความแตกต่างระหว่างเฟสกล่าวคือสารประกอบอินทรีย์ซึ่งมีสมบัติที่ไม่ชอบน้ำและสารประกอบอนินทรีย์ซึ่งมีสมบัติที่ชอบน้ำ ส่งผลให้เกิดการเกาะกลุ่มกัน (agglomeration) ของเฟสที่เป็นสารอนินทรีย์ด้วยกันเองจึงทำให้วัสดุยังคงมีข้อด้อย ดังนั้นลักษณะการกระจายตัวของออร์แกโนเคลย์ในพอลิเมอร์คอมโพสิตจึงมีความสำคัญในการปรับปรุงสมบัติ ซึ่งขึ้นอยู่กับหลายปัจจัย เช่น ชนิดของประจุที่ใช้ในการตัดแปรมอนต์มอริลโลในต์ ชนิดของพอลิเมอร์ รวมถึงวิธีการเตรียมออร์แกโนเคลย์/พอลิเมอร์คอมโพสิต โดยลักษณะการกระจายตัวทั่วไปของแร่ดินในพอลิเมอร์คอมโพสิตจะแบ่งออกได้เป็น 3 แบบ ดังแสดงในรูปที่ 2.7



รูปที่ 2.7 การกระจายตัวของแร่ดินในพอลิเมอร์ [19]

2.3.1.1 คอมโพสิตที่มีโครงสร้างแบบทั่วไป (generation of tactoid composite)

สายโซ่ของพอลิเมอร์มีลักษณะไม่สามารถสอดแทรกหรือเกิดอันตรกิริยากับแร่ดินได้เนื่องจากแร่ดินยังคงเกิดการเกาะกลุ่มกัน ทำให้สายโซ่พอลิเมอร์ได้แค่ล้อมรอบบนภายนอกของแร่ดินอยู่

ภายนอกเท่านั้น ส่งผลให้คอมโพสิตเกิดการแยกเฟสขึ้น ซึ่งจะพบลักษณะแบบนี้ในการใช้เคลือบที่ไม่ได้ผ่านการตัดแปร

2.3.1.2 คอมโพสิตที่มีโครงสร้างแบบแทรก (intercalation composite)

สายโซ่พอลิเมอร์ตั้งแต่หนึ่งสายโซ่เกิดการสอดแทรกเข้าไประหว่างแผ่นของแร่ดินได้ แล้วทำให้ระยะห่างระหว่างแผ่นขยายเพิ่มขึ้น ส่งผลให้แร่ดินมีการขยายตัวที่มากขึ้น แต่ยังคงมีลักษณะการซ้อนกันเป็นชั้นประภากว้าง ซึ่งจะพบว่าพอลิเมอร์กับแร่ดินนั้นมีการลับเป็นชั้นต่อเนื่องกันไปโดยการที่สายโซ่พอลิเมอร์แทรกตัวเข้าไปในชั้นจะทำให้แรงไฟฟ้าสถิตระหว่างชั้นของแร่ดินลดลง

2.3.1.3 คอมโพสิตที่มีโครงสร้างแบบแยกเป็นแผ่น (exfoliation composite)

แต่ละแผ่นของแร่ดินมีลักษณะการแยกออกจากกันอย่างสมบูรณ์ ไม่มีการซ้อนกันเป็นชั้นสายโซ่พอลิเมอร์จะแทรกเข้าไปในระหว่างแผ่นของแร่ดินจะทำให้ระยะห่างขยายกว้างขึ้นจนแร่ดินเกิดการแตกออกเป็นแผ่นเดียว ทำให้พอลิเมอร์เข้าไปปกคลุมล้อมรอบแต่ละแผ่นของแร่ดินเอาไว้ได้ ซึ่งระยะห่างแต่ละแผ่นของแร่ดินขึ้นอยู่กับปริมาณของแร่ดินที่ใช้ โดยทั่วไปแล้วแร่ดินที่จะเกิดลักษณะแบบนี้จะมีปริมาณที่น้อยกว่าแบบที่ 2.3.1.2 ลักษณะการเกิดแบบนี้จะยิ่งทำให้มีอัตราส่วนของความยาวต่อความหนาสูงมากขึ้นและเกิดอันตรายร้ายแรงพอลิเมอร์และแร่ดินได้อย่างดี ส่งผลให้สามารถปรับปรุงสมบัติของวัสดุคอมโพสิตได้อย่างมาก

โดยวัสดุคอมโพสิตที่มีโครงสร้างแบบแทรกและแบบแยกเป็นแผ่นจะทำให้ได้สมบัติของวัสดุที่ดีมากขึ้นอย่างเห็นได้ชัด โดยเฉพาะในกรณีที่มีโครงสร้างแบบแยกเป็นแผ่นซึ่งมีการใช้ปริมาณแร่ดินเพียงเล็กน้อยจะแสดงสมบัติต่างๆของวัสดุได้อย่างมีประสิทธิภาพมากขึ้น

2.3.2 เทคนิคการเตรียมพอลิเมอร์คอมโพสิตที่เสริมแรงด้วยออร์แกโนเคลือบ

ในการผลิตวัสดุพอลิเมอร์เชิงประกอบที่เสริมแรงด้วยออร์แกโนเคลือบ มี 3 เทคนิค ได้แก่

2.3.2.1 เทคนิคการผลิตร่วมกับการสังเคราะห์พอลิเมอร์ (*in situ* intercalative polymerization)

เป็นการนำเอาแร่ดินทำให้เกิดการบวมตัวในสารละลายของมอนومอร์ โดยทำให้มอนومอร์แทร์เข้าไประหว่างแผ่นของแร่ดินได้แล้วทำให้เกิดการสังเคราะห์พอลิเมอร์ขึ้น (polymerization) ด้วยความร้อน รังสี หรือตัวเร่งปฏิกิริยา กีดตาม ซึ่งพอลิเมอร์ที่เกิดขึ้นนั้นจะแทรกตัวอยู่ระหว่างแผ่นของแร่ดิน เมื่อสายโซ่พอลิเมอร์ยาวขึ้นจะทำให้แผ่นของแร่ดินนั้นเกิดการแตกแยกออกจากกันเป็นแผ่นๆ

2.3.2.2 เทคนิคสารละลาย (solution intercalation)

เป็นการนำพอลิเมอร์ไปละลายในตัวทำละลายที่มีแร่ดินเกิดการบวมตัวอยู่ในตัวทำละลายเดียวกัน เนื่องจากระหว่างแผ่นของแร่ดินนั้นถูกยึดเหนี่ยวด้วยแรงอ่อนๆ จึงทำให้ตัวทำละลายสามารถแพร่เข้าไปได้ รวมทั้งสายโซ่พอลิเมอร์ที่อยู่ในรูปสารละลายแล้วจะสามารถแทรกเข้าไประหว่างแผ่นของแร่ดินได้ จากนั้นทำการระเหยตัวทำละลายออกจะได้วัสดุคอมโพสิตที่มีพอลิเมอร์แทรกอยู่ระหว่างแผ่นของแร่ดิน แต่จะไม่สามารถทำให้แผ่นของแร่ดินแตกแยกออกจากกันเป็นแผ่นๆ ได้

2.3.2.3 เทคนิคการหลอมเหลว (melt intercalation)

เป็นการผสมแร่ดินกับพอลิเมอร์ที่กำลังถูกหลอมเหลว ซึ่งถ้ามีสภาพที่เหมาสมและแร่ดินที่ใช้มีความสามารถเข้ากันได้กับพอลิเมอร์นั้น จะทำให้สายโซ่พอลิเมอร์สามารถแทรกเข้าไประหว่างแผ่นของแร่ดินได้ โดยจะไปทำให้ระยะระหว่างแผ่นขยายกว้างขึ้น หรืออาจจะทำให้แผ่นของแร่ดินเกิดการแตกแยกออกจากกันได้

ซึ่งเทคนิคการหลอมเหลวนี้กำลังเป็นที่นิยมกันมากในปัจจุบัน เนื่องจากสามารถทำการเตรียมแร่ดิน/พอลิเมอร์คอมโพสิตได้ด้วยเทคนิคการอัดรีด (extrusion) โดยสามารถเตรียมได้ง่าย สามารถทำการผสมระหว่างแร่ดินและพอลิเมอร์ที่สัดส่วนต่างๆ ก่อนทำการหลอมผสมได้ อีกทั้งเครื่องผสมที่ใช้ในการเตรียมด้วยเทคนิคหนึ่งมีใช้ในทางการค้าโดยตรง เช่น เครื่องผสมแบบปิด (internal mixer) เครื่องอัดรีดแบบสกรู (screw extruder) เป็นต้น นอกจากนี้เทคนิคการหลอมเหลวไม่ต้องใช้ตัวทำละลายซึ่งเป็นพิษและสิ่งเปลือยอีกด้วย [20, 21]

2.3.3 ลักษณะของเคลือบ/พอลิเมอร์คอมโพสิต

วัสดุจากเคลือบ/พอลิเมอร์คอมโพสิตมีลักษณะที่สำคัญ [22] ดังนี้

- (1) มีความแข็งแรง มอดุลัสและความยืดสูงสุด ณ จุดขาดสูงขึ้น แต่หักน้ำหนักกับอันตรกิริยาระหว่างพอลิเมอร์และสารตัวเติม
- (2) มีความสามารถในการทนความร้อนสูงได้ขึ้นและป้องกันการลุกไหม้ของไฟได้ดี เพราะการมีองค์ประกอบที่เป็นชีลิกเกตจะทำให้เป็นอนุวัติที่ดี เมื่อเกิดการเผาไหม้จะทำให้เกิดถ่าน (char) ปกคลุมที่บริเวณผิวน้ำ จึงไม่เกิดการลุกไหม้ และช่วยทำให้ไฟดับได้รวดเร็ว
- (3) มีสมบัติสักดักกันการซึมผ่านของก๊าซและไอน้ำที่ดี
- (4) เมื่อผสมในพอลิเมอร์บางชนิดที่นำไฟฟ้า จะช่วยทำให้นำไฟฟ้าหรืออิเล็กตรอนได้ดีขึ้น เพราะเกิดการจัดเรียงตัวของโมเลกุลให้อยู่ในภาวะที่เอื้อต่อการนำไฟฟ้า เช่น สายโซ่โมเลกุลจะถูกยึดออกมาระบุให้มีพื้นที่มากขึ้นส่งผลให้การเคลื่อนที่ของอิเล็กตรอนสะดวกขึ้น

2.4 สารคุ่ค่าว

ในการใช้ตัวเติมหรือสารเสริมแรงเพื่อเป็นการปรับปรุงสมบัติเชิงกลของพอลิเมอร์คอมโพสิตนั้น จะสามารถปรับปรุงสมบัติให้ดีขึ้นได้มากถ้าหากทำให้ตัวเติมหรือสารเสริมแรงนั้นมีลักษณะการกระจายตัวหรือมีแรงยึดเกาะกับเนื้อพอลิเมอร์เมทริกซ์ได้ดี โดยวิธีการหนึ่งที่นิยมใช้ก็คือการเคลือบหรือปรับแต่งพื้นผิวของตัวเติมหรือสารเสริมแรงด้วยสารที่สามารถเข้ากันได้กับทั้งสองเฟส แต่เทคนิคนี้อาจจะส่งผลให้ราคาวัสดุสูงมากขึ้น ประกอบกับขั้นตอนในการปรับแต่งอาจจะยุ่งยากมีความซับซ้อน ดังนั้นอีกวิธีการหนึ่งที่จะสามารถปรับปรุงการยึดระหว่างตัวเติมหรือสารเสริมแรงกับพอลิเมอร์ก็คือการใช้สารเติมแต่งอีกประเภทหนึ่ง ซึ่งก็คือสารคุ่ค่าวหรือสารช่วยยึด (coupling agent) โดยสารประเภทนี้จะมีการสร้างพันธะที่แข็งแรงกับพอลิเมอร์และตัวเติมหรือสารเสริมแรงเพื่อเป็นสะพานหรือตัวกลางในการเชื่อมระหว่างทั้งสองเฟส ทำให้มีการยึดเกาะระหว่างสองเฟสได้ดีขึ้น [15]

2.4.1 กลไกการปรับปรุงการยึดระหว่างตัวเติมหรือสารเสริมแรงกับพอลิเมอร์โดยการใช้สารคุ่ค่าว

สารคุ่ค่าวมีสูตรทั่วไปคือ $(R'O)_x-M-(R-X)_y$

โดย	M	คือ	โลหะ ได้แก่ ซิลิกอน ไททาเนียมหรือเซอร์โคเนียม
	X	คือ	หมุ่ฟังก์ชันที่เข้าทำปฏิกิริยาเกิดพันธะกับพอลิเมอร์
	R	คือ	หมุ่อินทรีย์ที่เชื่อมอยู่ระหว่างหมุ่ X กับโลหะ M
	R'O	คือ	หมุ่ที่เข้าทำปฏิกิริยาเกิดพันธะกับตัวเติมหรือสารเสริมแรง

ในการยึดระหว่างสารคุ่ค่าวกับสารเสริมแรงอาจเกิดปฏิกิริยาได้ 2 แบบ ได้แก่

- (1) เกิดปฏิกิริยาโดยตรงระหว่างหมุ่ OR' ของสารคุ่ค่าวกับหมุ่ OH ที่พื้นผิวของสารเสริมแรง ดังสมการที่ 2.1



- (2) เกิดจากการที่หมุ่ OR' ถูกไฮโดรไลซ์ด้วยความชื้น (น้ำ) ที่พื้นผิวของสารเสริมแรงได้เป็นหมุ่ OH ดังสมการที่ 2.2 แล้วเข้าทำปฏิกิริยากับสารเสริมแรง ดังแสดงสมการที่ 2.3



ในกรณีสำหรับการยึดระหว่างสารคุ่ค่าวและพอลิเมอร์จะเกิดจากหมุ่ X ของสารคุ่ค่าวเข้าทำปฏิกิริยากับหมุ่ฟังก์ชันของพอลิเมอร์ ทั้งนี้หมุ่ X สามารถได้หลากหลายชนิดเพื่อให้มีความเหมาะสม

ในการนำไปใช้งานกับพอลิเมอร์ชนิดต่างๆ ตัวอย่างเช่น สารคุ่คubaทีมีหมู่ \times คือหมู่ไวนิล (vinyl) หรืออะคริลิล (acrylyl) ก็จะนำไปใช้กับพอลิเมอร์ที่เป็นพอลิเอสเทอร์ชนิดไม่อิมตัวหรือพอลิโอลิฟินชนิดเชื่อมขวาง (crosslinked polyolefins) ซึ่งปฏิกริยาที่เกิดขึ้นระหว่างสารทั้งสองจะเป็นแบบแอดดิคัลลิสระ

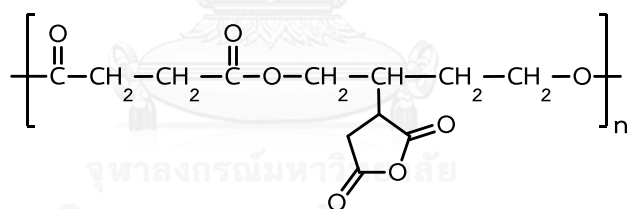
2.4.2 วิธีการนำสารคุ่คubaไปใช้งาน

ในการใช้สารคุ่คuba มี 2 วิธีด้วยกัน ได้แก่

- (1) นำสารคุ่คubaไปเคลือบหรือปรับแต่งที่พื้นผิวของสารเสริมแรงแล้วนำไปผสมกับพอลิเมอร์
- (2) นำสารคุ่คuba มาผสมกับพอลิเมอร์และสารเสริมแรงโดยตรงระหว่างกระบวนการคอมพาวน์ดิจ

2.4.3 พอลิบิวทธีลีนซักซิเนตกราฟต์ด้วยมาเลอิกแอนไฮไดรด์

ในกรณีของพอลิเมอร์ที่ไม่มีข้า เช่น พอลิแล็กทิกแอซิด พอลิบิวทธีลีนซักซิเนต พบว่าการใช้สารคุ่คubaทีได้จากการนำสารคุ่คubaไปใช้กราฟต์ด้วยมาเลอิกแอนไฮไดรด์ (MA) กราฟต์บนพอลิบิวทธีลีนซักซิเนตจะทำให้สารเสริมแรงยึดเกาะกับพอลิเมอร์เหล่านี้ได้ดี โดยพอลิบิวทธีลีนซักซิเนตกราฟต์ด้วยมาเลอิกแอนไฮไดรด์ (PBS-g-MA) สังเคราะห์ได้จากการนำมาเลอิกแอนไฮไดรด์ไปกราฟต์บนสายโซ่ของพอลิบิวทธีลีนซักซิเนตด้วยการทำให้เกิดแอดดิคัลลิสระบนสายโซ่พอลิบิวทธีลีนซักซิเนต รูปที่ 2.8 แสดงโครงสร้างของพอลิบิวทธีลีนซักซิเนตกราฟต์ด้วยมาเลอิกแอนไฮไดรด์

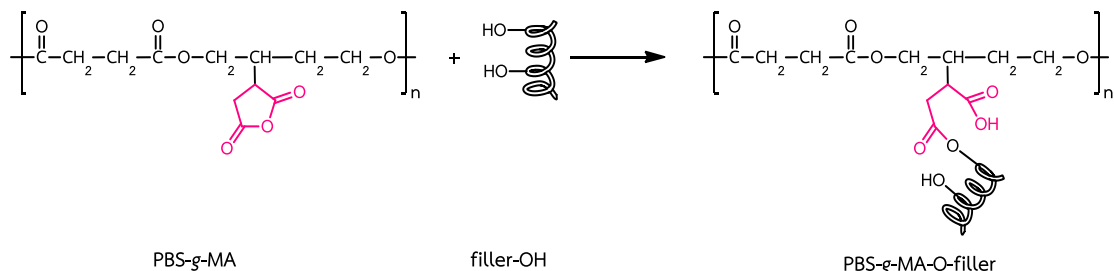


รูปที่ 2.8 โครงสร้างของพอลิบิวทธีลีนซักซิเนตกราฟต์ด้วยมาเลอิกแอนไฮไดรด์ (PBS-g-MA)

โดยสามารถเตรียมพอลิบิวทธีลีนซักซิเนตกราฟต์ด้วยมาเลอิกแอนไฮไดรด์ได้หลายกระบวนการ เช่น

- (1) การรีฟลั๊กซ์ เป็นการทำให้พอลิบิวทธีลีนซักซิเนต มาเลอิกแอนไฮไดรด์และเปอร์ออกไซด์ที่ใช้เป็นสารเร่งในการเกิดปฏิกริยาทำให้เกิดปฏิกริยาภายใต้บรรยายกาศก้าวน์โตรเจนเป็นเวลาอย่างน้อย 12 ชั่วโมง [23]
- (2) กระบวนการหลอมเหลว ซึ่งทำได้โดยการนำพอลิบิวทธีลีนซักซิเนต มาเลอิกแอนไฮไดรด์และใช้เปอร์ออกไซด์เป็นสารเร่งในการเกิดปฏิกริยามาผสมเข้าด้วยกันแล้วให้เกิดปฏิกริยาภายใต้เครื่องผสมแบบปิดผ่านการหลอมเหลวของพอลิเมอร์และสารเคมีที่อุณหภูมิ 135 องศาเซลเซียส หรือเกิดปฏิกริยาผ่านเครื่องอัดรีดด้วยการหลอมเหลวของสารที่อุณหภูมิ 120-130 องศาเซลเซียส [24, 25]

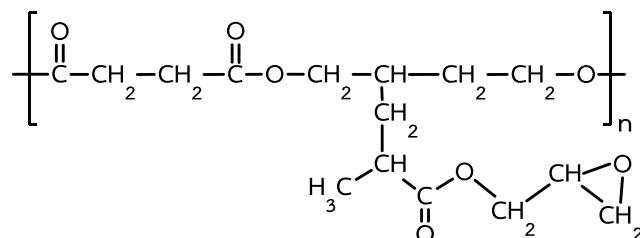
จากโครงสร้างของพอลิบิวทิลีนซัคชิเนตกราฟต์ด้วยมาเลอิกแอนไฮไดรด์ที่มีหมู่ฟังก์ชันคือ แอนไฮไดรด์จะสามารถเข้าทำปฏิกิริยากับส่วนที่มีข้อของสารเสริมแรงได้ ดังแสดงในรูปที่ 2.9 ส่วนบริเวณพอลิบิวทิลีนซัคชิเนตจะเกิดการเกี่ยวพันกันของสายโซ่กับส่วนที่เป็นพอลิเมอร์เมทริกซ์



รูปที่ 2.9 ปฏิกิริยาระหว่างหมู่ไฮดรอกซิลของสารเสริมแรงและพอลิบิวทิลีนซัคชิเนตกราฟต์ด้วยมาเลอิกแอนไฮไดรด์ (ดัดแปลงจาก [26])

2.4.4 พอลิบิวทิลีนซัคชิเนตกราฟต์ด้วยไกลซิดิลเมทาคริเลต

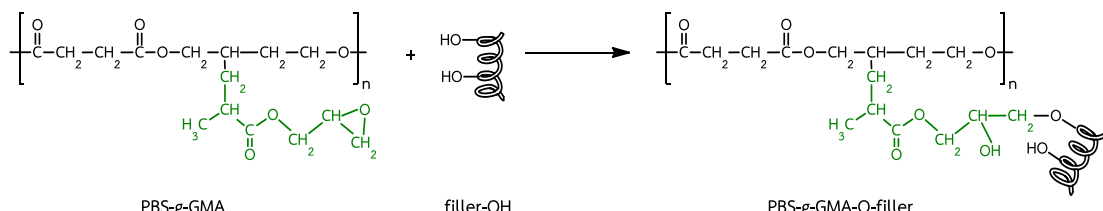
นอกจากการใช้พอลิบิวทิลีนซัคชิเนตกราฟต์ด้วยมาเลอิกแอนไฮไดรด์เป็นสารคุ่มควบแล้ว ยังพบว่ามีการใช้พอลิบิวทิลีนซัคชิเนตกราฟต์ด้วยไกลซิดิลเมทาคริเลต (PBS- g -GMA) เป็นสารคุ่มควบได้อีกด้วย แต่ทั้งนี้ยังมีงานวิจัยที่ทำการศึกษาสารคุ่มควบชนิดนี้ไม่มากนัก พอลิบิวทิลีนซัคชิเนตกราฟต์ด้วยไกลซิดิลเมทาคริเลตสามารถเคราะห์ได้ด้วยวิธีการเช่นเดียวกับพอลิบิวทิลีนซัคชิเนตกราฟต์ด้วยมาเลอิกแอนไฮไดรด์ก็ล่าวคือเป็นนำไกลซิดิลเมทาคริเลตไปกราฟต์บนสายโซ่ของพอลิบิวทิลีนซัคชิเนต ด้วยการทำให้เกิดแรดิคัลอิสระบนสายโซ่พอลิบิวทิลีนซัคชิเนต รูปที่ 2.10 แสดงโครงสร้างของพอลิบิวทิลีนซัคชิเนตกราฟต์ด้วยไกลซิดิลเมทาคริเลต



รูปที่ 2.10 โครงสร้างของพอลิบิวทิลีนซัคชิเนตกราฟต์ด้วยไกลซิดิลเมทาคริเลต (PBS- g -GMA)

การเตรียมพอลิบิวทิลีนซัคชิเนตกราฟต์ด้วยไกลซิดิลเมทาคริเลตสามารถเตรียมได้หลายวิธี เช่นเดียวกับพอลิบิวทิลีนซัคชิเนตกราฟต์ด้วยมาเลอิกแอนไฮไดรด์ โดยสามารถเตรียมได้จากการรีฟลักก์ [27] และผ่านกระบวนการหลอมเหลว [28]

เนื่องจากโครงสร้างของพอลิบิวทิลีนซัคชิเนตกราฟต์ด้วยไกลซิดิลเมทาคริเลตที่มีหมู่ฟังก์ชันคืออิพ็อกซี่ที่จะสามารถเข้าทำปฏิกิริยากับส่วนที่มีขั้วของสารเสริมแรงได้ ดังแสดงในรูปที่ 2.11 ส่วนบริเวณพอลิบิวทิลีนซัคชิเนตก็จะสามารถเกิดการเกี้ยวพันกันของสายโซ่กับส่วนที่เป็นพอลิเมอร์เมทริกซ์ทำให้มีความเข้ากันได้



รูปที่ 2.11 ปฏิกิริยาระหว่างหมู่ไฮดรอกซิลของสารเสริมแรงและพอลิบิวทิลีนซัคชิเนตกราฟต์ด้วยไกลซิดิลเมทาคริเลต (ดัดแปลงจาก [27])

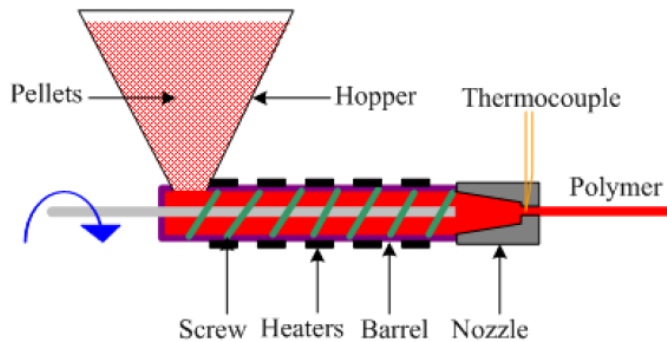
2.5 กระบวนการเตรียมพอลิเมอร์คอมโพสิตและการขึ้นรูปขึ้นงาน

ในกระบวนการเตรียมสามารถทำได้หลายวิธีด้วยกัน เช่น การใช้สารละลาย (solution method) การพอลิเมอไรเซชันแบบอินไซท์ (in situ polymerization) และการเตรียมด้วยการหลอมเหลว (melt method) ซึ่งกระบวนการเตรียมที่นิยมใช้กันมากที่สุดคือการผสมพอลิเมอร์ด้วยวิธีการหลอมเหลว เนื่องจากเป็นวิธีการที่ไม่ยุ่งยาก ไม่ต้องใช้ตัวทำละลายซึ่งต้องมีค่าใช้จ่ายเพิ่มเติม และไม่ต้องเสียเวลาในการระเหยและควบคุมตัวทำละลาย โดยทั่วไปสามารถแบ่งการเตรียมพอลิเมอร์คอมพอยต์ออกได้เป็น 2 ชนิด คือ การผสมภายในแบบทีลิชุด (internal batch mixer) เช่น เครื่องผสมแบบบานบูรี (banbury mixer) และการผสมแบบต่อเนื่อง (continuous mixing) เช่น เครื่องอัดรีดสกรูเดี่ยว (single screw extruder) และเครื่องอัดรีดสกรูคู่ (twin screw extruder) [6, 29] โดยงานวิจัยนี้ได้เลือกเทคนิคการผสมแบบต่อเนื่องด้วยเครื่องอัดรีดสกรูคู่หรือเรียกเทคนิคนี้ว่าเทคนิคการอัดรีดแบบรีแอคทีฟ (reactive extrusion technique) เนื่องจากเป็นเทคนิคที่สามารถนำไปประยุกต์ใช้งานได้ในอุตสาหกรรม ประหยัดเวลา สะดวกและรวดเร็ว

2.5.1 การเตรียมพอลิเมอร์คอมพอยต์ด้วยกระบวนการอัดรีด

ในกระบวนการอัดรีด (extrusion process) เป็นกระบวนการผสมอย่างหนึ่งที่มีความต่อเนื่อง ใช้สำหรับการเตรียมหรือผสมตัวเติมหรือสารเสริมแรงกับพลาสติกซึ่งเรียกว่าการคอมพาวน์ดิ้ง (compounding) ประกอบด้วยส่วนประกอบหลักๆ ดังแสดงในรูปที่ 2.12 ซึ่งมีขั้นตอนเริ่มตั้งแต่การผสมเชิงกลมภายนอกเครื่องผสมนึ่ก่อนแล้วตามด้วยการใส่ส่วนผสมเข้าไปในเครื่องผ่านกรวยเติม (hopper) จากนั้นส่วนผสมดังกล่าวจะลงไปยังสกรู (screw) ภายในเครื่องแล้วแรงจากสกรูจะทำให้ส่วนผสมนั้นเคลื่อนที่เข้าสู่ภายในระบบอัดรีด (barrel) ที่มีการให้ความร้อน

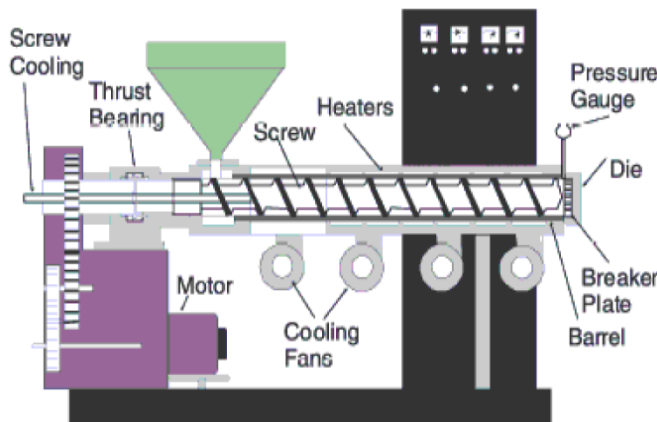
อย่างต่อเนื่องจากແບບໃໝ່ความຮ້ອນເພື່ອໃຫ້ເກີດກາຮລອມເໜວແລະເກີດກາຜສມຂອງສາງ ນອກຈາກນີ້ຍັງມີຄວາມຮ້ອນທີ່ເກີດຈາກກາຮເສີຍດສີຂອງພອລິມෝຣດ້ວຍກັນເອງ ແລະຄວາມຮ້ອນທີ່ເກີດຈາກກາຮເສີຍດສີຮ່ວງພອລິມෝຣແລະສກຽງ ໂດຍຄວາມລຶກຂອງຮ່ວງສກຽງຈະລດລົງຕາມຄວາມຍາວຂອງສກຽງ ເພື່ອເປັນກາເພີ່ມຄວາມດັນໃຫ້ແກ່ພອລິມෝຣທີ່ຮລອມເໜວສາມາຮດໄຫວ່ານອກຈາກຫັ້ດາຍ (die) ໄດ້ ຊິ່ງຫັ້ດາຍຈາມມີໄດ້ຫລາກຫລາຍຮູບແບບແລະເປັນຕົວກຳທັນດຽວປ່ຽນຂອງພລິຕິກັນທີ່ຕ້ອງກາຮ ເຊັ່ນ ພິລິມ ແຜ່ນຫຼືວ່ອທ່ອ ເປັນດັນ [29]



ຮູບທີ 2.12 ສ່ວນປະກອບຫລັກຂອງເຄົ່ອງອັດຮີດ [30]

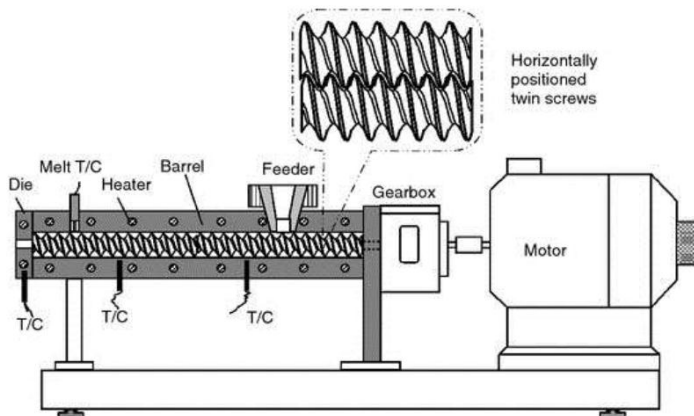
ເຄົ່ອງອັດຮີດທີ່ໃໝ່ໃນອຸຕສາຫກຮົມສາມາຮດແບ່ງອອກໄດ້ເປັນ 2 ຈົນິດ [29, 31] ໄດ້ແກ່

(1) ເຄົ່ອງອັດຮີດແບບສກຽງເດືອຍ (single screw extruder) ເປັນເຄົ່ອງທີ່ມີປະສິທິກາພໃນກາຮຜສມຕໍ່ກວ່າເຄົ່ອງອັດຮີດແບບສກຽງຄູ່ ເມື່ອທີ່ກາຮຜສມດ້ວຍເຄົ່ອງອັດຮີດແບບສກຽງເດືອຍຈະເກີດລັກຍະນະກາຮໃຫ້ເໜວຂອງພອລິມෝຣຮລອມເໜວແບບລາກພາ (drag flow) ທີ່ບໍລິເວັນສກຽງກັບຜັນຂອງກະບອກອັດຮີດ ສ່ວນໃຫ້ເກີດຄວາມຮ້ອນຈາກກາຮເສີຍດສີ ຍາກຕ່ອກກາຮຄວບຄຸມອຸນຫຼວມໝົມໝົນທີ່ກາຮຮລອມເໜວ ຮູບທີ 2.13 ແສດ ສ່ວນປະກອບຫລັກຂອງເຄົ່ອງອັດຮີດແບບສກຽງເດືອຍ



ຮູບທີ 2.13 ສ່ວນປະກອບຫລັກຂອງເຄົ່ອງອັດຮີດແບບສກຽງເດືອຍ [32]

(2) เครื่องอัดรีดแบบสกรูคู่ (twin screw extruder) มีสกรู 2 ตัวซึ่งหมุนคู่กันในระบบอัดรีด ดังแสดงในรูปที่ 2.14 ซึ่งเครื่องอัดรีดแบบสกรูคู่จะมีการให้ความร้อนจากแลบทำความร้อนที่ผนังของระบบอัดรีด ทำให้การถ่ายเทความร้อนสู่พอลิเมอร์ลดลงที่เคลื่อนที่ในระบบอัดรีดเป็นไปอย่างสม่ำเสมอ หมายเหตุการนำมาใช้ในกระบวนการผลิตมากกว่า โดยสามารถแบ่งเครื่องอัดรีดสกรูได้เป็น 2 ชนิดตามการพิจารณาจากส่วนฟันของสกรูที่ขับกันอยู่ คือ เครื่องอัดรีดสกรูคู่แบบหมุนทางเดียว (co-rotating twin screw extruder) ดังแสดงในรูปที่ 2.15 ซึ่งนิยมใช้ในการทำคอมพาวน์ดิงเนื่องจากมีการขับเคลื่อนของสกรูได้อย่างสนิททำให้เกิดการบดผสมที่ดี และเครื่องอัดรีดสกรูคู่แบบหมุนสวนทางกัน (counter-rotating twin extruder) ดังแสดงในรูปที่ 2.16



รูปที่ 2.14 ส่วนประกอบหลักของเครื่องอัดรีดแบบสกรูคู่ [32]



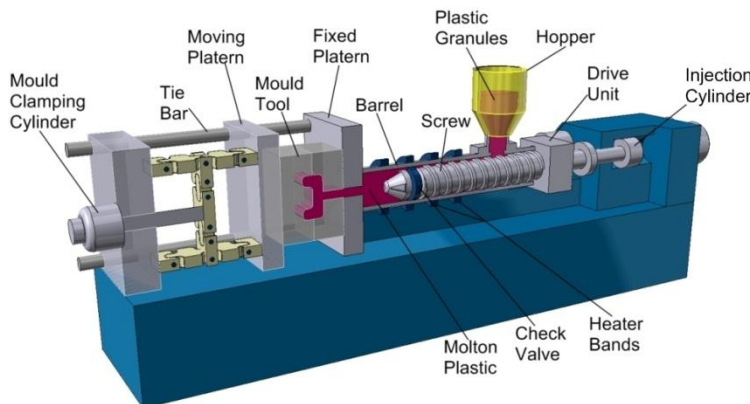
รูปที่ 2.15 สกรูคู่แบบหมุนทางเดียว (co-rotating twin screw) [33]



รูปที่ 2.16 สกรูคู่แบบหมุนสวนทางกัน (counter-rotating twin screw) [33]

2.5.2 กระบวนการขึ้นรูปชิ้นงานด้วยวิธีการฉีด

การขึ้นรูปพลาสติกด้วยวิธีการฉีด (injection molding) เป็นกระบวนการขึ้นรูปที่นิยมใช้กันมาก เนื่องจากมีความรวดเร็วในการผลิต สามารถขึ้นรูปผลิตภัณฑ์ได้หลากหลายลักษณะ มีขั้นตอนในการผลิตที่ไม่ซับซ้อน และมีกำลังในการผลิตที่ค่อนข้างสูง อีกทั้งมีความสามารถในการผลิตซ้ำ (reproducibility) ที่ดี ส่วนประกอบหลักของเครื่องฉีดพลาสติกนั้นดังแสดงในรูปที่ 2.17



รูปที่ 2.17 ส่วนประกอบของเครื่องฉีดพลาสติก [34]

ขั้นตอนในกระบวนการขึ้นรูปด้วยวิธีการฉีดเริ่มจากการเติมเม็ดพลาสติกที่จะทำการขึ้นรูปใส่ในเครื่องผ่านกรวยเติม (hopper) เม็ดพลาสติกจะถูกหลอมและผสมกันด้วยการหมุนของスクrew (screw) จากนั้นพลาสติกหลอมจะถูกผลักดันเคลื่อนที่ตามスクrewไปยังหัวดาย (die) เข้าสู่แม่พิมพ์แบบ (mold) เมือพลาสติกถูกฉีดเข้าไปในแม่แบบจะเริ่มแข็งตัว เป็นผลมาจากการหัวหล่อเย็นในแม่แบบ จากนั้นผลิตภัณฑ์จะถูกนำออกมารอยการเปิดแม่แบบ ซึ่งขั้นตอนที่สำคัญคือ ส่วนการฉีดและส่วนการยึดแม่แบบ โดยส่วนการฉีดจะต้องฉีดหรืออัดพลาสติกหลอมเข้าไปในแม่แบบด้วยความดันสูง เพื่อให้พลาสติกหลอมไหลเข้าเต็มแม่แบบจนเต็มเนื้องจากพลาสติกหลอมมีความหนืดที่ค่อนข้างสูง ส่วนที่เป็นการยึดแม่แบบจะต้องทำการยึดแม่แบบที่ประกับกันอยู่ด้วยแรงที่มากพอ เพื่อไม่ทำให้พลาสติกหลอมดันแม่แบบจนเปิดป้องกันการเกิดครีบ (flashing) ขึ้นที่ผลิตภัณฑ์ [14, 29]

2.6 งานวิจัยที่เกี่ยวข้อง

การปรับปรุงพัฒนาพอลิบิวทิลีนซัคชีเนตให้สามารถใช้งานได้หลากหลายมากขึ้นนั้นทำได้ หลายวิธีการ เช่น การทำเป็นพอลิเมอร์ผสม การใช้สารเติมแต่งชนิดต่างๆ หรือแม้กระทั่งการทำเป็นวัสดุคอมโพสิต

งานวิจัยของ Bhatia และคณะ [35] ทำการศึกษาพอลิเมอร์สมรรถะว่า พอลิแล็คทิกแอชิด และพอลิบิวทิลีนซัคซิเนตที่สัดส่วนต่างๆ ตั้งแต่ร้อยละ 0-100 โดยนำหนักโดยเตรียมพอลิเมอร์สมรรถะด้วยเครื่องอัดรีดแบบสกรูคู่ พบว่าพอลิเมอร์สมรรถะมีพอลิแล็คทิกแอชิดและพอลิบิวทิลีนซัคซิเนตที่สัดส่วนร้อยละ 90/10 และ 80/20 โดยนำหนักมีความสามารถเข้ากันได้ดี แต่เมื่อมีสัดส่วนผสมของพอลิบิวทิลีนซัคซิเนตตั้งแต่ร้อยละ 20 โดยนำหนักขึ้นไปจะแสดงความสามารถเข้ากันไม่ค่อยดี ดังจะเห็นได้จากค่าความทนแรงดึง (tensile strength) และค่ามอดูลัส (modulus) ที่ลดลง นอกจากนี้จากภาพถ่ายด้วยกล้องจุลทรรศน์อิเล็กตรอนจะเห็นความแตกต่างของห้องสองเฟสได้อย่างชัดเจน และจากการทดสอบสมบัติทางความร้อนของพอลิเมอร์สมรรถะ พอลิเมอร์สมรรถะมีพอลิบิวทิลีนซัคซิเนตตั้งแต่ร้อยละ 20 โดยนำหนักขึ้นไปจะเห็นอุณหภูมิที่ใช้ในการหลอมผลึกสองค่า ซึ่งแสดงให้เห็นว่าพอลิเมอร์ห้องสองที่สัดส่วนต่างกันล่วงมีความสามารถที่ไม่เข้ากัน

มีงานวิจัยที่ผ่านมาพยายามพัฒนาสมบัติของพอลิบิวทิลีนซัคซิเนตด้วยการเตรียมเป็นคอมโพสิต เช่น งานวิจัยของ Makhatha และคณะ [36] รายงานว่าการใช้เมก้าที่ผ่านการดัดแปลง (organically modified synthetic fluorine mica, OMSFM) เป็นตัวเติมเสริมแรงในพอลิบิวทิลีนซัคซิเนต จะสามารถเพิ่มค่ามอดูลัสสะสม (storage modulus) และมอดูลัสดึง (tensile modulus) ได้มากขึ้น แต่ความเด่น ณ จุดคราก (strength at yield) และความยืดสูงสุด ณ จุดขาด (elongation at break) ของพอลิบิวทิลีนซัคซิเนตคอมพอยสิตมีค่าลดลงเมื่อมีการเติม OMSFM ลงไป เนื่องจากตัวเติมเสริมแรงนี้จะทำให้พอลิบิวทิลีนซัคซิเนตคอมพอยสิตมีลักษณะเปลี่ยนมากขึ้น และยังมีงานวิจัยที่พยายามดัดแปลงตัวเติมเสริมแรงให้มีความสามารถเข้ากันได้กับพอลิบิวทิลีนซัคซิเนตมากขึ้นโดยใช้สารคู่ควบ ตั้งเช่นงานวิจัยของ Calabia และคณะ [37] ศึกษาผลของการดัดแปลงบริเวณผิวของเส้นใยฝ้ายด้วยสารคู่ควบไซเลน (silane coupling agent) ซึ่งใช้เป็นตัวเติมเสริมแรงในพอลิบิวทิลีนซัคซิเนต พบว่าพอลิบิวทิลีนซัคซิเนตคอมพอยสิตที่มีการใช้เส้นใยที่ไม่ผ่านการดัดแปลงในปริมาณร้อยละ 10-40 จะมีค่าความทนแรงดึงได้เพิ่มถึงร้อยละ 15-78 และสามารถเพิ่มมากขึ้นได้ถึงร้อยละ 25-118 เมื่อมีการใช้เส้นใยที่ผ่านการดัดแปลงด้วยสารคู่ควบไไซเลนเป็นตัวเติมเสริมแรงในพอลิบิวทิลีนซัคซิเนต เนื่องจากเส้นใยฝ้ายที่ผ่านการดัดแปลงมีความสามารถเข้ากันได้กับพอลิบิวทิลีนซัคซิเนตมากขึ้น ซึ่งสังเกตได้จากภาพถ่ายโดยกล้องจุลทรรศน์อิเล็กตรอนบริเวณรอยแตกหัก (fracture surface) ของพอลิบิวทิลีนซัคซิเนตคอมพอยสิต นอกจากนี้ยังพบว่าความสามารถในการย่อยสลายของพอลิบิวทิลีนซัคซิเนตคอมพอยสิตที่มีการใช้เส้นใยทั้งที่ผ่านหรือไม่ผ่านการดัดแปลงนั้นเพิ่มมากขึ้น เมื่อเปรียบเทียบกับพอลิบิวทิลีนซัคซิเนตที่ไม่มีตัวเติมเสริมแรง

นอกจากนี้การใช้ออร์แกโนเคลย์เป็นสารเสริมแรงในพอลิบิวทิลีนซัคซิเนตเป็นที่ได้รับความสนใจมากตั้งเช่น ในปี 2010 Phua และคณะ [38] ศึกษาผลของการใช้ออร์แกโนเคลย์ใน

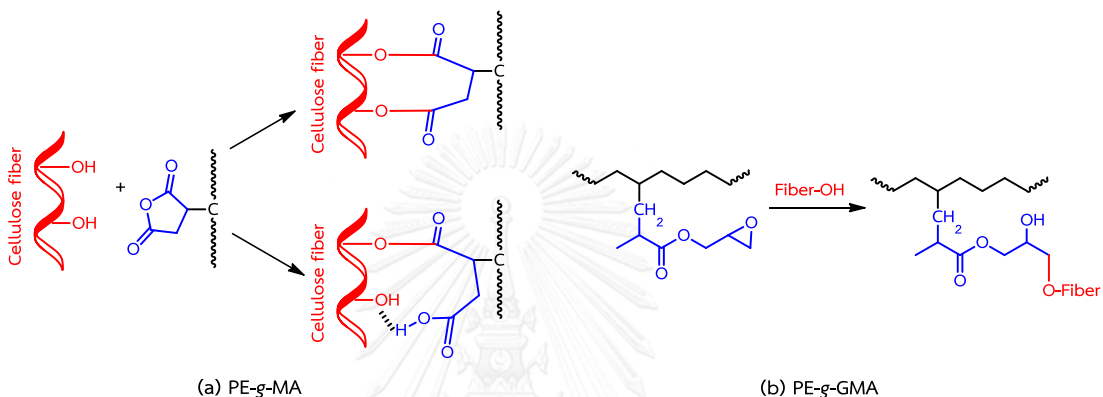
พอลิบิวทิลีนซัคชีเนตที่ปริมาณต่างๆ โดยศึกษาปริมาณในช่วงร้อยละ 0-10 โดยน้ำหนัก พบร่วมกับออร์แกโนเคลย์ปริมาณร้อยละ 2 โดยน้ำหนัก จะสามารถปรับปรุงความทนแรงดึง ความยืดสูงสุด ณ จุดขาด ความทนแรงด้ดโค้ง (flexural strength) และความทนแรงกระแทก (impact strength) ของพอลิบิวทิลีนซัคชีเนตคอมโพสิตได้ดีที่สุด โดยหากใช้ปริมาณออร์แกโนเคลย์ตั้งแต่ ร้อยละ 4 โดยน้ำหนักขึ้นไปจะทำให้สมบัติต่างๆ เหล่านี้ลดลงอย่างเห็นได้ชัด เนื่องมาจากการใช้ออร์แกโนเคลย์ที่มากขึ้นจะทำให้เกิดการเกาะกลุ่มกัน (agglomeration) ของสารได้มากยิ่งขึ้นส่งผลให้เกิดการกระจายตัวได้ไม่ดีนัก

ต่อมา Phua และคณะ [24] มีความสนใจในการศึกษาการสังเคราะห์พอลิบิวทิลีนซัคชีเนตกราฟต์ด้วยมาเลอิกแอนไฮไดร็ต (PBS-g-MA) เพื่อใช้เป็นสารเสริมสภาพเข้ากันได้ โดยใชมาเลอิกแอนไฮไดร็ต (MA) 10 phr และไดคิวมิลเบอร์ออกไซด์ (DCP) เป็นตัวริเริ่ม (initiator) ที่ปริมาณต่างกัน ได้แก่ 1 phr และ 1.5 phr จากนั้นทำการสังเคราะห์ผ่านกระบวนการรีแอกทิฟด้วยเครื่องผสมแบบปิด พบร่วมกับความสามารถทำการเตรียมพอลิบิวทิลีนซัคชีเนตกราฟต์ด้วยมาเลอิกแอนไฮไดร็ตได้ โดยประสิทธิภาพการกราฟต์จะเพิ่มขึ้นตามปริมาณของตัวเริ่มปฏิกิริยาที่มากขึ้น ซึ่งในงานวิจัยนี้ทำการประเมินการกราฟต์ด้วยวิธีการไทเทเรต พบร่วมเมื่อใช้ไดคิวมิลเบอร์ออกไซด์ 1 phr สามารถทำการกราฟต์ได้เท่ากับร้อยละ 3.89 และเมื่อใช้ไดคิวมิลเบอร์ออกไซด์ 1.5 phr จะทำการกราฟต์ได้เท่ากับร้อยละ 4.84 โดยสามารถพิสูจน์การกราฟต์ได้ด้วยเทคนิค FTIR และ NMR นอกจากนี้ยังพบว่า สมบัติเชิงกลของพอลิบิวทิลีนซัคชีเนตคอมโพสิตที่มีออร์แกโนเคลย์เป็นสารเสริมแรงมีแนวโน้มให้ค่าที่ดีขึ้นเมื่อมีการใช้พอลิบิวทิลีนซัคชีเนตกราฟต์ด้วยมาเลอิกแอนไฮไดร็ตเป็นสารเสริมสภาพเข้ากันได้ เมื่อจากช่วยให้ออร์แกโนเคลย์และพอลิเมอร์มีการเข้ามติดระหว่างทั้งสองเฟสได้ดีขึ้น ในงานวิจัยนี้ยังพบอีกว่าปริมาณการกราฟต์ที่มากขึ้นจะสามารถช่วยเพิ่มประสิทธิภาพในการเข้าได้ให้มากยิ่งขึ้นด้วย

งานวิจัยของ Mani และคณะ [39] พบร่วมกับความสามารถการกราฟต์ของพอลิเอสเทอร์กราฟต์ด้วยมาเลอิกแอนไฮไดร็ตนั้นขึ้นอยู่กับหลายปัจจัย เช่น โครงสร้างทางเคมีของพอลิเมอร์ อุณหภูมิที่ใช้ในการเกิดปฏิกิริยา ปริมาณของมาเลอิกแอนไฮไดร็ตและตัวเริ่มปฏิกิริยา อย่างไรก็ตามการทำให้เกิดแรดิคัลได้มากที่สุดจะเป็นปัจจัยหลักที่จะทำให้เกิดการกราฟต์ได้อย่างมีประสิทธิภาพมากที่สุด นั่นก็คือการหาปริมาณสัดส่วนระหว่างตัวเริ่มปฏิกิริยาต่อมาเลอิกแอนไฮไดร็ตที่เหมาะสม ซึ่งในงานวิจัยนี้พบว่าเพิ่มปริมาณไดคิวมิลเบอร์ออกไซด์มากขึ้นปริมาณการกราฟต์จะมีค่าเพิ่มมากขึ้น รวมทั้งการเพิ่มปริมาณของมาเลอิกแอนไฮไดร็ตก็ส่งผลต่อการกราฟต์ที่มากขึ้นเช่นเดียวกัน

ในปี 2013 Aggarwal และคณะ [40] ทำการเปรียบเทียบผลของการใช้สารเสริมสภาพเข้ากันได้สองชนิด ได้แก่ พอลิเอทิลีนกราฟต์ด้วยมาเลอิกแอนไฮไดร็ต (PE-g-MA) และพอลิเอทิลีน

กราฟต์ด้วยไกลซิเดลเมทاكրิเลต (PE-g-GMA) โดยใช้เส้นไยเปลือกไม้ (wood flour) เป็นตัวเสริมแรง และมีพอลิเอทธิลีนเป็นเมทริกซ์ จากการศึกษาพบว่าคุณภาพสิ่งที่ใช้ PE-g-GMA จะช่วยเพิ่มค่าความทนแรงดึงและความทนแรงดึงได้มากกว่าคุณภาพสิ่งที่ใช้ PE-g-MA ซึ่งอาจมีสาเหตุมาจากหมู่ฟังก์ชันแอนไฮดรอร์ที่ปรากฏอยู่ใน PE-g-MA มีความไวต่อการถูกไฮดรอลิซได้ง่าย แต่สำหรับปฏิกิริยาของหมู่ฟังก์ชันไฮดรอร์ที่อยู่ในเส้นไยและ PE-g-GMA เป็นการสร้างพันธะที่เกิดขึ้นผ่านการเปิดวงของหมู่ฟังก์ชันอีพ็อกซีและพันธะนี้มีความทนต่อความชื้นได้มากกว่า โดยปฏิกิริยาของ PE-g-MA และ PE-g-GMA ที่เกิดขึ้นระหว่างเส้นไยธรรมชาติและพอลิเอทธิลีนดังแสดงในรูปที่ 2.18



รูปที่ 2.18 ปฏิกิริยาที่คาดว่าเกิดขึ้นระหว่างเส้นไยธรรมชาติกับ

(a) PE-g-MA และ (b) PE-g-GMA

Liu และคณะ [41] ได้ศึกษาปริมาณการกราฟต์ของพอลิแล็กทิกแอซิดกราฟต์ด้วยไกลซิเดลเมทاكริเลต (PLA-g-GMA) ที่จะส่งผลต่อสมบัติของพอลิแล็กทิกแอซิดเสริมแรงด้วยแป้ง โดยเตรียมพอลิแล็กทิกแอซิดกราฟต์ด้วยไกลซิเดลเมทاكริเลตด้วยเครื่องผสมแบบปิดใช้เบนโซอิลperoxide (BPO) เป็นตัวเร่งปฏิกิริยา แล้วทำการวิเคราะห์สารที่สังเคราะห์ได้ด้วยเทคนิค NMR พบว่ามีสัญญาณเกิดขึ้นใหม่ช่วงประมาณ 1.1-4.4 ppm และมีปริมาณการกราฟต์ในช่วงร้อยละ 1.8-11.0 ขึ้นกับปริมาณของไกลซิเดลเมทاكริเลต ซึ่งงานวิจัยนี้ใช้ปริมาณของสารในร้อยละ 5-20 จากนั้นทำการเตรียม PLA/starch/PLA-g-GMA ในสัดส่วนร้อยละ 50/50/1.5 โดยนำหนักด้วยเครื่องผสมแบบปิดจากนั้นนำขึ้นงานไปทดสอบสมบัติเชิงกลพบว่า PLA/starch ที่ไม่มี PLA-g-GMA มีแรงยึดเหนี่ยวระหว่างเฟสของพอลิเมอร์และสารเสริมแรง (interfacial adhesion) ที่ไม่ดี โดยเห็นอนุภาคของแป้งอย่างชัดเจน แต่จะมีลักษณะการกระจายตัวของแป้งที่ดีในพอลิแล็กทิกแอซิดเมื่อใช้ PLA-g-GMA เป็นสารเสริมสภาพเข้ากันได้ และสมบัติเชิงกลที่ได้มีแนวโน้มที่ดีขึ้นเมื่อเทียบกับไม่มี PLA-g-GMA ในคุณภาพสิ่งที่ใช้ ความทนแรงดึงจาก 18.6 MPa เพิ่มขึ้นเป็น 29.3 MPa ค่ามอดูลัสแรงดึงจาก 510 MPa เพิ่มเป็น 901 MPa และความยืดสูงสุด ณ จุดขาด เพิ่มจากร้อยละ 1.8 เป็น 3.4

นอกจากนี้ Chuai และคณะ [28] ได้ศึกษาพอลิเมอร์สมรรถว่างพอลิแล็คทิกแอซิดและพอลิบิวทิลีนซัคซิเนต โดยเปรียบเทียบผลของการใช้สารเสริมสภาพเข้ากันได้ระหว่าง PLA-g-GMA และพอลิบิวทิลีนซัคซิเนตกราฟต์ด้วยไกลซิเดลเมทาคริเลต (PBS-g-GMA) ซึ่งงานวิจัยนี้ได้เตรียม PLA-g-GMA และ PBS-g-GMA โดยวิธีการผสมแบบหลอมเหลวด้วยเครื่องผสมแบบปิด มีเบนโซอิล เปอร์ออกไซด์เป็นตัวเร่งปฏิกิริยา จำนวนน้ำทำการผสมระหว่างพอลิแล็คทิกแอซิด PLA-g-GMA หรือ PBS-g-GMA และพอลิบิวทิลีนซัคซิเนตด้วยเครื่องอัดรีดสกรูคู่ โดยใช้สัดส่วนของผสม PLA/PLA-g-GMA/PBS คือ 65/15/20 และ PLA/PBS-g-GMA/PBS คือ 80/15/5 แล้ววิเคราะห์ลักษณะอสัณฐาน ของพอลิเมอร์ผสมด้วยภาพถ่ายจากกล้องจุลทรรศน์อิเล็กตรอนพบว่าการผสมระหว่าง พอลิแล็คทิกแอซิดและพอลิบิวทิลีนซัคซิเนตมีความเข้ากันได้มากขึ้นเมื่อการเติม PLA-g-GMA หรือ PBS-g-GMA ลงไป ซึ่งจะเห็นขนาดอนุภาคของพอลิบิวทิลีนซัคซิเนตที่กระจายตัวในพอลิแล็คทิกแอซิดมีขนาดที่เล็กลงและมีกระจายตัวที่ดีขึ้น นอกจากนี้ผลของกราฟต์โคโพลิเมอร์ทั้งสองที่มีต่อสมบัติเชิงกล ของพอลิเมอร์ผสมพบว่าการเติม PBS-g-GMA ลงไป จะส่งผลให้ค่าความทนแรงกระแทกมีค่าสูงขึ้น มากกว่าการใช้ PLA-g-GMA เป็นสารเสริมสภาพเข้ากันได้

ในขณะที่งานวิจัยของ Wu และคณะ [27] สังเคราะห์พอลิบิวทิลีนซัคซิเนตกราฟต์ด้วยไกลซิเดลเมทาคริเลตซึ่นสำหรับใช้เป็นพอลิเมอร์เมทริกซ์เพื่อให้สามารถเพิ่มประสิทธิภาพเข้ากันได้ระหว่างเส้นใยปาล์มและพอลิบิวทิลีนซัคซิเนตได้มากขึ้น โดยในงานวิจัยนี้สังเคราะห์พอลิบิวทิลีนซัคซิเนตกราฟต์ด้วยไกลซิเดลเมทาคริเลตด้วยวิธีการรีฟลักซ์รายได้ก้าชในไตรเจน ซึ่งใช้ปริมาณไกลซิเดลเมทาคริเลต ร้อยละ 10 โดยน้ำหนักและใช้เบนโซอิลเปอร์ออกไซด์เป็นตัวเร่งปฏิกิริยาปริมาณร้อยละ 0.3 โดยน้ำหนัก แล้วเทเทตหาปริมาณการกราฟต์ได้ร้อยละ 2.16 จำนวนพิสูจน์ปฏิกิริยาการกราฟต์ที่เกิดขึ้น ด้วยเทคนิค FTIR พบร่วมกับพอลิบิวทิลีนซัคซิเนตกราฟต์ด้วยไกลซิเดลเมทาคริเลตจะเห็นพีคของหมู่ฟังก์ชันคาร์บอนลิส滂ต์บานห่วง ได้แก่ 1718 cm^{-1} ซึ่งแสดงถึงหมู่เอสเทอโรในพอลิบิวทิลีนซัคซิเนต และ 1731 cm^{-1} ซึ่งเป็นหมู่ฟังก์ชันอะคริเลตในโครงสร้างของไกลซิเดลเมทาคริเลต นอกจากนี้ทดสอบสมบัติต่างๆ พบร่วมกับคอมโพสิตของพอลิบิวทิลีนซัคซิเนตกราฟต์ด้วยไกลซิเดลเมทาคริเลตและเส้นใยปาล์มให้สมบัติเชิงกลที่ดีขึ้นมากเมื่อเปรียบเทียบกับคอมโพสิตของพอลิบิวทิลีนซัคซิเนตและเส้นใยปาล์ม แสดงให้เห็นว่าลักษณะการกระจายตัวของเส้นใยปาล์มในพอลิบิวทิลีนซัคซิเนตกราฟต์ ด้วยไกลซิเดลเมทาคริเลตเป็นเนื้อดียวกันมากกว่า และจากการทดสอบความสามารถในการย่อยสลาย ได้ทางชีวภาพของคอมโพสิตทั้งสอง พบร่วมกับพอลิบิวทิลีนซัคซิเนตกราฟต์ด้วยไกลซิเดลเมทาคริเลตและเส้นใยปาล์ม และคอมโพสิตรห่วงพอลิบิวทิลีนซัคซิเนตและเส้นใยปาล์มมีความสามารถในการย่อยสลาย ได้ทางชีวภาพสูงกว่าพอลิบิวทิลีนซัคซิเนตที่ไม่มีการใช้เส้นใยปาล์มเป็นตัวเติมเสริมแรง โดยคอมโพสิต ที่เตรียมได้นี้จะมีความสามารถย่อยสลายได้มากขึ้นเมื่อปริมาณของเส้นใยปาล์มในคอมโพสิตที่มากขึ้น

บทที่ 3

วิธีดำเนินการวิจัย

3.1 ขั้นตอนการดำเนินงานและแผนงานวิจัย

- 3.1.1 สืบค้นข้อมูลทางวิชาการและทบทวนวรรณกรรม
- 3.1.2 ออกแบบการทดลองและจัดทำอุปกรณ์/สารเคมี
- 3.1.3 ตัดแปรพอลิบิวทิลีนซัคชิเนตด้วยมาเลิกแอนไฮไดรค์และไกลซิดิลเมทาคริเลตโดยเทคนิคการอัดรีดแบบบริเอกทิฟในเครื่องอัดรีดสกรูคู่และพิสูจน์เอกลักษณ์ของสาร
- 3.1.4 เตรียมคอมพาวน์ของพอลิบิวทิลีนซัคชิเนต ออร์แกโนเคลย์ และสารคู่ควบคุมที่เตรียมได้ในเครื่องอัดรีดสกรูคู่ที่อัตราส่วนต่างๆ แล้วนำมายieldเป็นชิ้นงานทดสอบ
- 3.1.5 ทดสอบสมบัติของพอลิเมอร์คอมโพสิตที่เตรียมได้

3.2 วัตถุดิบและสารเคมีที่ใช้ในการทดลอง

- 3.2.1 สารเคมีที่ใช้ในการสังเคราะห์พอลิบิวทิลีนซัคชิเนต
 - 3.2.1.1 1,4-บิวเทนไดออล (1,4-butanediol) จากบริษัท TCI Chemicals ประเทศไทย
 - 3.2.1.2 ซัคชินิกแอนไฮไดรค์ (succinic anhydride) จากบริษัท TCI Chemicals ประเทศไทย
 - 3.2.1.3 ไททาเนียมบิวทอกไซด์ (titanium(IV) butoxide) บริษัท Nacalai Tesque ประเทศไทย
 - 3.2.1.4 มาเลิกแอนไฮไดรค์ (maleic anhydride, MA) จากบริษัท TCI Chemicals ประเทศไทย
 - 3.2.1.5 ไกลซิดิลเมทาคริเลต (glycidyl methacrylate, GMA) จากบริษัท TCI Chemicals ประเทศไทย
 - 3.2.1.6 เปนโซyleオลเพอร์ออกไซด์ (benzoyl peroxide, BPO) จากบริษัท TCI Chemicals ประเทศไทย
 - 3.2.1.7 คลอโรฟอร์ม (chloroform, CHCl₃) จากบริษัท Nacalai Tesque ประเทศไทย
 - 3.2.1.8 เอทานอล (ethanol) จากบริษัท Nacalai Tesque ประเทศไทย
 - 3.2.1.9 แอซైட (acetone) จากบริษัท Nacalai Tesque ประเทศไทย
- 3.2.2 วัตถุดิบและสารเคมีที่ใช้ในการตัดแปรพอลิบิวทิลีนซัคชิเนตและพอลิเมอร์คอมโพสิต
 - 3.2.2.1 พอลิบิวทิลีนซัคชิเนต (poly(butylene succinate), PBS) เกรด AZ71TN สำหรับงานyield จากบริษัท Mitsubishi Chemical Corporation (MCC) ประเทศไทย

- 3.2.2.2 มาเลอิกแอนไฮไดรด์ (maleic anhydride, MA) จากบริษัท Sigma-Aldrich ประเทศไทย
ประเศษหรรฐอเมริกา
- 3.2.2.3 ไกลซิดิลมทาคริเลต (glycidyl methacrylate, GMA) จากบริษัท Sigma-Aldrich ประเทศไทย
ประเศษหรรฐอเมริกา
- 3.2.2.4 ไดคิวมิลเปอร์ออกไซด์ (dicumyl peroxide, DCP) จากบริษัท Sigma-Aldrich ประเทศไทย
ประเศษหรรฐอเมริกา
- 3.2.2.5 คลอโรฟอร์ม (chloroform, CHCl₃) เกรด AR จากบริษัท RCI Lab scan ประเทศไทย
- 3.2.2.6 แอซีโตน (acetone) เกรด AR จากบริษัท RCI Lab scan ประเทศไทย
- 3.2.2.7 โพแทสเซียมไฮดรอกไซด์ (potassium hydroxide, KOH) จากบริษัท Panreac ประเทศไทย
- 3.2.2.8 ฟีโนลฟทาลีน (phenolphthalein) จากบริษัท Quality Reagent Chemical ประเทศไทย
- 3.2.2.9 กรดไฮโดรคลอริก (hydrochloric acid, HCl) เกรด AR จากบริษัท RCI Lab scan ประเทศไทย
- 3.2.2.10 ไดเอทิลีเทอร์ (diethyl ether) เกรด AR จากบริษัท RCI Lab scan ประเทศไทย
- 3.2.2.11 ออร์แกโนเคลย์ (organoclay, cloisite 30B, MLS) จากบริษัท Southern Clay Product ประเทศไทย
ซึ่งเป็นมอนต์มอริลโลไนต์ที่ดัดแปลงด้วยแคตไอออน $[N(CH_3)(C_2H_4OH)_2R]^+$ โดย R คืออะลิฟติกที่มี carbbon 14-18 อะตอม [21]

3.3 เครื่องมือและอุปกรณ์ที่ใช้ในการทดลอง

- 3.3.1 อุปกรณ์ที่ใช้ในการสังเคราะห์พอลิบิวทิลีนชักซิเนต
- 3.3.1.1 ขวดก้นกลมสามคอ (three-neck round bottom flask) ขนาด 250 มิลลิลิตร
- 3.3.1.2 คอนเดนเซอร์ (condenser)
- 3.3.1.3 ชุดกลั้นสกัดน้ำ (Dean-Stark apparatus, D-S)
- 3.3.1.4 ท่อ ก๊าซไนโตรเจน (nitrogen inlet)
- 3.3.1.5 เครื่องกวนสารแบบให้ความร้อน (hot plate and magnetic stirrer)
- 3.3.1.6 แท่งแม่เหล็กกวนสาร (magnetic bar)
- 3.3.1.7 หลอดหยดสาร (dropper)
- 3.3.1.8 บีกเกอร์ (beaker) ขนาด 600 มิลลิลิตร
- 3.3.1.9 ชุดกรองบุชเนอร์แบบสูญญากาศ (Büchner funnel, Büchner flask and vacuum pump)

- 3.3.2 เครื่องมือและอุปกรณ์ที่ใช้ในการตัดแปรpolybutylene terephthalate และ polymeric composites
- 3.3.2.1 ขวดสามคอ ก้นกลม (three-neck round bottom flask) ขนาด 500 มิลลิลิตร
 - 3.3.2.2 คอนเดนเซอร์ (condenser)
 - 3.3.2.3 กระบอกตวง (graduated cylinder) ขนาด 10 และ 200 มิลลิลิตร
 - 3.3.2.4 ท่อแก๊สไนโตรเจน (nitrogen inlet)
 - 3.3.2.5 เครื่องกวานสารแบบให้ความร้อน (hot plate and magnetic stirrer) พร้อม เครื่องควบคุมอุณหภูมิ (temperature controller)
 - 3.3.2.6 แท่งแม่เหล็กกวานสาร (magnetic bar)
 - 3.3.2.7 หลอดหยดสาร (dropper)
 - 3.3.2.8 บีกเกอร์ (beaker) ขนาด 600 มิลลิลิตร
 - 3.3.2.9 ชุดกรองบุชเนอร์แบบสูญญากาศ (Büchner funnel, Büchner flask and vacuum pump)
 - 3.3.2.10 ตู้อบ (hot air oven)
 - 3.3.2.11 เดซิเคเตอร์ (desiccator)
 - 3.3.2.12 ขวดรูปชมพู่ (Erlenmeyer flask) ขนาด 50 มิลลิลิตร
 - 3.3.2.13 ปิเปต ขนาด 10 มิลลิลิตร และบิวเรต ขนาด 50 มิลลิลิตร (pipette and burette)
 - 3.3.2.14 เครื่องชั่งสารทchnิยมสองตำแหน่ง (analytical balance)
 - 3.3.2.15 ตู้อบ (hopper dryers) ของ SHINI® plastics technologies รุ่น SHD-100T จากเมืองไทร์เกป ประเทศไทย
 - 3.3.2.16 เครื่องอัดรีดแบบสกรูคู่ (twin-screw extruder) ของ Thermo Prism รุ่น DSR-28 จากเมืองดีสบูร์ก ประเทศเยอรมนี
 - 3.3.2.17 เครื่องตัดเม็ดพลาสติก (pelletizer cutting machine) ของ Lab tech engineering company รุ่น LZ-80/VS จากเมืองสมุทรปราการ ประเทศไทย
 - 3.3.2.18 เครื่องฉีดพลาสติก (injection molding) ของ Topfine Precision Machinery Company Ltd. รุ่น A25 จากเมือง New Territories เกาะซ่องกง
 - 3.3.2.19 เครื่องฉีดพลาสติก (injection molding) ของ Battenfeld Austria รุ่น BA 250/50 CDC จากเมืองเวียนนา ประเทศออสเตรีย
 - 3.3.2.20 เครื่องฟูเรียร์ทرانส์ฟอร์มอินฟราเรดสเปกโตรสโคปี (Fourier Transform Infrared Spectroscopy, FTIR) ของ Thermo scientific รุ่น Nicolet 6700 จากเมืองแมดิสัน ประเทศสหรัฐอเมริกา

- 3.3.2.21 เครื่องนิวเคลียร์แมกнетิกเรโซแนนซ์สเปกโตรสโคปี (Nuclear Magnetic Resonance Spectroscopy, NMR) ของ JEOL รุ่น ECA-400 และ AL-400 จากเมืองโตเกียว ประเทศญี่ปุ่น
- 3.3.2.22 เครื่องทดสอบอเนกประสงค์ (universal testing machine) ของ LLOYD รุ่น LR100K จากเมืองแฟร์อัม ประเทศอังกฤษ
- 3.3.2.23 เครื่องทดสอบอเนกประสงค์ (universal testing machine) ของ LLOYD รุ่น LR500 จากเมืองแฟร์อัม ประเทศอังกฤษ
- 3.3.2.24 เครื่องทดสอบความทนแรงกระแทก (impact testing machine) ของ GOTECH รุ่น GT-7045-MD จากเมืองไหจง ประเทศไต้หวัน
- 3.3.2.25 เครื่องเทอร์โมแกรวิเมทริกแอนาไลเซอร์ (Thermogravimetric Analyser, TGA) ของ Mettler Toledo รุ่น TGA/SDTA851 จากเมือง Greifensee ประเทศสวิตเซอร์แลนด์
- 3.3.2.26 เครื่องดิฟเพอเรนเซียลสแกนนิ่งแคลลอริมิเตอร์ (Differential Scanning Calorimeter, DSC) ของ Mettler Toledo รุ่น DSC 1 STAR^e System จากเมือง Greifensee ประเทศสวิตเซอร์แลนด์
- 3.3.2.27 เครื่องดิฟเพอเรนเซียลสแกนนิ่งแคลลอริมิเตอร์ (Differential Scanning Calorimeter, DSC) ของ Rigaku รุ่น Thermo plus EVO DSC 8230 จากประเทศญี่ปุ่น
- 3.3.2.28 กล้องจุลทรรศน์อิเล็กตรอนแบบส่องการดู (Scanning Electron Microscope, SEM) ของ JEOL รุ่น JSM-6480LV จากประเทศญี่ปุ่น
- 3.3.2.29 เครื่องวิเคราะห์การเปลี่ยนรังสีเอกซ์ (X-Ray Diffractometer, XRD) ของ BRUKER AXS รุ่น Diffraktometer D8 จากเมืองคาร์ลส魯厄 ประเทศเยอรมนี
- 3.3.2.30 เครื่องรีโอมิเตอร์ (Rheometer) ของ Anton Paar รุ่น Physica MCR 301 จากเมืองอาโนเวอร์ ประเทศสหราชอาณาจักร

3.4 ขั้นตอนการทดลอง

3.4.1 การสังเคราะห์พอลิบิวทิลีนชักซิเนต

พอลิบิวทิลีนชักซิเนตเตรียมได้จากปฏิกิริยาการควบแน่นระหว่าง 1,4-บิวเทนไดօอลและกรดชักซินิก มีไฟฟานียมบิวทอกไซด์เป็นตัวเร่งปฏิกิริยา โดยนำ 1,4-บิวเทนไดօอล 0.1 โมล กรดชักซินิก 0.1 โมล และไฟฟานียมบิวทอกไซด์ปริมาณร้อยละ 0.1 โดยน้ำหนัก มาผสมให้เข้ากันในขวดก้นกลม สามารถต่อ กับคอนเดนเซอร์ประกอบกับชุดกลั่นสักด้าน้ำ ตั้งแสดงในรูปที่ 3.1 ตั้งปฏิกิริยาที่อุณหภูมิ

180 องศาเซลเซียส ภายใต้บรรยากาศกําชีญ์ในตอรเจนเป็นเวลา 1 ชั่วโมง จากนั้นเพิ่มอุณหภูมิเป็น 200-220 องศาเซลเซียส ภายใต้บรรยากาศกําชีญ์ในตอรเจนเป็นเวลา 4 ชั่วโมง [42, 43] สังเกตการดำเนินไปของปฏิกิริยาการควบแน่นด้วยการเกิดน้ำเป็นผลิตภัณฑ์ข้างเคียง หลังจากทำปฏิกิริยาตามเวลาที่กำหนดให้สักด้วยสารตั้งต้นที่ไม่เกิดปฏิกิริยาออกด้วยการเติมคลอรอฟอร์ม แล้วตกลงกันด้วยเอทานอล จากนั้นนำตกลงกันซึ่งเป็นผลิตภัณฑ์ที่ได้มาอบให้แห้งที่อุณหภูมิ 60 องศาเซลเซียส เป็นเวลา 24 ชั่วโมง



รูปที่ 3.1 การสังเคราะห์พอลิบิวทิลีนซัคชิเนต

3.4.2 ขั้นตอนการกราฟต์พอลิบิวทิลีนซัคชิเนตด้วยมาเลอิกแอนไฮไดรด์และไกลซิดิลเมทาคริเลต

3.4.2.1 การกราฟต์พอลิบิวทิลีนซัคชิเนตด้วยมาเลอิกแอนไฮไดรด์

(1) เทคนิคการรีฟลักซ์

ละลายพอลิบิวทิลีนซัคชิเนตร้อยละ 90 โดยน้ำหนัก ในขวดกันลมสามคอด้วยคลอรอฟอร์ม ที่มีการวนอยู่ตลอดเวลา ซึ่งต่อคอนเดนเซอร์และห้อกําชีญ์ในตอรเจน ดังแสดงในรูปที่ 3.2 จากนั้นเติมมาเลอิกแอนไฮไดรด์ร้อยละ 10 โดยน้ำหนัก และไดคิวมิลเปอร์ออกไซด์หรือเบนโซอิลเปอร์ออกไซด์ 1.5 phr ลงไป แล้วทำปฏิกิริยาที่อุณหภูมิ 80 องศาเซลเซียส ภายใต้บรรยากาศกําชีญ์ในตอรเจนเป็นเวลา 12 ชั่วโมง หลังจากปฏิกิริยาเสร็จสิ้น ล้างสารที่ไม่เกิดปฏิกิริยาออกด้วยการนำสารละลายที่ได้มาละลายด้วยคลอรอฟอร์มเพิ่ม รีฟลักซ์ต่อเป็นเวลา 2 ชั่วโมง จากนั้นตกลงกันด้วยแอซีโตนเย็น ล้างตกลงกันด้วยแอซีโตนเย็นหลายๆ ครั้ง นำตกลงกันที่ได้มาอบให้แห้งที่อุณหภูมิ 60 องศาเซลเซียส เป็นเวลา 24 ชั่วโมง [23]



รูปที่ 3.2 เทคนิคการรีฟลักซ์

(2) เทคนิคการอัดรีดแบบบีเอกทีพ

อบเม็ดพลาสติกโพลิบิวทิลีนซักซิเนทที่อุณหภูมิ 60 องศาเซลเซียส เป็นเวลา 24 ชั่วโมง ทั้งให้เย็นในเดซิเคเตอร์ และผสมเม็ดพลาสติกซักซิเนตร้อยละ 90 โดยน้ำหนัก มาเลือกแอนไฮไดรด์ร้อยละ 10 โดยน้ำหนัก และไดคิวมิลเบอร์ออกไซด์ 1.5 phr ให้เข้ากัน จากนั้นทำให้เกิดปฏิกิริยาด้วยเครื่องอัดรีดสกรูคู่ ดังแสดงในรูปที่ 3.3 โดยใช้อุณหภูมิในการกราฟต์โพลิบิวทิลีนซักซิเนตด้วยมาเลือกแอนไฮไดรด์ ดังแสดงในตารางที่ 3.1 [25] ล้างสารที่ไม่เกิดปฏิกิริยาออกด้วยการนำสารละลายที่ได้มาระละลายด้วยคลอร์ฟอร์มเพิ่ม รีฟลักซ์ต่อเป็นเวลา 2 ชั่วโมง จากนั้นตากгонด้วยแอ๊กโนเย็น ล้างตากgonด้วยแอ๊กโนเย็นหลายๆ ครั้ง นำตากgonที่ได้มารอให้แห้งที่อุณหภูมิ 60 องศาเซลเซียส เป็นเวลา 24 ชั่วโมง



รูปที่ 3.3 เครื่องอัดรีดสกรูคู่ของ Thermo Prism รุ่น DSR-28

ตารางที่ 3.1 อุณหภูมิและความเร็วรอบสกรูที่ใช้ในการกราฟต์พอลิบิวทิลีนซักชิเนตด้วยมาเลอิกแอนไฮไดรค์

โซน	อุณหภูมิ (องศาเซลเซียส)
Feed	100
1	120
2	130
3	124
4	122
ความเร็วรอบสกรู (รอบ/นาที)	35

3.4.2.2 การกราฟต์พอลิบิวทิลีนซักชิเนตด้วยไกลซิดิลเมทาคริเลต

(1) เทคนิคการรีฟลักซ์

ละลายพอลิบิวทิลีนซักชิเนตร้อยละ 90 โดยน้ำหนัก ในขวดกันลมสามคอด้วยคลอร์ฟอร์ม ที่มีการวนอยู่ตลอดเวลา ซึ่งต่อคอนเดนเซอร์และห้องก๊าซในโตรเจน จากนั้นเติมไกลซิดิลเมทาคริเลต ร้อยละ 10 โดยน้ำหนัก และไดคิวมิลเปอร์ออกไซด์หรือเบนโซอิลเปอร์ออกไซด์ 1.5 phr ลงไป ทำให้เกิดปฏิกิริยาที่อุณหภูมิ 80 องศาเซลเซียส ภายใต้บรรยายกาศก๊าซในโตรเจนเป็นเวลา 12 ชั่วโมง หลังจากทำปฏิกิริยาเสร็จสิ้น ล้างสารที่ไม่เกิดปฏิกิริยาออกด้วยการนำสารละลายที่ได้มาละลายด้วยคลอร์ฟอร์มเพิ่ม รีฟลักซ์ต่อเป็นเวลา 2 ชั่วโมง จากนั้นตักตะกอนด้วยแอซైโนนเย็น ล้างตะกอนด้วยแอซైโนนเย็นหลายๆ ครั้ง นำตะกอนที่ได้มาอบให้แห้งที่อุณหภูมิ 60 องศาเซลเซียส เป็นเวลา 24 ชั่วโมง [27]

(2) เทคนิคการอัดรีดแบบรีแอกทีฟ

อบเม็ดพลาสติกพอลิบิวทิลีนซักชิเนตที่อุณหภูมิ 60 องศาเซลเซียส เป็นเวลา 24 ชั่วโมง ทิ้งให้เย็นในเดซิเคเตอร์ แล้วผสมเม็ดพอลิบิวทิลีนซักชิเนตร้อยละ 90 โดยน้ำหนัก ไกลซิดิลเมทาคริเลต ร้อยละ 10 โดยน้ำหนัก และไดคิวมิลเปอร์ออกไซด์ 1.5 phr ให้เข้ากัน จากนั้นทำให้เกิดปฏิกิริยาด้วยเครื่องอัดรีดสกรูคู่ โดยใช้อุณหภูมิในการกราฟต์พอลิบิวทิลีนซักชิเนต เช่นเดียวกันกับการกราฟต์พอลิบิวทิลีนซักชิเนตด้วยมาเลอิกแอนไฮไดรค์ ดังแสดงในตารางที่ 3.1 ล้างสารที่ไม่เกิดปฏิกิริยาออกด้วยการนำสารละลายที่ได้มาละลายด้วยคลอร์ฟอร์มเพิ่ม รีฟลักซ์ต่อเป็นเวลา 2 ชั่วโมง จากนั้นตักตะกอนด้วยแอซైโนนเย็น ล้างตะกอนด้วยแอซైโนนเย็นหลายๆ ครั้ง นำตะกอนที่ได้มาอบให้แห้งที่อุณหภูมิ 60 องศาเซลเซียส เป็นเวลา 24 ชั่วโมง

3.4.3 การหาปริมาณการกราฟต์ของพอลิบิวทิลีนซักชิงแทกราฟต์ด้วยมาเลอิกแอนไฮไดร์ด และไกลซิดิลเมทาคริเลต

3.4.3.1 การหาปริมาณการกราฟต์ของพอลิบิวทิลีนซักชิงแทกราฟต์ด้วยมาเลอิกแอนไฮไดร์ด

นำสารที่เตรียมได้จากข้อ 3.4.2.1 ซึ่งผ่านการล้างสารที่ไม่เกิดปฏิกิริยาออกแล้ว มาละลายด้วยคลอร์ฟอร์มทำการรีฟลักซ์เป็นเวลา 30 นาที จากนั้นเติมน้ำกําลังไป 1 มิลลิลิตร ตามด้วยฟินอล์ฟทาลีน 2-3 หยดที่ใช้เป็นสารอินดิเคเตอร์ นำสารละลายที่ยังอุ่นๆ มาทำการไหเทรตด้วยสารละลายโพแทสเซียมไฮดรอกไซด์ที่ความเข้มข้น 0.025 โมลาร์ทันที สังเกตการเปลี่ยนสีของฟินอล์ฟทาลีนจากสารละลายใส่เป็นสารละลายสีชมพูจึงทำการหยุดการไหเทรต อ่านค่าของสารละลายโพแทสเซียมไฮดรอกไซด์ที่ใช้ไป แล้วนำมาคำนวณหาปริมาณการกราฟต์ดังแสดงในสมการที่ 3.1 [44]

$$G_d [\%] = \frac{N(V_1 - V_0) \cdot 98.06}{2 \cdot w \cdot 1000} \cdot 100\% \quad \text{สมการที่ 3.1}$$

เมื่อ G_d หมายถึง ร้อยละการกราฟต์ของพอลิบิวทิลีนซักชิงแทตด้วยมาเลอิกแอนไฮไดร์ด
 N หมายถึง ความเข้มข้นของสารละลายโพแทสเซียมไฮดรอกไซด์ (โมลาร์)
 V_1 หมายถึง ปริมาณสารละลายโพแทสเซียมไฮดรอกไซด์ที่ใช้ในการไหเทรตพอลิบิวทิลีนซักชิงแทตกราฟต์ด้วยมาเลอิกแอนไฮไดร์ด (มิลลิลิตร)
 V_0 หมายถึง ปริมาณสารละลายโพแทสเซียมไฮดรอกไซด์ที่ใช้ในการไหเทรตพอลิบิวทิลีนซักชิงแทต (มิลลิลิตร)
 w หมายถึง น้ำหนักของพอลิบิวทิลีนซักชิงแทกราฟต์ด้วยมาเลอิกแอนไฮไดร์ด (กรัม)

3.4.3.2 การหาปริมาณการกราฟต์ของพอลิบิวทิลีนซักชิงแทกราฟต์ด้วยไกลซิดิลเมทาคริเลต

นำสารที่เตรียมได้จากข้อ 3.4.2.2 ซึ่งผ่านการล้างสารที่ไม่เกิดปฏิกิริยาออกแล้ว มาละลายด้วยคลอร์ฟอร์มทำการรีฟลักซ์เป็นเวลา 30 นาที เช่นเดียวกัน จากนั้นเติมกรดไฮโดรคลอริกในไดเอทิลอีเทอร์ที่ความเข้มข้น 1 โมลาร์ ลงไป 5 มิลลิลิตร ตามด้วยฟินอล์ฟทาลีน 2-3 หยดที่ใช้เป็นสารอินดิเคเตอร์ นำสารละลายมาทำการไหเทรตด้วยสารละลายโพแทสเซียมไฮดรอกไซด์ที่ความเข้มข้น 0.025 โมลาร์ทันที สังเกตการเปลี่ยนสีของฟินอล์ฟทาลีนจากสารละลายใส่เป็นสารละลายสีชมพูจึงทำการหยุดการไหเทรต อ่านค่าของสารละลายโพแทสเซียมไฮดรอกไซด์ที่ใช้ไป แล้วนำมาคำนวณหาปริมาณการกราฟต์ดังแสดงในสมการที่ 3.2 [27]

$$G_d [\%] = \frac{(0.6 \cdot 10^{-3} - 0.025 \cdot 10^{-3} V_s) \cdot 142.15}{w} \cdot 100\% \quad \text{สมการที่ 3.2}$$

เมื่อ G_d หมายถึง ร้อยละการกราฟต์ของพอลิบิวทิลีนซักซิเนตด้วยไกลซิดิลเมทาคริเลต
 V_s หมายถึง ปริมาณสารละลายน้ำมันเครื่องที่ใช้ในการไฟเกรตพอลิบิวทิลีนซักซิเนต
 กราฟต์ด้วยไกลซิดิลเมทาคริเลต (มิลลิลิตร)
 w หมายถึง น้ำหนักของพอลิบิวทิลีนซักซิเนตกราฟต์ด้วยไกลซิดิลเมทาคริเลต (กรัม)

3.4.4 การวิเคราะห์ทางเคมีฟังก์ชันของพอลิบิวทิลีนซักซิเนตกราฟต์ด้วยมาเลอิกแอนไฮไดรค์ และไกลซิดิลเมทาคริเลต

3.4.4.1 วิเคราะห์ทางเคมีฟังก์ชันของพอลิบิวทิลีนซักซิเนตกราฟต์ด้วยมาเลอิกแอนไฮไดรค์ และไกลซิดิลเมทาคริเลต โดยใช้เครื่องฟูเรียร์ทรานส์ฟอร์มอินฟราเรดสเปกโตรมิเตอร์ (Fourier Transform Infrared Spectrometer, FTIR) ดังแสดงในรูปที่ 3.4 ซึ่งวิเคราะห์ด้วยโมdem Attenuated Total Reflectance (ATR) ในช่วงเลขคลื่น (wavenumber) $4000\text{-}400 \text{ cm}^{-1}$ ใช้จำนวนสแกน (scanning times) เท่ากับ 64 และใช้ความละเอียดของภาพ (resolution) เท่ากับ 4 cm^{-1}



รูปที่ 3.4 เครื่องฟูเรียร์ทรานส์ฟอร์มอินฟราเรดสเปกโตรมิเตอร์
ของ Thermo scientific รุ่น Nicolet 6700

3.4.4.2 วิเคราะห์โครงสร้างของพอลิบิวทิลีนซักซิเนตกราฟต์ด้วยมาเลอิกแอนไฮไดรค์และไกลซิดิลเมทาคริเลตด้วยการพิจารณาโปรตอน ($^1\text{H-NMR}$) ในโครงสร้างสาร โดยใช้เครื่องนิวเคลียร์แมกเนติกเรโซแนนซ์สเปกโตรมิเตอร์ (Nuclear Magnetic Resonance Spectrometer, NMR) ของ JEOL รุ่น AL-400 ดังแสดงในรูปที่ 3.5 โดยนำสารที่เตรียมจากข้อ 3.4.2.2 ใช้คลอร์ฟอร์ม ไอโซโทปดิวทิเรียม (chloroform-d) เป็นตัวทำละลาย วิเคราะห์ที่ความถี่ 400 MHz ช่วง 0-10 ppm จำนวนสแกนเท่ากับ 64



รูปที่ 3.5 เครื่องนิวเคลียร์แมกเนติกเรโซแนนซ์สเปกโตรมิเตอร์ของ JEOL รุ่น AL-400

3.4.4.3 วิเคราะห์หาโครงสร้างของพอลิบิวทิลีนซัคชิเนตกราฟต์ด้วยมาเลอิกแอกโนไซด์และไกลซิดิลเมทาคริเลตด้วยการพิจารณาค่ารับอน-13 ($^{13}\text{C-NMR}$) ในโครงสร้างสาร โดยใช้เครื่องนิวเคลียร์แมกเนติกเรโซแนนซ์สเปกโตรมิเตอร์ (Nuclear Magnetic Resonance Spectrometer, NMR) ของ JEOL รุ่น ECA-400 ดังแสดงในรูปที่ 3.6 โดยนำสารที่เตรียมได้จากข้อ 3.4.2.2 มาทำการบดให้เป็นผงละเอียดแล้ววิเคราะห์ที่ความถี่ 400 MHz ในช่วง 0-200 ppm จำนวนสแกนเท่ากับ 1000



รูปที่ 3.6 เครื่องนิวเคลียร์แมกเนติกเรโซแนนซ์สเปกโตรมิเตอร์ของ JEOL รุ่น ECA-400

3.4.5 การเตรียมพอลิบิวทิลีนซัคชิเนตคอมพาวน์และขั้นงาน

(1) นำเม็ดพอลิบิวทิลีนซัคชิเนต (PBS) พอลิบิวทิลีนซัคชิเนตกราฟต์ด้วยมาเลอิกแอกโนไซด์ (PBS-g-MA) พอลิบิวทิลีนซัคชิเนตกราฟต์ด้วยไกลซิดิลเมทาคริเลต (PBS-g-GMA) และออร์แกโนเคลย์ (organoclay) อบที่อุณหภูมิ 60 องศาเซลเซียส เป็นเวลา 24 ชั่วโมง แล้วทิ้งไว้ให้เย็นในเดซิเคเตอร์

(2) ผสมส่วนประกอบต่างๆ ได้แก่ พอลิบิวทิลีนซัคชิเนต พอลิบิวทิลีนซัคชิเนตกราฟต์ด้วยมาเลอิกแอนไฮไดรด์ พอลิบิวทิลีนซัคชิเนตกราฟต์ด้วยไกลซิดิลเมทาคริเลต และออร์แกโนเคลย์ ในอัตราส่วนต่างๆ ตามตารางที่ 3.2

ตารางที่ 3.2 อัตราส่วนผสมของพอลิบิวทิลีนซัคชิเนตคอมพาวน์

สูตรที่	ชื่อสูตร	PBS (phr)	PBS-g-MA (phr)	PBS-g-GMA (phr)	Organoclay (phr)
1	PBS	100	-	-	-
2	PBS/PgM5	100	5	-	-
3	PBS/PgG3	100	-	3	-
4	PBS/PgG5	100	-	5	-
5	PBS/PgG10	100	-	10	-
6	PBS/O0.5	100	-	-	0.5
7	PBS/PgG3/O0.5	100	-	3	0.5
8	PBS/PgG5/O0.5	100	-	5	0.5
9	PBS/PgG10/O0.5	100	-	10	0.5
10	PBS/O1	100	-	-	1
11	PBS/PgG3/O1	100	-	3	1
12	PBS/PgG5/O1	100	-	5	1
13	PBS/PgG10/O1	100	-	10	1
14	PBS/O2	100	-	-	2
15	PBS/PgM5/O2	100	5	-	2
16	PBS/PgG3/O2	100	-	3	2
17	PBS/PgG5/O2	100	-	5	2
18	PBS/PgG10/O2	100	-	10	2
19	PBS/O6	100	-	-	6
20	PBS/PgM5/O6	100	5	-	6
21	PBS/PgG3/O6	100	-	3	6
22	PBS/PgG5/O6	100	-	5	6
23	PBS/PgG10/O6	100	-	10	6

(3) นำส่วนผสมที่เตรียมไว้มาทำเป็นพอลิเมอร์คอมพาวน์ด้วยเครื่องอัดรีดแบบสกรูคู่ โดยใช้อุณหภูมิและความเร็วของสกรู ดังแสดงในตารางที่ 3.1 เช่นเดียวกับภาวะที่ใช้ในการกราฟต์พอลิบิวทิลีนซักซิเนต ด้วยมาเลอิกแอนไฮดร์ตหรือไกลซิดิลม่าคริเลต

(4) นำพอลิบิวทิลีนซักซิเนตคอมพาวน์ที่ได้จากข้อ (3) มาอบในตู้อบที่อุณหภูมิ 60 องศาเซลเซียส เป็นเวลา 24 ชั่วโมง

(5) นำพอลิบิวทิลีนซักซิเนตคอมพาวน์ที่อบแล้วไปขึ้นรูปเป็นชิ้นงานด้วยเครื่องฉีดพลาสติก (injection molding) ดังแสดงในรูปที่ 3.7 (กรณีศึกษาชนิดของสารคู่คิวบ) และ 3.8 (กรณีศึกษาอัตราส่วนระหว่างสารคู่คิวบและตัวเติมเสริมแรง) โดยขึ้นรูปตามภาวะดังแสดงในตารางที่ 3.3



รูปที่ 3.7 เครื่องฉีดพลาสติกของ Topfine Precision Machinery รุ่น A25



รูปที่ 3.8 เครื่องฉีดพลาสติกของ Battenfeld Austria รุ่น BA 250/50 CDC

ตารางที่ 3.3 อุณหภูมิและความเร็วรอบสกรูที่ใช้ในการขึ้นรูปชิ้นงาน

โฉน	อุณหภูมิ (องศาเซลเซียส)
1	0
2	0
3	0
4	135
5	135
6	135
7	135
ความเร็วรอบสกรู (รอบ/นาที)	45

โดยการเตรียมพอลิบิวทิลีนซักซิเนตคอมพาวน์มีจุดประสงค์เพื่อศึกษาปัจจัยดังต่อไปนี้

(1) ผลของชนิดสารคู่คิวบ ได้แก่ พอลิบิวทิลีนซักซิเนตกราฟต์ด้วยมาเลอิกแอนไฮไดรด์และพอลิบิวทิลีนซักซิเนตกราฟต์ด้วยไกลซิดิลมีทาคริเลต ที่มีต่อสมบัติเชิงกลของพอลิบิวทิลีนซักซิเนตคอมโพสิตที่เสริมแรงด้วยออร์แกโนเคลย์ โดยเปรียบเทียบพอลิบิวทิลีนซักซิเนตคอมพาวน์ต่างๆ ตามตารางที่ 3.4

ตารางที่ 3.4 อัตราส่วนผสมของพอลิบิวทิลีนซักซิเนตคอมพาวน์ที่ใช้ในการศึกษาชนิดของสารคู่คิวบ

ชื่อสูตร	PBS (phr)	PBS-g-MA (phr)	PBS-g-GMA (phr)	Organoclay (phr)
PBS	100	-	-	-
PBS/PgM5	100	5	-	-
PBS/PgG5	100	-	5	-
PBS/O2	100	-	-	2
PBS/PgM5/O2	100	5	-	2
PBS/PgG5/O2	100	-	5	2
PBS/O6	100	-	-	6
PBS/PgM5/O6	100	5	-	6
PBS/PgG5/O6	100	-	5	6

(2) ผลของอัตราส่วนระหว่างสารคู่ควบที่เลือกได้จากข้อ (1) และออร์แกโนเคลย์ที่ใช้เป็นตัวเติมเสริมแรงในพอลิบิวทิลีนซักซิเนตคอมพอยต์ โดยเปรียบเทียบพอลิบิวทิลีนซักซิเนตคอมพาวน์ต่างๆ ตามตารางที่ 3.5

ตารางที่ 3.5 อัตราส่วนผสมของพอลิบิวทิลีนซักซิเนตคอมพาวน์ที่ใช้ศึกษาอัตราส่วนระหว่างสารคู่ควบและตัวเติมเสริมแรง

ชื่อสูตร	PBS (phr)	PBS-g-GMA (phr)	Organoclay (phr)
PBS	100	-	-
PBS/PgG3	100	3	-
PBS/PgG5	100	5	-
PBS/PgG10	100	10	-
PBS/O0.5	100	-	0.5
PBS/PgG3/O0.5	100	3	0.5
PBS/PgG5/O0.5	100	5	0.5
PBS/PgG10/O0.5	100	10	0.5
PBS/O1	100	-	1
PBS/PgG3/O1	100	3	1
PBS/PgG5/O1	100	5	1
PBS/PgG10/O1	100	10	1
PBS/O2	100	-	2
PBS/PgG3/O2	100	3	2
PBS/PgG5/O2	100	5	2
PBS/PgG10/O2	100	10	2
PBS/O6	100	-	6
PBS/PgG3/O6	100	3	6
PBS/PgG5/O6	100	5	6
PBS/PgG10/O6	100	10	6

3.4.6 การทดสอบสมบัติของชิ้นงานพอลิบิวทิลีนซักซิงคอมโพสิต

3.4.6.1 การทดสอบสมบัติเชิงกล

(1) การทดสอบสมบัติด้านแรงดึง (tensile properties) ได้แก่ ความทนแรงดึง (tensile strength) modulus of elasticity (Young's modulus) และความยืดสูงสุด ณ จุดขาด (elongation at break) ด้วย เครื่องทดสอบอเนกประสงค์ (universal testing machine) ดังแสดงในรูปที่ 3.9 โดยทดสอบตาม มาตรฐาน ASTM D638 (Standard Test Method for Tensile Properties of Plastics) ซึ่งใช้ load cell ขนาด 10 กิโลนิวตัน อัตราที่ใช้ในการดึง 50 มิลลิเมตรต่อนาที มีระยะห่างระหว่างหัวจับ และชิ้นงานเท่ากับ 115 มิลลิเมตร



รูปที่ 3.9 เครื่องทดสอบอเนกประสงค์ ของ LLOYD รุ่น LR100K

CHULALONGKORN UNIVERSITY

(2) การทดสอบสมบัติความทนแรงดัดโค้ง (flexural strength) แบบ three-point bending ด้วย เครื่องทดสอบอเนกประสงค์ (universal testing machine) ดังแสดงในรูปที่ 3.10 โดยทดสอบตาม มาตรฐาน ASTM D790 (Standard Test Methods for Flexural Properties of Unreinforced and Reinforced Plastics and Electrical Insulating Materials) ซึ่งใช้ load cell ขนาด 2500 นิวตัน อัตราที่ใช้ในการดึง 15 มิลลิเมตรต่อนาที มีระยะห่างระหว่างหัวจับและชิ้นงานเท่ากับ 55 มิลลิเมตร



รูปที่ 3.10 เครื่องทดสอบอเนกประสงค์ ของ LLOYD รุ่น LR500

(3) การทดสอบสมบัติความทนแรงกระแทก (impact strength) แบบไอโซด (Izod) ด้วยเครื่องทดสอบความทนแรงกระแทก (impact-pendulum tester) ดังแสดงในรูปที่ 3.11 โดยทดสอบตามมาตรฐาน ASTM D256 (Standard Test Methods for Determining the Izod Pendulum Impact Resistance of Plastics) ซึ่งใช้หัวค้อนขนาด 5.5 และ 2.75 จุล



รูปที่ 3.11 เครื่องทดสอบความทนแรงกระแทก ของ GOTECH รุ่น GT-7045-MD

3.4.6.2 การทดสอบสัณฐานวิทยา

(1) ศึกษาขนาดและลักษณะการกระจายตัวของออร์แกโนเคลอีนพอลิบิวทิลีนซักซิเนตคอมโพสิตที่มีการใช้และไม่ใช้สารคู่คาว ด้วยกล้องจุลทรรศน์อิเล็กตรอนแบบส่องgranat (Scanning Electron Microscope, SEM) ดังแสดงในรูปที่ 3.12 ซึ่งทดสอบบริเวณรอยแตกหัก (fracture surface) ของพอลิบิวทิลีนซักซิเนตคอมพอยต์ที่ผ่านการทดสอบสมบัติด้านแรงดึง โดยนำชิ้นงานมาทำการเคลือบทอง ใช้ค่าความต่างศักย์เท่ากับ 15 กิโลโวลต์ ที่กำลังขยาย 2000 เท่า



รูปที่ 3.12 กล้องจุลทรรศน์อิเล็กตรอนแบบส่องกราด ของ JEOL รุ่น JSM-6480LV

(2) ศึกษาระยะห่างระหว่างชั้นอนอร์แกโนเคโลยในพอลิบิวทิลีนซักซิเนตคอมโพสิตที่มีการใช้แล็ปไม่ใช่สารคุ่คุบ ด้วยเครื่องวิเคราะห์การเลี้ยวเบนรังสีเอกซ์ (X-Ray Diffractometer, XRD) ดังแสดงในรูปที่ 3.13 โดยใช้รังสี Cu-K α ที่มีความยาวคลื่นเท่ากับ 0.154 นาโนเมตร ทดสอบในช่วง 1 ถึง 10° อัตราในการสแกนเท่ากับ 2.4 องศาต่อนาที



รูปที่ 3.13 เครื่องวิเคราะห์การเลี้ยวเบนรังสีเอกซ์ของ BRUKER AXS รุ่น Diffraktometer D8

3.4.6.3 การทดสอบสมบัติทางความร้อน

(1) การวิเคราะห์อุณหภูมิการสลายตัว (degradation temperature, T_d) ของพอลิบิวทิลีนซักซิเนตคอมโพสิต ด้วยเทคนิควิเคราะห์น้ำหนักภายใต้ความร้อน ตามมาตรฐาน ASTM E2550 โดยเครื่องเทอร์โมแกรวิเมทริกแอนาไลเซอร์ (Thermogravimetric Analyser, TGA) ดังแสดงในรูปที่ 3.14 ซึ่งทำการศึกษาในช่วงอุณหภูมิ 30 ถึง 1000 องศาเซลเซียส มีอัตราการให้ความร้อนเท่ากับ 10 องศาเซลเซียสต่อนาที ภายใต้สภาวะบรรยากาศของก๊าซไนโตรเจนที่อัตราการไหล 10 มิลลิเมตรต่อนาที



รูปที่ 3.14 เครื่องวิเคราะห์น้ำหนักภายใต้ความร้อนของ Mettler Toledo รุ่น TGA/SDTA851

(2) การวิเคราะห์อุณหภูมิเปลี่ยนสภาพแก้ว (glass transition temperature, T_g) อุณหภูมิการหลอมผลึก (melting temperature, T_m) อุณหภูมิการเกิดผลึก (crystallization temperature, T_c) และปริมาณผลึก (percent of crystallinity, χ_c) ด้วยเทคนิคดิฟเฟอเรนเซียลสแกนนิ่งแคลอริมิตร์ ตามมาตรฐาน ASTM D7426 โดยเครื่องดิฟเฟอเรนเซียลสแกนนิ่งแคลอริมิเตอร์ (Differential Scanning Calorimeter, DSC) ซึ่งขั้นตอนในการศึกษาชนิดของสารคู่คุ่มระหว่างพอลิบิวทิลีนชักซิเนต กราฟต์ด้วยมาเลอิกแอกนไ乂ไดร์ดและพอลิบิวทิลีนชักซิเนตกราฟต์ด้วยไกลซิดิลเมทาคริเลตใช้เครื่อง Rigaku รุ่น Thermo plus EVO DSC 8230 ดังแสดงในรูปที่ 3.15 และทดสอบในช่วงอุณหภูมิ 50 ถึง 150 องศาเซลเซียส มีอัตราการให้ความร้อนเท่ากับ 5 องศาเซลเซียสต่อนาที ภายใต้สภาวะอากาศ ส่วนขั้นตอนการศึกษาอัตราส่วนระหว่างสารคู่คุ่มและตัวเติมเสริมแรงนั้นทำการศึกษาด้วย เครื่อง Mettler Toledo รุ่น DSC 1 STAR^e System ดังแสดงในรูปที่ 3.16 ทดสอบในช่วงอุณหภูมิ -50 ถึง 150 องศาเซลเซียส มีอัตราการให้ความร้อนเท่ากับ 5 องศาเซลเซียสต่อนาที ภายใต้สภาวะบรรยากาศของก๊าซในโตรเจนที่อัตราการไหล 10 มิลลิเมตรต่อนาที



รูปที่ 3.15 เครื่องดิฟเฟอเรนเซียลสแกนนิ่งแคลอริมิเตอร์ของ Rigaku
รุ่น Thermo plus EVO DSC 8230



รูปที่ 3.16 เครื่องดิฟเฟอเรนเซียลสแกนนิngแคลอริมิเตอร์ของ Mettler Toledo รุ่น DSC 1 STAR^e System

3.4.6.4 การทดสอบสมบัติด้านความหนืด

ในขั้นตอนการศึกษาชนิดของการใช้สารคู่คุบได้ทำการศึกษาถึงผลของการใช้สารคู่คุบแต่ละชนิดที่มีต่อความหนืดของพอลิบิวทิลีนซึ่งเป็นตัวอย่างพื้นฐานที่ใช้ในการทดสอบความหนืด ดังแสดงในรูปที่ 3.17 โดยทดสอบอัตราแรงเฉือน (shear rate) ในช่วง $0.1 \text{ ถึง } 10 \text{ s}^{-1}$ ที่อุณหภูมิ 120 องศาเซลเซียส



รูปที่ 3.17 เครื่องรีโอมิเตอร์ของ Anton Paar รุ่น Physica MCR 301

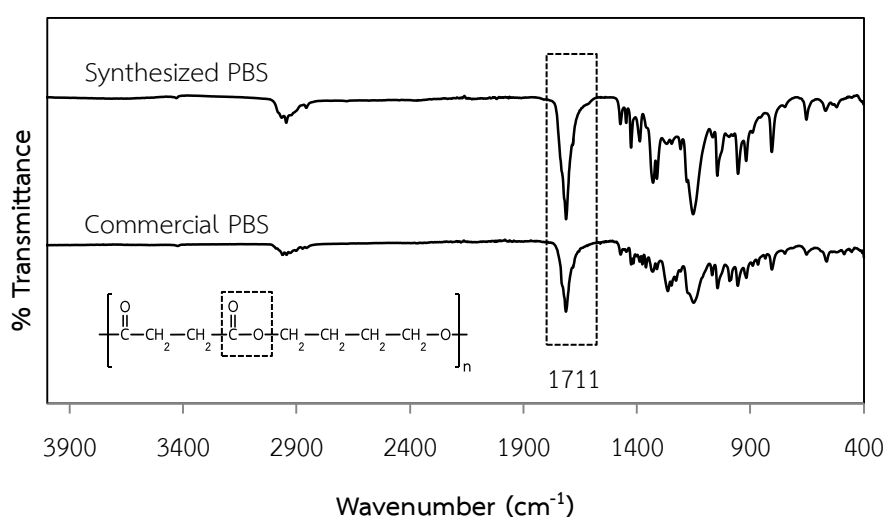
บทที่ 4

ผลการทดลองและวิจารณ์ผลการทดลอง

4.1 การวิเคราะห์หมู่ฟังก์ชันของพอลิบิวทิลีนซักซิเนตสังเคราะห์

4.1.1 การวิเคราะห์ด้วยเทคนิค Fourier Transform Infrared Spectroscopy

จากการสังเคราะห์พอลิบิวทิลีนซักซิเนตด้วยปฏิกิริยาการควบแน่นพบว่าได้พอลิบิวทิลีนซักซิเนตเป็นของแข็งสีขาว โดยผลของการเปรียบเทียบหมู่ฟังก์ชันทางเคมีของพอลิบิวทิลีนซักซิเนตที่สังเคราะห์ได้และพอลิบิวทิลีนซักซิเนตทางการค้าโดยเทคนิค FTIR มีความคล้ายคลึงกัน ดังแสดงในรูปที่ 4.1

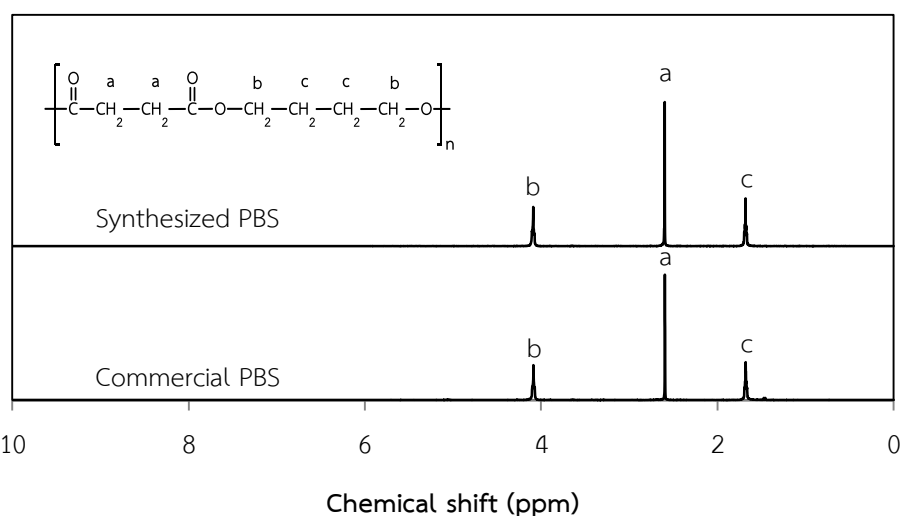


รูปที่ 4.1 FTIR สเปกตรัมของพอลิบิวทิลีนซักซิเนตที่สังเคราะห์ (Synthesized PBS)
และพอลิบิวทิลีนซักซิเนตทางการค้า (Commercial PBS)

จาก FTIR สเปกตรัมของพอลิบิวทิลีนซักซิเนตทั้งสอง จะเห็นว่าในช่วงตำแหน่งเลขคลื่น 3000-2850 cm⁻¹ แสดงการสั่นแบบบีดของพันธะ C-H (C-H stretching) และแสดงการสั่นแบบบีดของพันธะ C=O (C=O stretching) ซึ่งเป็นพีคของหมู่คาร์บอนิลที่ตำแหน่ง 1711 cm⁻¹ ส่วนในช่วง 1470-1000 cm⁻¹ แสดงการสั่นแบบโค้งงอในระนาบเดียวกันของพันธะ C-H (C-H bending in-plane) และยังพบพีคในช่วง 1000-400 cm⁻¹ ซึ่งแสดงการสั่นแบบโค้งงอต่างระนาบของพันธะ C-H (C-H bending out-of-plane) [24] ดังนั้นจะเห็นว่าสามารถสังเคราะห์พอลิบิวทิลีนซักซิเนตได้ด้วยวิธีการดังกล่าว

4.1.2 การวิเคราะห์ด้วยเทคนิค Nuclear Magnetic Resonance Spectroscopy แบบ $^1\text{H-NMR}$

พิสูจน์เอกลักษณ์ของพอลิบิวทิลีนซักซิเนตที่สังเคราะห์ได้ด้วยเทคนิค $^1\text{H-NMR}$ โดยเปรียบเทียบกับพอลิบิวทิลีนซักซิเนตทางการค้า พบว่าลักษณะพิคทั้งสองมีความสอดคล้องคล้ายกันโดย pragmatically ที่ 2.60 ppm ซึ่งเป็นตำแหน่ง proton ของหมู่เมทิลีนที่มาจากการดัดแปลงของกรดซักซินิก (H_a) ส่วนพิคที่ 4.09 และ 1.67 ppm แสดงตำแหน่ง proton ของหมู่เมทิลีนที่มาจากการดัดแปลงของ 1,4-บิวเทนไดออกอล (H_b และ H_c) [24, 43] ดังปรากฏในรูปที่ 4.2



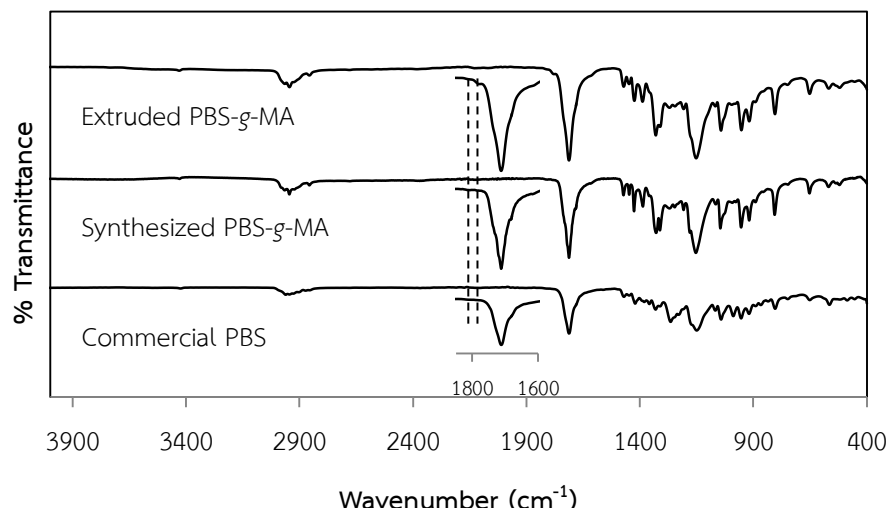
รูปที่ 4.2 $^1\text{H-NMR}$ สเปกตรัมของพอลิบิวทิลีนซักซิเนตที่สังเคราะห์ (Synthesized PBS)
และพอลิบิวทิลีนซักซิเนตทางการค้า (Commercial PBS)

4.2 การวิเคราะห์หมู่ฟังก์ชันของพอลิบิวทิลีนซักซิเนตกราฟต์ด้วยมาเลอิกแอนไฮไดรด์

4.2.1 การวิเคราะห์ด้วยเทคนิค Fourier Transform Infrared Spectroscopy

เมื่อทำการเปรียบเทียบพอลิบิวทิลีนซักซิเนตกราฟต์ด้วยมาเลอิกแอนไฮไดรด์ระหว่างเทคนิคการรีฟลัคช์จากพอลิบิวทิลีนซักซิเนตสังเคราะห์และเทคนิคการอัดรีดแบบบีเอ็กทีฟจากพอลิบิวทิลีนซักซิเนตทางการค้า พบว่า FTIR สเปกตรัมทั้งสองสอดคล้องกัน ดังแสดงในรูปที่ 4.3 โดยสเปกตรัมของพอลิบิวทิลีนซักซิเนตกราฟต์ด้วยมาเลอิกแอนไฮไดรด์พบพิคที่เกิดขึ้นใหม่เปรียบเทียบจากสเปกตรัมของพอลิบิวทิลีนซักซิเนตที่บริเวณ 1780 และ 1812 cm^{-1} ซึ่งแสดงการสั่นของพันธะ $\text{C}=\text{O}$ ($\text{C}=\text{O}$ stretching) ของหมู่ฟังก์ชันแอนไฮไดรด์จากมาเลอิกแอนไฮไดรด์ในพอลิบิวทิลีนซักซิเนตที่

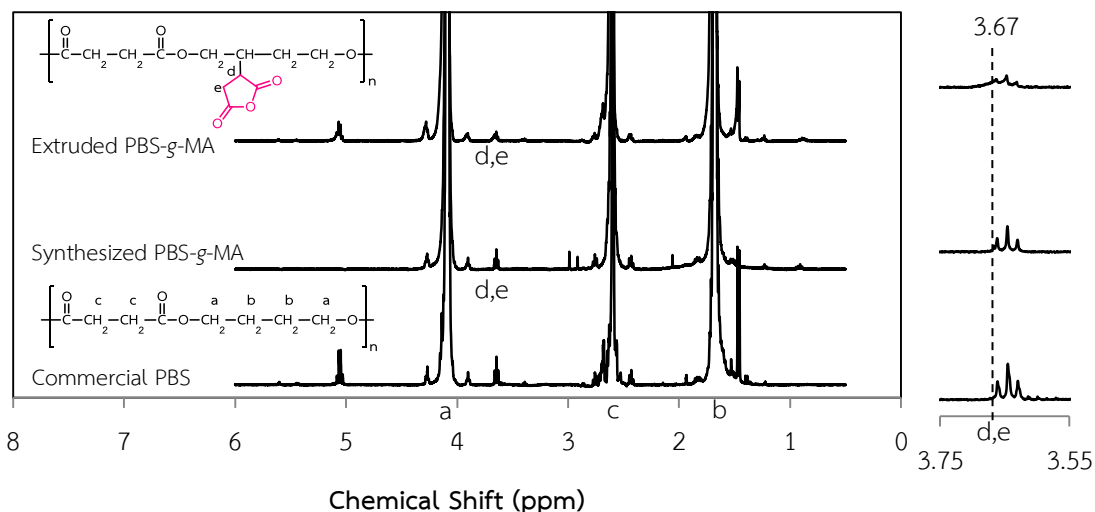
กราฟต์แล้ว [24] แสดงให้เห็นว่ามีมาเลอิกแอนไไฮไดรด์ปรากฏอยู่ในพอลิบิวทิลีนซัคชิเนตที่กราฟต์จากวิธีการเตรียมทั้งสอง



รูปที่ 4.3 FTIR สเปกตรัมของพอลิบิวทิลีนซัคชิเนตกราฟต์ด้วยมาเลอิกแอนไไฮไดรด์ จากพอลิบิวทิลีนซัคชิเนตสังเคราะห์และจากพอลิบิวทิลีนซัคชิเนตทางการค้า

4.2.2 การวิเคราะห์ด้วยเทคนิค Nuclear Magnetic Resonance Spectroscopy แบบ $^1\text{H-NMR}$

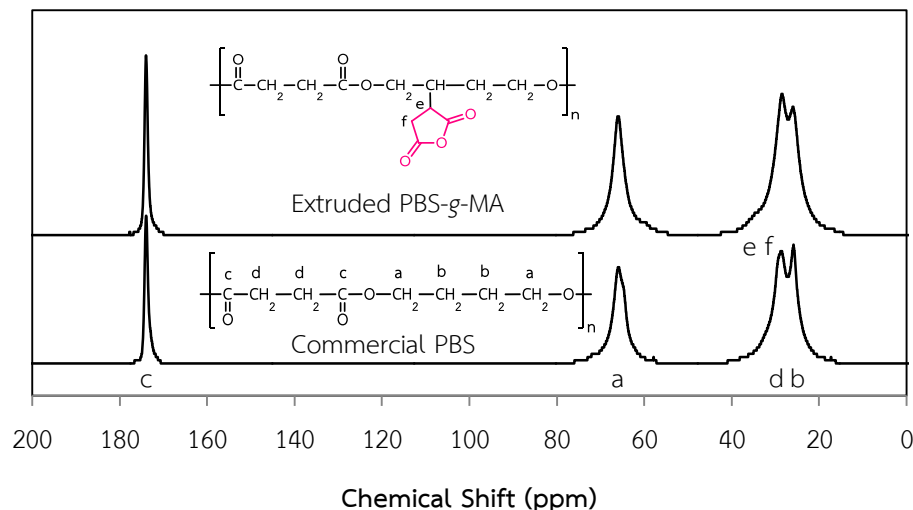
นอกจากนี้ทำการวิเคราะห์ด้วยเทคนิค $^1\text{H-NMR}$ เพื่อเปรียบเทียบการกราฟต์พอลิบิวทิลีนซัคชิเนตด้วยมาเลอิกแอนไไฮไดรด์จากการเตรียมทั้งสองเทคนิค ดังแสดงในรูปที่ 4.4 พบว่าสเปกตรัมทั้งสองมีพีคใหม่ปรากฏขึ้นที่บริเวณ 3.67 ppm ซึ่งเป็นการเกิดลักษณะเรโซแนนซ์ของโปรตอนที่มีจากมาเลอิกแอนไไฮไดรด์ที่เกิดการกราฟต์บนพอลิบิวทิลีนซัคชิเนต (H_d และ H_e) [24] แต่สเปกตรัมของพอลิบิวทิลีนซัคชิเนตที่กราฟต์จากเทคนิคอัดรีดแบบบีแอคทีฟเห็นพีคไม่ชัดเจน อาจเนื่องมาจากปริมาณการกราฟต์ของมาเลอิกแอนไไฮไดรด์บนพอลิบิวทิลีนซัคชิเนตมีปริมาณอยู่น้อย



รูปที่ 4.4 ^1H -NMR สเปกตรัมของพอลิบิวทิลีนซัคชิเนตกราฟต์ด้วยมาเลอิกแอนไฮไดร์ด จากพอลิบิวทิลีนซัคชิเนตสังเคราะห์และจากพอลิบิวทิลีนซัคชิเนตทางการค้า

4.2.3 การวิเคราะห์ด้วยเทคนิค Nuclear Magnetic Resonance Spectroscopy แบบ ^{13}C -NMR

จากการวิเคราะห์ด้วยเทคนิค ^{13}C -NMR ดังแสดงในรูปที่ 4.5 พบว่าสเปกตรัมของพอลิบิวทิลีนซัคชิเนตจะมีピーคเกิดขึ้น 4 พีค ได้แก่ 65.91 ppm และ 25.90 ppm ซึ่งเป็นตำแหน่งของการบอนในหมู่เมทิลีนของหน่วย 1,4-บิวเทนไดօอล (C_a และ C_b) ส่วน 28.68 ppm เป็นตำแหน่งของการบอนของหมู่ฟังก์ชันคาร์บอนไดเมทิลีนของหน่วยกรดซัคชิโนิก (C_d) และ 173.93 ppm แสดงถึงการบอนของหมู่ฟังก์ชันคาร์บอนได (C_c) ส่วนสเปกตรัมของพอลิบิวทิลีนซัคชิเนตที่ทำการกราฟต์จากเทคนิคการอัดรีดแบบรีแอกทิฟจะเห็นピーคใหม่เกิดขึ้นซ้อนทับอยู่ในฐานของピーคพอลิบิวทิลีนซัคชิเนต ซึ่งเห็นได้จากที่บริเวณฐานช่วง 30-40 ppm จะมีลักษณะฐานที่ค่อนข้างกว้างเมื่อเปรียบเทียบกับสเปกตรัมของพอลิบิวทิลีนซัคชิเนต ซึ่งบริเวณช่วงดังกล่าวแสดงถึงการเกิดการกราฟต์ของมาเลอิกแอนไฮไดร์ดบนโครงสร้างของพอลิบิวทิลีนซัคชิเนต (H_e และ H_f) [23] โดยปริมาณการกราฟต์ที่น้อยส่งผลทำให้เห็นピーคที่ไม่ชัดเจน

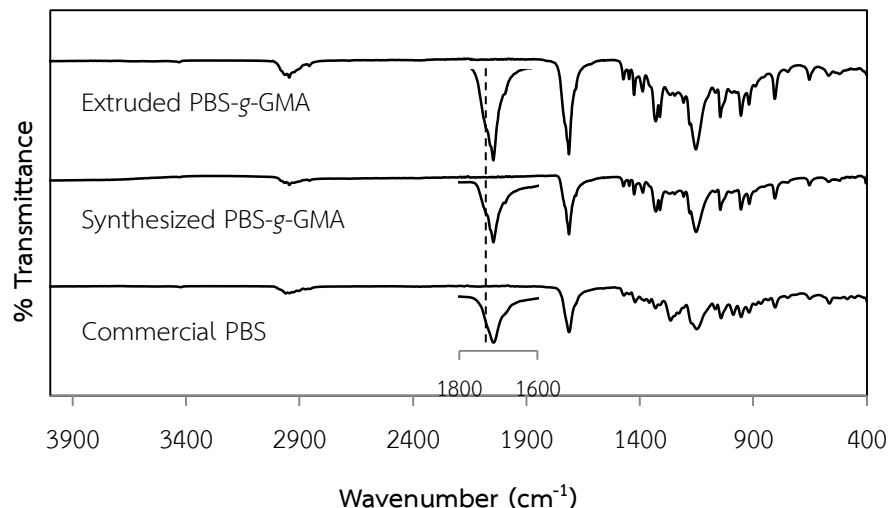


รูปที่ 4.5 ^{13}C -NMR สเปกตรัมของพอลิบิวทิลีนซักซิเนตและพอลิบิวทิลีนซักซิเนตกราฟต์ด้วยมาเลอิกแอนไไฮดร์ด้าร์จากพอลิบิวทิลีนซักซิเนตทางการค้า

4.3 การวิเคราะห์หมู่ฟังก์ชันของพอลิบิวทิลีนซักซิเนตกราฟต์ด้วยไกลซิดิลเมทาคริเลต

4.3.1 การวิเคราะห์ด้วยเทคนิค Fourier Transform Infrared Spectroscopy

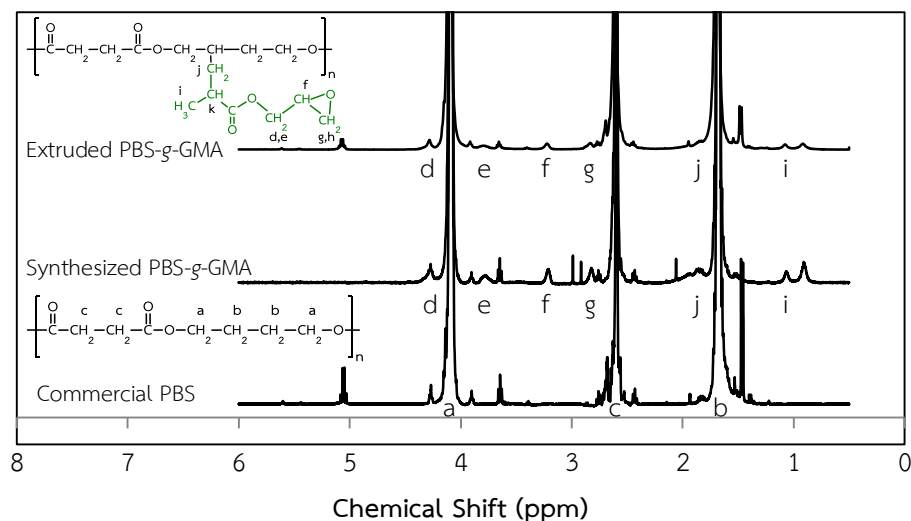
จากการกราฟต์พอลิบิวทิลีนซักซิเนตด้วยไกลซิดิลเมทาคริเลตเพื่อใช้เป็นสารคุ้มครองด้วยเทคนิคการรีฟลักซ์จากพอลิบิวทิลีนซักซิเนตสังเคราะห์และเทคนิคการอัดรีดแบบบีเอกทีฟจากพอลิบิวทิลีนซักซิเนตทางการค้า ทำการพิสูจน์เอกลักษณ์ของสารที่กราฟต์ด้วยเทคนิค FTIR ดังแสดงในรูปที่ 4.6 พบว่าสเปกตรัมทั้งสองมีลักษณะเหมือนกัน กล่าวคือมีพีคใหม่เกิดขึ้นที่ 1730 และ 1152 cm^{-1} แสดงการสั่นของพันธะ C=O และ C-O (C=O stretching และ C-O stretching) ตามลำดับ ซึ่งเป็นการสั่นของพันธะของหมู่ฟังก์ชันเอสเทอร์ที่เพิ่มมาจากส่วนไกลซิดิลเมทาไครเลต นอกจากนี้ยังพบพีคของหมู่ฟังก์ชันอีพ็อกซีของไกลซิดิลเมทาไครเลตปรากฏอยู่บนพอลิบิวทิลีนซักซิเนตที่กราฟต์แล้วบริเวณ 1150 cm^{-1} (C-O stretching) และ 856 cm^{-1} (C-H bending) [45] จากสเปกตรัมแสดงให้เห็นว่าสามารถเตรียมพอลิบิวทิลีนซักซิเนตกราฟต์ด้วยไกลซิดิลเมทาคริเลตได้จากทั้งสองเทคนิค



รูปที่ 4.6 FTIR สเปกตรัมของพอลิบิวทิลีนซักรชีเนตกราฟต์ด้วยไกลชิดิลเมทาคริเลต
จากพอลิบิวทิลีนซักรชีเนตสังเคราะห์และจากพอลิบิวทิลีนซักรชีเนตทางการค้า

4.3.2 การวิเคราะห์ด้วยเทคนิค Nuclear Magnetic Resonance Spectroscopy แบบ $^1\text{H-NMR}$

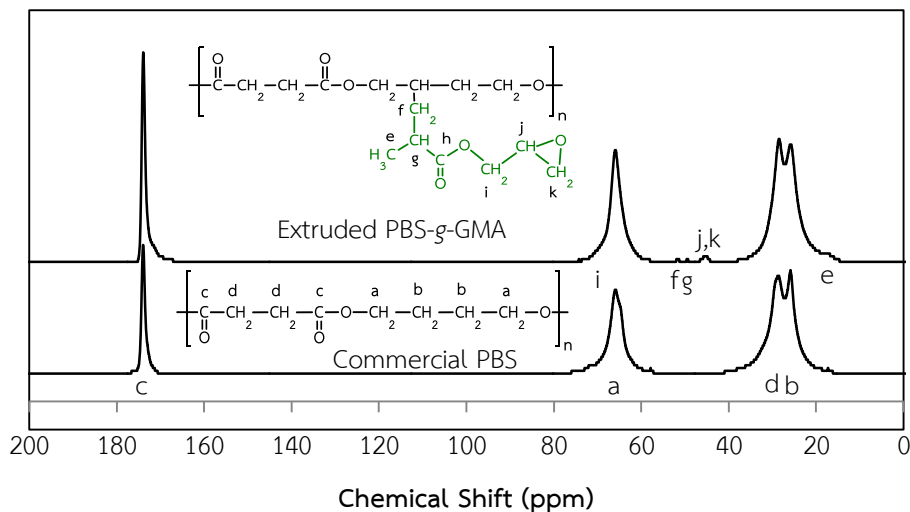
ผลของการวิเคราะห์ด้วยเทคนิค $^1\text{H-NMR}$ (รูปที่ 4.7) พบว่าสเปกตรัมของพอลิบิวทิลีนซักรชีเนตกราฟต์ด้วยไกลชิดิลเมทาคริเลตจากเทคนิคการวิฟลักซ์และเทคนิคการยัดรีดแบบรีเออกทีฟมีพีคปรากฏขึ้นใหม่ในช่วง 2.69-2.83 ppm ($-\text{OCH}_2$), (H_g) และ 3.22 ppm ($-\text{CH}-$), (H_f) ซึ่งเป็นพีคของโปรตอนในหมู่ฟังก์ชันอีพ็อกซี่ นอกจากนี้มีพีคที่ 1.08 ppm เป็นสัญญาณของโปรตอนของหมู่เมทธิล ($-\text{CH}_3$), (H_i) และที่ 3.79 ppm แสดงพีคของโปรตอนของหมู่เมทธิลีน ($-\text{CH}_2-$), (H_e) ซึ่งเป็นพีคของโปรตอนที่มาจากการไกลชิดิลเมทาคริเลต อีกทั้งสเปกตรัมทั้งสองที่ได้นี้มีความคล้ายคลึงกับสเปกตรัมที่รายงานมาก่อนหน้านี้จากการวิจัยของ Xu และคณะ [46] ซึ่งเตรียมพอลิแล็กทิกแอดซิดกราฟต์ด้วยไกลชิดิลเมทาคริเลต แสดงให้เห็นว่าสามารถกราฟต์ไกลชิดิลเมทาคริเลตบนโครงสร้างของพอลิบิวทิลีนซักรชีเนตได้



รูปที่ 4.7 ^1H -NMR สเปกตรัมของพอลิบิวทิลีนซักซิเนตกราฟต์ด้วยไกลซิดิลเมทาคริเลตจากพอลิบิวทิลีนซักซิเนตสังเคราะห์และจากพอลิบิวทิลีนซักซิเนตทางการค้า

4.3.3 การวิเคราะห์ด้วยเทคนิค Nuclear Magnetic Resonance Spectroscopy แบบ ^{13}C -NMR

จากการวิเคราะห์พอลิบิวทิลีนซักซิเนตกราฟต์ด้วยไกลซิดิลเมทาคริเลตโดยเทคนิค ^{13}C -NMR พบว่าสเปกตรัมของพอลิบิวทิลีนซักซิเนตที่กราฟต์จากเทคนิคการยัดรีดแบบบีเอกที่ฟจะเห็นพีคใหม่เกิดขึ้นที่ 18.67 ppm เป็นตำแหน่งการบอนชnid เมทิล ($-\text{CH}_3$), (C_e) ที่ 51.74 ppm เป็นตำแหน่งการบอนชnid เมทีลีน ($-\text{CH}_2-$), (C_f) ที่กราฟต์อยู่บนโครงสร้างของพอลิบิวทิลีนซักซิเนต ที่ 49.54 ppm เป็นตำแหน่งของการบอนชnid มีไทน ($-\text{CH}-$), (C_g) และที่ 45.39 ppm แสดงตำแหน่งของการบอนของหมู่อีพ็อกซี่ ($\text{C}_{j,k}$) ในไกลซิดิลเมทาคริเลต ดังแสดงในรูปที่ 4.8 โดยลักษณะสเปกตรัมของพอลิบิวทิลีนซักซิเนตกราฟต์ด้วยไกลซิดิลเมทาคริเลตที่ได้มีความคล้ายคลึงกับสเปกตรัมที่ได้จากการทดลองของ Wu และคณะ [27]



รูปที่ 4.8 ^{13}C -NMR สเปกตรัมของพอลิบิวทิลีนซักซิเนตและพอลิบิวทิลีนซักซิเนตกราฟต์ด้วยไกลซิดิลเมทาคริเลตจากพอลิบิวทิลีนซักซิเนตทางการค้า

4.4 การหาปริมาณการกราฟต์ของพอลิบิวทิลีนซักซิเนตกราฟต์ด้วยมาเลอิกแอนไฮไดรด์

นำพอลิบิวทิลีนซักซิเนตกราฟต์ด้วยมาเลอิกแอนไฮไดรด์ที่ผ่านการตกตะกอนทำให้สารบริสุทธิ์มาทำการไทเทเรตด้วยสารละลายโพแทสเซียมไฮดรอกไซด์ นำปริมาตรสารละลายโพแทสเซียมไฮดรอกไซด์ที่ใช้ในการไทเทเรตมาคำนวณตามสมการที่ 3.1 เพื่อหาปริมาณการกราฟต์ของมาเลอิกแอนไฮไดรด์ที่เกิดขึ้น โดยปริมาณการกราฟต์ของตัวอย่างแสดงในตารางที่ 4.1 กล่าวคือ พอลิบิวทิลีนซักซิเนตกราฟต์ด้วยมาเลอิกแอนไฮไดรด์จากเทคนิคการอัดรีดแบบบีเอกทีฟมีปริมาณการกราฟต์อยู่ที่ร้อยละ 0.29 ซึ่งมีปริมาณการกราฟต์ติดน้อยสอดคล้องกับผลการวิเคราะห์ด้วยเทคนิค FTIR และ NMR ที่เห็นพิเศษของหมุ่ฟังก์ชันมาเลอิกแอนไฮไดรด์ในสเปกตรัมของพอลิบิวทิลีนซักซิเนตที่กราฟต์ไม่ชัดเจน ซึ่งมีสาเหตุมาจากมาเลอิกแอนไฮไดรด์มีความว่องไวต่อปฏิกิริยาไฮโดรไลซิสจากความชื้นในบรรยากาศ แต่อย่างไรก็ตามเทคนิคนี้ยังคงมีปริมาณการกราฟต์ที่สูงกว่าเทคนิคการรีฟลั๊กซ์ซึ่งมีปริมาณการกราฟต์เพียงร้อยละ 0.24 อาจเป็นเพราะเทคนิคการอัดรีดแบบบีเอกทีฟมีการให้อุณหภูมิที่สูงมากเพียงพอที่จะทำให้ปฏิกิริยาการกราฟต์เกิดได้กิ่วๆ กัน ทั้งนี้แรงเฉือนจากสกรูช่วยในการเกิดปฏิกิริยาได้ดีขึ้น

ตารางที่ 4.1 ผลการไห้เทเรตเพื่อหาปริมาณการกราฟต์ของพอลิบิวทิลีนซักซิเนตกราฟต์ด้วยมาเลอิกแอนไฮไดร็ต

ตัวอย่าง		น้ำหนัก (g)	ความเข้มข้นของ KOH (M)	ปริมาตรของ KOH (mL)	G_d (%)
PBS pure (Blank)	1	0.4732	0.0267	0.25	0.29
	2	0.4824		0.35	
Extruded PBS-g-MA	1	0.5001	0.0267	1.50	0.29
	2	0.5004		1.35	
Synthesized PBS pure (Blank)	1	0.2600	0.0267	0.35	0.24
	2	0.2547		0.40	
Synthesized PBS-g-MA	1	0.2108		0.70	0.24

4.5 การหาปริมาณการกราฟต์ของพอลิบิวทิลีนซักซิเนตกราฟต์ด้วยไกลซิดิลเมทาคริเลต

นำพอลิบิวทิลีนซักซิเนตกราฟต์ด้วยไกลซิดิลเมทาคริเลตที่ทำให้บริสุทธิ์มาทำปฏิกิริยา กับสารละลายกรดไฮโดรคลอริก และทำการไห้เทเรตสารละลายกรดไฮโดรคลอริกที่เหลือ กับสารละลายโพแทสเซียมไฮดรอกไซด์ นำปริมาตรที่ใช้ในไห้เทเรตมาคำนวณตามสมการที่ 3.2 จะได้ปริมาณการกราฟต์ของพอลิบิวทิลีนซักซิเนตกราฟต์ด้วยไกลซิดิลเมทาคริเลตดังแสดงในตารางที่ 4.2 พบว่า พอลิบิวทิลีนซักซิเนตที่กราฟต์ด้วยไกลซิดิลเมทาคริเลตจากเทคนิคการอัดรีดแบบรีแอกทีฟมีปริมาณการกราฟต์สูงถึงร้อยละ 3.08 ส่วนการกราฟต์ด้วยเทคนิคการรีฟลัคซ์มีเพียงร้อยละ 2.33 อาจเนื่องมาจากเหตุผลเดียวกันกับการกราฟต์ด้วยมาเลอิกแอนไฮไดร็ต คืออุณหภูมิและแรงเฉือนจากสกรูที่ใช้ในเทคนิคการอัดรีดแบบรีแอกทีฟสามารถช่วยให้เกิดปฏิกิริยาได้ดี

ตารางที่ 4.2 ผลการทดสอบเพื่อหาปริมาณการกราฟต์ของพอลิบิวทิลีนซักซิเนตกราฟต์ด้วยไกลซิติดเมทาคริเลต

ตัวอย่าง	น้ำหนัก (g)	ความเข้มข้นของ KOH (M)	ปริมาตรของ KOH (mL)	G_d (%)
PBS pure (Blank)	1 2	0.4704 0.4715	0.0267	28.50 28.05
Extruded PBS-g-GMA	1 2	0.4913 0.5002		25.70 26.25
Synthesized PBS pure (Blank)	1 2	0.2479 0.2513	0.0267	28.00 28.35
Synthesized PBS-g-GMA	1 2	0.2495 0.2503		26.55 26.80

จากผลการทดสอบหาปริมาณการกราฟต์ด้วยเทคนิคการอัดรีดแบบบีรีแอกทีฟและเทคนิคการรีฟลั๊กซ์ของพอลิบิวทิลีนซักซิเนตกราฟต์ด้วยมาเลอิกแอนไฮไดรด์และไกลซิติดเมทาคริเลต แสดงให้เห็นถึงการประสบความสำเร็จในการกราฟต์ด้วยเทคนิคการอัดรีดแบบบีรีแอกทีฟ ซึ่งมีประสิทธิภาพในการเกิดปฏิกิริยาที่ดีด้วยการใช้อุณหภูมิและความเร็วตอบสนองที่เหมาะสม อีกทั้งยังลดระยะเวลาในการทำปฏิกิริยาให้น้อยลงและเป็นเทคนิคที่ลดการใช้ตัวทำละลาย ส่งผลให้ประหยัดเวลาและสารเคมีที่ใช้ในการกราฟต์พอลิบิวทิลีนซักซิเนต นอกจากนี้แล้วสามารถนำเทคนิคนี้ไปประยุกต์ใช้ในกระบวนการผลิตของอุตสาหกรรมจริงได้เป็นการลดต้นทุนการผลิตได้อีกด้วย

4.6 สมบัติของพอลิบิวทิลีนซักซิเนตคอมโพสิตเพื่อศึกษาชนิดของสารคู่ควบคุมที่ใช้

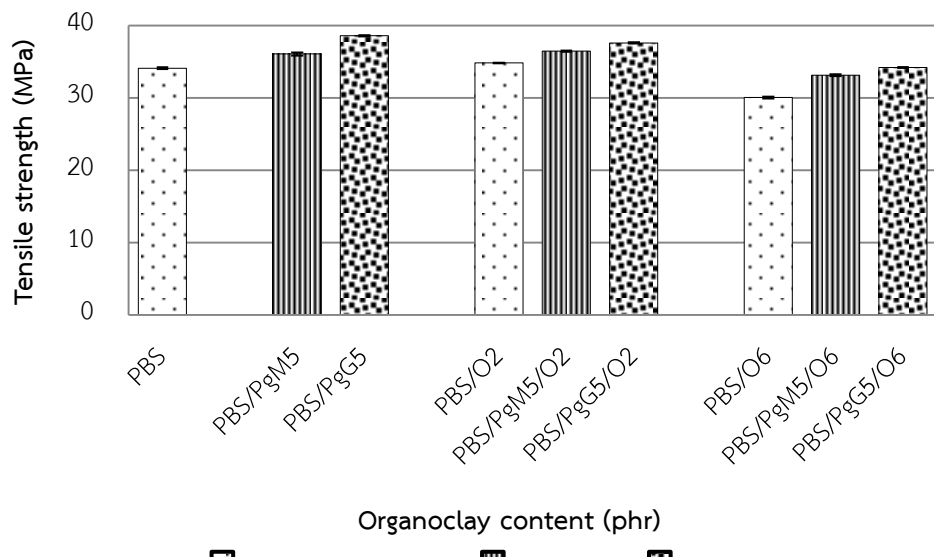
ผลจากการทดสอบสมบัติของชิ้นงานที่ได้จากการกระบวนการฉีดพลาสติกของพอลิเมอร์คอมพาวน์ด้วยเครื่องฉีดพลาสติกของ Topfine Precision Machinery Company Ltd. รุ่น A25 โดยในขั้นตอนการศึกษาผลของชนิดของสารคู่ควบคุมที่ใช้ปริมาณของสารคู่ควบคุมเท่ากับ 5 phr และอัตราแกโนเนลร์ในปริมาณ 2 และ 6 phr เพื่อทำการเปรียบเทียบผลของสมบัติเชิงกลในพอลิบิวทิลีนซักซิเนตคอมโพสิต

4.6.1 สมบัติเชิงกลของพอลิบิวทิลีนซักซิเนตคอมพอสิต

4.6.1.1 สมบัติด้านแรงดึง

(1) ความทนแรงดึง

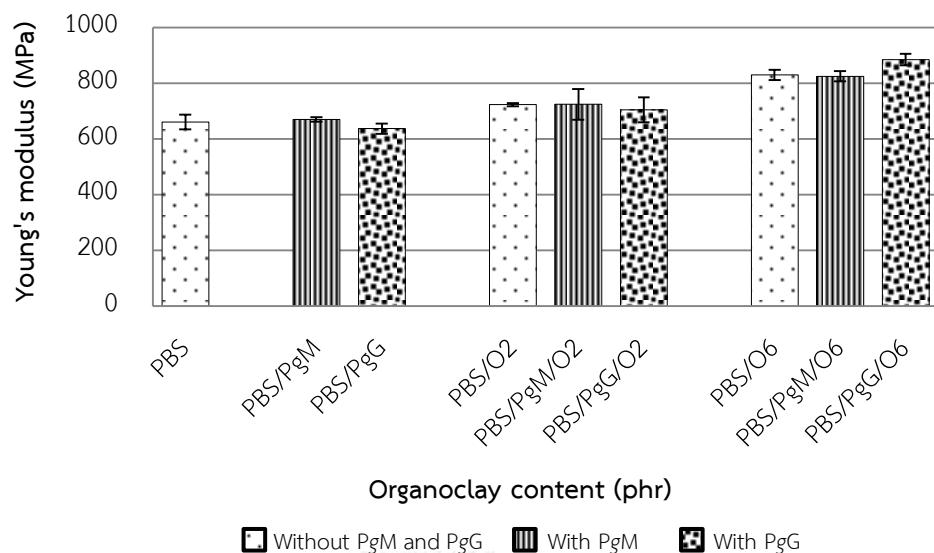
เมื่อนำพอลิบิวทิลีนซักซิเนตคอมพอสิตมาทำการทดสอบด้วยเครื่องทดสอบเนกประสงค์เพื่อพิจารณาความทนแรงดึงของคอมพอสิต ผลที่ได้แสดงในรูปที่ 4.9 พบว่าพอลิบิวทิลีนซักซิเนตมีค่าความทนแรงดึงเท่ากับ 34.11 MPa เมื่อมีการเติมออร์แกโนเคลย์ในปริมาณ 2 และ 6 phr เป็นสารเสริมแรงส่งผลให้ค่าความทนแรงดึงมีแนวโน้มลดลง ซึ่งมีค่าเท่ากับ 34.86 และ 30.07 MPa ตามลำดับ โดยเฉพาะอย่างยิ่งเมื่อเติมออร์แกโนเคลย์ในปริมาณ 6 phr เพราะออร์แกโนเคลย์และพอลิบิวทิลีนซักซิเนต มีความเข้ากันได้น้อย อันเนื่องมาจากความมีข้อของออร์แกโนเคลย์ที่ค่อนข้างสูงเมื่อเทียบกับพอลิบิวทิลีนซักซิเนตทำให้เกิดการเกาะกลุ่มกันเองระหว่างออร์แกโนเคลย์ มีการกระจายตัวของสารเสริมแรงไม่ดีทำให้คอมพอสิตที่ได้มีข้อบกพร่องในชิ้นงาน ดังนั้นเมื่อชิ้นงานได้รับแรงจากภายนอก มากจะทำ การส่งแรงที่ถูกกระทำจากพอลิบิวทิลีนซักซิเนตสู่ออร์แกโนเคลย์ จึงทำได้ไม่ดี ส่งผลให้ประสิทธิภาพในการเสริมแรงไม่ดีเท่าที่ควร ค่าความทนแรงดึงจึงน้อยลง เมื่อมีการใช้สารคู่คิวบได้แก่ พอลิบิวทิลีนซักซิเนตกราฟต์ด้วยมาเลอิกแอนไฮไดรด์และพอลิบิวทิลีนซักซิเนตกราฟต์ด้วยไกลซิดิลเมทาคริเลต จะเห็นว่าสารทั้งสองสามารถเพิ่มค่าความทนแรงดึงให้กับคอมพอสิตให้สูงขึ้น โดยการใช้พอลิบิวทิลีนซักซิเนตกราฟต์ด้วยไกลซิดิลเมทาคริเลตจะช่วยเพิ่มความทนแรงดึงได้มากกว่า พอลิบิวทิลีนซักซิเนตกราฟต์ด้วยมาเลอิกแอนไฮไดรด์ ซึ่งค่าทนแรงดึงของพอลิบิวทิลีนซักซิเนตคอมพอสิต เมื่อมีการใช้พอลิบิวทิลีนซักซิเนตกราฟต์ด้วยมาเลอิกแอนไฮไดรด์เป็นสารคู่คิวบที่เสริมแรงด้วยออร์แกโนเคลย์ในปริมาณ 2 และ 6 phr จะมีค่าเท่ากับ 36.49 และ 33.15 MPa ตามลำดับ และเมื่อมีการใช้พอลิบิวทิลีนซักซิเนตกราฟต์ด้วยไกลซิดิลเมทาคริเลตจะเพิ่มสูงขึ้นเป็น 37.61 และ 34.22 MPa ตามลำดับ ซึ่งผลที่ได้ก็สอดคล้องกับงานวิจัยของ Aggarwal และคณะ [40] รวมทั้ง Asgari และคณะ [47] เนื่องมาจากการมาเลอิกแอนไฮไดรด์ถูกไฮโดรไลซิสได้やすくกว่าไกลซิดิลเมทาคริเลตทำให้เกิดปฏิกิริยา กับออร์แกโนเคลย์ได้ยากกว่า และไกลซิดิลเมทาคริเลตมีหมุนฟังก์ชันอีพ็อกซี่ซึ่งง่ายต่อการเกิดปฏิกิริยาทำให้เกิดปฏิกิริยา กับออร์แกโนเคลย์ได้ดีกว่า ส่งผลให้พอลิบิวทิลีนซักซิเนตกราฟต์ด้วยไกลซิดิลเมทาคริเลตทำหน้าที่เป็นสารคู่คิวบได้อย่างมีประสิทธิภาพมากกว่า



รูปที่ 4.9 ความทนแรงดึงของพอลิบิวทธิลีนซักซิเนตและพอลิบิวทธิลีนซักซิเนตคอมโพสิต

(2) มอดูลัสของยัง

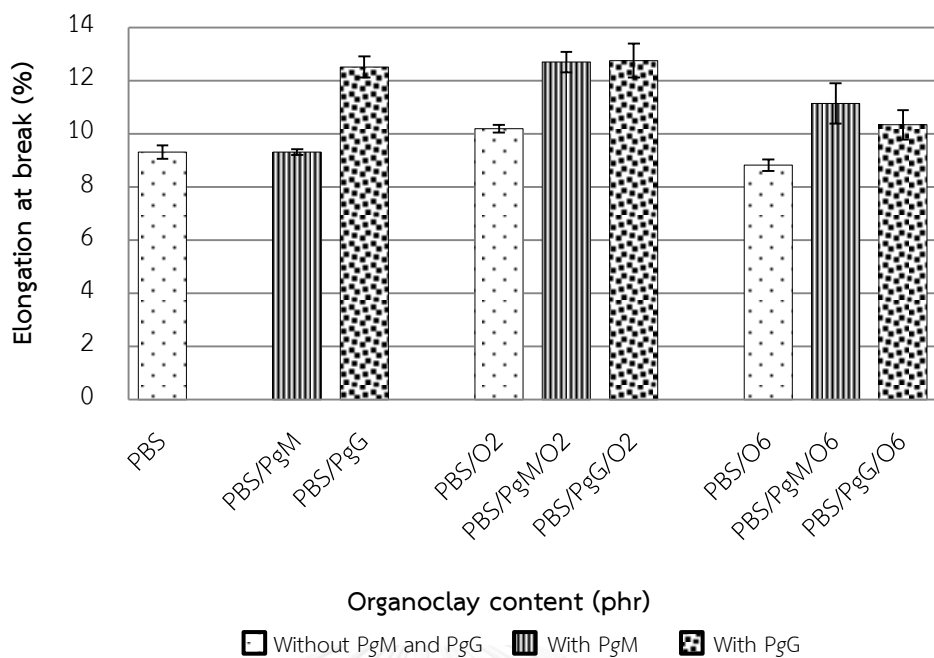
ผลการวิเคราะห์ค่ามอดูลัสของยัง (Young's modulus) ในพอลิบิวทธิลีนซักซิเนตคอมโพสิต ในรูปที่ 4.10 พบว่าพอลิบิวทธิลีนซักซิเนตมีค่ามอดูลัสของยังเท่ากับ 661.33 MPa และเมื่อเติม ออร์แกโนเคลย์เป็นสารเสริมแรงลงไปในปริมาณ 2 และ 6 phr ส่งผลให้ค่ามอดูลัสของยังเพิ่มขึ้นมีค่า เท่ากับ 724.10 และ 830.68 MPa ตามลำดับ เนื่องมาจากผลของการเติมอนุภาคที่มีลักษณะแข็ง เช่น ออร์แกโนเคลย์ ซึ่งมีค่ามอดูลัสสูงกว่าพอลิบิวทธิลีนซักซิเนตที่เป็นเมทริกซ์ ซึ่งเป็นปัจจัยหลักที่ ส่งผลให้คอมโพสิตมีค่ามอดูลัสสูงขึ้น [48] นอกจากนี้ยังพบว่าพอลิบิวทธิลีนซักซิเนตคอมโพสิตที่มี ออร์แกโนเคลย์ในปริมาณ 2 และ 6 phr เมื่อเติมพอลิบิวทธิลีนซักซิเนตกราฟต์ด้วยมาเลอิกแอนไฮไดรด์จะ มีค่าเท่ากับ 725.31 และ 825.22 MPa ซึ่งมีค่าลดลงเพียงเล็กน้อย อาจเนื่องมาจากมาเลอิกแอนไฮไดรด์ซึ่ง ถูกไฮไดรไลซิสได้ง่าย ทำให้เกิดปฏิกิริยา กับ ออร์แกโนเคลย์ ได้ไม่ดีส่งผลให้ชั้นงานมีลักษณะที่ประ ทำให้มีความเสียรูปง่าย เมื่อการถูกแรงกระแทกจากภายนอก ดังนั้นค่ามอดูลัสของยังจึงลดลงตามไป ด้วย แต่อย่างไรก็ตามค่ามอดูลัสของยังที่ได้ของคอมโพสิตยังคงสูงกว่าพอลิบิวทธิลีนซักซิเนต ในกรณีของการใช้พอลิบิวทธิลีนซักซิเนตกราฟต์ด้วยไกลจิติลเมทาคริเลตในคอมโพสิตที่มีออร์แกโนเคลย์ ปริมาณ 2 และ 6 phr พบว่าให้ค่ามอดูลัสของยังในคอมโพสิตมีค่าสูงขึ้นโดยมีค่าเท่ากับ 705.14 และ 885.31 MPa ตามลำดับ เนื่องจากมีความเข้ากันได้มากขึ้นของทั้งสองเฟสระหว่างพอลิบิวทธิลีนซักซิเนต และ ออร์แกโนเคลย์



รูปที่ 4.10 มอดูลัสของยังของพอลิบิวทิลีนซักชีเนตและพอลิบิวทิลีนซักชีเนตคอมโพลิต

(3) ความยืดสูงสุด ณ จุดขาด

จากการวิเคราะห์ค่าความยืดสูงสุด ณ จุดขาด (elongation at break) ของพอลิบิวทิลีนซักชีเนต คอมโพลิตปราการข้อมูลดังแสดงในรูปที่ 4.11 พบว่าพอลิบิวทิลีนซักชีเนตมีค่าความยืดสูงสุด ณ จุดขาดเท่ากับร้อยละ 9.32 เมื่อทำการเติมออร์แกโนเคลย์ในปริมาณ 2 และ 6 phr เพื่อทำเป็นวัสดุ คอมโพลิตจะให้ค่าความยืดสูงสุด ณ จุดขาดเท่ากับร้อยละ 10.2 และ 8.83 ตามลำดับ ที่ออร์แกโนเคลย์ ปริมาณ 6 phr มีค่าความยืดสูงสุด ณ จุดขาดลดลงเนื่องมาจากการกระจายตัวในเนื้อพอลิบิวทิลีนซักชีเนต ของออร์แกโนเคลย์เมื่อเท่าที่ควร ส่งผลให้กลไกเป็นตัวขัดขวางการเคลื่อนที่ของสายโซ่พอลิเมอร์ เมื่อได้รับแรงกระทำจากภายนอกจึงไม่สามารถกระจายแรงได้ แต่เมื่อมีการใช้พอลิบิวทิลีนซักชีเนต กราฟต์ด้วยมาเลอิกแอกโนเอียโดยรีดหรือพอลิบิวทิลีนซักชีเนตกราฟต์ด้วยไกลซิดิลเมทาคริเลตเป็นสารคุ้คุบทำหน้าที่ประสานระหว่างเฟสห้องส่อง ส่งผลให้ค่าความยืดสูงสุด ณ จุดขาดมีแนวโน้มสูงขึ้น ซึ่งจะเห็นว่าที่ออร์แกโนเคลย์ 2 และ 6 phr เมื่อเติมใช้พอลิบิวทิลีนซักชีเนตกราฟต์ด้วยมาเลอิกแอกโนเอียโดยรีด จะมีค่าเท่ากับร้อยละ 12.71 และ 11.15 ตามลำดับ ส่วนพอลิบิวทิลีนซักชีเนตกราฟต์ด้วยไกลซิดิลเมทาคริเลตจะให้ค่าความยืดสูงสุด ณ จุดขาดเท่ากับร้อยละ 12.76 และ 10.35 ตามลำดับ

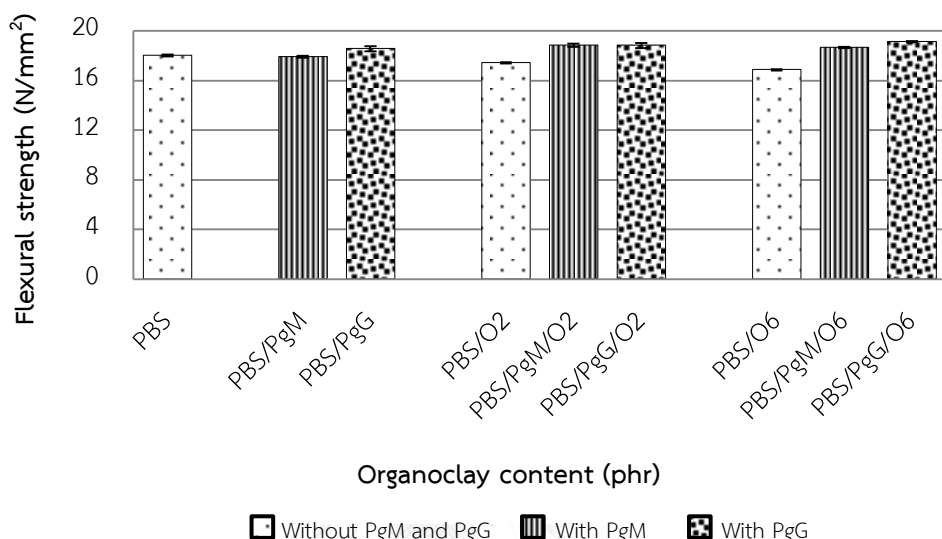


รูปที่ 4.11 ความยืดสูงสุด ณ จุดขาดของพอลิบิทธิลีนซัคชีเนตและพอลิบิทธิลีนซัคชีเนตคอมโพสิต

4.6.1.2 ความหนาแรงดัดโค้ง

จากการทดสอบสมบัติความทนแรงดัดโค้ง (flexural strength) ด้วยเครื่องทดสอบอเนกประสงค์ได้ผลแสดงในรูปที่ 4.12 จะเห็นได้ว่าเมื่อมีการใช้ออร์แกโนเคลย์ในปริมาณ 2 และ 6 phr เป็นสารเสริมแรงจะทำให้ค่าความทนแรงดัดโค้งมีแนวโน้มที่ลดลง โดยมีค่า 17.44 และ 16.89 N/mm² ตามลำดับเมื่อเปรียบเทียบกับพอลิบิทธิลีนซัคชีเนต ซึ่งมีค่า 18.03 N/mm² อาจเป็น เพราะว่าออร์แกโนเคลย์เป็นสารที่มีข้าวสูง ยิ่งเพิ่มปริมาณออร์แกโนเคลย์มากขึ้นอันตรกิริยาภายในออร์แกโนเคลย์จะมีมากขึ้น และมีมากกว่าอันตรกิริยาระหว่างออร์แกโนเคลย์กับพอลิบิทธิลีนซัคชีเนต ซึ่งเป็นสารที่มีข้าวต่ำ ส่งผลให้เกิดการเกาะกลุ่มกันกล้ายเป็นข้อบกพร่องในชิ้นงาน เมื่อได้รับแรงกระทำจากภายนอกทำให้ไม่สามารถกระเจรจาระแรงที่รับเข้ามาได้ ชิ้นงานเกิดการเสียรูปได้่ายซึ่งผลที่ได้สอดคล้องกับค่าความทนแรงดึงดังที่ได้กล่าวมาแล้ว แต่เมื่อมีการใช้สารคู่ควบหั้งสองพบว่าสามารถเพิ่มค่าความทนแรงดัดโค้งให้กับพอลิบิทธิลีนซัคชีเนตคอมโพสิตได้ โดยเฉพาะอย่างยิ่งเมื่อมีการใช้พอลิบิทธิลีนซัคชีเนตกราฟต์ด้วยไกลซิเดียมทาคริเลตเป็นสารคู่ควบในพอลิบิทธิลีนซัคชีเนตคอมโพสิต ที่เสริมแรงด้วยออร์แกโนเคลย์ซึ่งมีค่าเท่ากับ 18.85 และ 19.14 N/mm² ตามลำดับ และแสดงให้เห็นถึงประสิทธิภาพในการเพิ่มค่าความทนแรงดัดโค้งได้ดีกว่า เนื่องจากสามารถกระจายแรงที่ถูกกระทำจากพอลิบิทธิลีนซัคชีเนตส่วนที่เป็นเมทริกซ์ผ่านพอลิบิทธิลีนซัคชีเนตกราฟต์ด้วยไกลซิเดียมทาคริเลตไปยังออร์แกโนเคลย์ได้ ดังนั้นสามารถกล่าวได้ว่าสารคู่ควบชนิดนี้สามารถใช้เป็นสารเพิ่มอันตรกิริยา

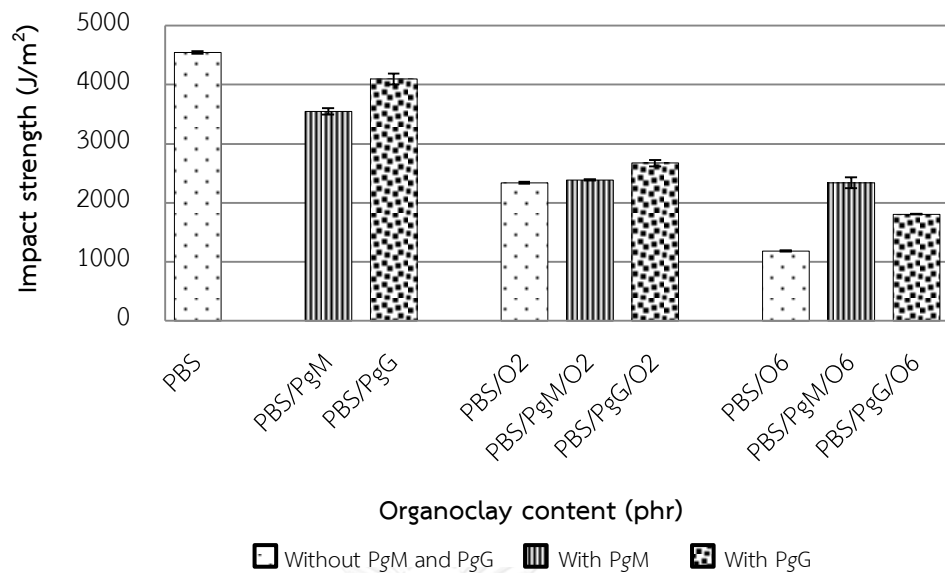
ระหว่างพอลิบิวทิลีนซักซิเนตและออร์แกโนเคลย์ได้ ในกรณีของพอลิบิวทิลีนซักซิเนตกราฟต์ด้วยมาเลอิกแอนไฮไดรต์ก็สามารถกระจายแรงผ่านหมุนฟังก์ชันมาเลอิกแอนไฮไดรต์ไปยังออร์แกโนเคลย์ได้ เช่นเดียวกัน แต่ประสิทธิภาพยังไม่ดีเท่าที่ควรซึ่งน่าจะมีสาเหตุมาจากการถูกไฮโดรไลซิสจากการเตรียมทำให้ปริมาณการกราฟต์ไม่สูงเท่าที่ควร ดังนั้นจึงไม่สามารถเพิ่มค่าความทนแรงด้วยโค้งได้มากเท่ากับการใช้พอลิบิวทิลีนซักซิเนตกราฟต์ด้วยไกลซิดิลเมทาคริเลต



รูปที่ 4.12 ความทนแรงดัดโค้งของพอลิบิวทิลีนซักซิเนตและพอลิบิวทิลีนซักซิเนตคอมโพสิต

4.6.1.3 ความทนแรงกระแทก

เป็นการทดสอบเพื่อศูนย์ติกรรมในการดูดซับพลังงานของชิ้นงานก่อนที่จะเกิดการแตกหัก เมื่อได้รับแรงในระยะเวลาสั้นๆ โดยนำชิ้นงานมาทำการทดสอบความทนแรงกระแทก (impact strength) แบบ Notched Izod Impact Testing ใช้หัวค้อนขนาด 5.5 จู ทดสอบส่งแรงกระแทก มาที่ชิ้นงานที่มีรอยบาง ได้ผลแสดงในรูปที่ 4.13 พบร่วมกับพอลิบิวทิลีนซักซิเนตมีค่าความทนแรงกระแทกสูงที่สุดเท่ากับ 4546.8 J/m^2 และแสดงให้เห็นว่าพอลิบิวทิลีนซักซิเนตสามารถดูดซับพลังงานได้ดี แต่เมื่อเติมออร์แกโนเคลย์ลงไปในปริมาณ 2 และ 6 phr จะให้ค่าความทนแรงกระแทกลดลงเป็น 2337.95 และ 1182.4 J/m^2 ตามลำดับ เนื่องจากเกิดการเกาะกลุ่มกันของออร์แกโนเคลย์ กลายเป็นจุดความเข้มแรงเค้น (stress concentration) ส่งผลให้มีอิทธิพลแรงกระแทกต่อภายนอกจึงไม่สามารถกระจายแรงไปยังสารเสริมแรงได้อย่างไรก็ตามการใช้สารคู่ควบในออร์แกโนเคลย์/พอลิบิวทิลีนซักซิเนตคอมโพสิตสามารถช่วยเพิ่มค่าของความทนแรงกระแทกนี้ได้เมื่อเปรียบเทียบกับพอลิบิวทิลีนซักซิเนตคอมโพสิตที่ไม่ใช้สารคู่ควบ และแสดงให้เห็นว่าสารคู่ควบสามารถช่วยในการกระจายพลังงานจากพอลิบิวทิลีนซักซิเนตเมทริกซ์ไปยังออร์แกโนเคลย์ซึ่งเป็นสารเสริมแรงที่จะช่วยดูดซับพลังงานได้ก่อนเกิดการแตกหัก



รูปที่ 4.13 ความทนแรงกระแทกของพอลิบิวทิลีนซักซิเนตและพอลิบิวทิลีนซักซิเนตคอมโพสิต

4.6.2 สมบัติทางความร้อนของพอลิบิวทิลีนซักซิเนตคอมโพสิต

พฤติกรรมทางความร้อนของพอลิบิวทิลีนซักซิเนตคอมโพสิตนั้นสามารถพิจารณาได้จาก อุณหภูมิในการหลอมผลึก (melting temperature, T_m) และอุณหภูมิการเกิดผลึก (crystallization temperature, T_c) ด้วยเทคนิคดิฟเฟอเรนเซียลสแกนนิ่งแคลอริมิทรีรุ่น Thermo plus EVO DSC 8230 โดยทดสอบภายใต้สภาวะอากาศ ผลปรากฏดังในตารางที่ 4.3

ตารางที่ 4.3 อุณหภูมิการหลอมผลึก (T_m) และอุณหภูมิการเกิดผลึก (T_c) ของพอลิบิวทิลีนซักซิเนต คอมโพสิต

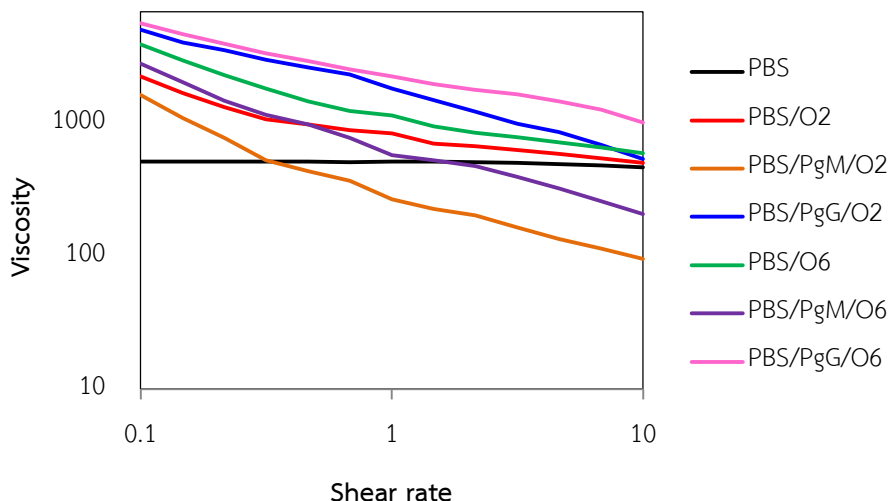
ชื่อสูตร	T_{m1} (°C)	T_{m2} (°C)	T_c (°C)
PBS	105.5	110.8	73.4
PBS/PBSgMA	101.5	109.6	76.6
PBS/PBSgGMA	104.8	110.6	73.8
PBS/O2	105.4	110.7	74.0
PBS/PBSgMA/O2	102.5	110.3	73.6
PBS/PBSgGMA/O2	106.9	110.7	77.1
PBS/O6	105.6	110.4	73.9
PBS/PBSgMA/O6	103.6	110.5	73.7
PBS/PBSgGMA/O6	107.3	110.5	81.5

เมื่อพิจารณาอุณหภูมิการหลอมผลึกของพอลิบิวทิลีนซักซิเนตพบว่ามีสองค่าซึ่งสอดคล้องกับงานวิจัยที่ผ่านมา [24, 48] เนื่องจากมีความแตกต่างของชนิดผลึกที่พบในพอลิบิวทิลีนซักซิเนต กล่าวคืออุณหภูมิการหลอมผลึกที่มีค่าต่ำกว่าจะเป็นค่าของ การหลอมผลึกที่เป็นต้นแบบ (original crystals) ในขณะที่อุณหภูมิการหลอมผลึกที่มีค่าสูงกว่าจะแสดงถึงการหลอมผลึกที่เกิดขึ้นใหม่ (recrystallized crystals) จากผลการทดสอบเป็นอุณหภูมิที่ได้จากการให้ความร้อนในครั้งที่สอง เนื่องจากการให้ความร้อนในครั้งแรกจะเป็นการกำจัดประวัติทางความร้อน (thermal history) ของตัวอย่าง งานวิจัยนี้จึงทำการศึกษาพฤติกรรมทางความร้อนในการให้ความร้อนครั้งที่สองพบว่า อุณหภูมิการหลอมผลึกที่มีค่าต่ำกว่า (T_{m1}) และอุณหภูมิการเกิดผลึก (T_c) จะมีอุณหภูมิที่เพิ่มขึ้นเมื่อมีการใช้พอลิบิวทิลีนซักซิเนตกราฟต์ด้วยไกลซิดิลเมทาคริเลตเป็นสารคู่ควบ เนื่องจากพอลิบิวทิลีนซักซิเนตกราฟต์ด้วยไกลซิดิลเมทาคริเลตสามารถเกิดอันตรกิริยาระหว่างเมทริกซ์และสารเสริมแรงได้ดีกว่า ทำให้มีแรงยึดเหนี่ยวระหว่างกันมากขึ้น ช่วยให้เฟสทั้งสองมีความเข้ากันได้มากขึ้น จึงส่งผลให้อุณหภูมิที่ใช้ในการหลอมเหลวสูงขึ้น และจากการที่มีแรงยึดระหว่างกันทำให้ชั้นงานมีลักษณะที่ค่อนข้างแข็ง การเคลื่อนที่ของสายโซ่จึงเกิดได้ยากขึ้น ดังนั้นอุณหภูมิที่ใช้ในการทำให้เกิดผลึกจะมีให้ความเย็นจึงมีค่าที่สูงขึ้นด้วย แต่อุณหภูมิการหลอมผลึกที่มีค่าสูงกว่าไม่เกิดการเปลี่ยนแปลง อาจเป็นเพราะว่าผลึกในช่วงอุณหภูมิดังกล่าวเป็นผลึกที่เกิดขึ้นใหม่ ซึ่งเป็นผลึกที่มีความสมบูรณ์ทำให้ยากต่อการเปลี่ยนแปลงอุณหภูมิในช่วงนี้ สอดคล้องกับงานวิจัยที่ผ่านมา [24, 48] กรณีการใช้พอลิบิวทิลีนซักซิเนตกราฟต์ด้วยมาเลอิกแอกนิโไฮಡร็อกเป็นสารคู่ควบให้ค่าอุณหภูมิการหลอมผลึกที่มีค่าต่ำกว่า (T_{m1}) ลดลง มีสาเหตุมาจากมาเลอิกแอกนิโไฮಡร็อกมีความไวต่อการถูกไฮโดรไลซิสส่งผลให้พอลิบิวทิลีนซักซิเนตกราฟต์ด้วยมาเลอิกแอกนิโไฮಡร็อกมีน้ำหนักโมเลกุลที่ลดลงจึงใช้อุณหภูมิในการหลอมผลึกของคอมโพสิตที่ลดลง อีกทั้งสารคู่ควบชนิดนี้มีปริมาณการกราฟต์ที่น้อยทำให้มีความสามารถในการเกิดอันตรกิริยาระหว่างพอลิบิวทิลีนซักซิเนตและออร์แกโนเคลย์ไม่ดีเท่าที่ควร อุณหภูมิที่ใช้ในการเกิดผลึกจึงพบที่ค่อนข้างต่ำ อย่างไรก็ตามออร์แกโนเคลย์ที่นำมาใช้มีลักษณะเป็นตัวเติมเสริมแรงนั้นมีผลต่อการเปลี่ยนแปลงของอุณหภูมิอุณหภูมิการหลอมผลึกทั้งสอง รวมทั้งอุณหภูมิการเกิดผลึกในพอลิบิวทิลีนซักซิเนตคอมโพสิต

4.6.3 ความหนืด

สมบัติด้านความหนืดสามารถช่วยให้ข้อมูลเกี่ยวกับกระบวนการจัดรูปของวัสดุคอมโพสิตได้ สามารถนำมาประยุกต์ใช้ในกระบวนการผลิตได้ โดยสมบัติด้านความหนืดนี้วิเคราะห์ได้ด้วยเครื่องรีโอมิเตอร์ ซึ่งทำการวิเคราะห์ที่อุณหภูมิ 120 องศาเซลเซียส ผลที่ได้แสดงในรูปที่ 4.14 จะเห็นได้ว่าพอลิบิวทิลีนซักซิเนตมีพัฒนารูปแบบของความหนืดแบบนิวтоเนียน (Newtonian) ทุกๆ ช่วงอัตราแรงเฉือน กล่าวคือความหนืดของของให้มีค่าคงที่อุณหภูมิคงที่ ส่วนกรณีของพอลิบิวทิลีนซักซิเนตคอมโพสิต

คอมโพสิตจะมีพฤติกรรมของความหนืดแบบอนนิวตันเนียน (non-Newtonian) ในลักษณะแบบพฤติกรรมแรงเฉือนลด (shear thinning) กล่าวคือความหนืดลดลงเมื่อแรงเฉือนมากขึ้น ซึ่งจะพบตัวอย่างที่แสดงพฤติกรรมนี้ในพอลิเมอร์หลอมเกือบทั้งหมด [49, 50] เมื่อใช้พอลิบิวทิลีนซักซิเนตกราฟต์ด้วยไกลซิดิลเมทาคริเลตเป็นสารคุ้มสามารถเพิ่มค่าความหนืดให้กับคอมโพสิตได้มากกว่าการใช้พอลิบิวทิลีนซักซิเนตกราฟต์ด้วยมาเลอิกแองไฮಡร์ด ซึ่งผลที่ได้มีความสอดคล้องกับปริมาณการกราฟต์ของหมุ่ฟังก์ชันมาเลอิกแองไฮಡร์ดที่น้อยและถูกไฮโดรไลซิสได้ง่ายทำให้พอลิเมอร์ที่ถูกดัดแปลงมีสายโซ่มากขึ้น เนื่องจากมีการเปลี่ยนผ่านจากโครงสร้างเดียวเป็นสองโครงสร้าง คือโครงสร้างเดียวที่มีเส้นใยขนาดใหญ่และโครงสร้างที่มีเส้นใยขนาดเล็กซึ่งทำให้เกิดแรงต้านขึ้นมาเพิ่มมากขึ้น แต่เมื่อเทียบกับพอลิบิวทิลีนซักซิเนตกราฟต์ด้วยไกลซิดิลเมทาคริเลตที่อุณหภูมิเดียวกัน ถ้าหั้งปั้งพบว่าเมื่อมีการใช้ปริมาณออร์แกโนเคลียร์ที่เพิ่มมากขึ้นค่าความหนืดมีแนวโน้มที่สูงขึ้น เนื่องจากการเติมออร์แกโนเคลียร์ซึ่งเป็นอนุภาคที่แข็งกว่าเนื้อพอลิเมอร์จะไปขัดขวางการเคลื่อนที่ของสายโซ่พอลิเมอร์ขณะที่ถูกหลอม เมื่อถูกแรงเฉือนมากจะกระทำจึงทำให้เกิดแรงต้านขึ้นมาเพิ่มมากขึ้นเพื่อให้สายโซ่เกิดการเคลื่อนที่ได้



รูปที่ 4.14 ความหนืดของพอลิบิวทิลีนซักซิเนตและพอลิบิวทิลีนซักซิเนตคอมโพสิต
ที่อุณหภูมิ 120 องศาเซลเซียส

จากการศึกษาผลการวิเคราะห์ทั้งหมดโดยเฉพาะอย่างยิ่งผลการทดสอบสมบัติเชิงกลของพอลิบิวทิลีนซักซิเนตคอมโพสิต จะเห็นได้ว่าการใช้พอลิบิวทิลีนซักซิเนตกราฟต์ด้วยไกลซิดิลเมทาคริเลตเป็นสารคุ้มครองระหว่างพอลิบิวทิลีนซักซิเนตและออร์แกโนเคลียร์จะให้สมบัติของคอมโพสิตที่เพิ่มขึ้นอย่างมีประสิทธิภาพ ดังนั้นขั้นตอนต่อไปในการศึกษาอัตราส่วนระหว่างสารคุ้มครองและสารเสริมแรงที่จะส่งผลต่อสมบัติพอลิบิวทิลีนซักซิเนตคอมโพสิตนั้นจะเลือกใช้สารคุ้มครองพอลิบิวทิลีนซักซิเนตกราฟต์ด้วยไกลซิดิลเมทาคริเลต โดยมีออร์แกโนเคลียร์เป็นสารเสริมแรงเช่นเดิม

4.7 สมบัติของพอลิบิวทิลีนซักซิเนตคอมพอสิตเพื่อศึกษาอัตราส่วนระหว่างสารคุ่มภาพและสารเสริมแรง

ผลการทดสอบสมบัติของชิ้นงานที่ได้จากการกระบวนการฉีดพลาสติกของพอลิเมอร์คอมโพวันด์ด้วยเครื่องฉีดพลาสติกของ Battenfeld Austria รุ่น BA 250/50 CDC โดยในขั้นตอนการศึกษานี้เลือกใช้สารคุ่มภาพคือพอลิบิวทิลีนซักซิเนตกราฟต์ด้วยไกลซิดิลเมทาคริเลตในปริมาณตั้งแต่ 3 ถึง 10 phr และออร์แกโนเคลย์ในปริมาณ 0.5 ถึง 6 phr เพื่อเปรียบเทียบผลของสมบัติเชิงกลในพอลิบิวทิลีนซักซิเนตคอมพอสิต

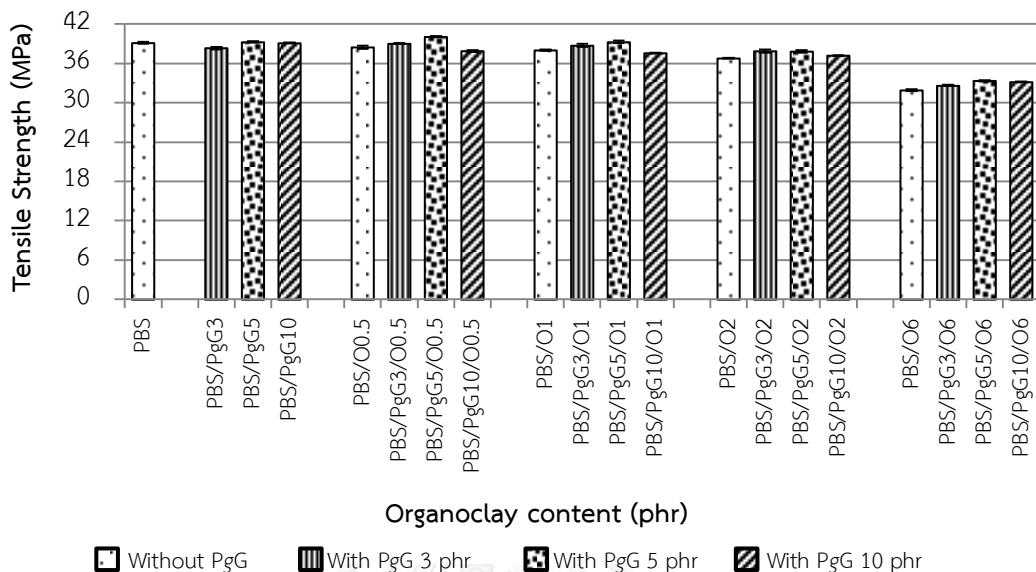
4.7.1 สมบัติเชิงกลของพอลิบิวทิลีนซักซิเนตคอมพอสิต

4.7.1.1 สมบัติด้านแรงดึง

(1) ความทนแรงดึง

ผลการทดสอบหาค่าความทนแรงดึงของพอลิบิวทิลีนซักซิเนตคอมพอสิตตามมาตรฐานแสดงในรูปที่ 4.15 ซึ่งพบว่าการใส่พอลิบิวทิลีนซักซิเนตกราฟต์ด้วยไกลซิดิลเมทาคริเลตในปริมาณ 3 5 และ 10 phr ในพอลิบิวทิลีนซักซิเนตจะไม่ส่งผลต่อค่าความทนแรงดึง แต่ผลของการใส่ออร์แกโนเคลย์ลงไปจะทำให้ค่าความทนแรงดึงลดลงตามปริมาณออร์แกโนเคลย์ที่ใส่ลงไปตั้งแต่ 0.5 ถึง 6 phr โดยเฉพาะที่ออร์แกโนเคลย์ 6 phr จะทำให้ค่าความทนแรงดึงลดลงอย่างเห็นได้ชัด เนื่องจากเกิดการเกาะกลุ่มกันของออร์แกโนเคลย์ด้วยกันเอง เกิดความไม่เข้ากันของห้องสองเฟส ทำให้กลยุทธ์เป็นข้อบกพร่องในชิ้นงาน เมื่อได้รับแรงกระทำจากภายนอกจึงไม่สามารถถ่ายโอนแรงไปยังสารเสริมแรงได้ แต่เมื่อมีการใช้พอลิบิวทิลีนซักซิเนตกราฟต์ด้วยไกลซิดิลเมทาคริเลตเป็นสารคุ่มภาพในออร์แกโนเคลย์/พอลิบิวทิลีนซักซิเนตคอมพอสิตจะเห็นได้ว่าการใช้สารคุ่มภาพในปริมาณ 3 และ 5 phr จะสามารถเพิ่มค่าความทนแรงดึงให้กับพอลิบิวทิลีนซักซิเนตคอมพอสิตได้มากขึ้น แต่เมื่อใช้สารคุ่มภาพในปริมาณ 10 phr จะทำให้ค่าที่ได้มีแนวโน้มที่ลดลง อาจมีสาเหตุมาจากการเมื่อพอลิบิวทิลีนซักซิเนตกราฟต์ด้วยไกลซิดิลเมทาคริเลตมีปริมาณที่มากเกินไปจะส่งผลทำให้มีปริมาณสัดส่วนของไกลซิดิลเมทาคริเลตในเมทริกซ์ที่มากเกินไปไม่เหมาะสมสมกับสัดส่วนของออร์แกโนเคลย์ และไกลซิดิลเมทาคริเลตที่เกินมานั้นอาจจะเกิดอันตรกิริยาด้วยกันเองแทนที่การเกิดอันตรกิริยากับออร์แกโนเคลย์ ทำให้ค่าความทนแรงดึงลดลง จากการวิเคราะห์ผลการทดสอบพบว่าสัดส่วนของสารคุ่มภาพต่อออร์แกโนเคลย์ที่ให้ค่าความทนแรงดึงได้ดีที่สุดคือ 5 และ 0.5 phr ตามลำดับ เนื่องมาจากออร์แกโนเคลย์ในปริมาณ 0.5 phr จะลักษณะการกระจายตัวในพอลิบิวทิลีนซักซิเนตที่ดี ไม่เกิดการเกาะกลุ่มกัน ประกอบกับการใช้พอลิบิวทิลีนซักซิเนตกราฟต์ด้วยไกลซิดิลเมทาคริเลตในปริมาณ 5 phr เป็นปริมาณที่เหมาะสมใน

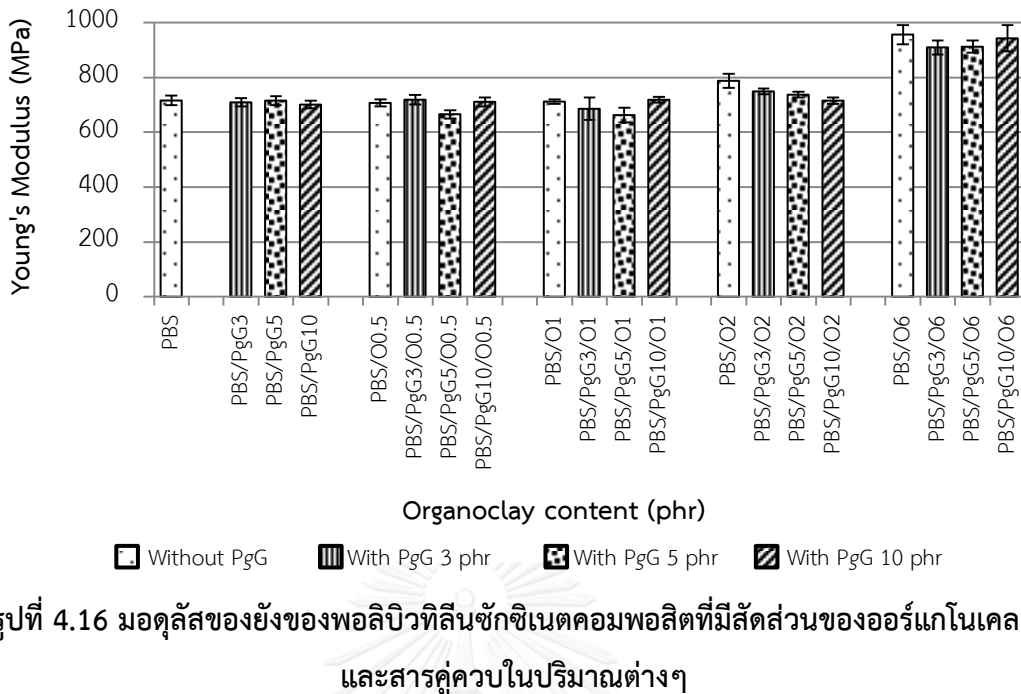
การใช้เป็นสารเชื่อมระหว่างพอลิบิวทิลีนซักซิเนตเมทริกซ์และออร์แกโนเคลย์โดยเกิดปฏิกิริยาระหว่างทั้งสองเฟสได้ดี ทำให้คอมโพสิตที่ได้มีความทนแรงดึงได้ดีขึ้น



รูปที่ 4.15 ความทนแรงดึงของพอลิบิวทิลีนซักซิเนตคอมโพสิตที่มีสัดส่วนของออร์แกโนเคลย์และสารคุณภาพในปริมาณต่างๆ

(2) มอดูลัสของยัง

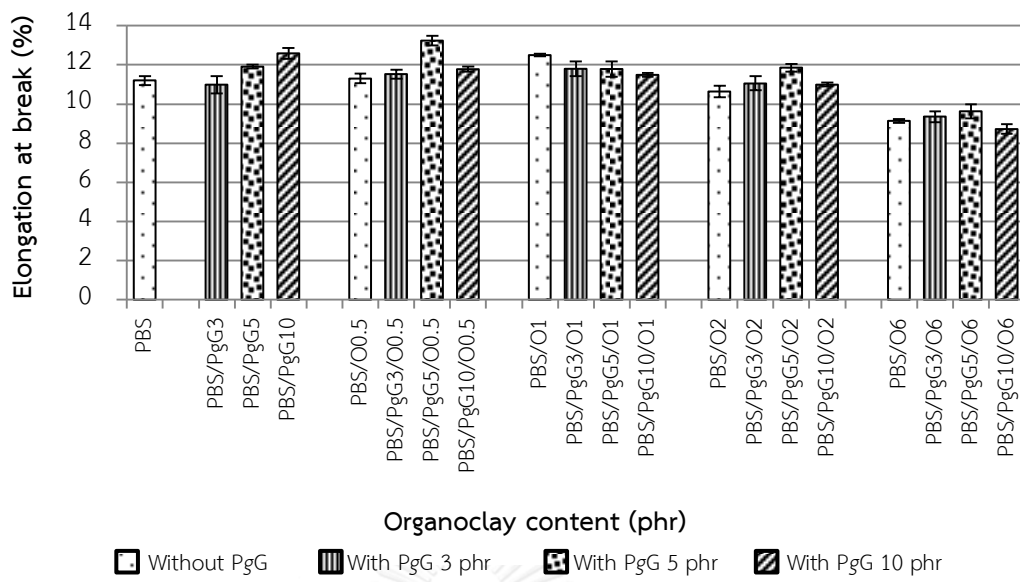
รูปที่ 4.16 แสดงผลมอดูลัสของยังที่ได้จากการทดสอบตามมาตรฐาน จะเห็นได้ว่าเมื่อมีการเติมออร์แกโนเคลย์ลงไปในพอลิบิวทิลีนซักซิเนตที่ปริมาณตั้งแต่ 2-6 phr ค่ามอดูลัสของยังมีแนวโน้มที่เพิ่มมากขึ้น โดยเฉพาะปริมาณออร์แกโนเคลย์ที่ 6 phr จะมีค่าเพิ่มขึ้นอย่างเห็นได้ชัด ซึ่งผลมาจากการที่ออร์แกโนเคลย์มีลักษณะที่เป็นของแข็ง ซึ่งแข็งกว่าเมทริกซ์ที่เป็นพอลิบิวทิลีนซักซิเนต อีกทั้งยังมีค่ามอดูลัสของยังที่สูงกว่าพอลิบิวทิลีนซักซิเนต ดังนั้นมือไส้ออร์แกโนเคลย์ลงไปในพอลิบิวทิลีนซักซิเนต จะทำให้ค่ามอดูลัสของยังเพิ่มขึ้น ส่งผลให้วัสดุคอมโพสิตมีความแข็งแกร่ง (stiffness) มากขึ้น เมื่อซึ่งงานได้รับแรงกระทำจากภายนอกจะทำให้เกิดการแตกหักอย่างรวดเร็ว นอกจากนี้ยังพบว่าการเติมสารคุณภาพในพอลิบิวทิลีนซักซิเนตคอมโพสิตค่ามอดูลัสของยังไม่มีการเปลี่ยนแปลงอย่างเห็นได้ชัด ส่วนการเติมออร์แกโนเคลย์ปริมาณ 0.5 และ 1 phr ยังคงมีค่ามอดูลัสของยังที่ใกล้เคียงกับพอลิบิวทิลีนซักซิเนตแสดงให้เห็นว่าคอมโพสิตที่มีสารคุณภาพในปริมาณต่ำกว่ายังคงมีความยืดหยุ่นที่คล้ายคลึงกับพอลิบิวทิลีนซักซิเนต เมื่อได้รับแรงกระทำจึงมีการเปลี่ยนแปลงรูปร่างก่อนเกิดการแตกหักเพื่อให้สามารถ抗拒แรงที่มากระทำจากภายนอกได้ โดยเฉพาะการใช้สารคุณภาพปริมาณ 5 phr ในพอลิบิวทิลีนซักซิเนตคอมโพสิตที่เสริมแรงด้วยออร์แกโนเคลย์ 0.5 phr จะมีค่ามอดูลัสของยังที่ต่ำแสดงว่ามีความสามารถในการเปลี่ยนแปลงรูปร่างเพื่อรับแรงได้มากยิ่งขึ้น



รูปที่ 4.16 มอดูลัสของยังของพอลิบิวทิลีนซักซิเนตคอมโพสิตที่มีสัดส่วนของออร์แกโนเคลล์ และสารคุ่คุบในปริมาณต่างๆ

(3) ความยึดสูงสุด ณ จุดขาด

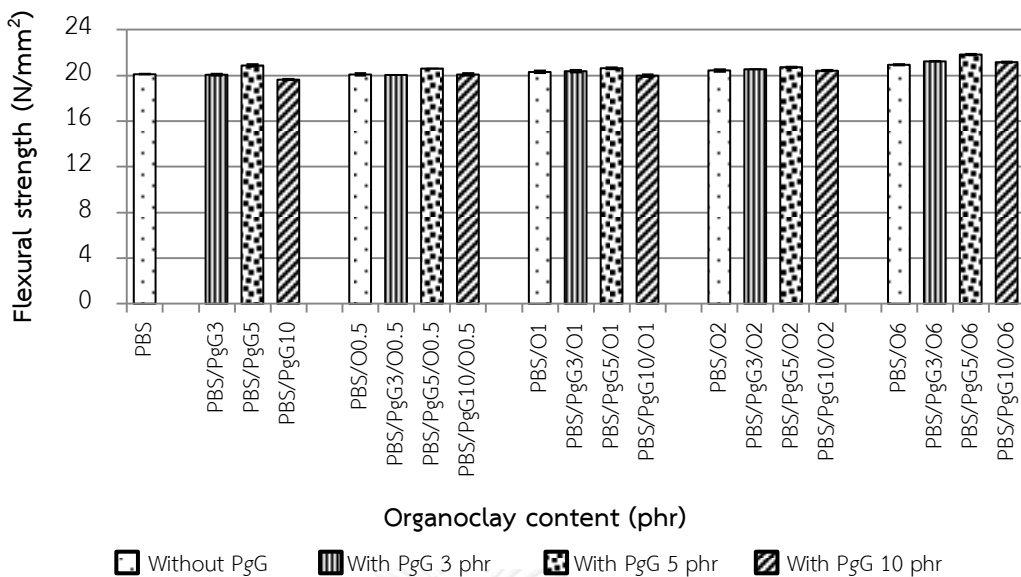
ผลการทดสอบหาค่าความยึดสูงสุด ณ จุดขาดของพอลิบิวทิลีนซักซิเนตคอมโพสิตแสดงในรูปที่ 4.17 พบว่าท่อออร์แกโนเคลล์ 0.5 phr เมื่อการใช้สารคุ่คุบปริมาณ 5 phr จะให้ค่าความยึดสูงสุด ณ จุดขาดสูงที่สุดเมื่อเท่ากับร้อยละ 13.2 ซึ่งมีค่าสูงกว่าพอลิบิวทิลีนซักซิเนตซึ่งมีค่าเท่ากับร้อยละ 11.21 โดยผลที่ได้สอดคล้องกับผลการทดสอบการหาค่ามอดูลัสของยัง กล่าวคือคอมโพสิตดังกล่าวจะมีความสามารถในการยึดหยุ่นได้ดีที่สุดเมื่อได้รับแรงกระทำจากภายนอก ส่งผลให้วัสดุนั้นมีความแข็งแกร่งหรือค่ามอดูลัสของยังที่ต่ำ แต่เมื่อเพิ่มปริมาณออร์แกโนเคลล์ที่มากขึ้น 1 ถึง 6 phr ค่าความยึดสูงสุด ณ จุดขาดของคอมโพสิตมีแนวโน้มที่ลดลง นั่นหมายถึงการที่วัสดุมีความแข็งแกร่งหรือมีค่ามอดูลัสของยังที่สูงขึ้น การที่มีออร์แกโนเคลล์มากขึ้นมีโอกาสเกิดการรวมตัวกันของมากขึ้น ด้วย ทำให้ไปขัดขวางการเคลื่อนที่ของสายโซ่พอลิเมอร์ส่งผลให้ประสิทธิภาพในการเสริมแรงไม่ดี เท่าที่ควร อย่างไรก็ตามจากการทดสอบการใช้พอลิบิวทิลีนซักซิเนตกราฟต์ด้วยไกลเซติลเมทาคริเลต เป็นสารคุ่คุบในปริมาณ 5 phr ยังคงสามารถเพิ่มค่าความยึดสูงสุด ณ จุดขาดให้แก่คอมโพสิตได้ดีที่สุด และดีให้เห็นว่าสารคุ่คุบชนิดนี้มีช่วยทำให้ออร์แกโนเคลล์และพอลิบิวทิลีนซักซิเนตมีความเข้ากันได้มากยิ่งขึ้น สามารถเพิ่มอันตรกิริยาระหว่างทั้งสองเฟสได้ ทำให้พอลิบิวทิลีนซักซิเนตสามารถถ่ายโอนแรงที่ได้รับจากภายนอกไปยังอนุภาคออร์แกโนเคลล์ได้ ส่งผลให้วัสดุมีความแข็งแกร่งลดลง



รูปที่ 4.17 ความยืดสูงสุด ณ จุดขาดของพอลิบิวทิลีนซัคชิเนตคอมโพสิต
ที่มีสัดส่วนของออร์แกโนเคลย์และสารคุ้คุบในปริมาณต่างๆ

4.7.1.2 ความหนาแน่นด้วย load cell

การทดสอบหาค่าความหนาแน่นด้วย load cell ขนาด 2500 นิวตัน โดยทดสอบตามมาตรฐาน ASTM D790 ผลที่ได้แสดงในรูปที่ 4.18 ซึ่งแสดงให้เห็นว่าแนวโน้มของค่าความหนาแน่นด้วยการเพิ่มปริมาณการเพิ่มออร์แกโนเคลย์ เนื่องจากการจัดเรียงตัวของระนาบในออร์แกโนเคลย์ไม่มีผลต่อค่าความหนาแน่นด้วยการเพิ่มปริมาณออร์แกโนเคลย์เพิ่มขึ้นถึง 6 phr ค่าความหนาแน่นของคอมโพสิตมีค่าสูงขึ้นเล็กน้อย อาจเป็นเพราะว่าการเติมสารเสริมแรงที่มีอัตราส่วนระหว่างความยาวต่อความกว้างหรือความหนาสูง (high aspect ratio) หรือการเติมอนุภาคที่เป็นของแข็งจะทำให้มีความแข็งแกร่งมากส่งผลให้ค่าความหนาแน่นด้วย load cell สูงขึ้น [44] ส่วนผลจากการใช้พอลิบิวทิลีนซัคชิเนตกราฟต์ด้วยไกลเซติลเมทาคริเลต เป็นสารคุ้คุบสำหรับพอลิบิวทิลีนซัคชิเนตคอมโพสิตที่เสริมแรงด้วยออร์แกโนเคลย์จะพบว่าสารคุ้คุบชนิดนี้สามารถใช้ในการเพิ่มค่าความหนาแน่นด้วยการเพิ่มอัตราส่วนระหว่างความยาวต่อความกว้างหรือความหนาสูงที่ 5 phr จะเพิ่มค่าได้สูงที่สุด ซึ่งเป็น เพราะว่าสารคุ้คุบช่วยในการเพิ่มอัตราการร้าบหักห้ามของพอลิบิวทิลีนซัคชิเนตและออร์แกโนเคลย์ให้มีความเข้ากันได้มากยิ่งขึ้น [51] ซึ่งจะทำให้เมทริกซ์สามารถถ่ายโอนแรงที่ถูกกระทำไปยังสารเสริมแรงได้ดี ส่งผลให้วัสดุมีความหนาแน่นด้วย load cell ได้ดีขึ้น

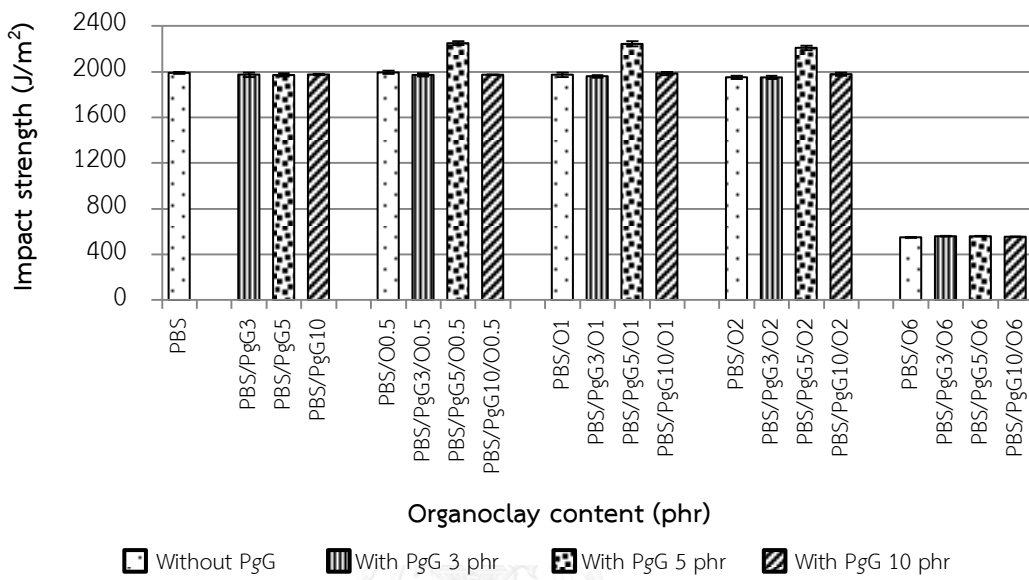


รูปที่ 4.18 ความทนแรงดัดโค้งของพอลิบิวทิลีนซัคชิเนตคอมโพสิต
ที่มีสัดส่วนของออร์แกโนเคลย์และสารคุณค่าวในปริมาณต่างๆ

4.7.1.3 ความทนแรงกระแทก

ผลการทดสอบหาค่าความทนแรงกระแทกแบบไอซอดด้วยเครื่องทดสอบความทนแรงกระแทก (impact-pendulum tester) โดยทดสอบตามมาตรฐาน ASTM D256 ซึ่งใช้หัวค้อนขนาด 2.75 จูลทดสอบส่งแรงกระแทกมาที่ชิ้นงานที่มีรอยบาก ผลที่ได้ดังแสดงในรูปที่ 4.19 เทคนิคนี้เป็นการศึกษาพฤติกรรมในการดูดซับพลังงานของวัสดุเมื่อได้รับแรงกระทำในระยะเวลาสั้นๆ ก่อนที่จะเกิดการแตกหัก โดยพบว่าเมื่อเติมออร์แกโนเคลย์ปริมาณ 1 ถึง 6 phr จะให้ค่าความทนแรงกระแทก มีแนวโน้มที่ลดลง เนื่องจากเกิดการเกาะกลุ่มกันเองของอนุภาคออร์แกโนเคลย์ ทำให้เกิดความแตกต่างระหว่างสองเฟสขึ้น ส่งผลให้เมื่อได้รับแรงที่มากระทำอย่างทันทีทันใดจึงไม่สามารถถ่ายโอนแรงไปยังสารเสริมแรงได้ วัสดุจึงเกิดการแตกหักทันที โดยเฉพาะที่ออร์แกโนเคลย์ปริมาณ 6 phr ซึ่งมีค่าความทนแรงกระแทกที่ต่ำกว่าย่างเห็นได้ชัด เป็นเพราะว่าการเกาะกลุ่มกันของออร์แกโนเคลย์ทำให้กลایเป็นจุดบกพร่องในชิ้นงาน เกิดเป็นจุดความเข้มแรงเค้น (stress concentration) ในเมทริกซ์ จึงทำให้วัสดุแตกหักได้ง่าย แต่เมื่อมีการใช้สารคุณค่าวแล้วจะเห็นว่าในปริมาณ 5 phr จะให้ค่าความทนแรงกระแทกได้สูงที่สุด เนื่องจากสามารถช่วยให้ออร์แกโนเคลย์มีการกระจายตัวที่ดีในพอลิบิวทิลีนซัคชิเนตเมทริกซ์ และช่วยในการปรับปรุงให้เฟสทั้งสองมีความเข้ากันได้มากขึ้น โดยจากการศึกษาพบว่าที่สัดส่วนระหว่างออร์แกโนเคลย์และพอลิบิวทิลีนซัคชิเนตกราฟต์ด้วยไกลซิเดิลเมทาคริเลตที่ปริมาณ 0.5 และ 5 phr ตามลำดับ จะมีความสามารถทนแรงกระแทกได้ดีที่สุด เนื่องจากมีปริมาณอยู่ในสัดส่วนที่ทำให้ออร์แกโนเคลย์มีการกระจายตัวในลักษณะที่สามารถ

ช่วยในการเสริมแรงได้และมีปริมาณเหมาะสมในการเป็นสารเขื่อมทำให้เกิดอันตรายร้ายห่วงสองเฟสให้ส่งผ่านแรงที่ถูกกระทำไปยังสารเสริมแรงได้ทันทีทันใด ทำให้วัสดุเกิดการดูดซับพลังงานก่อนเกิดการแตกหัก ดังนั้นสัดส่วนปริมาณของออร์แกโนเคลล์และสารคู่ควบจึงเป็นปัจจัยสำคัญที่จะสามารถเพิ่มสมบัติเชิงกลของพอลิบิวทิลีนซักซิเนตคอมโพสิตได้อย่างมีประสิทธิภาพ [38]

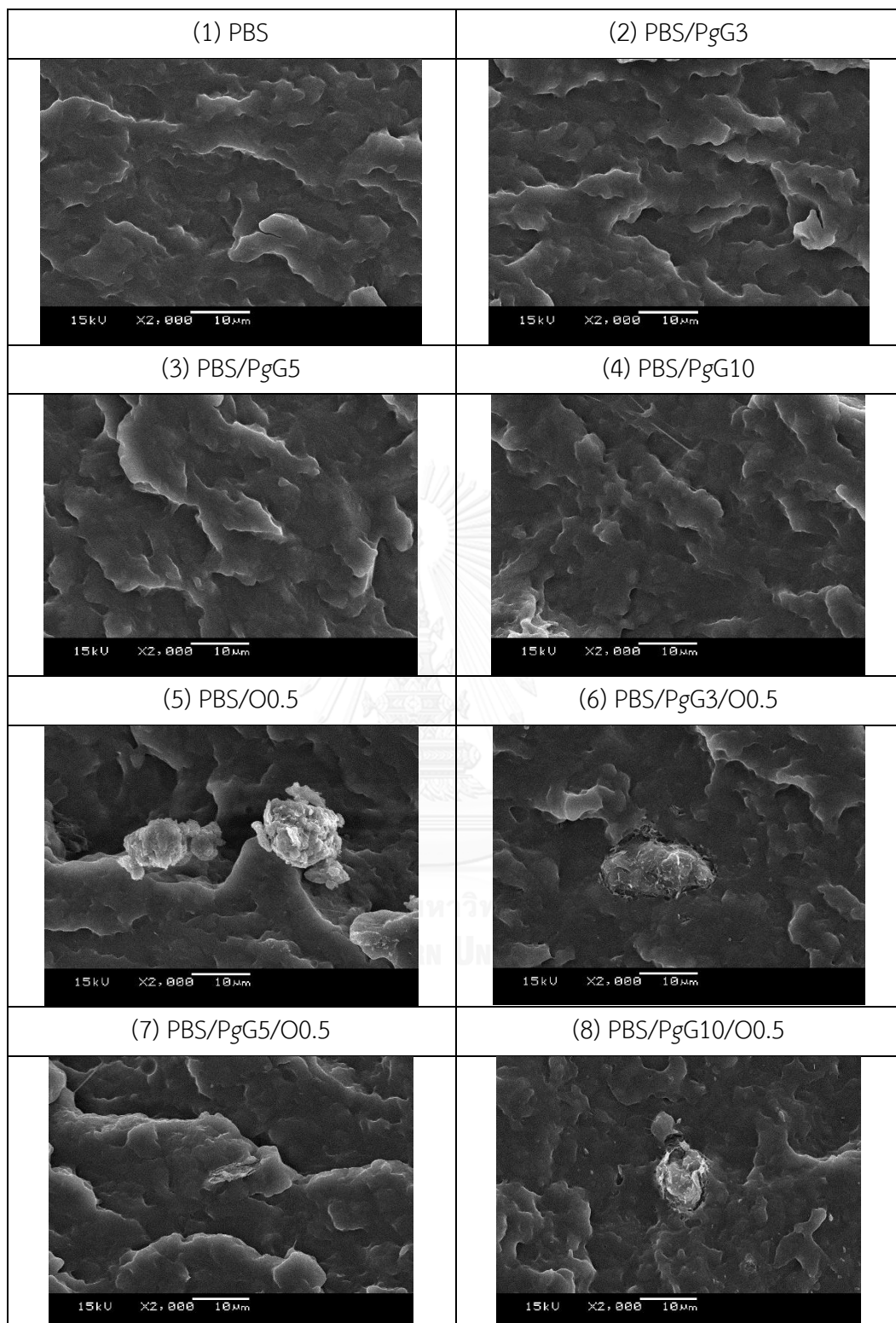


รูปที่ 4.19 ความทนแรงกระแทกของพอลิบิวทิลีนซักซิเนตคอมโพสิต
ที่มีสัดส่วนของออร์แกโนเคลล์และสารคู่ควบในปริมาณต่างๆ

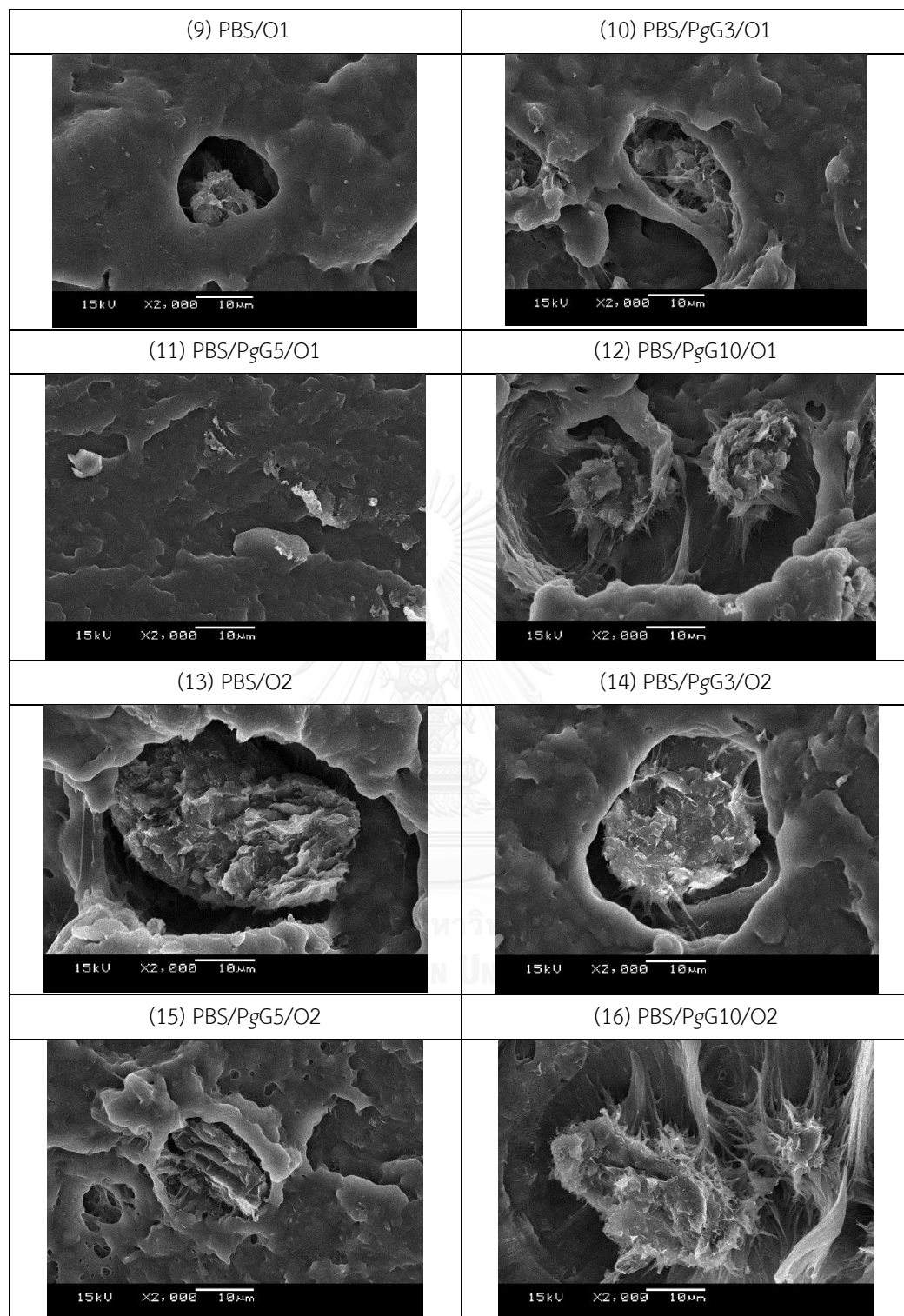
4.7.2 สัณฐานวิทยาของพอลิบิวทิลีนซักซิเนตคอมโพสิต

4.7.2.1 การตรวจสอบด้วยกล้องจุลทรรศน์อิเล็กtronแบบส่องกราด

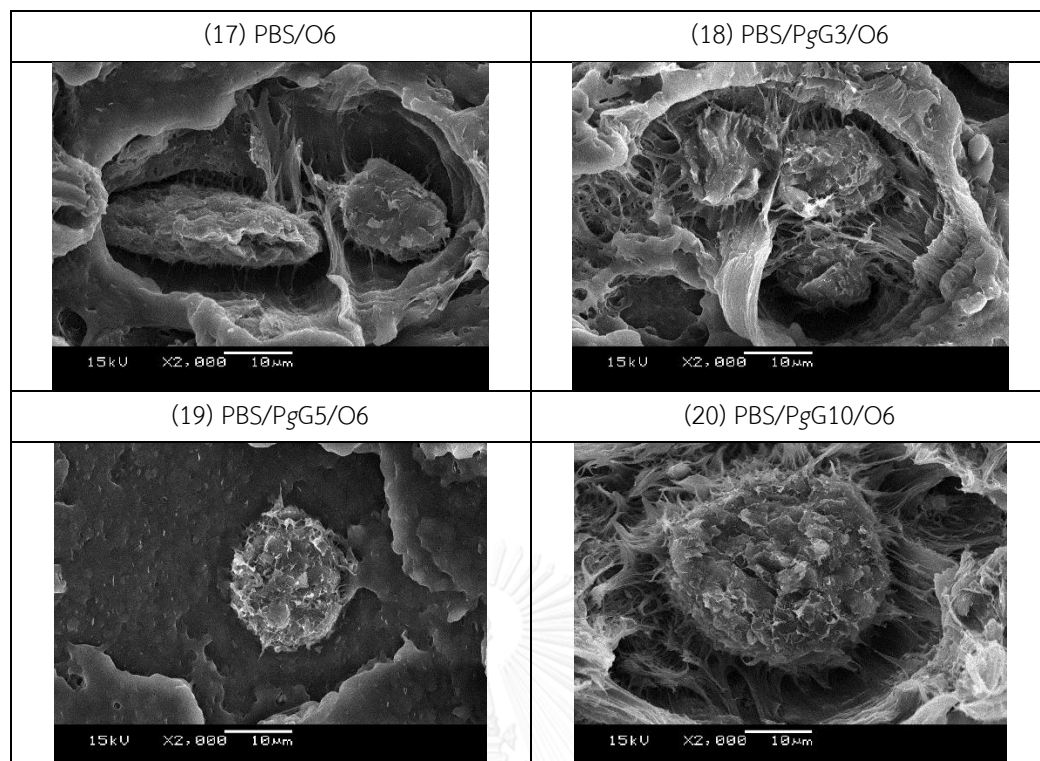
จากการตรวจสอบลักษณะทางสัณฐานวิทยาของพอลิบิวทิลีนซักซิเนตคอมโพสิตที่ผ่านการทดสอบสมบัติความทนแรงดึง (tensile fracture surface) ด้วยกล้องจุลทรรศน์อิเล็กtronแบบส่องกราดที่กำลังขยาย 2000 เท่า ผลที่ได้ดังแสดงในรูปที่ 4.20 (1-20)



รูปที่ 4.20 สัณฐานวิทยาของพอลิบิวทิลีนซักรชีเนตคอมพอลิท
ที่มีสัดส่วนของออร์แกโนเคลียและสารคุ่ค่วยในปริมาณต่างๆ



รูปที่ 4.20 (ต่อ) สัมฐานวิทยาของพอลิบิวทิลีนซักซิงคอมโพสิต
ที่มีสัดส่วนของออร์แกโนเคลร์และสารคุกคามต่างๆ



รูปที่ 4.20 (ต่อ) สัมฐานวิทยาของพอลิบิวทิลีนซักซิเนตคอมโพสิต
ที่มีสัดส่วนของออร์แกโนเคลย์และสารคุ่ค่วยในปริมาณต่างๆ

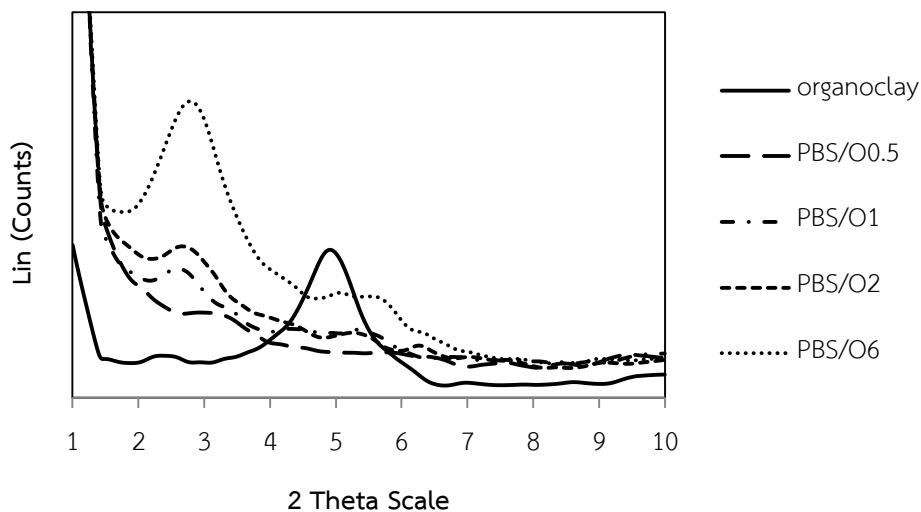
จากรูปที่ 4.20 (1) จะเห็นได้ว่าพอลิบิวทิลีนซักซิเนตมีพื้นผิวจากการแตกหักในลักษณะที่ราบเรียบ [6, 24] แสดงว่ามีการแตกหักในลักษณะแบบค่อนข้างเประ และเมื่อมีการใช้สารคุ่ค่วยคือพอลิบิวทิลีนซักซิเนตกราฟต์ด้วยไกลซิดิเมทاكրิเลตที่ปริมาณ 3.5 และ 10 phr ในพอลิบิวทิลีนซักซิเนตผลที่ได้คือบริเวณพื้นผิวรอยแตกไม่มีความแตกต่างเมื่อเปรียบเทียบกับพอลิบิวทิลีนซักซิเนตดังแสดงในรูปที่ 4.20 (2) (3) และ (4) ตามลำดับ เมื่อมีการเติมออร์แกโนเคลย์ลงไปในพอลิบิวทิลีนซักซิเนตเมทริกซ์ที่ปริมาณต่างๆ กันตั้งแต่ 0.5 1 2 และ 6 phr โดยไม่มีการใช้สารคุ่ค่วย แสดงภาพสัมฐานวิทยาที่ได้ตั้งแสดงในรูปที่ 4.20 (5) (9) (13) และ (17) ตามลำดับ จะเห็นได้ชัดว่าเมื่อมีปริมาณออร์แกโนเคลย์สูงขึ้นจะเกิดการเกากรกลุ่มกันเป็นก้อนที่มีลักษณะใหญ่ แสดงถึงการกระจายตัวของออร์แกโนเคลย์ไม่ติด โดยผลที่ได้สองคล้องกับผลของสมบัติเชิงกลตั้งที่ได้ก้าวมาแล้ว และจะเห็นรอยแตกกระหว่างทั้งสองเฟสของพอลิบิวทิลีนซักซิเนตและออร์แกโนเคลย์ได้อย่างชัดเจน กล่าวคือไม่พบแรงดึงเหนี่ยวหรือรอยเชื่อมระหว่างสองเฟสประภูมิอยู่ในสัดคูมคอมโพสิต สาเหตุมาจากการแตกต่างของข้อของทั้งสองเฟส โดยออร์แกโนเคลย์จะมีลักษณะของความเป็นข้าวที่ค่อนข้างสูง ทำให้ชوبที่จะเกาะกลุ่มกันเองมากกว่าที่จะกระจายตัวอยู่ในเมทริกซ์ของพอลิบิวทิลีนซักซิเนต [17] ส่งผลให้สัดคูมีความาะระอย่างไรก็ตามเมื่อมีการปรับปรุงความเข้ากันได้ของทั้งสองเฟสด้วยการใช้พอลิบิวทิลีนซักซิเนต

กราฟต์ด้วยไกลซิติลเมทاكربิเลตเป็นสารช่วยเพิ่มอันตรกิริยาระหว่างเฟสทั้งสองในปริมาณที่ 3.5 และ 10 phr จะเห็นว่าซ่องว่างของรอยแตกที่แบ่งแยกระหว่างทั้งสองเฟสนั้นลดลง ซึ่งจะเห็นได้ชัดเจนที่ปริมาณของสารคู่ควบเท่ากับ 5 phr ดังแสดงในรูปที่ 4.20 (7) (11) (15) และ (19) ซึ่งเป็นผลที่มาจากการใช้สารคู่ควบโดยเฉพาะอย่างยิ่งที่ออร์แกโนเคลย์ปริมาณ 0.5 phr ดังแสดงในรูปที่ 4.20 (6) ถึง (8) จะเห็นออร์แกโนเคลย์มีการฝังตัวอยู่ในเฟสของพอลิบิวทิลีนซักซิเนตเมทริกซ์ แสดงว่าเกิดอันตรกิริยาเชื่อมระหว่างทั้งสองเฟสได้ดี ทำให้ผลของการใช้สารเสริมแรงที่มีต่อวัสดุมีประสิทธิภาพที่ดีมาก ซึ่งผลจากภาพสันฐานวิทยาดังกล่าวก็มีความสอดคล้องกับผลของการทดสอบสมบัติเชิงกลของคอมโพสิตที่ให้ค่าที่ดีที่สุด

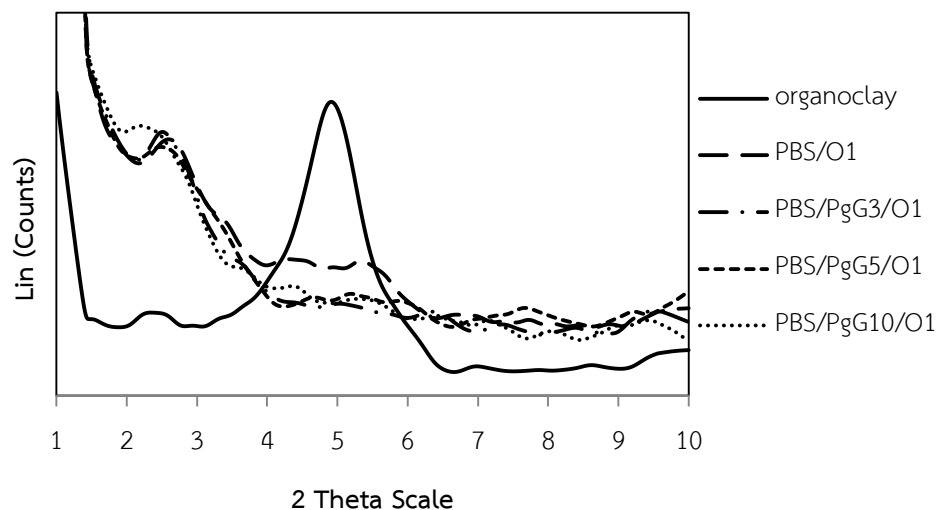
ส่วนที่ออร์แกโนเคลย์ปริมาณ 1 phr เมื่อใช้สารคู่ควบที่ปริมาณ 3 และ 10 phr ดังแสดงในรูปที่ 4.20 (10) และ (12) ตามลำดับ จะเห็นลักษณะการยึดของพอลิเมอร์เกิดขึ้นที่บริเวณระหว่างสองเฟส จะเห็นได้ว่าการใช้สารคู่ควบนั้นจะทำให้เกิดอันตรกิริยาขึ้นเชื่อมระหว่างสองเฟส ส่วนสารคู่ควบปริมาณ 5 phr ยังคงเห็นว่าออร์แกโนเคลย์มีการฝังตัวอยู่ในเนื้อเมทริกซ์ เช่นเดียวกับผลของออร์แกโนเคลย์ในปริมาณ 0.5 phr ดังที่ได้กล่าวมาแล้ว นอกจากนี้ยังพบว่ามีการเกิดอันตรกิริยาระหว่างพอลิบิวทิลีนซักซิเนตและออร์แกโนเคลย์ด้วยการใช้สารคู่ควบในคอมโพสิตที่มีออร์แกโนเคลย์ปริมาณ 2 และ 6 phr อีกด้วย ซึ่งแสดงให้เห็นว่าการใช้พอลิบิวทิลีนซักซิเนตกราฟต์ด้วยไกลซิติลเมทاكربิเลตสามารถเพิ่มความเข้ากันได้ระหว่างสองเฟสได้มากขึ้นด้วยการเกิดอันตรกิริยาระหว่างเมทริกซ์และสารเสริมแรง ส่งผลให้สมบัติเชิงกลของพอลิบิวทิลีนซักซิเนตคอมโพสิตที่มีการใช้สารคู่ควบมีประสิทธิภาพสูงกว่าคอมโพสิตที่ไม่ใช้สารคู่ควบ

4.7.2.2 การตรวจสอบด้วยเครื่องวิเคราะห์การเลี้ยวเบนรังสีเอกซ์

รูปที่ 4.21-4.22 แสดงผลการทดสอบพอลิบิวทิลีนซักซิเนตคอมโพสิตด้วยเทคนิค XRD โดยทำการศึกษาที่ 2 Theta (2θ) ในช่วง 1-10 องศาและใช้ความยาวคลื่นที่ 0.154 นาโนเมตรในการทดสอบ



รูปที่ 4.21 XRD ดิฟเฟρกトイแกรมของออร์แกโนเคลย์และพอลิบิวทิลีนซัคชิเนตคอมโพสิต
ที่มีออร์แกโนเคลย์ในปริมาณต่างๆ



รูปที่ 4.22 XRD ดิฟเฟρกトイแกรมของออร์แกโนเคลย์และพอลิบิวทิลีนซัคชิเนตคอมโพสิต
ที่มีสารคุณภาพในปริมาณต่างๆ

จากรูปแสดงพีคโครงสร้างผลึกของออร์แกโนเคลย์ที่ช่วง 2θ ซึ่งมีค่าเท่ากับ 4.962 องศา แล้วนำมาคำนวณหาระยะห่างระหว่างระนาบ 001 (d_{001}) ด้วยสมการของ Bragg (Bragg's Equation) ซึ่งแสดงดังสมการที่ 4.1 [30] จะได้ d_{001} มีค่าเท่ากับ 1.78 นาโนเมตร และผลการคำนวณของพอลิบิวทิลีนซัคชิเนตคอมโพสิตสามารถคำนวณได้ค่าดังแสดงในตารางที่ 4.4

$$2d_{001} \sin \theta = n\lambda \quad \text{สมการที่ 4.1}$$

- เมื่อ d คือ ระยะห่างระหว่างชั้นของออร์แกโนเคลย์
 θ คือ มุมต่อกลางที่ของรังสีเอกซ์
 n คือ จำนวนเต็มใดๆ
 λ คือ ความยาวคลื่นของรังสีเอกซ์ซึ่งมีค่า 0.154 นาโนเมตร

ตารางที่ 4.4 ผลวิเคราะห์การเลี้ยวเบนรังสีเอกซ์และค่าที่คำนวณได้จากการของ Braggt

ชื่อสูตร	2θ	d (นาโนเมตร)
organoclay	4.962	1.78
PBS/O0.5	2.686	3.29
PBS/PgG3/O0.5	2.717	3.25
PBS/PgG5/O0.5	2.559	3.45
PBS/PgG10/O0.5	2.401	3.68
PBS/O1	2.686	3.29
PBS/PgG3/O1	2.686	3.29
PBS/PgG5/O1	2.528	3.49
PBS/PgG10/O1	2.370	3.73
PBS/O2	2.867	3.08
PBS/PgG3/O2	2.749	3.21
PBS/PgG5/O2	2.686	3.29
PBS/PgG10/O2	2.465	3.58
PBS/O6	2.780	3.17
PBS/PgG3/O6	2.780	3.17
PBS/PgG5/O6	2.559	3.45
PBS/PgG10/O6	2.622	3.37

จากรูปที่ 4.21 และตารางที่ 4.4 จะเห็นได้ว่าระนาบของออร์แกโนเคลย์ที่ 001 ในพอลิบิวทิลีนซักซิเนตคอมโพสิตเมื่อใช้ออร์แกโนเคลย์ปริมาณ 0.5 phr เป็นสารเสริมแรงจะเห็นพีคของออร์แกโนเคลย์ที่ไม่ชัดเจน อาจเป็นเพราะมีปริมาณที่น้อยจนเครื่องไม่สามารถตรวจสอบได้ หรืออาจเนื่องมาจากการของออร์แกโนเคลย์มีการกระจายตัวในลักษณะที่อิสระต่อกัน เสมือนออร์แกโนเคลย์มีโครงสร้างแบบแยกเป็นแผ่น แต่ถ้าเพิ่มปริมาณของออร์แกโนเคลย์ที่สูงขึ้นดังเช่นในกรณี 1 ถึง 6 phr จะเห็นว่าพีคของการเลื่อนค่า 2θ ไปทางที่สูงขึ้น เมื่อคำนวณเป็นระยะห่างระหว่างระนาบแล้วมีแนวโน้ม

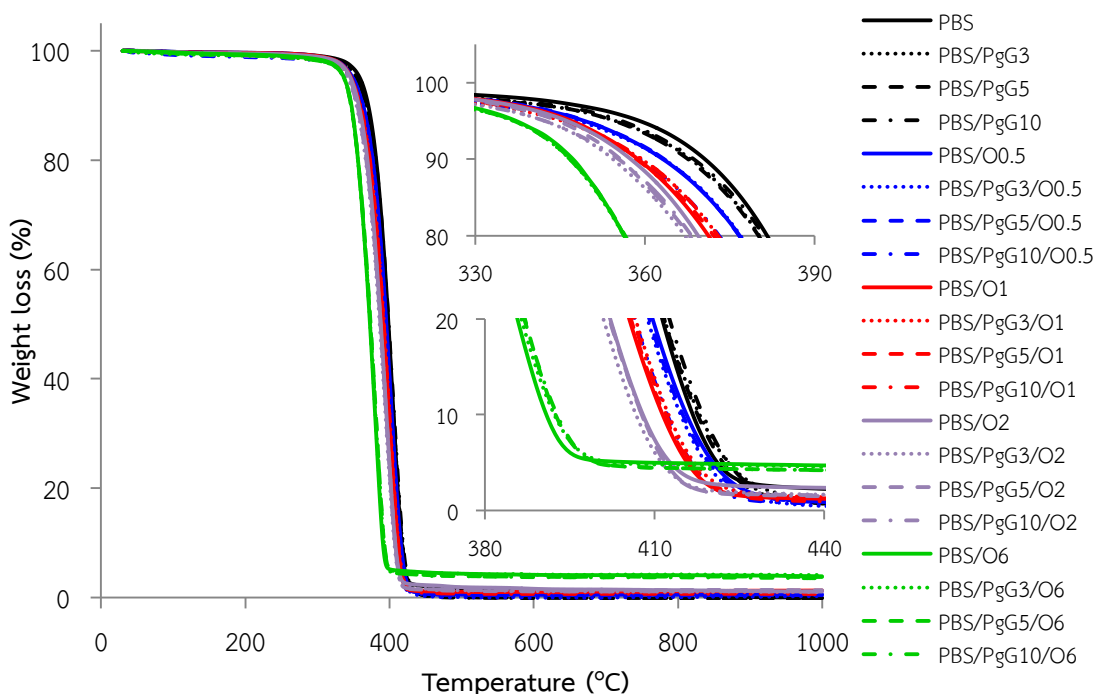
ที่ลดลง ซึ่งสาเหตุมาจากการเมื่อมีปริมาณออร์แกโนเคลย์ที่สูงขึ้นจะทำให้เกิดการเกาะกลุ่มกันของออร์แกโนเคลย์ ดังเช่นผลการวิเคราะห์ด้วยกล้องจุลทรรศน์อิเล็กตรอนแบบส่อง粒化 ส่งผลให้สายโซ่ของพอลิบิวทิลีนซักซิเนตไม่สามารถแทรกตัวเข้าไประหว่างชั้นของออร์แกโนเคลย์ได้หรือแทรกตัวได้ยากขึ้น การที่เติมออร์แกโนเคลย์ลงไปจึงไม่สามารถช่วยเพิ่มสมบัติเชิงกลด้านการเสริมแรงให้กับพอลิบิวทิลีนซักซิเนตคอมโพสิตได้ ซึ่งสอดคล้องกับผลการทดสอบสมบัติเชิงกลดังที่ได้กล่าวมาข้างต้น

แต่อย่างไรก็ตามเมื่อมีการใช้พอลิบิวทิลีนซักซิเนตกราฟต์ด้วยไกลซิเดียมทาริเลตเป็นสารคุณภาพในพอลิบิวทิลีนซักซิเนตคอมโพสิตจะสามารถเพิ่มระยะห่างระหว่างระนาบให้มากขึ้นได้ดังแสดงในรูปที่ 4.22 และตารางที่ 4.4 โดยเฉพาะอย่างยิ่งเมื่อใช้พอลิบิวทิลีนซักซิเนตกราฟต์ด้วยไกลซิเดียมทาริเลตในปริมาณ 5 และ 10 phr และแสดงให้เห็นว่าสายโซ่ของพอลิบิวทิลีนซักซิเนตกราฟต์ด้วยไกลซิเดียมทาริเลตสามารถเข้าไปแทรกตัวอยู่ระหว่างชั้นของระนาบในออร์แกโนเคลย์ได้มาก แต่จาก XRD ดิฟเฟρก์โกร์แกรมจะเห็นลักษณะของความเป็นผลึกอยู่บางส่วน ทำให้เห็นว่าผลึกของออร์แกโนเคลย์นั้นอยู่ในรูปแบบของโครงสร้างแบบแทรก ซึ่งจะเป็นส่วนที่ช่วยในการเสริมแรงให้กับพอลิบิวทิลีนซักซิเนตคอมโพสิตได้ดี

4.7.3 สมบัติทางความร้อนของพอลิบิวทิลีนซักซิเนตคอมโพสิต

4.7.3.1 การวิเคราะห์ด้วยเทคนิคการวิเคราะห์น้ำหนักภายในตัวให้ความร้อน

ทำการทดสอบสมบัติทางความร้อนของพอลิบิวทิลีนซักซิเนตคอมโพสิตด้วยเทคนิคการวิเคราะห์น้ำหนักภายในตัวให้ความร้อน ที่ช่วงอุณหภูมิ 30 ถึง 1000 องศาเซลเซียส อัตราการให้ความร้อนที่ 10 องศาเซลเซียสต่อนาที ผลดังแสดงในรูปที่ 4.23 และตารางที่ 4.5 แสดงถึงอุณหภูมิที่เริ่มถลายตัว (T_{onset}) อุณหภูมิสิ้นสุดการถลายตัว (T_{endset}) และปริมาณถ้าที่เหลือ (% residual mass) ของพอลิบิวทิลีนซักซิเนตคอมโพสิต



รูปที่ 4.23 TGA เทอร์โมแกรมของพอลิบิวทิลีนซัคชิเนตคอมโพสิต

ที่มีสัดส่วนของออร์แกโนเคลล์และสารคุกคุวบในปริมาณต่างๆ

ตารางที่ 4.5 อุณหภูมิการสลายตัวของพอลิบิวทิลีนซัคชิเนตคอมโพสิตที่มีสัดส่วนของออร์แกโนเคลล์และสารคุกคุวบในปริมาณต่างๆ

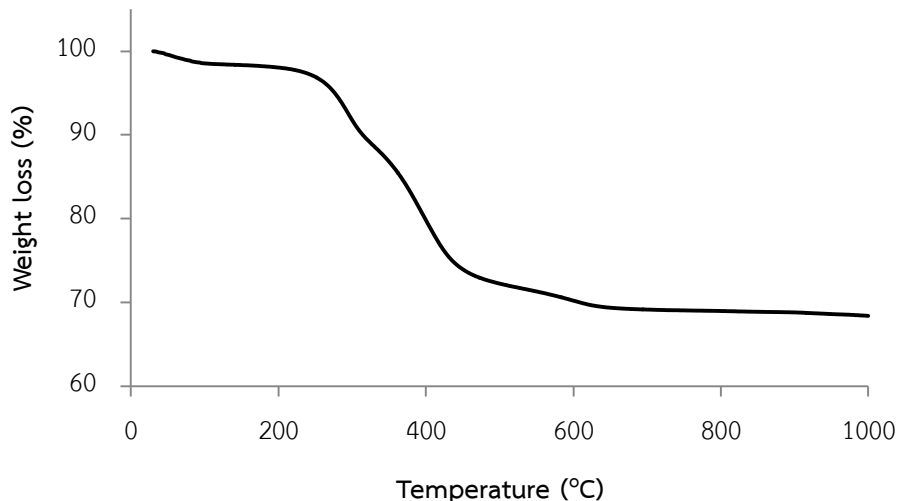
ชื่อสูตร	T _d (onset) (°C)	T _d (inflection point) (°C)	T _d (endset) (°C)	Residual Mass (%)
PBS	377.3	402.2	417.4	0.00
PBS/PgG3	375.3	401.8	419.7	0.23
PBS/PgG5	375.9	402.3	419.7	0.00
PBS/PgG10	376.4	402.9	420.5	0.00
PBS/O0.5	372.8	399.7	417.3	0.61
PBS/PgG3/O0.5	373.1	399.4	416.8	0.26
PBS/PgG5/O0.5	372.7	399.5	416.8	0.45
PBS/PgG10/O0.5	370.4	397.6	414.5	0.80
PBS/O1	367.3	396.7	413.7	1.30
PBS/PgG3/O1	369.8	397.5	414.4	1.00

ตารางที่ 4.5 (ต่อ) อุณหภูมิการสลายตัวของพอลิบิวทิลีนซักซิเนตคอมโพสิตที่มีสัดส่วนของ ออร์แกโนเคลย์และสารคุ่ค่วยในปริมาณต่างๆ

ชื่อสูตร	T_d (onset) (°C)	T_d (inflection point) (°C)	T_d (endset) (°C)	Residual Mass (%)
PBS/PgG5/O1	369.0	396.8	413.9	1.23
PBS/PgG10/O1	369.6	397.3	414.2	0.66
PBS/O2	364.1	392.4	408.7	1.10
PBS/PgG3/O2	363.1	391.8	408.5	0.99
PBS/PgG5/O2	364.3	393.2	409.9	1.35
PBS/PgG10/O2	365.0	393.8	410.0	1.12
PBS/O6	351.8	377.9	391.0	3.90
PBS/PgG3/O6	351.9	377.9	392.2	4.14
PBS/PgG5/O6	352.5	379.5	393.1	3.78
PBS/PgG10/O6	351.9	378.6	393.1	3.53

จากตารางที่ 4.5 แสดงให้เห็นว่าการใส่ออร์แกโนเคลย์เข้าไปในพอลิบิวทิลีนซักซิเนตใน ปริมาณที่เพิ่มมากขึ้นจะทำให้ค่าของอุณหภูมิที่เริ่มสลายตัว (onset) และอุณหภูมิลิ่นสุดการสลายตัว (endset) มีแนวโน้มลดลง เนื่องมาจากออร์แกโนเคลย์มีอุณหภูมิการสลายตัวที่ต่ำกว่าพอลิบิวทิลีนซักซิเนต เมทริกซ์ ดังแสดงในรูปที่ 4.24 ซึ่งจะเห็นว่าอุณหภูมิการสลายตัวของออร์แกโนเคลย์มี 4 ขั้นตอน ได้แก่ อุณหภูมิช่วง 35 ถึง 100 องศาเซลเซียส เป็นช่วงการสลายตัวของโมเลกุln้ำที่อยู่ในอนุภาค ของออร์แกโนเคลย์ อุณหภูมิช่วง 170 ถึง 340 องศาเซลเซียส เป็นช่วงการสลายตัวของสารลด แรงตึงผิวประจุบวก (cationic surfactant) ช่วง 300 ถึง 420 องศาเซลเซียส เป็นช่วงอุณหภูมิในการ สลายตัวของสารลดแรงตึงผิวที่อยู่บนผิวของออร์แกโนเคลย์ และอุณหภูมิช่วงที่สี่ 510 ถึง 640 องศา เซลเซียส ซึ่งเป็นการสลายตัวของหมูไอกอรอกซ์ในออร์แกโนเคลย์ [52] ดังนั้นมีการเติมออร์แกโนเคลย์ ในปริมาณที่มากขึ้นจึงทำให้อุณหภูมิการสลายตัวของวัสดุคอมโพสิตมีแนวโน้มที่ลดลง ส่วนการใช้ พอลิบิวทิลีนซักซิเนตกราฟต์ด้วยไกลซิติดิลเมทาคริเลตในพอลิบิวทิลีนซักซิเนตคอมโพสิตจะไม่ส่งผลต่อ การเปลี่ยนแปลงอุณหภูมิการสลายตัว แสดงว่าสารคุ่ค่วยนี้ไม่มีผลต่อความเสถียรภาพทางความร้อน ของวัสดุ ดังนั้นปัจจัยที่สำคัญที่จะส่งผลต่ออุณหภูมิที่ใช้ในการสลายตัวของคอมโพสิตก็คือปริมาณ ของออร์แกโนเคลย์ที่ใช้ เมื่อพิจารณาถึงอุณหภูมิที่มีอตราการสลายตัวมากที่สุด (inflection point) พบร่วมมีแนวโน้มเช่นเดียวกันกับอุณหภูมิที่เริ่มสลายตัวและอุณหภูมิลิ่นสุดการสลายตัว กล่าวคือเมื่อมี

การเติมออร์แกโนเคลย์ในพอลิบิวทิลีนซัคชิเนตคอมโพสิตจะทำให้อุณหภูมิที่มีอัตราการสลายตัวมากที่สุดมีค่าลดลง โดยเฉพาะอย่างยิ่งเมื่อมีปริมาณออร์แกโนเคลย์ที่มากขึ้น อย่างไรก็ตามการใช้สารคู่ควบคุมคอมโพสิตนี้ไม่ส่งผลต่ออุณหภูมิดังกล่าว ส่วนผลของปริมาณถ้าที่เหลือหลังการสลายตัวที่อุณหภูมิ 1000 องศาเซลเซียส ซึ่งเป็นช่วงที่ออร์แกโนเคลย์ยังเกิดการสลายตัวไม่หมด จึงยังคงเหลือปริมาณถ้าของออร์แกโนเคลย์อยู่ โดยพบว่าเมื่อมีออร์แกโนเคลย์มากขึ้น ปริมาณถ้าที่เหลือในคอมโพสิตก็จะมีมากขึ้น



รูปที่ 4.24 TGA เทอร์โมแกรมของออร์แกโนเคลย์

4.7.3.2 การวิเคราะห์ด้วยเทคนิคดิฟเฟอเรนเชียลสแกนนิ่งแคลอริมิทรี

การทดสอบสมบัติทางความร้อนด้วยเทคนิคดิฟเฟอเรนเชียลสแกนนิ่งแคลอริมิทรีทวายใต้สภาวะบรรยายกาศของก๊าซในไตรเจนของพอลิบิวทิลีนซัคชิเนตคอมโพสิตเป็นการศึกษาอุณหภูมิเปลี่ยนสภาพแก้ว (glass transition temperature, T_g) อุณหภูมิในการหลอมพลีก (melting temperature, T_m) อุณหภูมิการเกิดพลีก (crystallization temperature, T_c) และปริมาณพลีก (percent of crystallinity, χ_c) โดยปริมาณพลีกของพอลิบิวทิลีนซัคชิเนตสามารถคำนวณได้จากสมการที่ 4.2 และพอลิบิวทิลีนซัคชิเนตคอมโพสิตสามารถคำนวณได้จากสมการที่ 4.3 [24, 53] ซึ่งค่าที่ได้มาจากการให้ความร้อนครั้งที่สอง ผลที่ได้แสดงในตารางที่ 4.6

$$x_c (\%) = \frac{\Delta H_c}{\Delta H_m^0} \cdot 100\% \quad \text{สมการที่ 4.2}$$

$$x_c (\%) = \frac{\Delta H_c}{\Delta H_m^0(1-W_f)} \cdot 100\% \quad \text{สมการที่ 4.3}$$

เมื่อ ΔH_c คือ เอนทาลปีของการเกิดผลึกขณะให้ความเย็น
 ΔH_m° คือ เอนทาลปีของการหลอมผลึกอย่างสมบูรณ์ในพอลิบิวทิลีนซัคชีเนตซึ่งมีค่าเท่ากับ 110.3 จูลต่อกรัม
 W_f คือ อัตราส่วนโดยน้ำหนักของตัวเติมในพอลิเมอร์คอมโพสิต

ตารางที่ 4.6 อุณหภูมิเปลี่ยนสภาพแก้ว อุณหภูมิการหลอมผลึก อุณหภูมิการเกิดผลึก และปริมาณผลึกของพอลิบิวทิลีนซัคชีเนตคอมโพสิตที่สัดส่วนของออร์แกโนเคลย์และสารคู่ควบในปริมาณต่างๆ

ชื่อสูตร	T_g (°C)	T_{m1} (°C)	T_{m2} (°C)	T_c (°C)	χ_c (%)
PBS	-33.5	105.5	110.8	78.4	63.25
PBS/PgG3	-34.4	105.3	110.2	78.7	63.35
PBS/PgG5	-32.4	105.5	110.8	78.1	65.62
PBS/PgG10	-32.1	105.9	110.2	80.0	58.01
PBS/O0.5	-33.5	105.4	110.1	78.7	62.63
PBS/PgG3/O0.5	-33.6	105.8	110.1	79.5	59.66
PBS/PgG5/O0.5	-33.9	106.4	109.6	83.1	54.56
PBS/PgG10/O0.5	-34.0	106.4	110.3	82.3	58.48
PBS/O1	-33.7	105.4	109.8	78.2	63.74
PBS/PgG3/O1	-31.3	106.2	110.2	80.5	58.50
PBS/PgG5/O1	-31.7	106.1	110.1	80.8	58.30
PBS/PgG10/O1	-33.7	106.4	109.7	82.8	56.29
PBS/O2	-33.4	105.4	110.4	77.6	63.11
PBS/PgG3/O2	-33.6	105.9	109.9	80.5	59.06
PBS/PgG5/O2	-33.3	105.9	109.8	80.6	57.50
PBS/PgG10/O2	-33.4	106.5	109.9	83.1	55.74
PBS/O6	-33.4	105.5	110.0	78.6	60.12
PBS/PgG3/O6	-33.5	106.9	109.9	82.8	52.76
PBS/PgG5/O6	-33.6	107.0	109.8	83.0	50.36
PBS/PgG10/O6	-33.2	107.2	109.7	84.5	49.80

จากผลการทดสอบในตารางที่ 4.6 พบว่าอุณหภูมิเปลี่ยนสภาพแก้ว (T_g) ของพอลิบิวทิลีนชักซิเนต คอมโพสิตไม่มีความแตกต่างกันเท่าไรร. เนื่องจากอุณหภูมิเปลี่ยนสภาพแก้วเป็นอุณหภูมิสูงสุดที่ พอลิเมอร์เปลี่ยนสภาพจากลักษณะแข็งเปราะเหมือนแก้วมาเป็นอ่อนคล้ายยาง [54] และปริมาณการ กราฟต์ของพอลิบิวทิลีนชักซิเนตกราฟต์ด้วยไกลซิดิลเมทาคริเลตนั้นมีไม่มากพอ ทำให้เกิดอันตรกิริยา เชื่อมระหว่างเฟสเมทริกซ์และสารเสริมแรงไม่เพียงพอที่จะส่งผลต่อค่าอุณหภูมิเปลี่ยนสภาพแก้วของ คอมโพสิต เมื่อพิจารณาอุณหภูมิการหลอมผลึกจะพบว่าปริมาณออร์แกโนเคลย์ที่ใส่ไม่มีผลต่อการ เปลี่ยนแปลงอุณหภูมิการหลอมผลึกที่มีค่าต่ำกว่า (T_{m1}) และอุณหภูมิการเกิดผลึก (T_c) แต่เมื่อมีการ เติมพอลิบิวทิลีนชักซิเนตกราฟต์ด้วยไกลซิดิลเมทาคริเลตในการใช้เป็นสารคู่ควบจะทำให้ค่าทั้งสองมี การเปลี่ยนแปลงที่เพิ่มขึ้นเล็กน้อย โดยมีแนวโน้มที่จะเพิ่มขึ้นเมื่อปริมาณของสารคู่ควบที่มากขึ้น ผลที่ได้ เนื่องจากสารคู่ควบดังกล่าวจะไปช่วยให้เกิดอันตรกิริยาระหว่างออร์แกโนเคลย์และพอลิบิวทิลีนชักซิเนต ทั้งสองเฟสโดยเกิดผ่านหมุนฟังก์ชันในพอลิบิวทิลีนชักซิเนตกราฟต์ด้วยไกลซิดิลเมทาคริเลต ส่งผลให้ ต้องใช้อุณหภูมิในการหลอมผลึกที่มากขึ้น [55] และจากการที่เกิดอันตรกิริยาระหว่างสองเฟสทำให้ สารคู่ควบชนิดนี้มีส่วนทำให้ออร์แกโนเคลย์ทำหน้าที่เป็นสารก่อผลึก (nucleating agent) ได้ดีเมื่อ เปรียบเทียบกับการไม่ใช้สารคู่ควบ ส่งผลให้อุณหภูมิการเกิดผลึกจึงมีค่าสูงขึ้น [56] เนื่องจากการไม่ ใช้สารคู่ควบจะมีรอยแยกระหว่างสองเฟสอย่างชัดเจนโดยสังเกตได้จากภาพสันฐานวิทยาดังที่ได้ กล่าวมา ทำให้ออร์แกโนเคลย์ไม่สามารถทำหน้าที่เป็นสารก่อผลึกได้อย่างมีประสิทธิภาพเท่าที่ควร อย่างไรก็ตามการใช้ออร์แกโนเคลย์และสารคู่ควบนั้นจะไม่ส่งผลต่อการเปลี่ยนแปลงอุณหภูมิการ หลอมผลึกที่มีค่าสูง (T_{m2}) อาจเป็นเพราะอุณหภูมิช่วงนี้เป็นช่วงที่เกิดการหลอมผลึกที่เกิดขึ้นใหม่ที่มี ความเป็นผลึกค่อนข้างสมบูรณ์อยู่แล้ว ทำให้การเปลี่ยนแปลงในอุณหภูมิช่วงดังกล่าวเป็นไปได้ยาก ส่วนผลของการคำนวนหาปริมาณผลึกของคอมโพสิตพบว่า เมื่อมีการเติมออร์แกโนเคลย์เข้าไปใน ปริมาณที่มากขึ้นจะทำให้ปริมาณผลึกลดลง ซึ่งเห็นได้ชัดที่ออร์แกโนเคลย์ปริมาณ 6 phr เนื่องมาจาก อนุภาคของออร์แกโนเคลย์ที่มากขึ้นจะเกิดการเกาะกลุ่มกันไปชัดขึ้น การเคลื่อนที่ของสายโซ่ พอลิเมอร์ซึ่งเป็นส่วนที่ทำให้เกิดผลึกในวัสดุคอมโพสิต [24] และเมื่อมีการใช้สารคู่ควบพบว่าไม่สามารถ ช่วยเพิ่มปริมาณผลึกได้ แต่กลับทำให้ปริมาณผลึกยิ่งมีค่าลดลง อาจเนื่องมาจากพอลิบิวทิลีนชักซิเนต กราฟต์ด้วยไกลซิดิลเมทาคริเลตบางส่วนมีการแทรกตัวเข้าในพอลิบิวทิลีนชักซิเนตส่วนที่เป็นเมทริกซ์ แล้วไปรบกวนการเคลื่อนที่ของสายโซ่พอลิบิวทิลีนชักซิเนตเมทริกซ์ส่งผลให้ปริมาณผลึกของ คอมพอสิตลดลง

บทที่ 5

สรุปผลการทดลองและข้อเสนอแนะ

5.1 สรุปผลการทดลอง

จากการวิจัยนี้มีวัตถุประสงค์เพื่อทำการปรับปรุงสมบัติของพอลิบิวทิลีนซักซิเนตให้สามารถนำไปใช้งานได้อย่างกว้างขวาง โดยศึกษาผลของชนิดสารคุ่ค่าวบที่ใช้ในการปรับปรุงสมบัติของพอลิบิวทิลีนซักซิเนตคอมโพสิตที่เสริมแรงด้วยออร์แกโนเคลย์ให้มีประสิทธิภาพการใช้งานที่มากขึ้น ทั้งนี้สารคุ่ค่าวบทั้งสองชนิดที่ศึกษา ได้แก่ พอลิบิวทิลีนซักซิเนตกราฟต์ด้วยมาเลอิกแอนไฮไดรด์และพอลิบิวทิลีนซักซิเนตกราฟต์ด้วยไกลซิเดียมทาคริเลต ซึ่งสามารถเตรียมได้จากเทคนิคการอัดรีดแบบรีแอกทีฟด้วยเครื่องอัดรีดสกรูคู่ รวมทั้งศึกษาอัตราส่วนระหว่างสารคุ่ค่าวบและออร์แกโนเคลย์ที่มีผลต่อสมบัติเชิงกลและสมบัติทางความร้อนของพอลิบิวทิลีนซักซิเนตคอมโพสิต โดยพอลิบิวทิลีนซักซิเนตคอมโพสิตเตรียมได้จากเครื่องอัดรีดสกรูคู่ และขึ้นรูปเป็นชิ้นงานด้วยเครื่องฉีดพลาสติก จากผลการทดลองสามารถสรุปได้ดังนี้

1. พอลิบิวทิลีนซักซิเนตกราฟต์ด้วยมาเลอิกแอนไฮไดรด์และพอลิบิวทิลีนซักซิเนตกราฟต์ด้วยไกลซิเดียมทาคริเลตสามารถเตรียมได้จากเทคนิคการอัดรีดแบบรีแอกทีฟเพื่อใช้เป็นสารคุ่ค่าวบ โดยเฉพาะอย่างยิ่งการกราฟต์ไกลซิเดียมทาคริเลตด้วยเทคนิคนี้สามารถเตรียมได้อย่างมีประสิทธิภาพ
2. พอลิบิวทิลีนซักซิเนตกราฟต์ด้วยไกลซิเดียมทาคริเลตสามารถใช้เป็นสารคุ่ค่าวบสำหรับออร์แกโนเคลย์/พอลิบิวทิลีนซักซิเนตคอมโพสิตเพื่อเพิ่มสมบัติเชิงกลได้อย่างมีประสิทธิภาพมากกว่าพอลิบิวทิลีนซักซิเนตกราฟต์ด้วยมาเลอิกแอนไฮไดรด์
3. พอลิบิวทิลีนซักซิเนตกราฟต์ด้วยไกลซิเดียมทาคริเลตที่ใช้เป็นสารคุ่ค่าวบในออร์แกโนเคลย์/พอลิบิวทิลีนซักซิเนตคอมโพสิตสามารถเพิ่มความหนืดให้แก้วัสดุคอมโพสิตนี้ได้
4. อัตราส่วนระหว่างสารคุ่ค่าวบพอลิบิวทิลีนซักซิเนตกราฟต์ด้วยไกลซิเดียมทาคริเลตและออร์แกโนเคลย์ที่เหมาะสมเท่ากับ 5:0.5 phr ส่งผลให้มีสมบัติเชิงกล เช่น ความทนแรงดึง ความยืดสูงสุด ณ จุดขาด ความทนแรงดัดโค้งและความทนแรงกระแทกที่ดีขึ้น ซึ่งสังเกตได้จากลักษณะทางสัมฐานวิทยาของพอลิบิวทิลีนซักซิเนตคอมโพสิตที่อัตราส่วนดังกล่าวจะเห็นได้ว่าอ่อนนุภาคของออร์แกโนเคลย์มีการฝังตัวอยู่ในเฟสของพอลิบิวทิลีนซักซิเนต เมทริกซ์ แสดงให้เห็นว่าเกิดอันตรกิริยาระหว่างสองเฟสได้เป็นผลให้สามารถซ่วยปรับปรุงสมบัติเชิงกลดังกล่าวได้มากขึ้น

5. ออร์แกโนเคลล์สามารถเพิ่มค่ามอดูลัสของยังและค่าความหนาแรงตัดโค้งสำหรับพอลิบิวทิลีนซัคซิเนตคอมพอสิตได้ เนื่องจากอนุภาคของออร์แกโนเคลล์มีลักษณะความแข็งเกร็งมากกว่าพอลิเมอร์เมทริกซ์
6. ปริมาณออร์แกโนเคลล์เป็นปัจจัยที่สำคัญที่จะส่งผลต่ออุณหภูมิที่ใช้ในการสลายตัวของพอลิบิวทิลีนซัคซิเนตคอมพอสิต เนื่องจากความไม่เสถียรทางความร้อนของสารลดแรงตึงผิว (surfactant) ที่ปราศอยู่พื้นผิวของออร์แกโนเคลล์
7. การใช้พอลิบิวทิลีนซัคซิเนตกราฟต์ด้วยไกลซิดิลเมทาคริเลตเป็นสารคุณภาพไม่ส่งผลต่อความเสถียรภาพทางความร้อนของออร์แกโนเคลล์/พอลิบิวทิลีนซัคซิเนตคอมพอสิต
8. เมื่อใช้พอลิบิวทิลีนซัคซิเนตกราฟต์ด้วยไกลซิดิลเมทาคริเลตเป็นสารคุณภาพสำหรับออร์แกโนเคลล์/พอลิบิวทิลีนซัคซิเนตคอมพอสิตจะช่วยเพิ่มอุณหภูมิการหลอม plastick ที่มีค่าต่ำกว่า (T_m) และอุณหภูมิการเกิด plastick (T_g) ได้เล็กน้อย เนื่องจากสารดังกล่าวไปช่วยเพิ่มความเข้ากันได้ระหว่างออร์แกโนเคลล์และพอลิบิวทิลีนซัคซิเนต

5.2 ข้อเสนอแนะ

1. ศึกษาวิธีการตัดแปรพอลิบิวทิลีนซัคซิเนตคอมพอสิตด้วยวิธีการอื่น เช่น การใช้เครื่องผสมแบบบีด
2. ศึกษาผลของการใช้สารคุณภาพชนิดพอลิบิวทิลีนซัคซิเนตกราฟต์ด้วยไกลซิดิลเมทาคริเลต ในพอลิบิวทิลีนซัคซิเนตคอมพอสิตที่ใช้เคลย์ไม่ผ่านการตัดแปรหรือตัดแปรด้วยหมู่ฟังก์ชันทางเคมีอื่นๆ เป็นสารเสริมแรง
3. ศึกษาผลของการใช้สารคุณภาพชนิดพอลิบิวทิลีนซัคซิเนตกราฟต์ด้วยไกลซิดิลเมทาคริเลต ในพอลิบิวทิลีนซัคซิเนตคอมพอสิตที่เสริมแรงด้วยตัวเติมเสริมแรงชนิดต่างๆ
4. ศึกษาสมบัติเชิงกลและสมบัติทางสัณฐานวิทยาของพอลิบิวทิลีนซัคซิเนตคอมพอสิตที่ใช้สารคุณภาพไปเลนเปรียบเทียบ

รายการอ้างอิง

- [1] National Metal and Materials Technology Center. Biodegradable plastics Available from:
http://www2.mtec.or.th/th/special/biodegradable_plastic/bio_de_plas.html [April 14]
- [2] Bordes, P., Pollet, E., and Averous, L. Nano-biocomposites: Biodegradable polyester/nanoclay systems. Progress in Polymer Science 34(2) (2009): 125-155.
- [3] Avérous, L. and Pollet, E. Biodegradable polymers. in Environmental Silicate Nano-Biocomposites, pp. 13-39: Springer, 2012.
- [4] Flieger, M., Kantorova, M., Prell, A., Řezanka, T., and Votruba, J. Biodegradable plastics from renewable sources. Folia microbiologica 48(1) (2003): 27-44.
- [5] PTT Marketing. พลาสติกและความปลดภัย. in *polymers' place*. 2010. 1-20.
- [6] ศศิรดา วีระสุนทร. การเตรียมและสมบัติของพอลิบิวท์ลีนซัคชีเนตเสริมแรงด้วยซิลิกาฟูมดัด ปริญญาบัณฑิต, สาขาวิชาปิโตรเคมีและวิทยาศาสตร์พลิเมอร์ คณะวิทยาศาสตร์ จุฬาลงกรณ์มหาวิทยาลัย, 2556.
- [7] NIA. เทคโนโลยีของประเทศผู้นำด้านพลาสติกย่อยสลายได้ทางชีวภาพ Available from: <http://www.nia.or.th/download/document/chapter3.pdf> [April 14]
- [8] Xu, J. and Guo, B.-H. Microbial succinic acid, its polymer poly (butylene succinate), and applications. in Plastics from Bacteria, pp. 347-388: Springer, 2010.
- [9] Adamopoulou, E. Poly(butylene succinate): A Promising Biopolymer. Senior Project, Industrial Management and Technology School of Chemical Engineering, 2012.
- [10] ศูนย์สารสนเทศวิทยาศาสตร์และเทคโนโลยี. พลาสติกย่อยสลายได้ทางชีวภาพ (Biodegradable plastics). กระทรวงวิทยาศาสตร์และเทคโนโลยี, 2553.
- [11] ณัฐพันธุ์ ศุภากา. เทคโนโลยีสีเขียวที่นำไปตามอง. in INNO Mag. 2012-2013. 27-30.

- [12] Vroman, I. and Tighzert, L. Biodegradable Polymers. *Materials* 2(2) (2009): 307-344.
- [13] ศศิพร ไกรสูงเนิน และ สุขัญญา เกตุทองมงคล. การย่อยสลายทางชีวภาพของพอลิโพรไฟลีน/แป้งมันสำปะหลัง/มอนต์มอริลโลในต้นนาโนคอมโพสิต. ปริญญานิพนธ์, ภาควิชาวัสดุศาสตร์ คณะวิทยาศาสตร์ จุฬาลงกรณ์มหาวิทยาลัย, 2551.
- [14] ฤทธศัย ໄວปัญญา. การเตรียมและสมบัติของพอลิโพรพิลีน/เอทิลีนออกทีนโคพอลิเมอร์/ไอล拉斯โโทไนต์คอมโพสิต. ปริญญานิพนธ์มหาบัณฑิต, สาขาวิชาวิทยาศาสตร์พอลิเมอร์ประยุกต์และเทคโนโลยีสิ่งทอ ภาควิชาวัสดุศาสตร์ คณะวิทยาศาสตร์ จุฬาลงกรณ์มหาวิทยาลัย, 2553.
- [15] อรุณชา สรवารี. สารเติมแต่งพอลิเมอร์. กรุงเทพฯ: โรงพิมพ์แห่งจุฬาลงกรณ์มหาวิทยาลัย, 2546.
- [16] Poppe, L., Paskevich, V., Hathaway, J., and Blackwood, D. A laboratory manual for X-ray powder diffraction. *US Geological Survey Open-File Report* 1(041) (2001): 1-88.
- [17] Olad, A. Polymer/clay nanocomposites. *Advances in diverse industrial applications of nanocomposites* (2011): 113-138.
- [18] Ojijo, V. and Ray, S.S. Nano-biocomposites based on synthetic aliphatic polyesters and nanoclay. *Progress in Materials Science* 62 (2014): 1-57.
- [19] Goldt, I.V., Khokhlov, A.R., and Govorun, E.N. exfoliation Available from: <http://eng.thesaurus.rusnano.com/wiki/article1987> [April 14]
- [20] Sinha Ray, S. and Okamoto, M. Polymer/layered silicate nanocomposites: a review from preparation to processing. *Progress in Polymer Science* 28(11) (2003): 1539-1641.
- [21] Sinharay, S. and Bousmina, M. Biodegradable polymers and their layered silicate nanocomposites: In greening the 21st century materials world. *Progress in Materials Science* 50(8) (2005): 962-1079.
- [22] Alexandre, M. and Dubois, P. Polymer-layered silicate nanocomposites: preparation, properties and uses of a new class of materials. *Materials Science and Engineering: R: Reports* 28(1) (2000): 1-63.
- [23] Wu, C.-S., Hsu, Y.-C., Liao, H.-T., Yen, F.-S., Wang, C.-Y., and Hsu, C.-T. Characterization and biocompatibility of chestnut shell fiber-based

- composites with polyester. *Journal of Applied Polymer Science* 131(17) (2014): 40730 (1-10).
- [24] Phua, Y.J., Chow, W.S., and Ishak, Z.A.M. Reactive processing of maleic anhydride-grafted poly(butylene succinate) and the compatibilizing effect on poly(butylene succinate) nanocomposites. *Express Polymer Letters* 7(4) (2013): 340-354.
- [25] Persenaire, O., et al. Reactive compatibilization of poly(l-lactide)/poly(butylene succinate) blends through polyester maleation: from materials to properties. *Polymer International* 63(9) (2014): 1724-1731.
- [26] Rzayev, Z.M.O. Graft Copolymers of Maleic Anhydride and Its Isostructural Analogues: High Performance Engineering Materials. *International Review of Chemical Engineering* 3(2) (2011): 153-215.
- [27] Wu, C.-S., Liao, H.-T., and Jhang, J.-J. Palm fibre-reinforced hybrid composites of poly(butylene succinate): characterisation and assessment of mechanical and thermal properties. *Polymer Bulletin* 70(12) (2013): 3443-3462.
- [28] Chuai, C., Zhao, N., Li, S., and Sun, B. Study on PLA/PBS Blends. *Advanced Materials Research* 197-198 (2011): 1149-1152.
- [29] ฐานี สิริรุ่งเรือง และ เหมหงส์ อนธรรมพงศ์. การปรับปรุงความเข้ากันได้ระหว่างพอลิไพรพิลินกับคลิกนิโนโดยใช้มาเลอิกแองไฮดรอยด์กราฟต์พอลิไพรพิลิน (MAPP). ปริญญาบัณฑิต, ภาควิชาวัสดุศาสตร์ คณะวิทยาศาสตร์ จุฬาลงกรณ์มหาวิทยาลัย, 2553.
- [30] Hafiz, A.A.A. Synthesis and Characterization of EVA-Cloisite Clay Nanocomposites. The American University in Cairo, 2013.
- [31] ชวลิต ชาญฉลาด. ฟิล์มนาโนคอมพอยสิตพอลิแล็กทิกแอซิด/พอลิเอทิลีนที่เตรียมโดยการเป่าอัดรีดสำหรับการประยุกต์ในบรรจุภัณฑ์อาหาร. ปริญญาบัณฑิต, สาขาวิชาปิโตรเคมีและวิทยาศาสตร์พอลิเมอร์ คณะวิทยาศาสตร์ จุฬาลงกรณ์มหาวิทยาลัย, 2555.
- [32] ดรชนี พันธุ์รากร. เทคโนโลยีกระบวนการผลิตผลิตภัณฑ์พอลิเมอร์. มหาวิทยาลัยเชียงใหม่: ภาควิชาเคมีอุตสาหกรรม คณะวิทยาศาสตร์, 2555.
- [33] บรรเลง ศรนิล. เทคโนโลยีพลาสติก. กรุงเทพมหานคร: สมาคมส่งเสริมเทคโนโลยี, 2546.
- [34] Rutland Plastics Ltd. Plastic Injection Moulding Machine Available from: http://www.rutlandplastics.co.uk/advice/moulding_machine.html [April 30]

- [35] Bhatia, A., Gupta, R.K., Bhattacharya, S.N., and Choi, H.J. Compatibility of Biodegradable Poly (lactic acid) (PLA) and Poly (butylene succinate) (PBS) Blends for Packaging Application. *Korea-Australia Rheology Journal* 19(3) (2007): 125-131.
- [36] Makhatha, M.E., Ray, S.S., Hato, J., Luyt, A.S., and Bousmina, M. Thermal and Thermomechanical Properties of Poly(butylene succinate) Nanocomposites. *Journal of Nanoscience and Nanotechnology* 8 (2007): 1-11.
- [37] Calabia, B., et al. Biodegradable Poly(butylene succinate) Composites Reinforced by Cotton Fiber with Silane Coupling Agent. *Polymers* 5(1) (2013): 128-141.
- [38] Phua, Y.J., Chow, W.S., and Mohd Ishak, Z.A. Poly(butylene succinate)/Organic-montmorillonite Nanocomposites: Effects of the Organoclay Content on Mechanical, Thermal, and Moisture Absorption Properties. *Journal of Thermoplastic Composite Materials* 24(1) (2011): 133-151.
- [39] Mani, R., Bhattacharya, M., and Tang, J. Functionalization of polyesters with maleic anhydride by reactive extrusion. *Journal of Polymer Science Part A: Polymer Chemistry* 37(11) (1999): 1693-1702.
- [40] Aggarwal, P.K., Chauhan, S., Raghu, N., Karmarkar, S., and Shashidhar, G. Mechanical properties of bio-fibers-reinforced high-density polyethylene composites: effect of coupling agents and bio-fillers. *Journal of Reinforced Plastics and Composites* 32(22) (2013): 1722-1732.
- [41] Liu, J., Jiang, H., and Chen, L. Grafting of glycidyl methacrylate onto poly (lactide) and properties of PLA/starch blends compatibilized by the grafted copolymer. *Journal of Polymers and the Environment* 20(3) (2012): 810-816.
- [42] Garin, M., Tighzert, L., Vroman, I., Marinkovic, S., and Estrine, B. The kinetics of poly (butylene succinate) synthesis and the influence of molar mass on its thermal properties. *Journal of Applied Polymer Science* 131(16) (2014).
- [43] Zeng, J.-B., Huang, C.-L., Jiao, L., Lu, X., Wang, Y.-Z., and Wang, X.-L. Synthesis and Properties of Biodegradable Poly (butylene succinate-co-diethylene glycol succinate) Copolymers. *Industrial & Engineering Chemistry Research* 51(38) (2012): 12258-12265.

- [44] Thirmizir, M., Ishak, Z., Taib, R., Rahim, S., and Jani, S.M. Kenaf-bast-fiber-filled biodegradable poly (butylene succinate) composites: Effects of fiber loading, fiber length, and maleated poly (butylene succinate) on the flexural and impact properties. *Journal of Applied Polymer Science* 122(5) (2011): 3055-3063.
- [45] Sharif, J., Mohamad, S.F., Othman, N.A.F., Bakaruddin, N.A., Osman, H.N., and Güven, O. Graft copolymerization of glycidyl methacrylate onto delignified kenaf fibers through pre-irradiation technique. *Radiation Physics and Chemistry* 91 (2013): 125-131.
- [46] Xu, T., Tang, Z., and Zhu, J. Synthesis of polylactide-graft-glycidyl methacrylate graft copolymer and its application as a coupling agent in polylactide/bamboo flour biocomposites. *Journal of Applied Polymer Science* 125(S2) (2012): E622-E627.
- [47] Asgari, M. and Masoomi, M. Thermal and impact study of PP/PET fibre composites compatibilized with Glycidyl Methacrylate and Maleic Anhydride. *Composites Part B: Engineering* 43(3) (2012): 1164-1170.
- [48] Ray, S.S., Bousmina, M., and Okamoto, K. Structure and Properties of Nanocomposites Based on Poly(butylene succinate-co-adipate) and Organically Modified Montmorillonite. *Macromolecular Materials and Engineering* 290(8) (2005): 759-768.
- [49] Okamoto, K., Sinha Ray, S., and Okamoto, M. New poly (butylene succinate)/layered silicate nanocomposites. II. Effect of organically modified layered silicates on structure, properties, melt rheology, and biodegradability. *Journal of Polymer Science Part B: Polymer Physics* 41(24) (2003): 3160-3172.
- [50] Khon Kaen University. *Rheology* (วิทยาศาสตร์การไหล) Available from: <http://pharm.kku.ac.th/thaiv/depart/techno/basicpharm/downloads/Lesson4.pdf> [April 28]
- [51] Thirmizir, M.Z.A., Ishak, Z.A.M., Taib, R.M., and Rahim, S. Effect of Maleated Compatibiliser (PBS-g-MA) Addition on the Flexural Properties and Water Absorption of Poly(butylene succinate)/Kenaf Bast Fibre Composites. *Sains Malaysiana* 42(4) (2013): 435-441.

- [52] Phua, Y.J., Chow, W.S., and Mohd Ishak, Z.A. Organomodification of montmorillonite and its effects on the properties of poly(butylene succinate) nanocomposites. *Polymer Engineering & Science* 53(9) (2013): 1947-1957.
- [53] Battegazzore, D., Bocchini, S., and Frache, A. Crystallization kinetics of poly(lactic acid)-talc composites. *Express Polymer Letters* 5(10) (2011): 849-858.
- [54] คณะกรรมการจัดทำงานนวัตกรรมศัพท์ปีโตรเคมีและพอลิเมอร์. พจนานุกรมศัพท์พอลิเมอร์ฉบับราชบัณฑิตยสถาน. กรุงเทพฯ: บริษัท แปลนปริทัศน์ จำกัด, 2551.
- [55] Xu, W., Liang, G., Wang, W., Tang, S., He, P., and Pan, W.P. Poly (propylene)-poly (propylene)-grafted maleic anhydride-organic montmorillonite (PP-PP-g-MAH-Org-MMT) nanocomposites. II. Nonisothermal crystallization kinetics. *Journal of Applied Polymer Science* 88(14) (2003): 3093-3099.
- [56] Praphulla, P. Studies on Reactive Blends of Poly (hydroxybutyrate-co-valerate) and Poly (butylene succinate) Bioplastics. Master's degree, Applied Science in Engineering, The University of Guelph, 2012.





ภาคผนวก ก
สมบัติด้านแรงดึง

1) ความทนแรงดึงของพอลิบิวท์ลีนซักซิเนตคอมโพสิตที่ขึ้นรูปด้วยเครื่องฉีดพลาสติกของ Topfine Precision Machinery Company Ltd. รุ่น A25

ตาราง ก-1-1 ค่าความทนแรงดึงของ PBS

No.	Tensile strength (MPa)	Young's modulus (MPa)	Elongation at break (%)
1	34.31	652.26	9.7
2	34.12	638.08	9.5
3	34.10	653.38	9.3
4	34.01	705.65	9.0
5	34.02	657.29	9.2
AVG	34.11	661.33	9.3
SD	0.12	25.82	0.3

ตาราง ก-1-2 ค่าความทนแรงดึงของ PBS/PgM5

No.	Tensile strength (MPa)	Young's modulus (MPa)	Elongation at break (%)
1	35.93	672.86	9.5
2	35.90	661.95	9.2
3	36.36	681.56	9.4
4	36.05	666.36	9.4
5	36.29	670.48	9.3
AVG	36.10	670.65	9.3
SD	0.21	7.38	0.1

ตาราง ก-1-3 ค่าความทนแรงดึงของ PBS/PgG5

No.	Tensile strength (MPa)	Young's modulus (MPa)	Elongation at break (%)
1	39.56	658.04	13.09
2	39.90	660.76	13.0
3	40.29	671.66	12.5
4	39.77	667.33	13.6
5	40.21	663.71	13.4
AVG	39.94	664.30	13.1
SD	0.30	5.37	0.4

ตาราง ก-1-4 ค่าความทนแรงดึงของ PBS/O2

No.	Tensile strength (MPa)	Young's modulus (MPa)	Elongation at break (%)
1	34.82	730.58	10.1
2	34.91	722.69	10.2
3	34.88	728.25	10.2
4	34.87	721.77	10.0
5	34.83	717.18	10.4
AVG	34.86	724.10	10.2
SD	0.04	5.35	0.1

ตาราง ก-1-5 ค่าความทนแรงดึงของ PBS/PgM5/O2

No.	Tensile strength (MPa)	Young's modulus (MPa)	Elongation at break (%)
1	36.44	713.96	12.1
2	36.42	702.26	12.9
3	36.40	692.93	13.0
4	36.65	822.79	12.6
5	36.55	694.59	13.0
AVG	36.49	725.31	12.7
SD	0.11	55.13	0.4

ตาราง ก-1-6 ค่าความทนแรงดึงของ PBS/PgG5/O2

No.	Tensile strength (MPa)	Young's modulus (MPa)	Elongation at break (%)
1	37.55	702.32	13.7
2	37.67	694.14	12.8
3	37.47	655.16	12.0
4	37.65	693.86	12.9
5	37.70	780.25	12.4
AVG	37.61	705.14	12.8
SD	0.09	45.81	0.6

ตาราง ก-1-7 ค่าความทนแรงดึงของ PBS/O6

No.	Tensile strength (MPa)	Young's modulus (MPa)	Elongation at break (%)
1	29.85	832.65	8.8
2	29.98	820.05	8.6
3	30.14	811.22	9.2
4	30.20	860.37	8.8
5	30.20	829.12	8.9
AVG	30.07	830.68	8.8
SD	0.15	18.57	0.2

ตาราง ก-1-8 ค่าความทนแรงดึงของ PBS/PgM5/O6

No.	Tensile strength (MPa)	Young's modulus (MPa)	Elongation at break (%)
1	33.30	809.93	11.7
2	33.29	816.58	12.0
3	33.04	823.94	10.2
4	32.98	857.42	10.6
5	33.16	818.24	11.3
AVG	33.15	825.22	11.2
SD	0.14	18.68	0.8

ตาราง ก-1-9 ค่าความทนแรงดึงของ PBS/PgG5/O6

No.	Tensile strength (MPa)	Young's modulus (MPa)	Elongation at break (%)
1	34.23	867.86	10.8
2	34.20	867.95	10.8
3	34.23	879.80	10.6
4	34.23	914.38	9.6
5	34.23	896.57	10.0
AVG	34.22	885.31	10.4
SD	0.02	20.05	0.6

2) ความทนแรงดึงของพอลิบิวทิลีนซักซิเนตคอมโพสิตที่ขึ้นรูปด้วยเครื่องฉีดพลาสติกของ Battenfeld Austria รุ่น BA 250/50 CDC

ตาราง ก-2-1 ค่าความทนแรงดึงของ PBS

No.	Tensile strength (MPa)	Young's modulus (MPa)	Elongation at break (%)
1	39.26	711.14	11.2
2	39.29	727.44	10.9
3	39.02	692.48	11.2
4	39.03	739.02	11.6
5	39.10	711.20	11.2
AVG	39.14	716.26	11.2
SD	0.13	17.75	0.2

ตาราง ก-2-2 ค่าความทนแรงดึงของ PBS/PgG3

No.	Tensile strength (MPa)	Young's modulus (MPa)	Elongation at break (%)
1	38.35	736.71	11.2
2	38.26	699.82	10.3
3	38.16	696.21	11.2
4	38.34	707.07	10.9
5	38.69	707.40	11.5
AVG	38.36	709.44	11.0
SD	0.20	15.98	0.4

ตาราง ก-2-3 ค่าความทนแรงดึงของ PBS/PgG5

No.	Tensile strength (MPa)	Young's modulus (MPa)	Elongation at break (%)
1	39.20	721.27	11.9
2	39.34	697.83	11.9
3	39.17	737.88	11.9
4	39.36	700.41	12.1
5	39.26	722.12	11.8
AVG	39.27	715.90	11.9
SD	0.08	16.71	0.1

ตาราง ก-2-4 ค่าความทนแรงดึงของ PBS/PgG10

No.	Tensile strength (MPa)	Young's modulus (MPa)	Elongation at break (%)
1	39.04	688.63	12.6
2	39.09	683.69	12.9
3	39.12	710.21	12.2
4	39.16	710.51	12.8
5	39.12	713.20	12.4
AVG	39.11	701.25	12.6
SD	0.04	13.93	0.3

ตาราง ก-2-5 ค่าความทนแรงดึงของ PBS/O0.5

No.	Tensile strength (MPa)	Young's modulus (MPa)	Elongation at break (%)
1	38.12	709.15	11.3
2	38.41	725.66	11.1
3	38.71	710.63	11.5
4	38.48	693.62	11.1
5	38.67	697.94	11.6
AVG	38.48	707.40	11.3
SD	0.24	12.51	0.2

ตาราง ก-2-6 ค่าความทนแรงดึงของ PBS/PgG3/O0.5

No.	Tensile strength (MPa)	Young's modulus (MPa)	Elongation at break (%)
1	39.05	709.80	11.7
2	38.96	749.55	11.2
3	39.10	714.05	11.5
4	39.00	713.64	11.5
5	39.04	708.72	11.8
AVG	39.03	719.15	11.5
SD	0.05	17.15	0.2

ตาราง ก-2-7 ค่าความทนแรงดึงของ PBS/PgG5/O0.5

No.	Tensile strength (MPa)	Young's modulus (MPa)	Elongation at break (%)
1	40.17	689.18	13.3
2	40.08	669.46	13.2
3	40.02	659.48	13.5
4	40.12	648.40	12.9
5	40.01	664.70	13.2
AVG	40.08	666.24	13.2
SD	0.07	15.02	0.2

ตาราง ก-2-8 ค่าความทนแรงดึงของ PBS/PgG10/O0.5

No.	Tensile strength (MPa)	Young's modulus (MPa)	Elongation at break (%)
1	37.76	706.82	11.6
2	37.99	697.51	11.7
3	37.90	708.31	12.0
4	38.10	704.86	11.8
5	37.81	739.82	11.8
AVG	37.91	711.46	11.8
SD	0.14	16.39	0.1

ตาราง ก-2-9 ค่าความทนแรงดึงของ PBS/O1

No.	Tensile strength (MPa)	Young's modulus (MPa)	Elongation at break (%)
1	38.12	699.29	12.5
2	37.96	715.27	12.4
3	38.09	708.86	12.6
4	37.96	717.03	12.5
5	37.99	720.92	12.5
AVG	38.02	712.27	12.5
SD	0.08	8.46	0.1

ตาราง ก-2-10 ค่าความหนาแนงดึงของ PBS/PgG3/O1

No.	Tensile strength (MPa)	Young's modulus (MPa)	Elongation at break (%)
1	39.01	719.26	11.4
2	38.65	632.49	12.2
3	38.44	692.91	11.9
4	38.99	727.77	11.4
5	38.61	656.85	12.1
AVG	38.74	685.86	11.8
SD	0.25	40.66	0.4

ตาราง ก-2-11 ค่าความหนาแนงดึงของ PBS/PgG5/O1

No.	Tensile strength (MPa)	Young's modulus (MPa)	Elongation at break (%)
1	39.48	706.55	11.3
2	39.46	648.57	12.1
3	39.27	667.35	11.9
4	39.18	645.91	12.1
5	38.96	647.07	11.4
AVG	39.27	663.09	11.8
SD	0.21	25.83	0.4

ตาราง ก-2-12 ค่าความหนาแรงดึงของ PBS/PgG10/O1

No.	Tensile strength (MPa)	Young's modulus (MPa)	Elongation at break (%)
1	37.57	731.92	11.6
2	37.54	704.90	11.5
3	37.68	720.81	11.6
4	37.58	721.49	11.5
5	37.60	715.93	11.4
AVG	37.59	719.01	11.5
SD	0.05	9.81	0.1

ตาราง ก-2-13 ค่าความหนาแรงดึงของ PBS/O2

No.	Tensile strength (MPa)	Young's modulus (MPa)	Elongation at break (%)
1	36.83	805.79	10.2
2	36.81	796.82	10.9
3	36.70	791.36	10.6
4	36.85	804.42	10.6
5	36.75	741.79	10.9
AVG	36.79	788.04	10.6
SD	0.06	26.51	0.3

ตาราง ก-2-14 ค่าความหนาแนงดึงของ PBS/PgG3/O2

No.	Tensile strength (MPa)	Young's modulus (MPa)	Elongation at break (%)
1	38.02	749.20	11.3
2	38.23	746.51	10.8
3	37.87	758.16	11.1
4	37.65	733.16	10.6
5	37.70	760.22	11.5
AVG	37.89	749.45	11.1
SD	0.24	10.79	0.4

ตาราง ก-2-15 ค่าความหนาแนงดึงของ PBS/PgG5/O2

No.	Tensile strength (MPa)	Young's modulus (MPa)	Elongation at break (%)
1	37.78	724.17	11.8
2	37.64	749.50	12.1
3	37.66	732.68	11.6
4	38.02	731.79	12.0
5	38.12	748.93	11.8
AVG	37.84	737.41	11.9
SD	0.22	11.27	0.2

ตาราง ก-2-16 ค่าความหนาแรงดึงของ PBS/PgG10/O2

No.	Tensile strength (MPa)	Young's modulus (MPa)	Elongation at break (%)
1	37.19	718.19	11.0
2	37.22	711.06	10.9
3	37.27	735.81	11.1
4	37.23	702.24	11.1
5	37.21	711.20	10.9
AVG	37.22	715.70	11.0
SD	0.03	12.59	0.1

ตาราง ก-2-17 ค่าความหนาแรงดึงของ PBS/O6

No.	Tensile strength (MPa)	Young's modulus (MPa)	Elongation at break (%)
1	32.03	974.39	9.1
2	31.93	987.53	9.3
3	32.02	957.41	9.0
4	31.72	967.57	9.1
5	31.89	897.90	9.2
AVG	31.92	956.96	9.1
SD	0.13	34.78	0.1

ตาราง ก-2-18 ค่าความหนาแนงดึงของ PBS/PgG3/O6

No.	Tensile strength (MPa)	Young's modulus (MPa)	Elongation at break (%)
1	32.74	879.68	9.2
2	32.65	949.49	9.0
3	32.51	900.81	9.4
4	32.52	917.51	9.5
5	32.66	903.52	9.8
AVG	32.62	910.20	9.4
SD	0.10	25.79	0.3

ตาราง ก-2-19 ค่าความหนาแนงดึงของ PBS/PgG5/O6

No.	Tensile strength (MPa)	Young's modulus (MPa)	Elongation at break (%)
1	33.31	879.38	9.7
2	33.24	901.13	10.1
3	33.42	928.86	9.9
4	33.48	923.80	9.2
5	33.42	929.16	9.3
AVG	33.37	912.47	9.6
SD	0.10	21.79	0.4

ตาราง ก-2-20 ค่าความหนาแนงดึงของ PBS/PgG10/O6

No.	Tensile strength (MPa)	Young's modulus (MPa)	Elongation at break (%)
1	33.09	907.52	8.4
2	33.28	989.16	9.0
3	33.13	996.83	8.9
4	33.20	893.33	8.8
5	33.21	928.56	8.5
AVG	33.18	943.08	8.7
SD	0.07	47.34	0.3



ภาคผนวก ข
ความหนาแรงดัดโค้ง

1) ความหนาแรงดัดโค้งของพอลิบิวทิลีนซักซิเนตคอมโพสิตที่ขึ้นรูปด้วยเครื่องฉีดพลาสติกของ Topfine Precision Machinery Company Ltd. รุ่น A25

ตาราง ข-1-1 ค่าความหนาแรงดัดโค้งของพอลิบิวทิลีนซักซิเนตคอมโพสิตที่ใช้ PBS-g-MA เป็นสารคู่คุวง

No.	Flexural strength (N/mm ²)					
	PBS	PBS/PgM5	PBS/O2	PBS/PgM5/O2	PBS/O6	PBS/PgM5/O6
1	18.11	17.90	17.46	18.87	16.88	18.72
2	18.06	17.82	17.46	18.92	16.82	18.65
3	18.03	18.02	17.39	18.99	16.94	18.67
4	17.94	17.90	17.40	18.78	16.91	18.66
5	18.00	17.97	17.49	18.68	16.91	18.66
AVG	18.03	17.92	17.44	18.85	16.89	18.67
SD	0.06	0.08	0.04	0.12	0.05	0.03

ตาราง ข-1-2 ค่าความหนาแรงดัดโค้งของพอลิบิวทิลีนซักซิเนตคอมโพสิตที่ใช้ PBS-g-GMA เป็นสารคู่คุวง

No.	Flexural strength (N/mm ²)					
	PBS	PBS/PgG5	PBS/O2	PBS/PgG5/O2	PBS/O6	PBS/PgG5/O6
1	18.11	18.74	17.46	18.99	16.88	19.12
2	18.06	18.82	17.46	18.57	16.82	19.16
3	18.03	18.34	17.39	18.68	16.94	19.04
4	17.94	18.38	17.40	19.05	16.91	19.13
5	18.00	18.61	17.49	18.98	16.91	19.24
AVG	18.03	18.58	17.44	18.85	16.89	19.14
SD	0.06	0.21	0.04	0.21	0.05	0.07

2) ความทนแรงดัดโค้งของพอลิบิวทิลีนซัคชิเนตคอมโพสิตที่ขึ้นรูปด้วยเครื่องฉีดพลาสติกของ Battenfeld Austria รุ่น BA 250/50 CDC

ตาราง ข-2-1 ค่าความทนแรงดัดโค้งของพอลิบิวทิลีนซัคชิเนตที่ใช้ PBS-g-GMA เป็นสารคุ่มที่สัดส่วนต่างๆ

No.	Flexural strength (N/mm ²)			
	PBS	PBS/PgG3	PBS/PgG5	PBS/PgG10
1	20.05	19.98	20.97	19.60
2	20.09	20.11	20.83	19.60
3	20.09	20.11	20.81	19.74
4	20.14	20.11	20.97	19.61
5	20.11	19.98	20.78	19.60
AVG	20.10	20.06	20.87	19.63
SD	0.03	0.07	0.09	0.06

ตาราง ข-2-2 ค่าความทนแรงดัดโค้งของพอลิบิวทิลีนซัคชิเนตคอมโพสิตโดยมีออร์แกโนเคลย์ปริมาณ 0.5 phr และใช้ PBS-g-GMA เป็นสารคุ่มที่สัดส่วนต่างๆ

No.	Flexural strength (N/mm ²)				
	PBS	PBS/O0.5	PBS/PgG3/O0.5	PBS/PgG5/O0.5	PBS/PgG10/O0.5
1	20.05	19.97	20.06	20.58	20.19
2	20.09	20.21	20.02	20.60	20.06
3	20.09	19.96	20.04	20.62	20.15
4	20.14	20.09	20.04	20.59	19.95
5	20.11	20.17	20.04	20.59	20.03
AVG	20.10	20.08	20.04	20.60	20.08
SD	0.03	0.11	0.01	0.02	0.10

ตาราง ข-2-3 ค่าความทนแรงตัดโค้งของพอลิบิวทิลีนซักซิเนตคอมโพสิตโดยมีออร์แกโนเคลย์ปริมาณ 1 phr และใช้ PBS-g-GMA เป็นสารกู้คืนที่สัดส่วนต่างๆ

No.	Flexural strength (N/mm ²)				
	PBS	PBS/O1	PBS/PgG3/O1	PBS/PgG5/O1	PBS/PgG10/O1
1	20.05	20.43	20.39	20.55	19.94
2	20.09	20.20	20.39	20.68	20.04
3	20.09	20.18	20.27	20.66	19.85
4	20.14	20.35	20.53	20.52	20.14
5	20.11	20.36	20.29	20.76	19.94
AVG	20.10	20.30	20.37	20.63	19.98
SD	0.03	0.11	0.10	0.10	0.11

ตาราง ข-2-4 ค่าความทนแรงตัดโค้งของพอลิบิวทิลีนซักซิเนตคอมโพสิตโดยมีออร์แกโนเคลย์ปริมาณ 2 phr และใช้ PBS-g-GMA เป็นสารกู้คืนที่สัดส่วนต่างๆ

No.	Flexural strength (N/mm ²)				
	PBS	PBS/O2	PBS/PgG3/O2	PBS/PgG5/O2	PBS/PgG10/O2
1	20.05	20.49	20.55	20.78	20.46
2	20.09	20.50	20.53	20.75	20.45
3	20.09	20.54	20.55	20.75	20.33
4	20.14	20.36	20.54	20.67	20.42
5	20.11	20.32	20.51	20.66	20.39
AVG	20.10	20.44	20.54	20.72	20.41
SD	0.03	0.10	0.02	0.05	0.05

ตาราง ข-2-5 ค่าความหนาแรงตัดโค้งของพอลิบิวทิลีนซักซิเนตคอมพอลิտโดยมี ออร์แกโนเคลย์ปرمาน 6 phr และใช้ PBS-g-GMA เป็นสารกู้คืนที่สัดส่วนต่างๆ

No.	Flexural strength (N/mm ²)				
	PBS	PBS/O6	PBS/PgG3/O6	PBS/PgG5/O6	PBS/PgG10/O6
1	20.05	20.90	21.20	21.84	21.18
2	20.09	20.87	21.22	21.82	21.25
3	20.09	20.89	21.24	21.87	21.11
4	20.14	20.97	21.25	21.82	21.16
5	20.11	21.04	21.22	21.80	21.10
AVG	20.10	20.93	21.23	21.83	21.16
SD	0.03	0.07	0.02	0.03	0.06



ภาคผนวก ค

ความทนแรงกระแทก

1) ความทนแรงกระแทกของพอลิบิวทิลีนซักซิเนตคอมโพสิตที่ขึ้นรูปด้วยเครื่องฉีดพลาสติกของ Topfine Precision Machinery Company Ltd. รุ่น A25

ตาราง ค-1-1 ค่าความทนแรงกระแทกของพอลิบิวทิลีนซักซิเนตคอมโพสิตที่ใช้ PBS-g-MA เป็นสารคู่คุณภาพ

No.	Impact strength (J/m^2)					
	PBS	PBS/PgM5	PBS/O2	PBS/PgM5/O2	PBS/O6	PBS/PgM5/O6
1	4562.50	3524.42	2322.58	2370.49	1168.28	2177.47
2	4534.65	3602.64	2362.74	2390.67	1171.92	2391.44
3	4518.03	3532.46	2330.09	2396.03	1198.67	2384.86
4	4544.55	3479.09	2347.40	2378.28	1186.27	2400.66
5	4574.25	3601.32	2326.92	2392.73	1186.88	2338.61
AVG	4546.80	3547.99	2337.95	2385.64	1182.40	2338.61
SD	22.25	53.33	16.76	10.81	12.34	93.20

ตาราง ค-1-2 ค่าความทนแรงกระแทกของพอลิบิวทิลีนซักซิเนตคอมโพสิตที่ใช้ PBS-g-GMA เป็นสารคู่คุณภาพ

No.	Impact strength (J/m^2)					
	PBS	PBS/PgG5	PBS/O2	PBS/PgG5/O2	PBS/O6	PBS/PgG5/O6
1	4562.50	4126.62	2322.58	2653.59	1168.28	1807.30
2	4534.65	4169.38	2362.74	2771.33	1171.92	1810.00
3	4518.03	3936.66	2330.09	2662.29	1198.67	1794.70
4	4544.55	4136.00	2347.40	2641.69	1186.27	1806.66
5	4574.25	4123.37	2326.92	2651.46	1186.88	1803.98
AVG	4546.80	4098.41	2337.95	2676.07	1182.40	1804.53
SD	22.25	92.24	16.76	53.75	12.34	5.90

2) ความทนแรงกระแทกของพอลิบิวทิลีนซัคชินेटคอมโพสิตที่ขึ้นรูปด้วยเครื่องฉีดพลาสติกของ Battenfeld Austria รุ่น BA 250/50 CDC

ตาราง ค-2-1 ค่าความทนแรงกระแทกของพอลิบิวทิลีนซัคชินेटที่ใช้ PBS-g-GMA เป็นสารคู่ควบคุมที่สัดส่วนต่างๆ

No.	Impact strength (J/m^2)			
	PBS	PBS/PgG3	PBS/PgG5	PBS/PgG10
1	1981.30	1984.47	1990.65	1972.13
2	1990.74	1963.30	1963.07	1972.22
3	1990.65	1981.25	1962.69	1968.75
4	2006.21	1978.32	1978.19	1975.23
5	1978.32	1966.04	1959.87	1987.53
AVG	1989.44	1974.68	1970.89	1975.17
SD	10.89	9.44	13.17	7.28

ตาราง ค-2-2 ค่าความทนแรงกระแทกของพอลิบิวทิลีนซัคชินेटคอมโพสิตโดยมีออร์แกโนเคลียบปริมาณ 0.5 phr และใช้ PBS-g-GMA เป็นสารคู่ควบคุมที่สัดส่วนต่างๆ

No.	Impact strength (J/m^2)				
	PBS	PBS/O0.5	PBS/PgG3/O0.5	PBS/PgG5/O0.5	PBS/PgG10/O0.5
1	1981.30	1972.04	1962.96	2276.92	1978.39
2	1990.74	1990.71	1975.23	2256.09	1971.96
3	1990.65	1996.51	1986.41	2238.53	1972.22
4	2006.21	1993.78	1950.92	2248.46	1969.13
5	1978.32	2012.57	1981.30	2227.96	1975.07
AVG	1989.44	1993.12	1971.36	2249.59	1973.35
SD	10.89	14.49	14.39	18.58	3.51

ตาราง ค-2-3 ค่าความทนแรงกระแทกของพอลิบิวทิลีนซักรีโนตคอมโพสิตโดยมี ออร์แกโนเคลย์ปริมาณ 1 phr และใช้ PBS-g-GMA เป็นสารคู่ควบคุมที่สัดส่วนต่างๆ

No.	Impact strength (J/m^2)				
	PBS	PBS/O1	PBS/PgG3/O1	PBS/PgG5/O1	PBS/PgG10/O1
1	1981.30	1996.85	1960.36	2229.35	1960.24
2	1990.74	1950.68	1957.05	2273.29	1990.71
3	1990.65	1989.13	1955.41	2255.38	1987.76
4	2006.21	1973.46	1950.92	2236.63	1991.84
5	1978.32	1957.05	1978.46	2220.85	1994.25
AVG	1989.44	1973.43	1960.44	2243.10	1984.96
SD	10.89	19.88	10.63	21.14	14.01

ตาราง ค-2-4 ค่าความทนแรงกระแทกของพอลิบิวทิลีนซักรีโนตคอมโพสิตโดยมี ออร์แกโนเคลย์ปริมาณ 2 phr และใช้ PBS-g-GMA เป็นสารคู่ควบคุมที่สัดส่วนต่างๆ

No.	Impact strength (J/m^2)				
	PBS	PBS/O2	PBS/PgG3/O2	PBS/PgG5/O2	PBS/PgG10/O2
1	1981.30	1966.36	1936.17	2235.29	1996.91
2	1990.74	1936.36	1963.30	2190.90	1972.39
3	1990.65	1945.12	1939.02	2207.31	1975.38
4	2006.21	1944.78	1957.05	2223.92	1966.15
5	1978.32	1963.30	1953.98	2187.28	1980.26
AVG	1989.44	1951.18	1949.90	2208.94	1978.22
SD	10.89	12.99	11.77	20.71	11.63

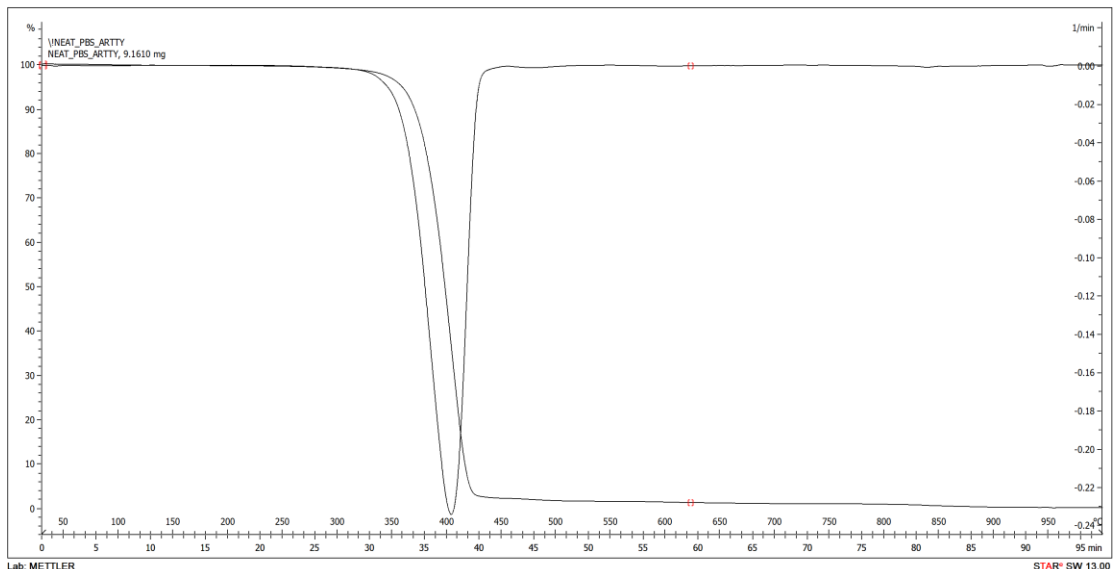
ตาราง ค-2-5 ค่าความหนาแรงกระแทกของพอลิบิวทิลีนซักซิเนตคอมพอยต์โดยมี ออร์แกโนเคลย์ปرمีแวน 6 phr และใช้ PBS- γ -GMA เป็นสารคู่ควบคุมสัดส่วนต่างๆ

No.	Impact strength (J/m^2)				
	PBS	PBS/O6	PBS/PgG3/O6	PBS/PgG5/O6	PBS/PgG10/O6
1	1981.30	545.45	560.00	560.74	558.28
2	1990.74	551.20	558.64	557.27	556.57
3	1990.65	549.54	555.54	555.55	551.52
4	2006.21	551.51	560.00	556.92	553.19
5	1978.32	548.19	558.94	560.37	551.51
AVG	1989.44	549.18	558.62	558.17	554.21
SD	10.89	2.48	1.83	2.27	3.07



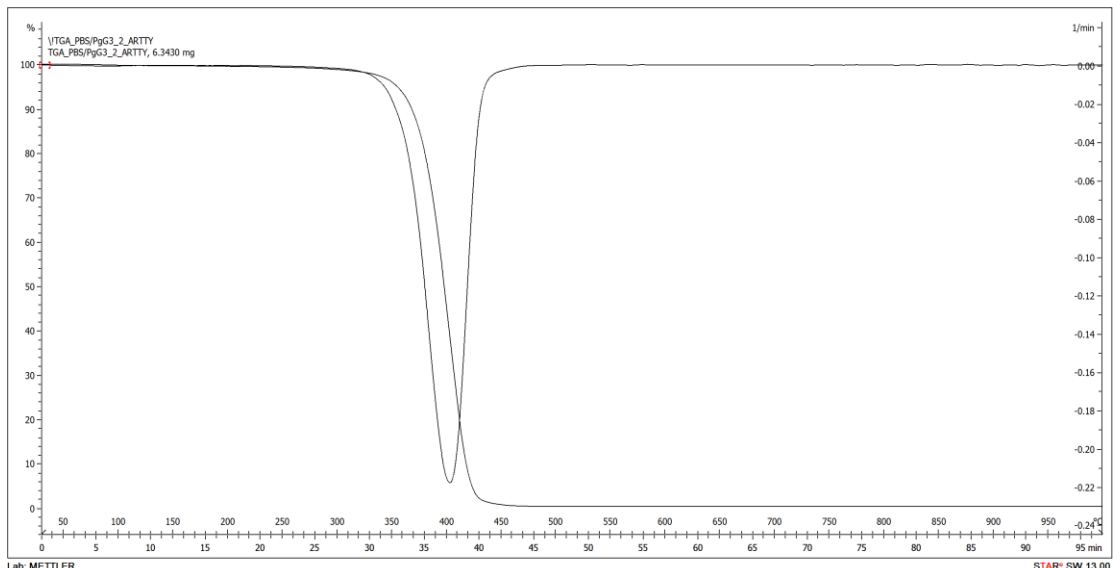
ภาคผนวก ง
TGA Thermogram ของพอลิบิวทิลีนซักซิเนตคอมโพสิต

1. พอลิบิวทิลีนซักซิเนต



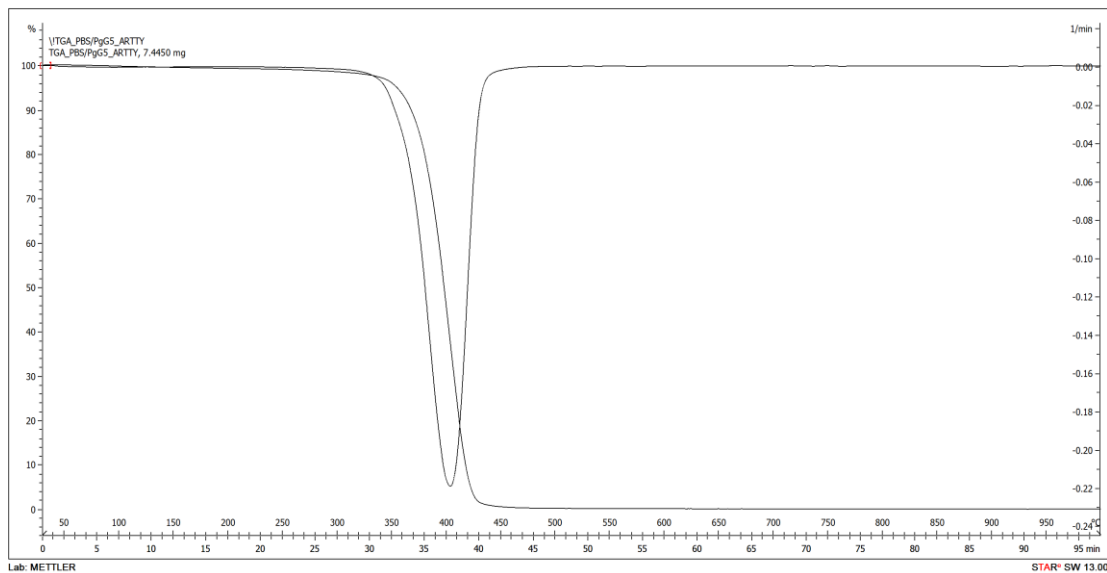
รูปที่ ง-1 TGA เทอร์โมแกรมของ PBS

2. พอลิเมอร์ผสมระหว่างพอลิบิวทิลีนซักซิเนตและพอลิบิวทิลีนซักซิเนตกราฟต์ด้วยไกลซิเดียมทาคาริเลต
ในอัตราส่วน 100:3 phr



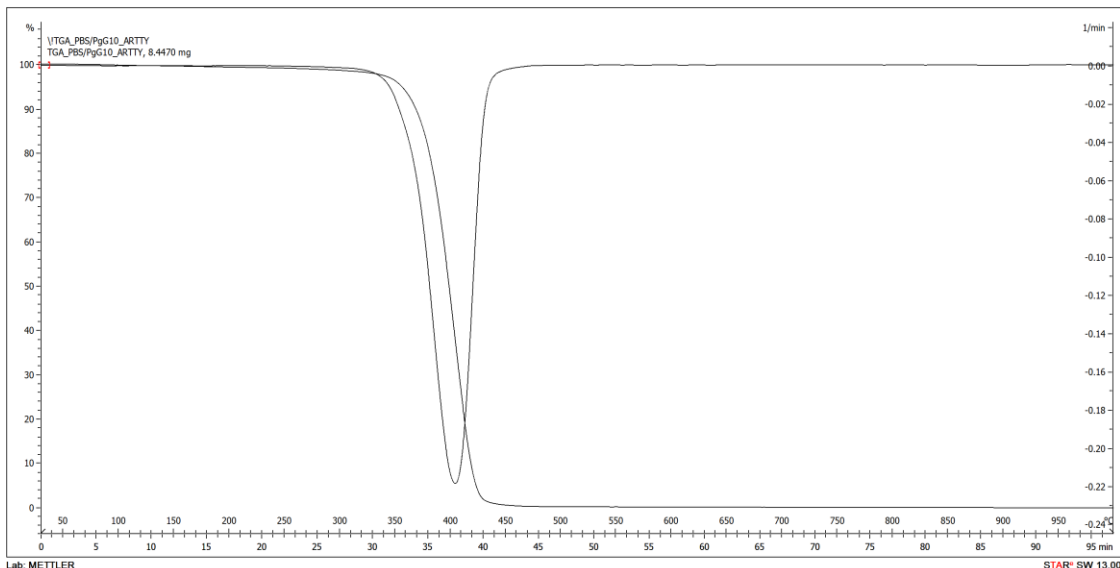
รูปที่ ง-2 TGA เทอร์โมแกรมของ PBS/PgG3

3. พอลิเมอร์สมรรถห่วงพอลิบิวทิลีนซัคชิเนตและพอลิบิวทิลีนซัคชิเนตกราฟต์ด้วยไกลซิดิลเมทาคริเลต ในอัตราส่วน 100:5 phr



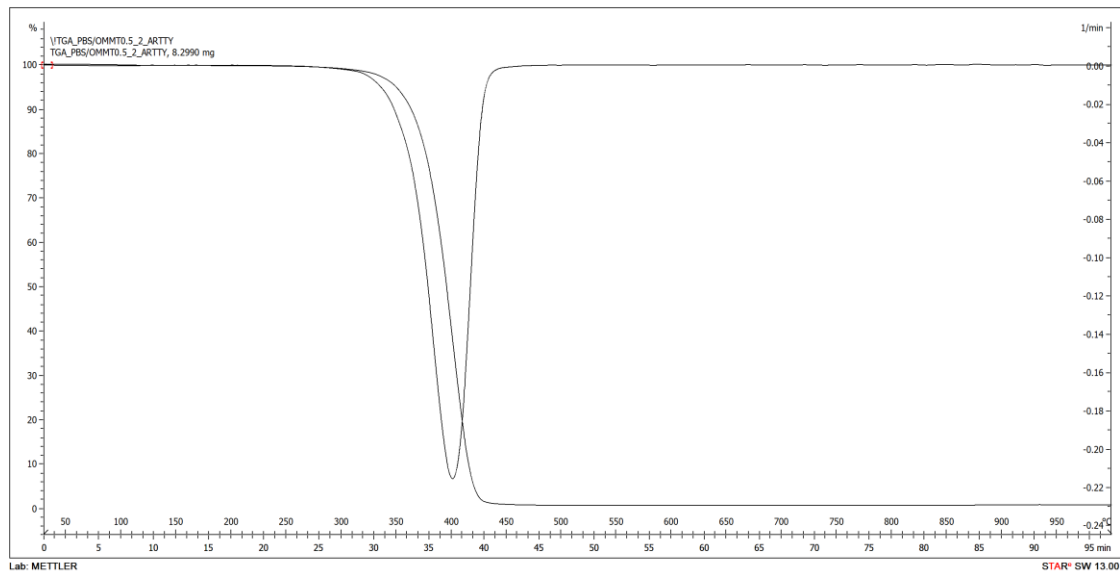
รูปที่ ๔-3 TGA เทอร์โมแกรมของ PBS/PgG5

4. พอลิเมอร์สมรรถห่วงพอลิบิวทิลีนซัคชิเนตและพอลิบิวทิลีนซัคชิเนตกราฟต์ด้วยไกลซิดิลเมทาคริเลต ในอัตราส่วน 100:10 phr



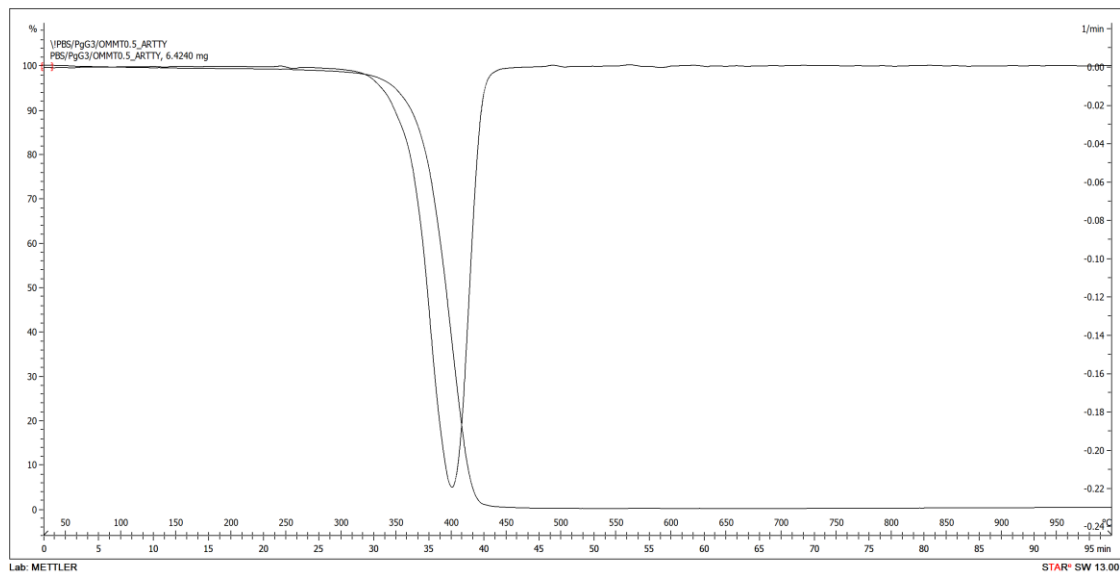
รูปที่ ๔-4 TGA เทอร์โมแกรมของ PBS/PgG10

5. พอลิเมอร์คอมโพสิตของพอลิบิวทิลีนซัคชิเนตที่เสริมแรงด้วยออร์แกโนเคลย์ในอัตราส่วน 100:0.5 phr



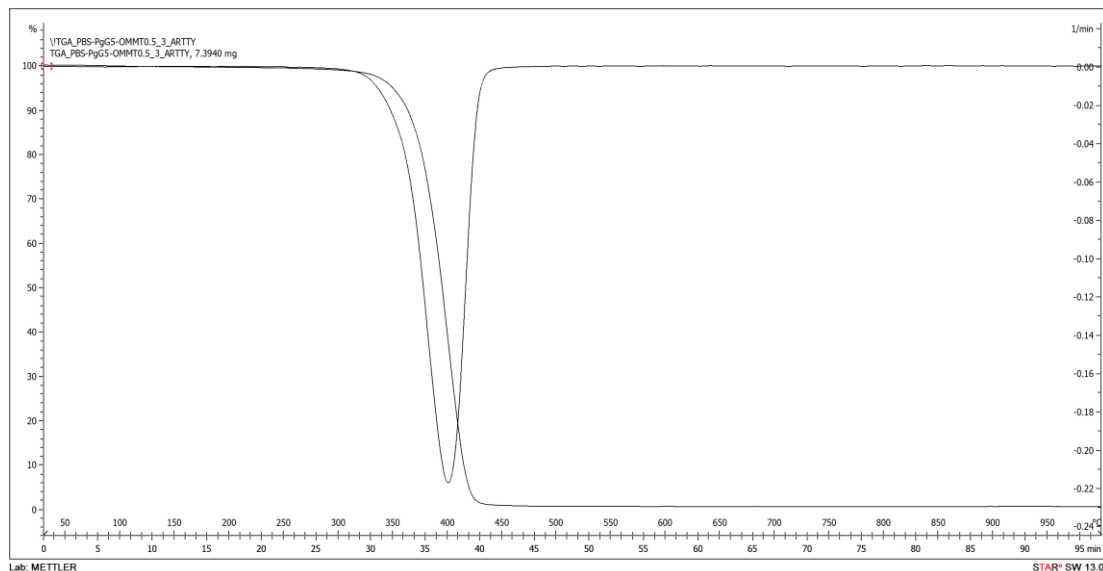
รูปที่ ๔-5 TGA เทอร์โมแกรมของ PBS/O0.5

6. พอลิเมอร์คอมพอยต์ของพอลิบิวทิลีนซัคชิเนตมีพอลิบิวทิลีนซัคชิเนตกราฟต์ด้วยไกลซิดิลเมทาคริเลต เป็นสารคุกคามที่เสริมแรงด้วยออร์แกโนเคลย์ในอัตราส่วน 100:3:0.5 phr



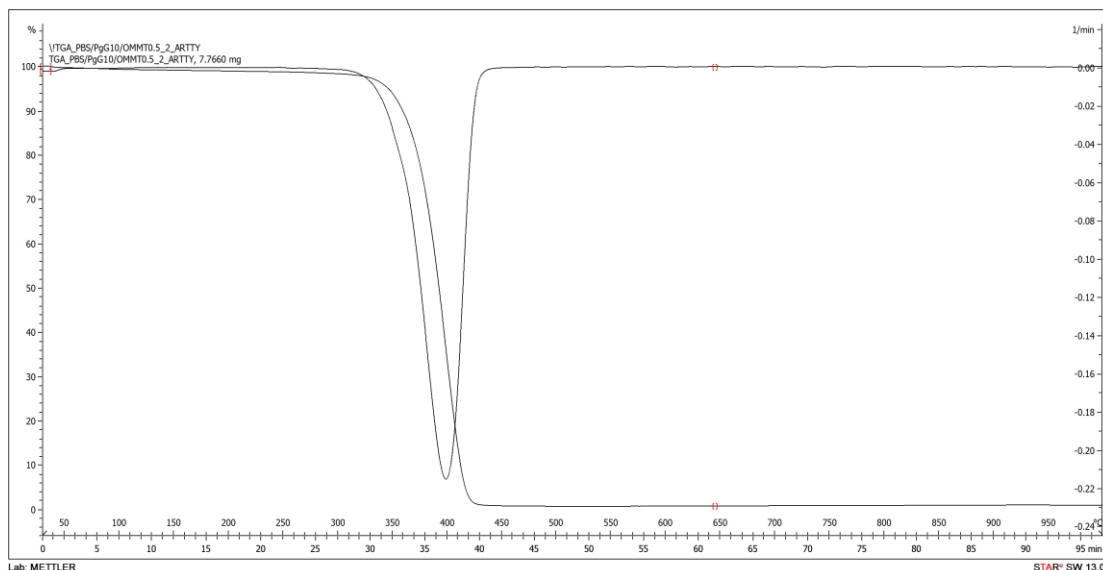
รูปที่ ๔-6 TGA เทอร์โมแกรมของ PBS/PgG3/O0.5

7. พอลิเมอร์คอมโพสิตของพอลิบิวทิลีนซัคชิเนตมีพอลิบิวทิลีนซัคชิเนตกราฟต์ด้วยไกลซิดิลเมทาคริเลต เป็นสารคุ่มควบคุมที่เสริมแรงด้วยออร์แกโนเคลย์ในอัตราส่วน 100:5:0.5 phr



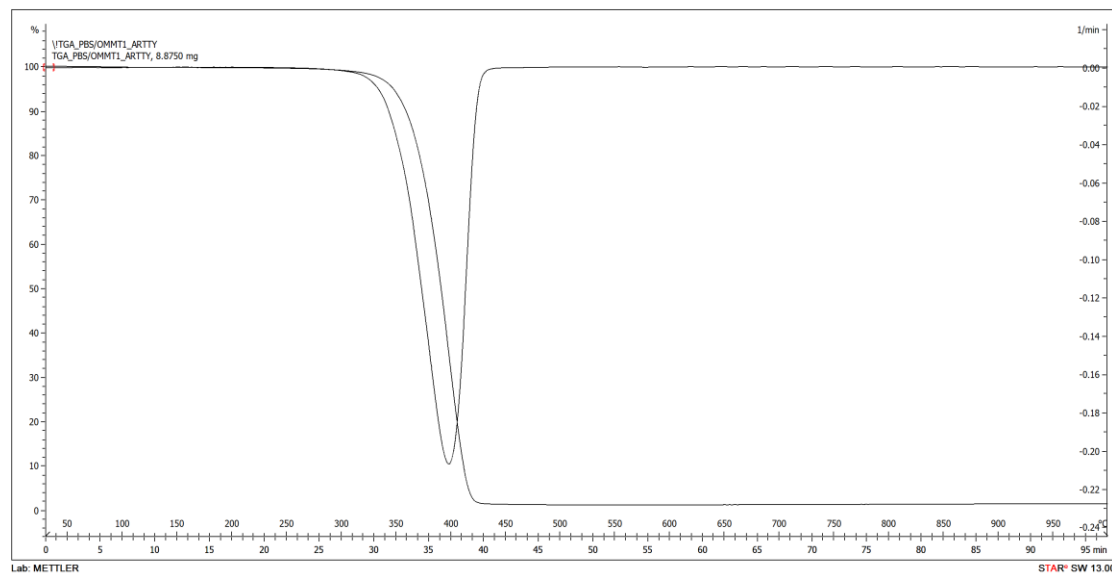
รูปที่ ง-7 TGA เทอร์โมแกรมของ PBS/PgG5/O0.5

8. พอลิเมอร์คอมพอยสิตของพอลิบิวทิลีนซัคชิเนตมีพอลิบิวทิลีนซัคชิเนตกราฟต์ด้วยไกลซิดิลเมทาคริเลต เป็นสารคุ่มควบคุมที่เสริมแรงด้วยออร์แกโนเคลย์ในอัตราส่วน 100:10:0.5 phr



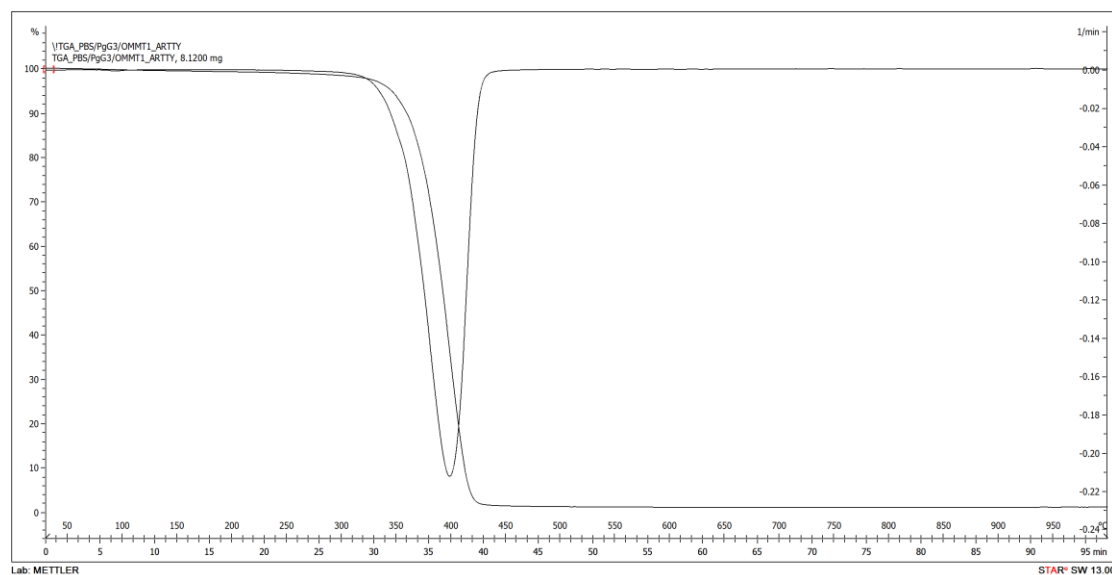
รูปที่ ง-8 TGA เทอร์โมแกรมของ PBS/PgG10/O0.5

9. พอลิเมอร์คอมโพสิตของพอลิบิวทิลีนซัคชิเนตที่เสริมแรงด้วยออร์แกโนเคลย์ในอัตราส่วน 100:1 phr



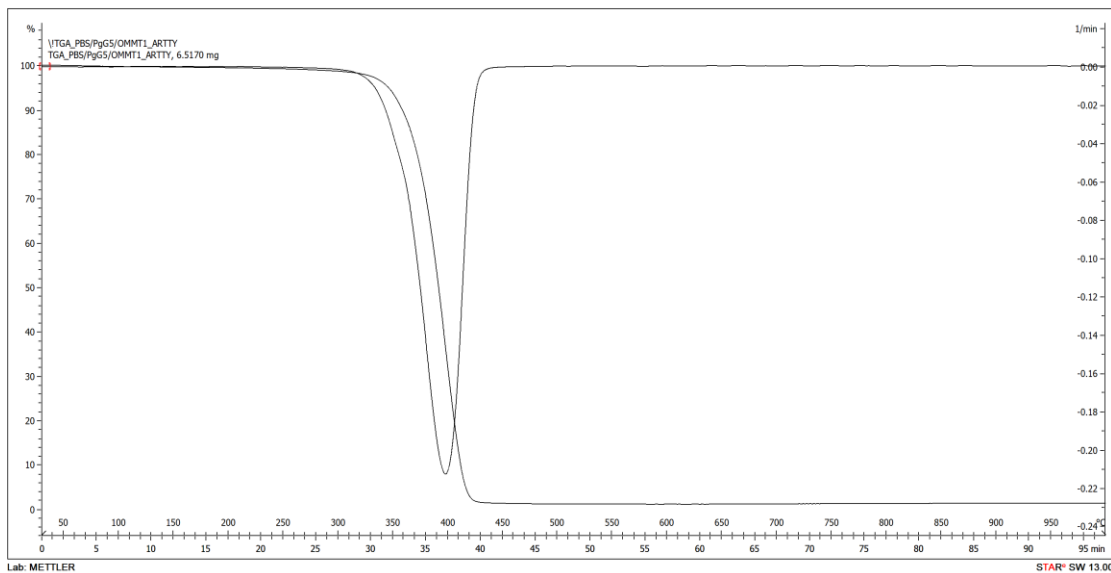
รูปที่ ๙-9 TGA เทอร์โมแกรมของ PBS/O1

10. พอลิเมอร์คอมโพสิตของพอลิบิวทิลีนซัคชิเนตมีพอลิบิวทิลีนซัคชิเนตกราฟต์ด้วยไกลซิดิลเมทาคริเลต เป็นสารคุกคุวบที่เสริมแรงด้วยออร์แกโนเคลย์ในอัตราส่วน 100:3:1 phr



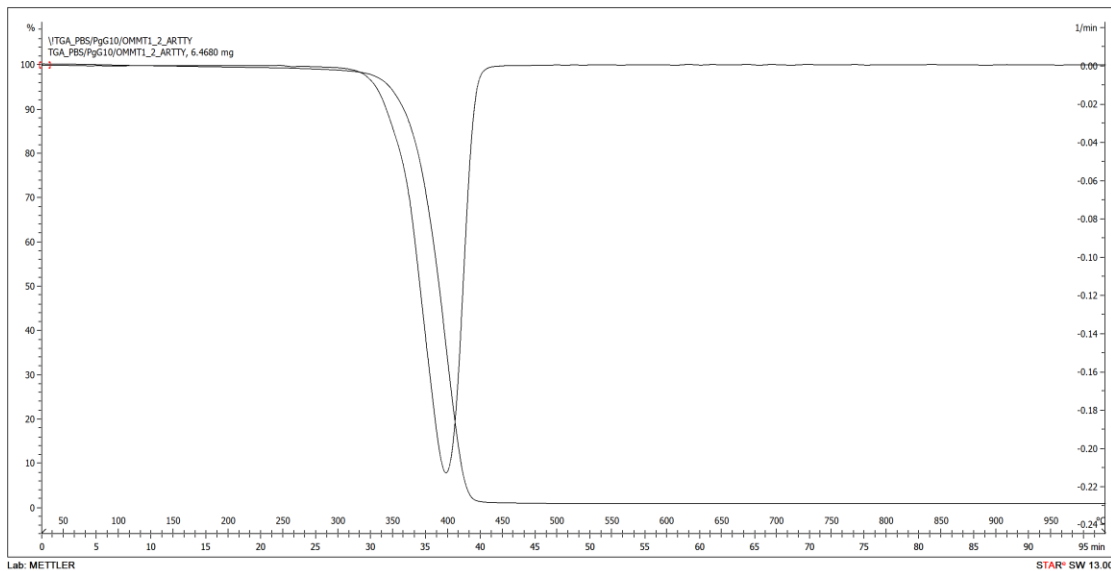
รูปที่ ๙-10 TGA เทอร์โมแกรมของ PBS/PgG3/O1

11. พอลิเมอร์คอมโพสิตของพอลิบิวทิลีนซัคชิเนตมีพอลิบิวทิลีนซัคชิเนตกราฟต์ด้วยไกลซิดิลเมทาคริเลต เป็นสารคุ่มควบคุมที่เสริมแรงด้วยออร์แกโนเคลย์ในอัตราส่วน 100:5:1 phr



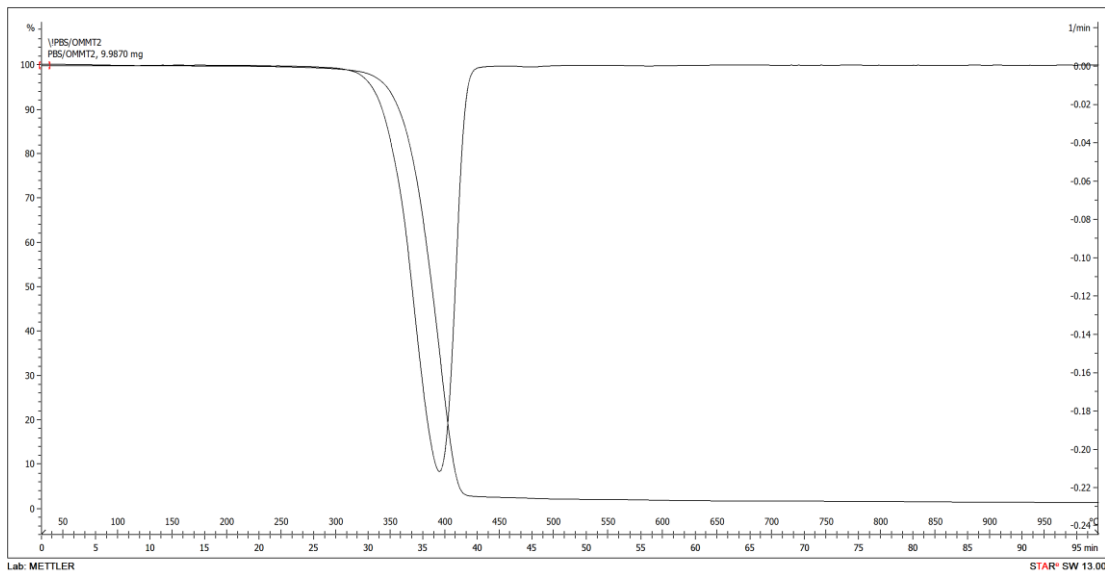
รูปที่ ง-11 TGA เทอร์โมแกรมของ PBS/PgG5/O1

12. พอลิเมอร์คอมพอยต์ของพอลิบิวทิลีนซัคชิเนตมีพอลิบิวทิลีนซัคชิเนตกราฟต์ด้วยไกลซิดิลเมทาคริเลต เป็นสารคุ่มควบคุมที่เสริมแรงด้วยออร์แกโนเคลย์ในอัตราส่วน 100:10:1 phr



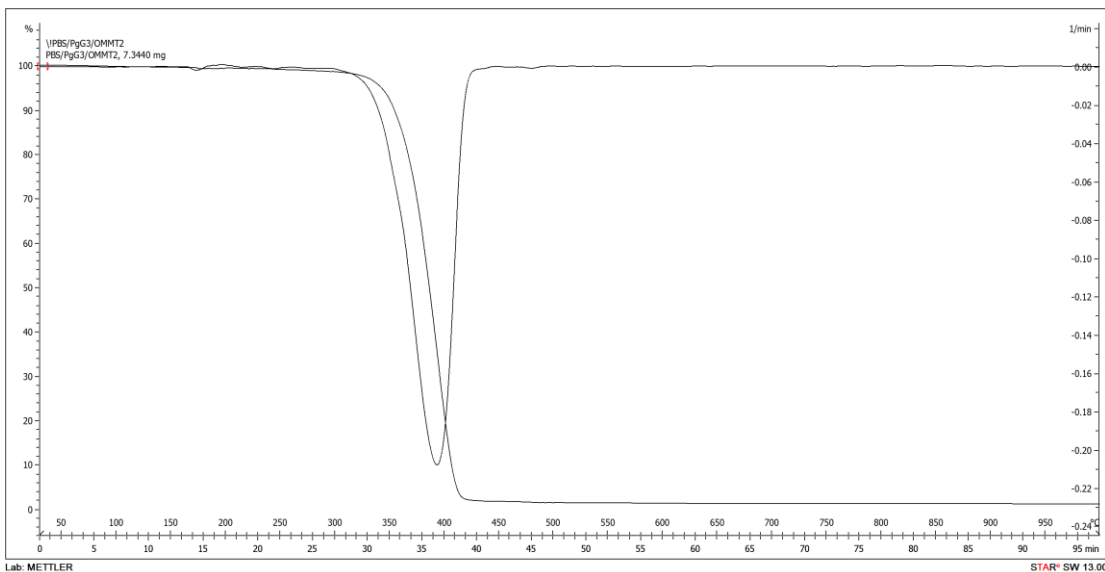
รูปที่ ง-12 TGA เทอร์โมแกรมของ PBS/PgG10/O1

13. พอลิเมอร์คอมโพสิตของพอลิบิวทิลีนซัคชิเนตที่เสริมแรงด้วยออร์แกโนเคลย์ในอัตราส่วน 100:2 phr



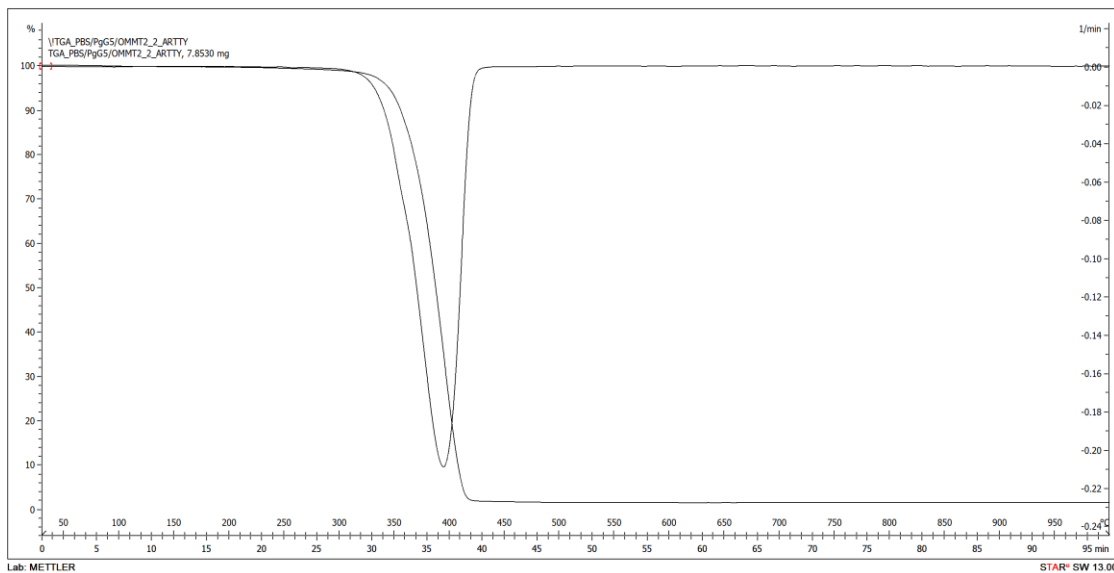
รูปที่ ง-13 TGA เทอร์โมแกรมของ PBS/O2

14. พอลิเมอร์คอมพอยต์ของพอลิบิวทิลีนซัคชิเนตมีพอลิบิวทิลีนซัคชิเนตกราฟต์ด้วยไกลซิดิลเมทาคริเลต เป็นสารคุกคามที่เสริมแรงด้วยออร์แกโนเคลย์ในอัตราส่วน 100:3:2 phr



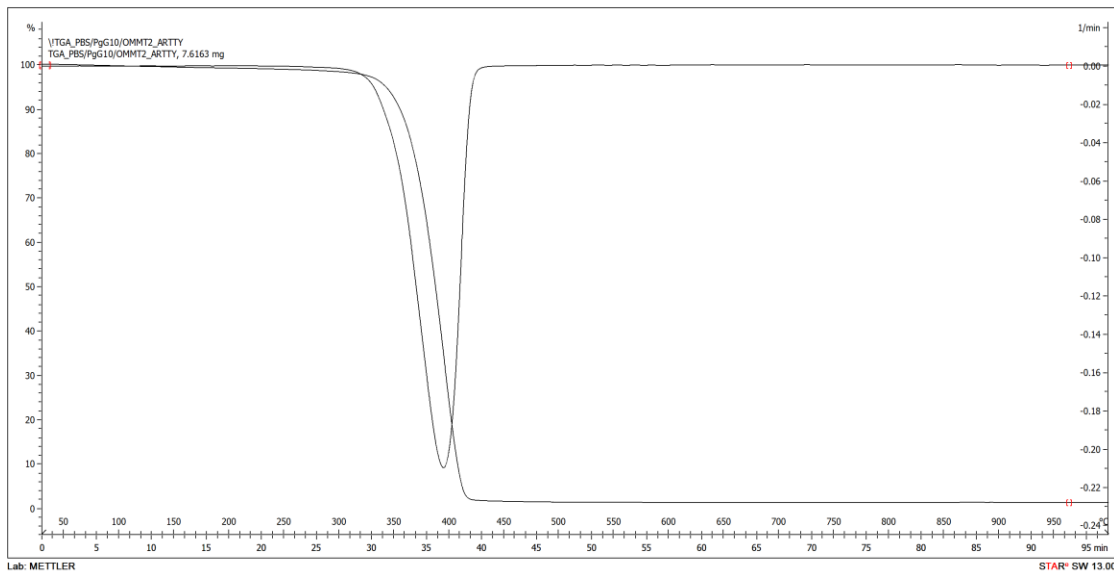
รูปที่ ง-14 TGA เทอร์โมแกรมของ PBS/PgG3/O2

15. พอลิเมอร์คอมโพสิตของพอลิบิวทิลีนซัคชิเนตมีพอลิบิวทิลีนซัคชิเนตกราฟต์ด้วยไกลซิดิลเมทาคริเลต เป็นสารคุ่มควบคุมที่เสริมแรงด้วยออร์แกโนเคลย์ในอัตราส่วน 100:5:2 phr



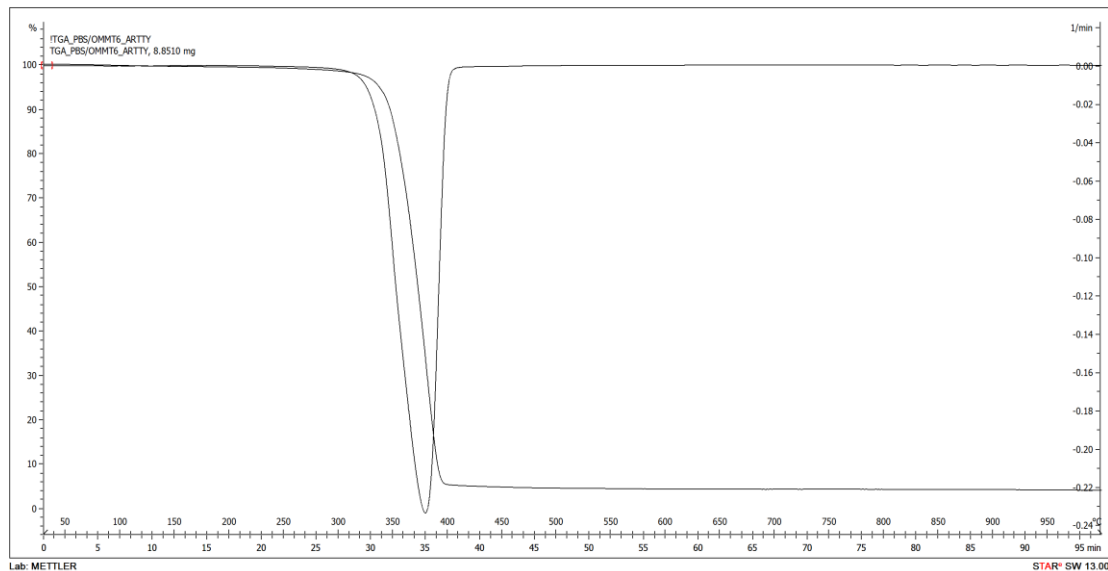
รูปที่ ง-15 TGA เทอร์โมแกรมของ PBS/PgG5/O2

16. พอลิเมอร์คอมพอยต์ของพอลิบิวทิลีนซัคชิเนตมีพอลิบิวทิลีนซัคชิเนตกราฟต์ด้วยไกลซิดิลเมทาคริเลต เป็นสารคุ่มควบคุมที่เสริมแรงด้วยออร์แกโนเคลย์ในอัตราส่วน 100:10:2 phr



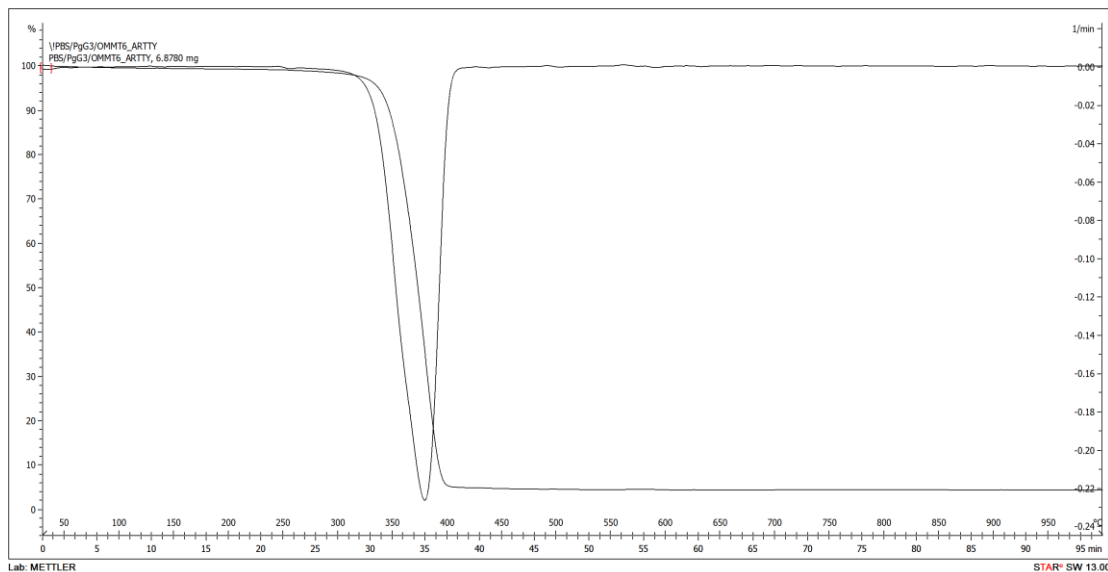
รูปที่ ง-16 TGA เทอร์โมแกรมของ PBS/PgG10/O2

17. พอลิเมอร์คอมโพสิตของพอลิบิวทิลีนซัคชิเนตที่เสริมแรงด้วยออร์แกโนเคลย์ในอัตราส่วน 100:6 phr



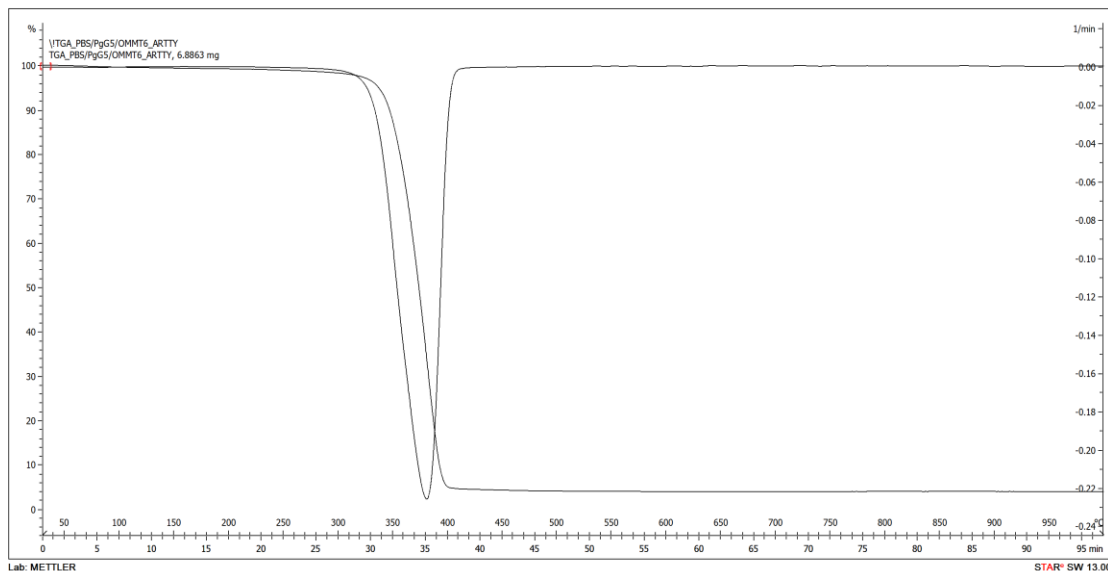
รูปที่ ง-17 TGA เทอร์โมแกรมของ PBS/O6

18. พอลิเมอร์คอมพอยต์ของพอลิบิวทิลีนซัคชิเนตมีพอลิบิวทิลีนซัคชิเนตกราฟต์ด้วยไกลซิดิลเมทาคริเลต เป็นสารคุกคามที่เสริมแรงด้วยออร์แกโนเคลย์ในอัตราส่วน 100:3:6 phr



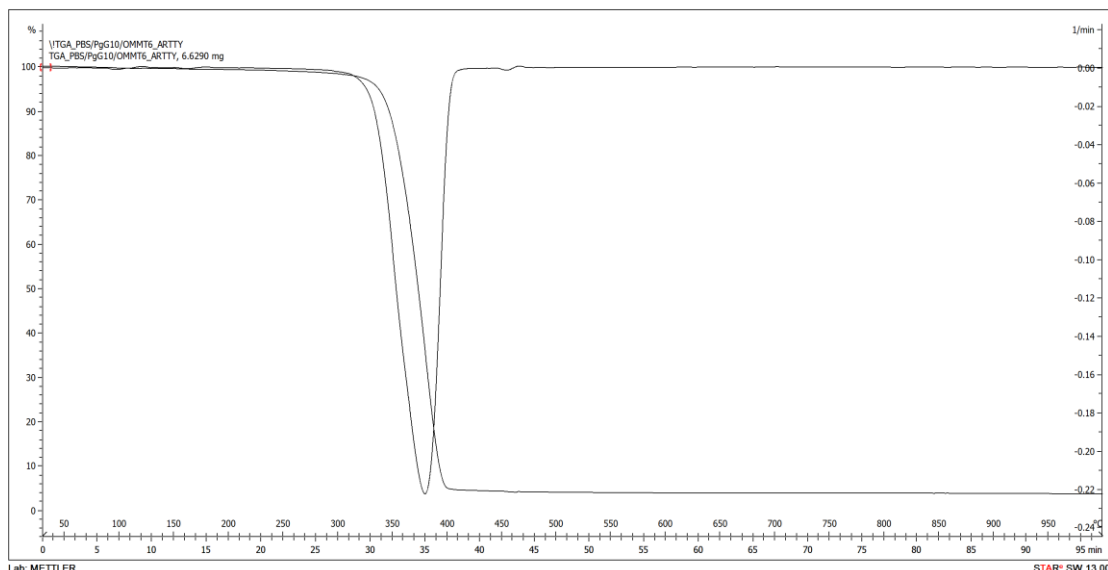
รูปที่ ง-18 TGA เทอร์โมแกรมของ PBS/PgG3/O6

19. พอลิเมอร์คอมโพสิตของพอลิบิวทิลีนซัคชิเนตมีพอลิบิวทิลีนซัคชิเนตกราฟต์ด้วยไกลซิดิลเมทาคริเลต เป็นสารคุ่มควบคุมที่เสริมแรงด้วยออร์แกโนเคลย์ในอัตราส่วน 100:5:6 phr



รูปที่ ง-19 TGA เทอร์โมแกรมของ PBS/PgG5/O6

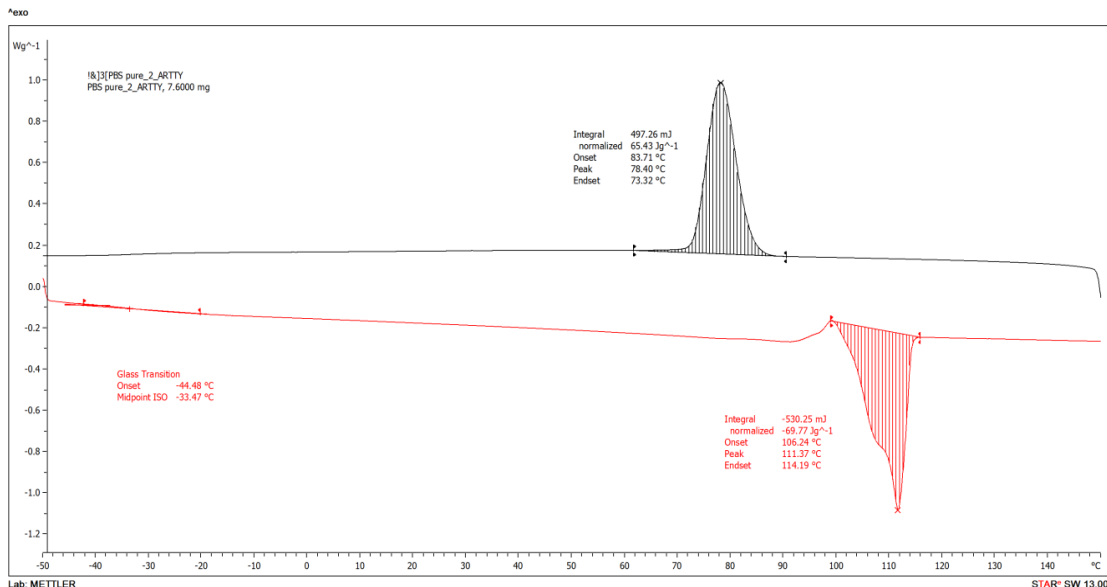
20. พอลิเมอร์คอมพอยต์ของพอลิบิวทิลีนซัคชิเนตมีพอลิบิวทิลีนซัคชิเนตกราฟต์ด้วยไกลซิดิลเมทาคริเลต เป็นสารคุ่มควบคุมที่เสริมแรงด้วยออร์แกโนเคลย์ในอัตราส่วน 100:10:6 phr



รูปที่ ง-20 TGA เทอร์โมแกรมของ PBS/PgG10/O6

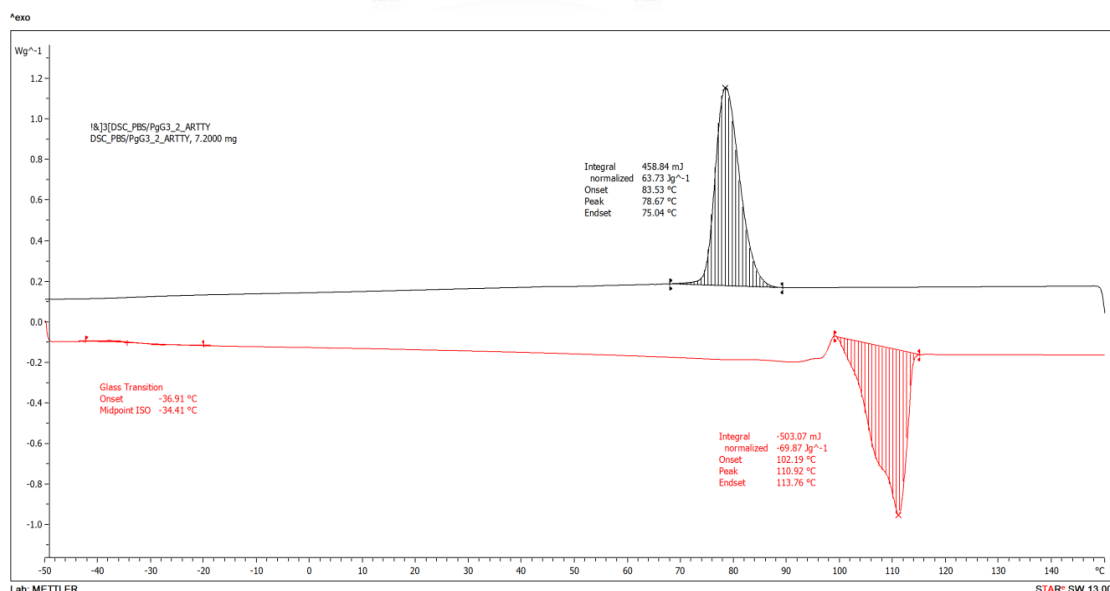
ภาคผนวก จ
DSC Thermogram ของพอลิบิวทิลีนซัคชิเนตคอมโพลิต

1. พอลิบิวทิลีนซัคชิเนต



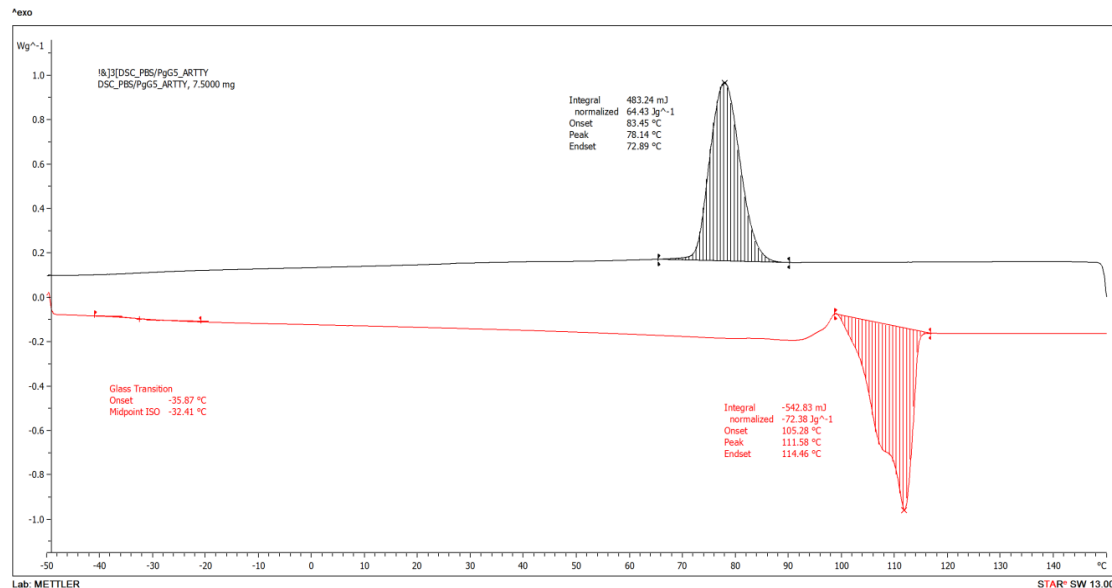
รูปที่ จ-1 DSC เทอร์โมแกรมของ PBS

2. พอลิเมอร์ผสมระหว่างพอลิบิวทิลีนซัคชิเนตและพอลิบิวทิลีนซัคชิเนตกราฟต์ด้วยไกลอชิติลเมทาคริเลต ในอัตราส่วน 100:3 phr



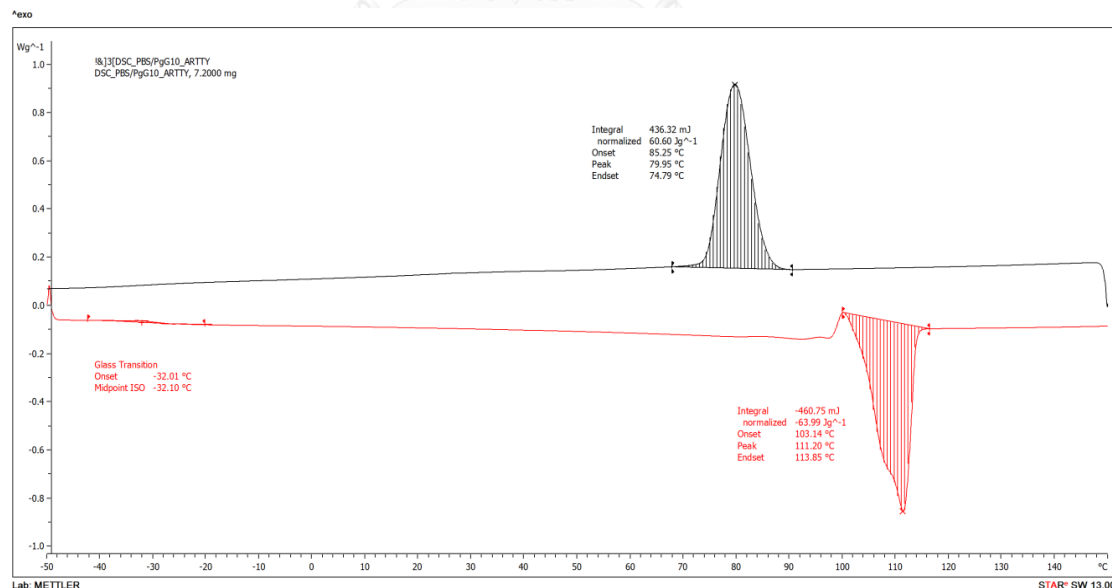
รูปที่ จ-2 DSC เทอร์โมแกรมของ PBS/PgG3

3. พอลิเมอร์สมรรถห่วงพอลิบิวทิลีนซัคชิเนตและพอลิบิวทิลีนซัคชิเนตกราฟต์ด้วยไกลซิดิลเมทาคริเลต ในอัตราส่วน 100:5 phr



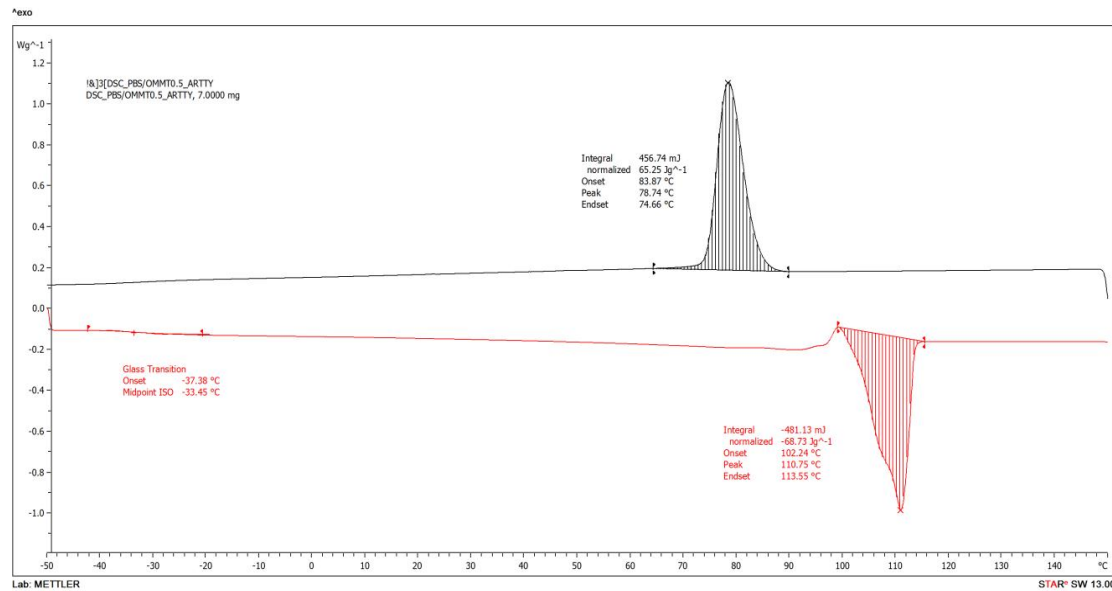
รูปที่ จ-3 DSC เทอร์โมแกรมของ PBS/PgG5

4. พอลิเมอร์สมรรถห่วงพอลิบิวทิลีนซัคชิเนตและพอลิบิวทิลีนซัคชิเนตกราฟต์ด้วยไกลซิดิลเมทาคริเลต ในอัตราส่วน 100:10 phr



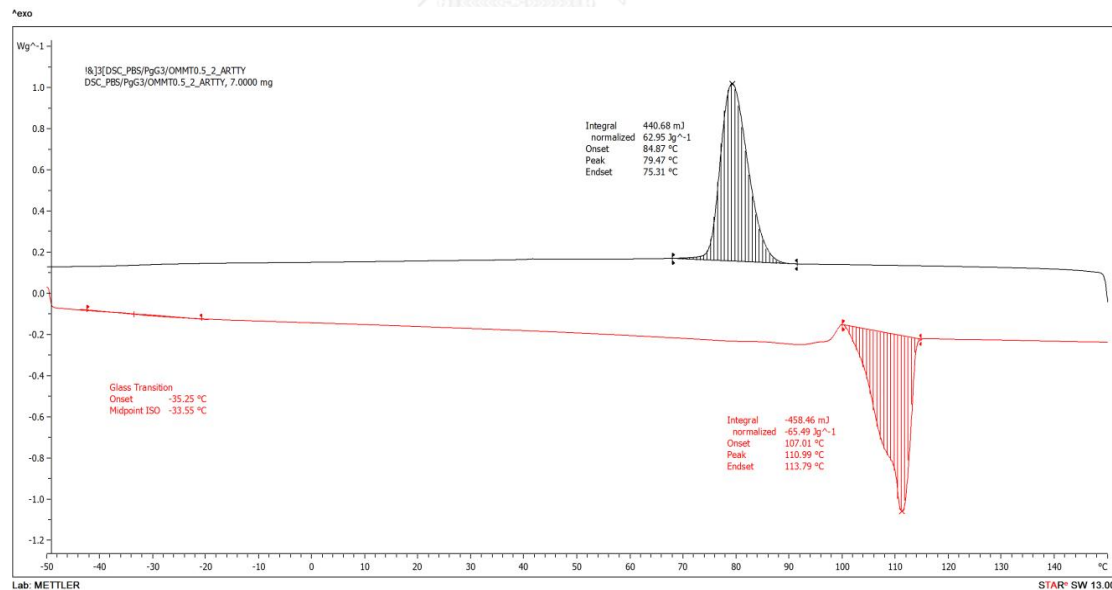
รูปที่ จ-4 DSC เทอร์โมแกรมของ PBS/PgG10

5. พอลิเมอร์คอมโพสิตของพอลิบิวทิลีนซัคชิเนตที่เสริมแรงด้วยออร์แกโนเคลย์ในอัตราส่วน 100:0.5 phr



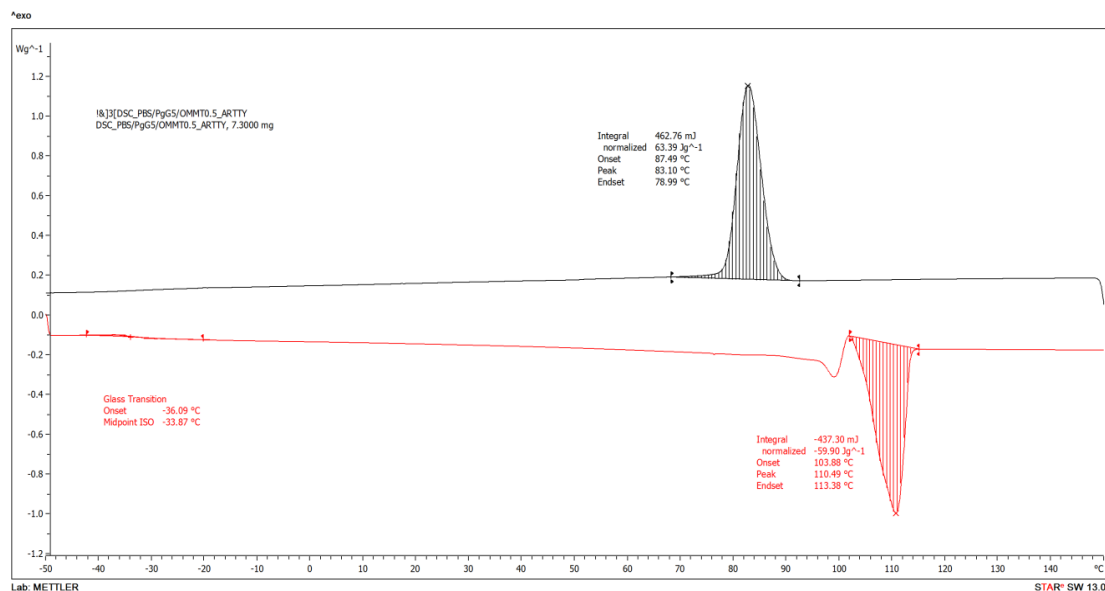
รูปที่ จ-5 DSC เทอร์โมแกรมของ PBS/O0.5

6. พอลิเมอร์คอมพอยต์ของพอลิบิวทิลีนซัคชิเนตมีพอลิบิวทิลีนซัคชิเนตกราฟต์ด้วยไกลซิดิลเมทาคริเลต เป็นสารคุกคุวบที่เสริมแรงด้วยออร์แกโนเคลย์ในอัตราส่วน 100:3:0.5 phr



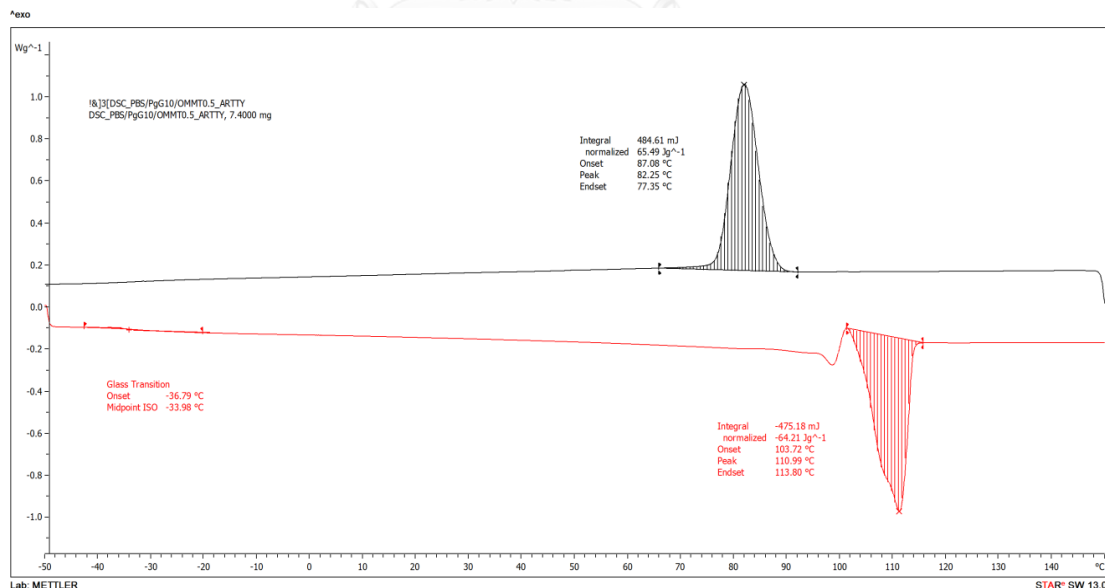
รูปที่ จ-6 DSC เทอร์โมแกรมของ PBS/PgG3/O0.5

7. พอลิเมอร์คอมโพสิตของพอลิบิวทิลีนซัคชิเนตมีพอลิบิวทิลีนซัคชิเนตกราฟต์ด้วยไกลซิดิลเมทาคริเลต เป็นสารคุ่มควบคุมที่เสริมแรงด้วยออร์แกโนเคลย์ในอัตราส่วน 100:5:0.5 phr



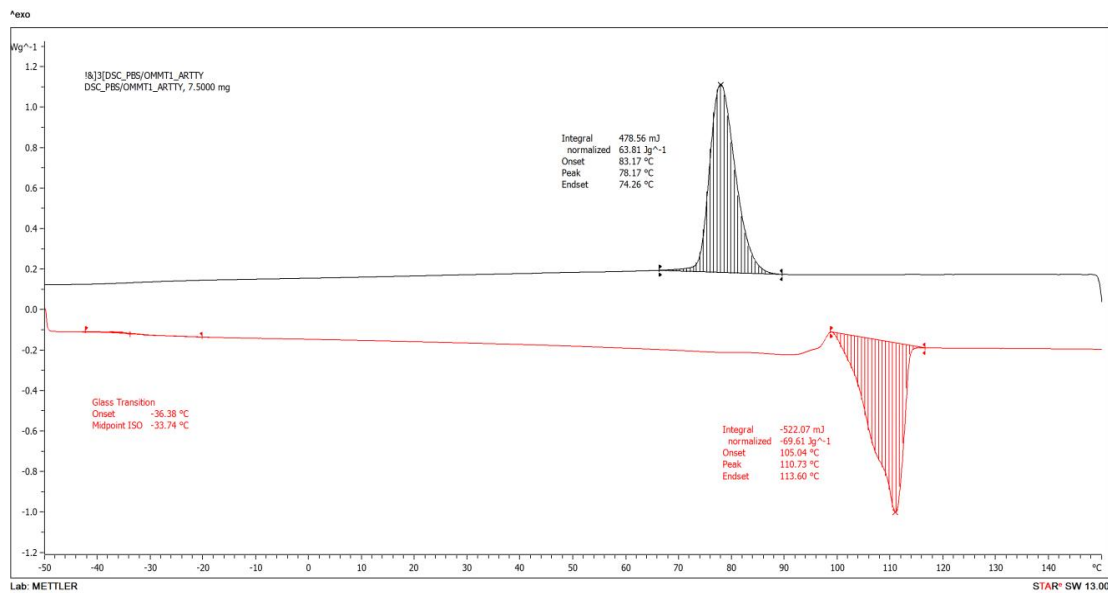
รูปที่ จ-7 DSC เทอร์โมแกรมของ PBS/PgG5/O0.5

8. พอลิเมอร์คอมพอยส์ของพอลิบิวทิลีนซัคชิเนตมีพอลิบิวทิลีนซัคชิเนตกราฟต์ด้วยไกลซิดิลเมทาคริเลต เป็นสารคุ่มควบคุมที่เสริมแรงด้วยออร์แกโนเคลย์ในอัตราส่วน 100:10:0.5 phr



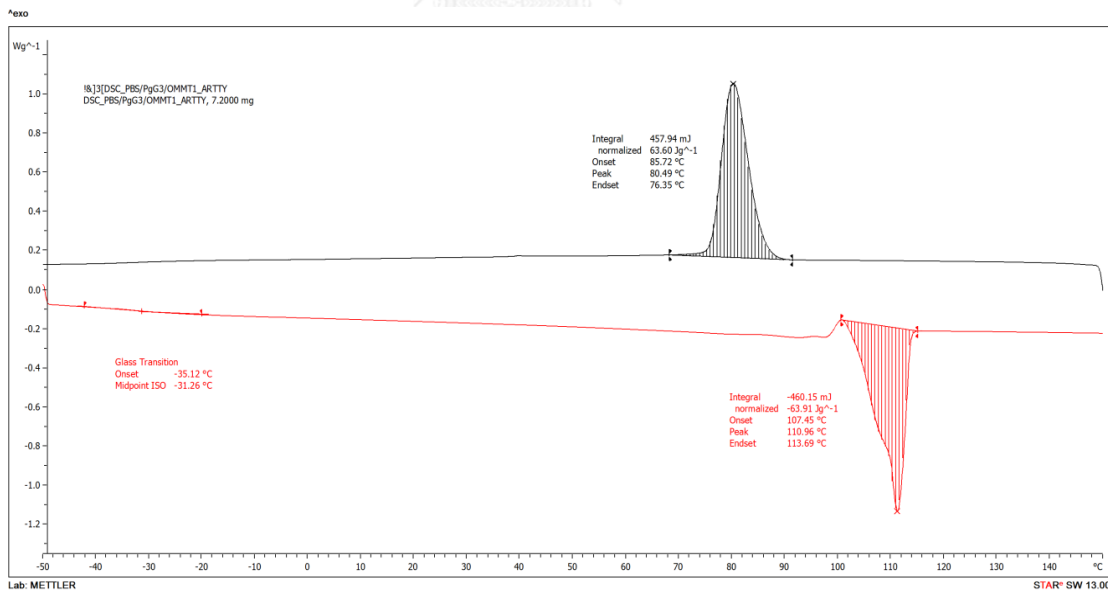
รูปที่ จ-8 DSC เทอร์โมแกรมของ PBS/PgG10/O0.5

9. พอลิเมอร์คอมโพสิตของพอลิบิวทิลีนซัคชิเนตที่เสริมแรงด้วยออร์แกโนเคลย์ในอัตราส่วน 100:1 phr



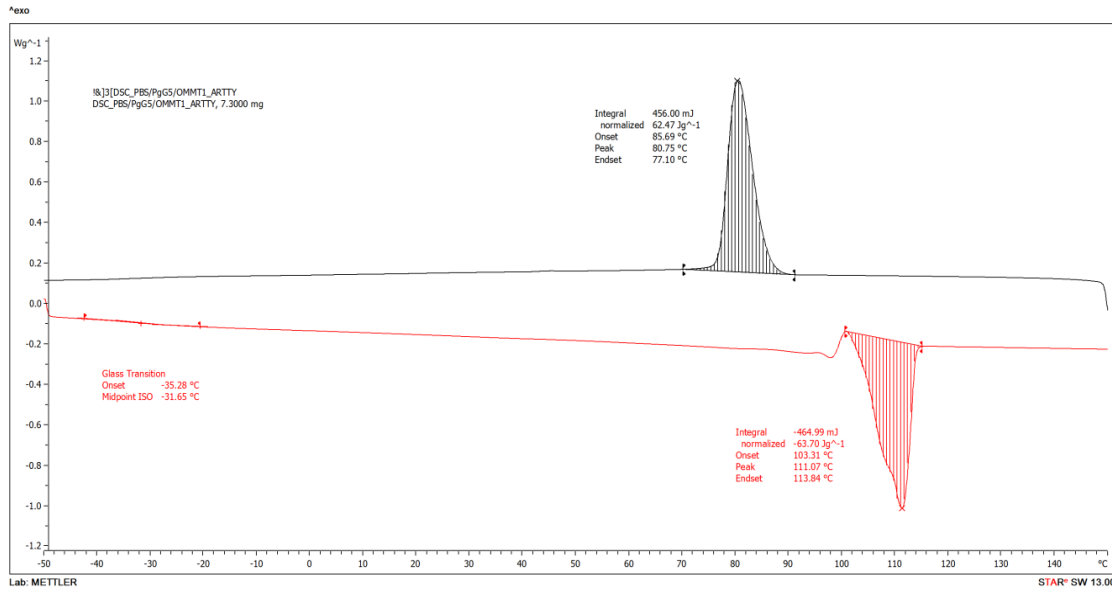
รูปที่ จ-9 DSC เทอร์โมแกรมของ PBS/O1

10. พอลิเมอร์คอมพอยต์ของพอลิบิวทิลีนซัคชิเนตมีพอลิบิวทิลีนซัคชิเนตกราฟต์ด้วยไกลซิดิลเมทาคริเลต เป็นสารคุกคามที่เสริมแรงด้วยออร์แกโนเคลย์ในอัตราส่วน 100:3:1 phr



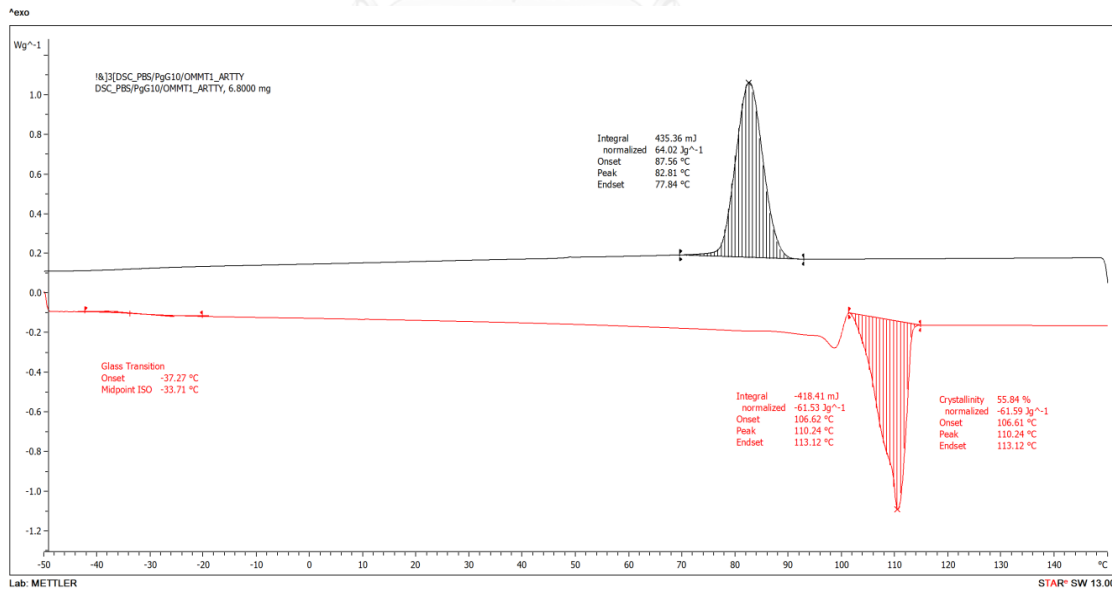
รูปที่ จ-10 DSC เทอร์โมแกรมของ PBS/PgG3/O1

11. พอลิเมอร์คอมโพสิตของพอลิบิวทิลีนซัคชิเนตมีพอลิบิวทิลีนซัคชิเนตกราฟต์ด้วยไกลซิดิลเมทาคริเลต เป็นสารคุ่มควบคุมที่เสริมแรงด้วยออร์แกโนเคลย์ในอัตราส่วน 100:5:1 phr



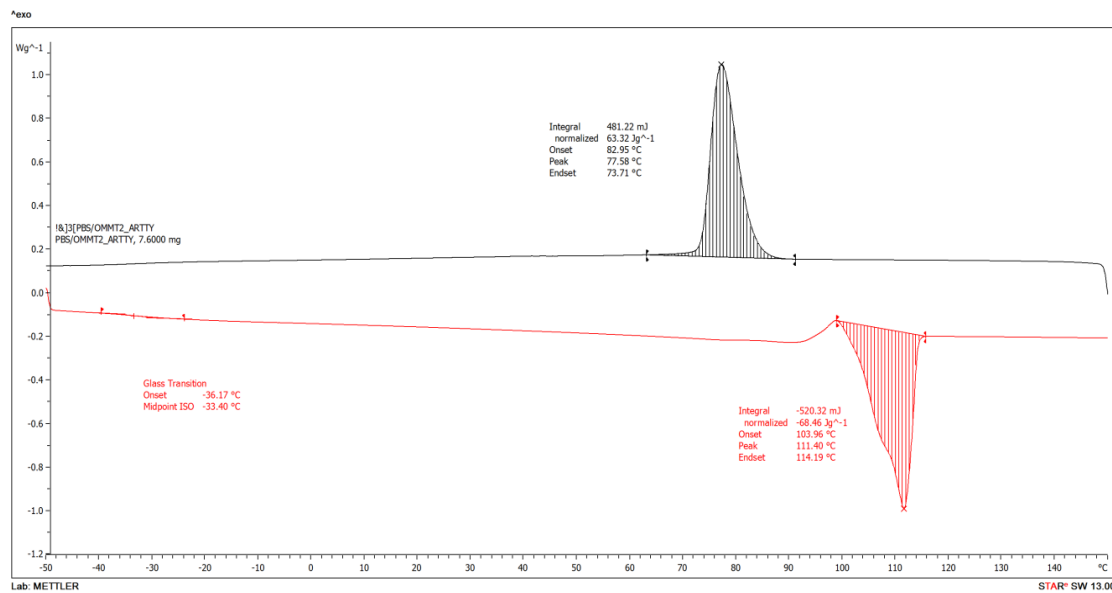
รูปที่ จ-11 DSC เทอร์โมแกรมของ PBS/PgG5/O1

12. พอลิเมอร์คอมพอยต์ของพอลิบิวทิลีนซัคชิเนตมีพอลิบิวทิลีนซัคชิเนตกราฟต์ด้วยไกลซิดิลเมทาคริเลต เป็นสารคุ่มควบคุมที่เสริมแรงด้วยออร์แกโนเคลย์ในอัตราส่วน 100:10:1 phr



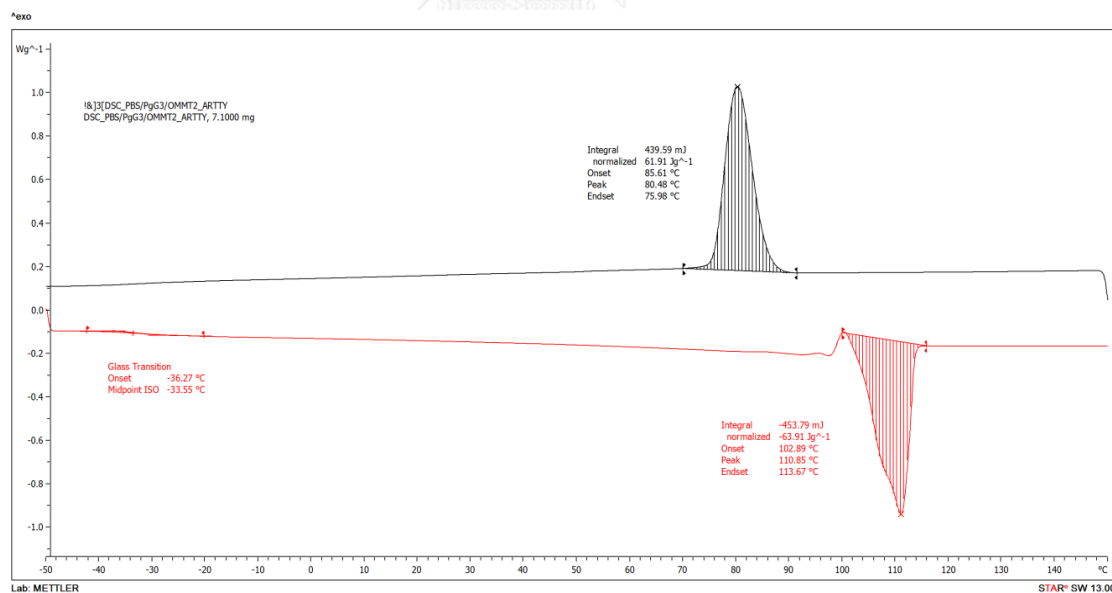
รูปที่ จ-12 DSC เทอร์โมแกรมของ PBS/PgG10/O1

13. พอลิเมอร์คอมโพสิตของพอลิบิวทิลีนซัคชิเนตที่เสริมแรงด้วยออร์แกโนเคลย์ในอัตราส่วน 100:2 phr



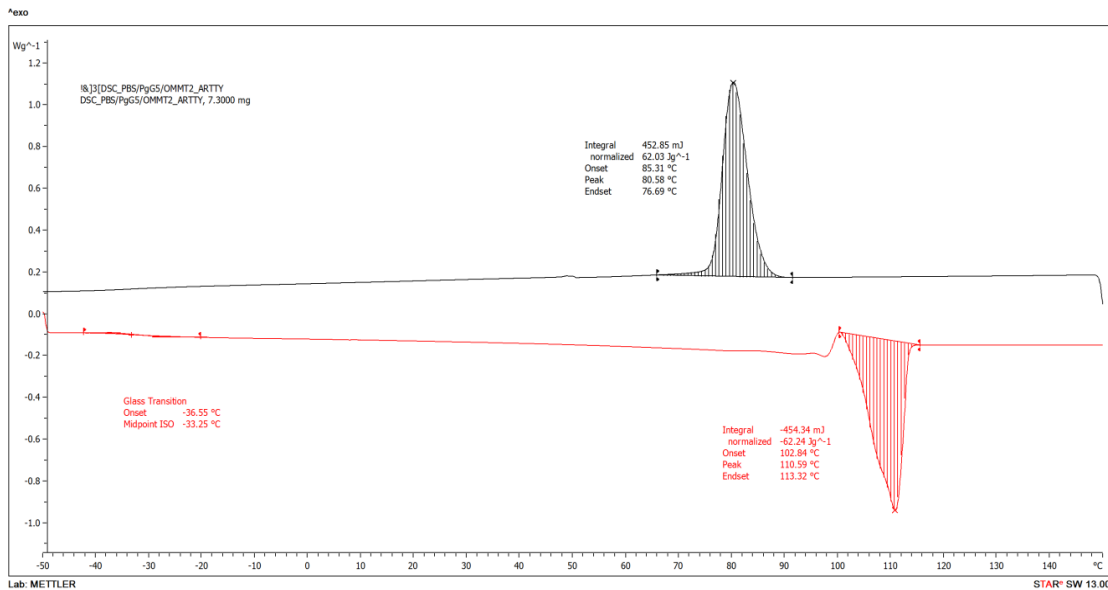
รูปที่ จ-13 DSC เทอร์โมแกรมของ PBS/O2

14. พอลิเมอร์คอมพอยต์ของพอลิบิวทิลีนซัคชิเนตมีพอลิบิวทิลีนซัคชิเนตกราฟต์ด้วยไกลซิดิลเมทาคริเลต เป็นสารคุกคุวบที่เสริมแรงด้วยออร์แกโนเคลย์ในอัตราส่วน 100:3:2 phr



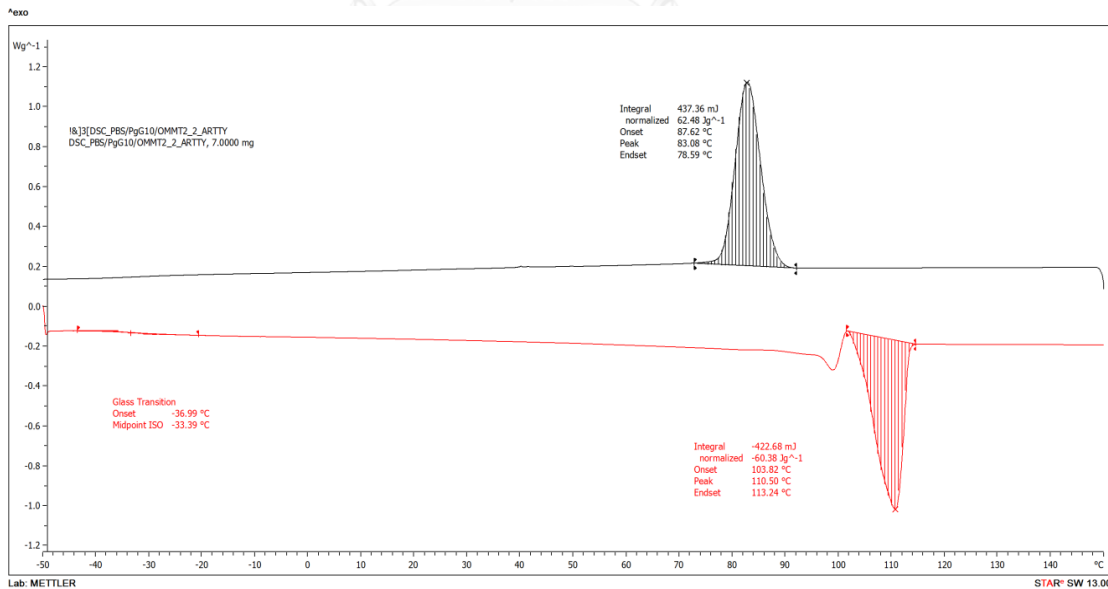
รูปที่ จ-14 DSC เทอร์โมแกรมของ PBS/PgG3/O2

15. พอลิเมอร์คอมโพสิตของพอลิบิวทิลีนซัคชิเนตมีพอลิบิวทิลีนซัคชิเนตกราฟต์ด้วยไกลซิดิลเมทาคริเลต เป็นสารคุ่มควบคุมที่เสริมแรงด้วยออร์แกโนเคลย์ในอัตราส่วน 100:5:2 phr



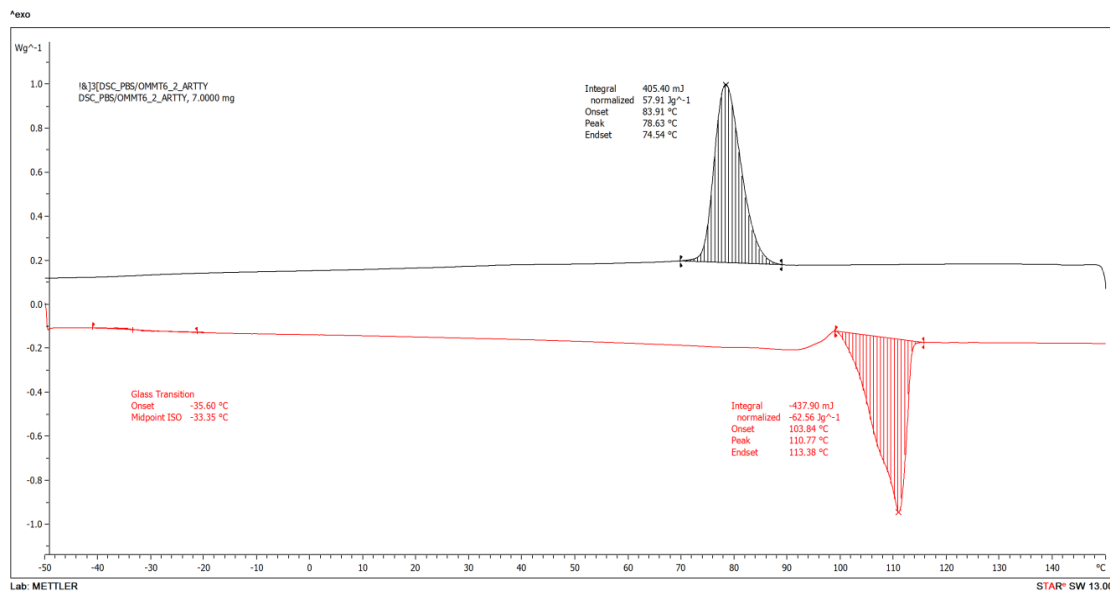
รูปที่ จ-15 DSC เทอร์โมแกรมของ PBS/PgG5/O2

16. พอลิเมอร์คอมพอยต์ของพอลิบิวทิลีนซัคชิเนตมีพอลิบิวทิลีนซัคชิเนตกราฟต์ด้วยไกลซิดิลเมทาคริเลต เป็นสารคุ่มควบคุมที่เสริมแรงด้วยออร์แกโนเคลย์ในอัตราส่วน 100:10:2 phr



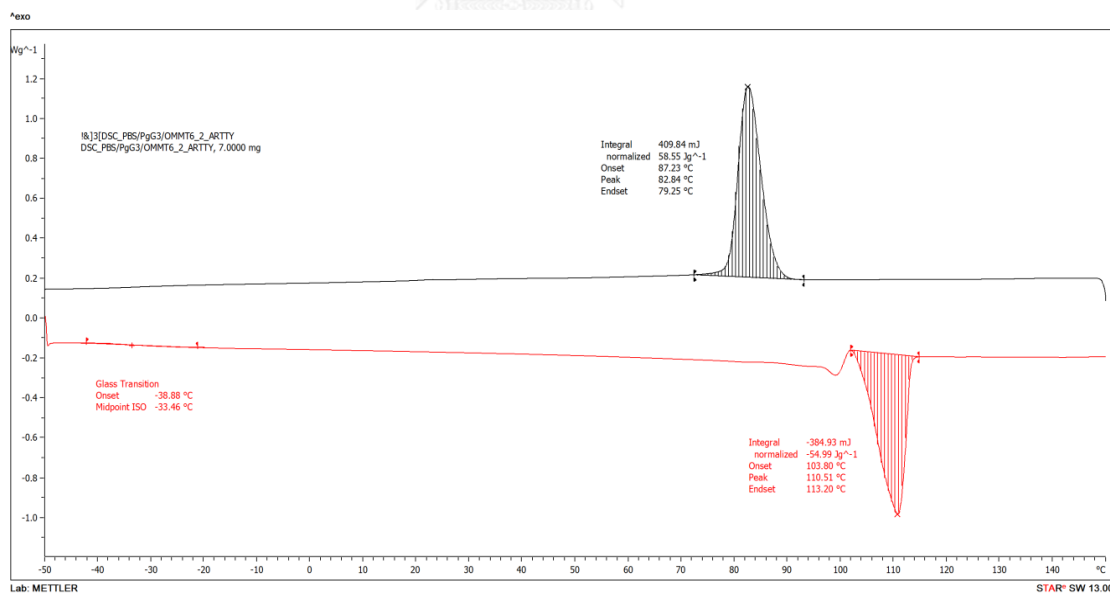
รูปที่ จ-16 DSC เทอร์โมแกรมของ PBS/PgG10/O2

17. พอลิเมอร์คอมโพสิตของพอลิบิวทิลีนซัคชิเนตที่เสริมแรงด้วยออร์แกโนเคลย์ในอัตราส่วน 100:6 phr



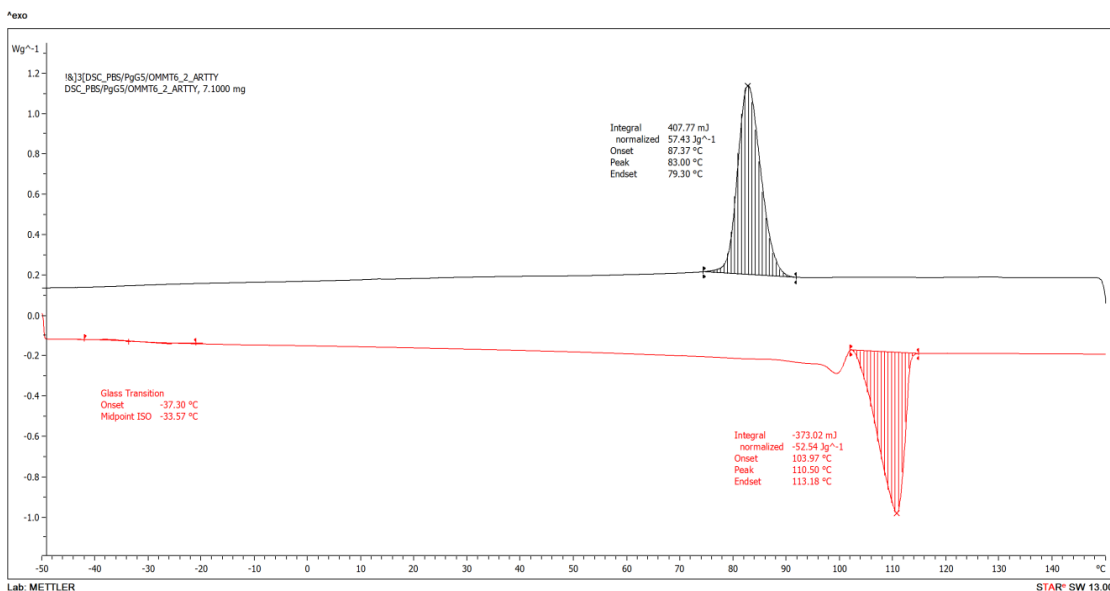
รูปที่ จ-17 DSC เทอร์โมแกรมของ PBS/O6

18. พอลิเมอร์คอมพอยต์ของพอลิบิวทิลีนซัคชิเนตมีพอลิบิวทิลีนซัคชิเนตกราฟต์ด้วยไกลซิดิลเมทาคริเลต เป็นสารคุกคามที่เสริมแรงด้วยออร์แกโนเคลย์ในอัตราส่วน 100:3:6 phr



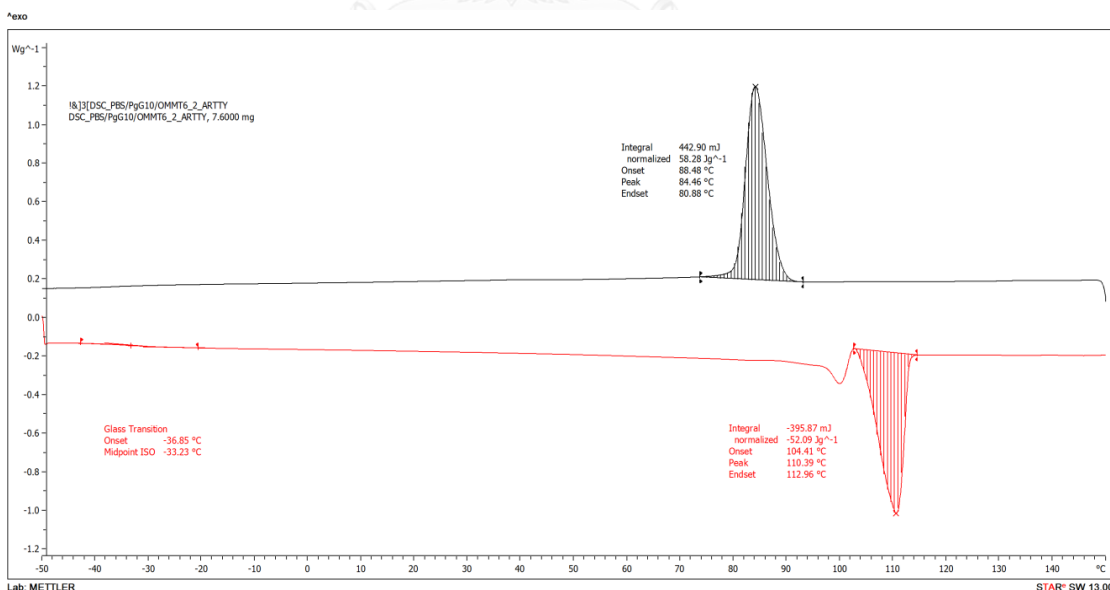
รูปที่ จ-18 DSC เทอร์โมแกรมของ PBS/PgG3/O6

19. พอลิเมอร์คอมโพสิตของพอลิบิวทิลีนซัคชิเนตมีพอลิบิวทิลีนซัคชิเนตกราฟต์ด้วยไกลซิดิลเมทาคริเลต เป็นสารคุ่มควบคุมที่เสริมแรงด้วยออร์แกโนเคลย์ในอัตราส่วน 100:5:6 phr



รูปที่ จ-19 DSC เทอร์โมแกรมของ PBS/PgG5/O6

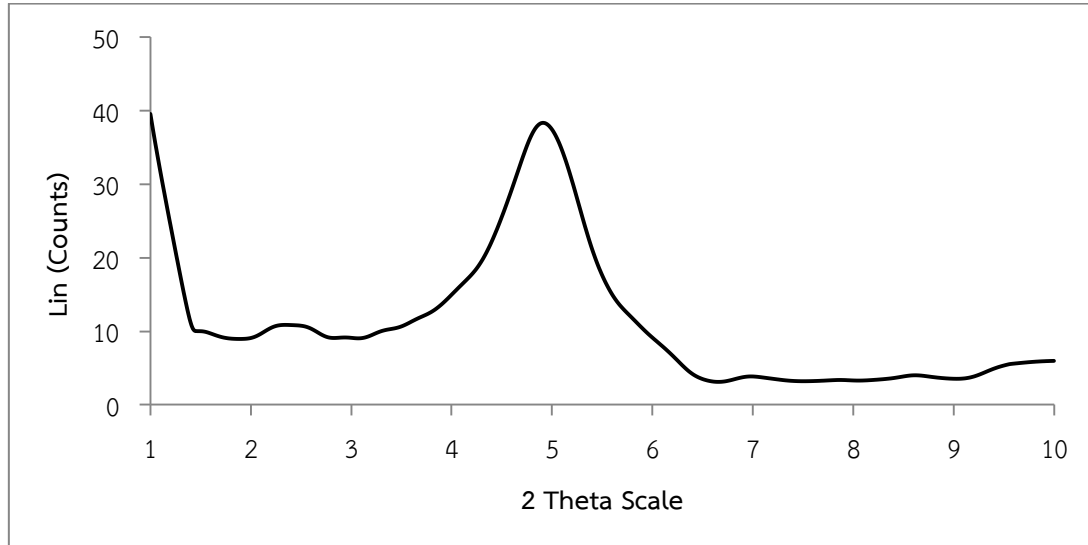
20. พอลิเมอร์คอมพอยต์ของพอลิบิวทิลีนซัคชิเนตมีพอลิบิวทิลีนซัคชิเนตกราฟต์ด้วยไกลซิดิลเมทาคริเลต เป็นสารคุ่มควบคุมที่เสริมแรงด้วยออร์แกโนเคลย์ในอัตราส่วน 100:10:6 phr



รูปที่ จ-20 DSC เทอร์โมแกรมของ PBS/PgG10/O6

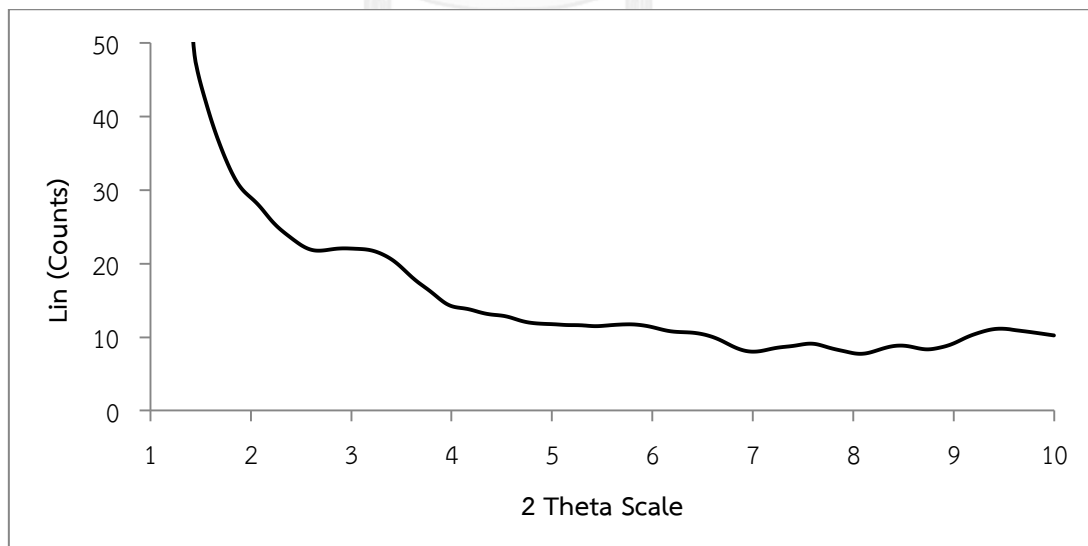
ภาคผนวก ฉ
XRD pattern ของพอลิบิวทิลีนซักรูดคอมโพสิต

1. ออร์แกโนเคลล์



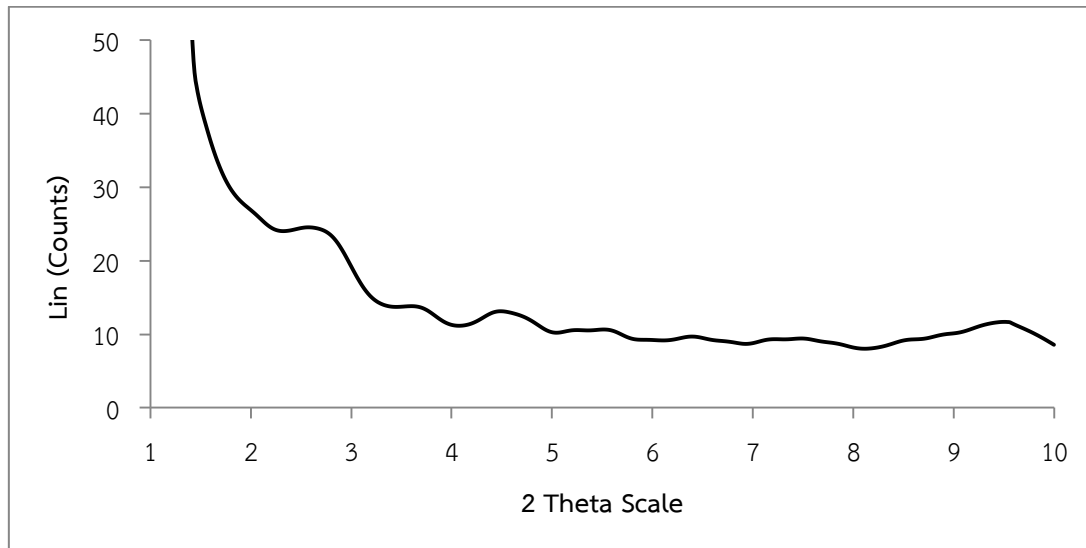
รูปที่ ฉ-1 XRD ดิฟแฟรกโตแกรมของออร์แกโนเคลล์

2. พอลิเมอร์คอมโพสิตของพอลิบิวทิลีนซักรูดที่เสริมแรงด้วยออร์แกโนเคลล์ในอัตราส่วน 100:0.5 phr



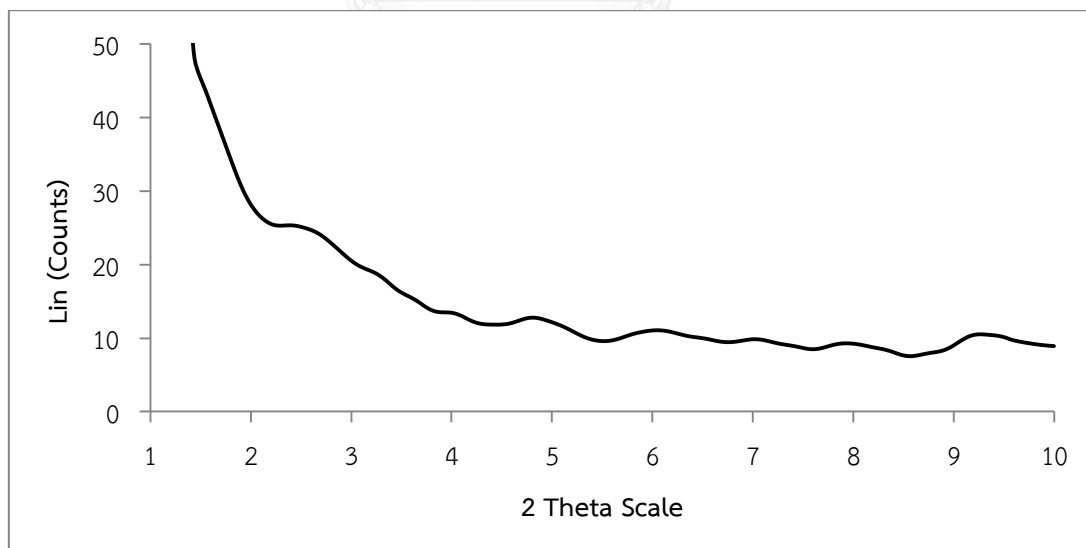
รูปที่ ฉ-2 XRD ดิฟแฟรกโตแกรมของ PBS/O0.5

3. พอลิเมอร์คอมโพสิตของพอลิบิวทิลีนซัคชิเนตมีพอลิบิวทิลีนซัคชิเนตกราฟต์ด้วยไกลชิดิลเมทาคริเลต เป็นสารคุ่มควบคุมที่เสริมแรงด้วยออร์แกโนเคลย์ในอัตราส่วน 100:3:0.5 phr



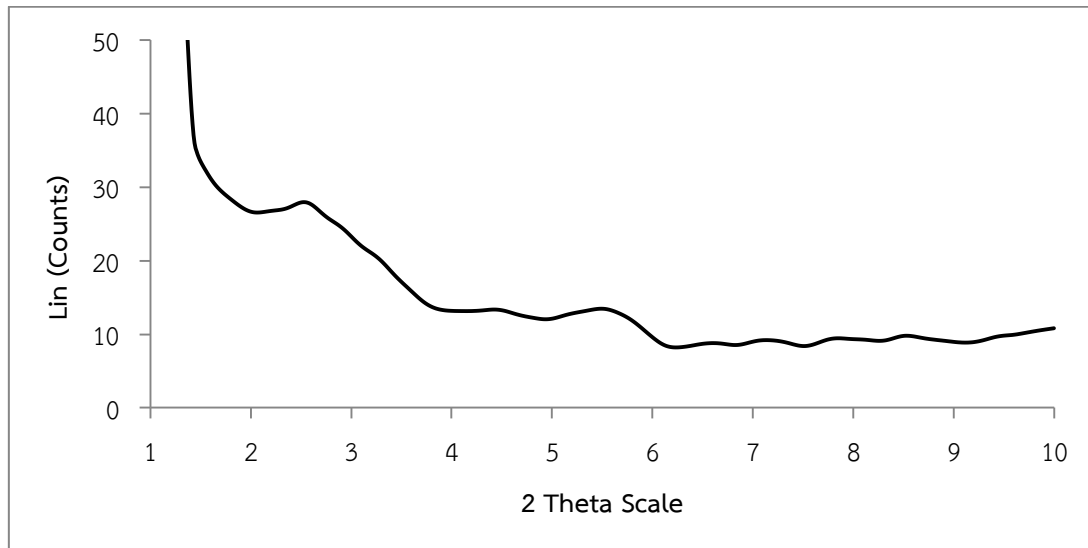
รูปที่ ฉ-3 XRD ดิฟเฟρกトイแทร์เมของ PBS/PgG3/O0.5

4. พอลิเมอร์คอมโพสิตของพอลิบิวทิลีนซัคชิเนตมีพอลิบิวทิลีนซัคชิเนตกราฟต์ด้วยไกลชิดิลเมทาคริเลต เป็นสารคุ่มควบคุมที่เสริมแรงด้วยออร์แกโนเคลย์ในอัตราส่วน 100:5:0.5 phr



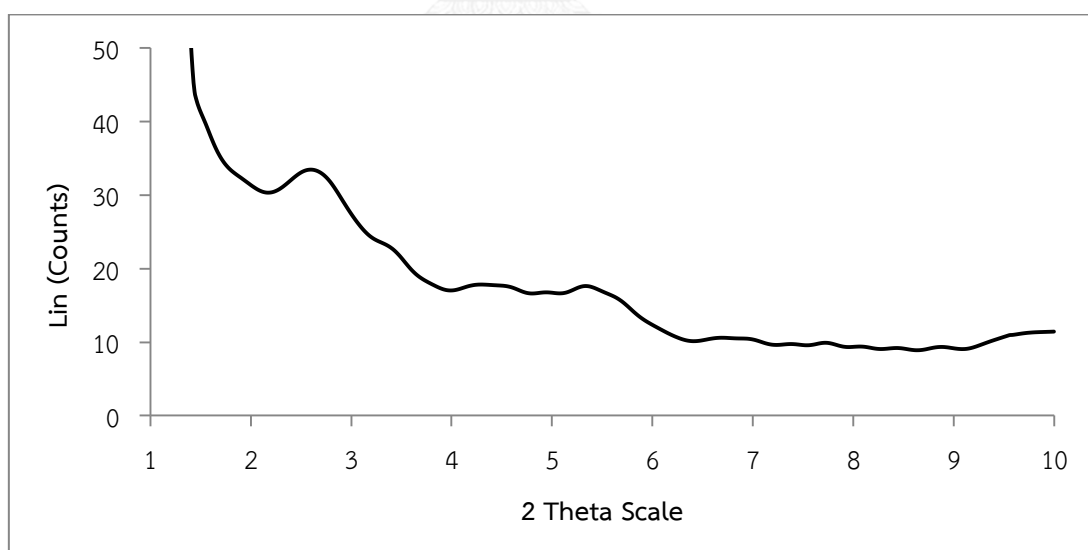
รูปที่ ฉ-4 XRD ดิฟเฟρกトイแทร์เมของ PBS/PgG5/O0.5

5. พอลิเมอร์คอมโพสิตของพอลิบิวทิลีนซัคชิเนตมีพอลิบิวทิลีนซัคชิเนตกราฟต์ด้วยไกลซิดิลเมทาคริเลต เป็นสารคุ่มควบคุมที่เสริมแรงด้วยออร์แกโนเคลย์ในอัตราส่วน 100:10:0.5 phr



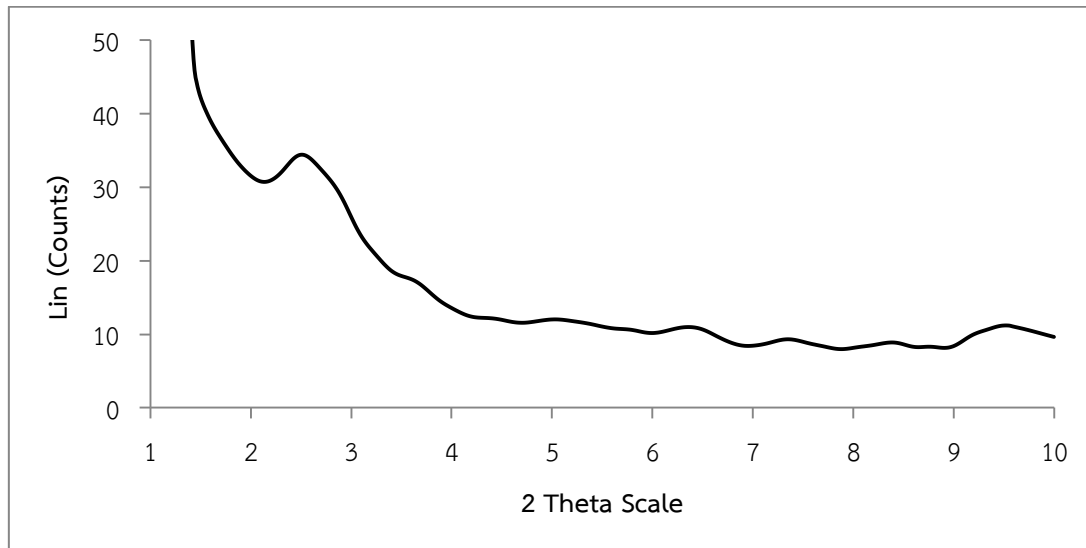
รูปที่ ฉ-5 XRD ดิฟเฟρกໂທແກຣມຂອງ PBS/PgG10/O0.5

6. พอลิเมอร์คอมพอยต์ของพอลิบิวทิลีนซัคชิเนตที่เสริมแรงด้วยออร์แกโนเคลย์ในอัตราส่วน 100:1 phr



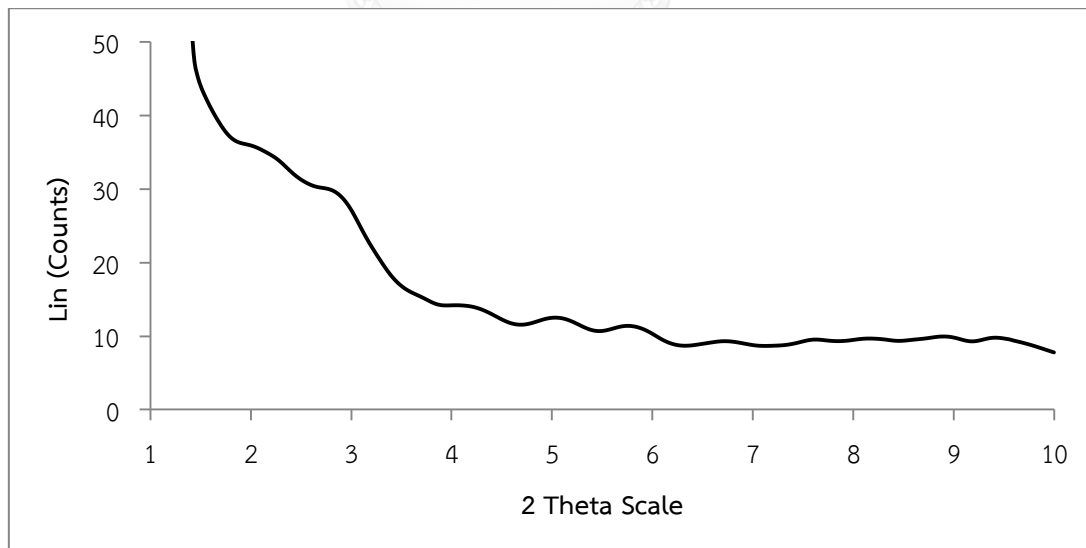
รูปที่ ฉ-6 XRD ดิฟเฟρกໂທແກຣມຂອງ PBS/O1

7. พอลิเมอร์คอมโพสิตของพอลิบิวทิลีนซัคชิเนตมีพอลิบิวทิลีนซัคชิเนตกราฟต์ด้วยไกลชิดิลเมทาคริเลต เป็นสารคุ่มที่เสริมแรงด้วยออร์แกโนเคลย์ในอัตราส่วน 100:3:1 phr



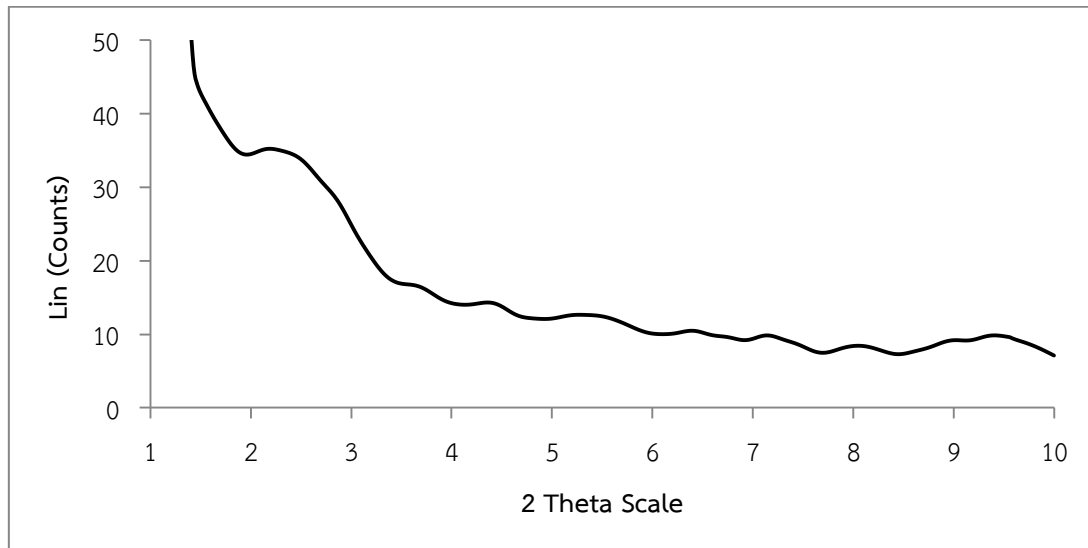
รูปที่ ฉ-7 XRD ติฟแฟร์กโทแกรมของ PBS/PgG3/O1

8. พอลิเมอร์คอมพอยต์ของพอลิบิวทิลีนซัคชิเนตมีพอลิบิวทิลีนซัคชิเนตกราฟต์ด้วยไกลชิดิลเมทาคริเลต เป็นสารคุ่มที่เสริมแรงด้วยออร์แกโนเคลย์ในอัตราส่วน 100:5:1 phr



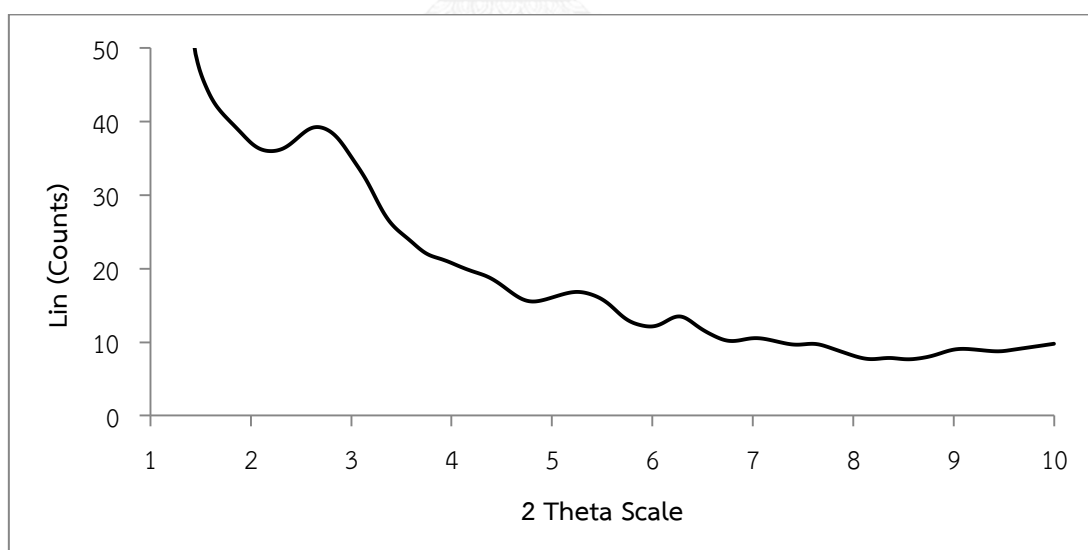
รูปที่ ฉ-8 XRD ติฟแฟร์กโทแกรมของ PBS/PgG5/O1

9. พอลิเมอร์คอมโพสิตของพอลิบิวทิลีนซัคชิเนตมีพอลิบิวทิลีนซัคชิเนตกราฟต์ด้วยไกลซิดิลเมทาคริเลต เป็นสารคุ่มควบคุมที่เสริมแรงด้วยออร์แกโนเคลย์ในอัตราส่วน 100:10:1 phr



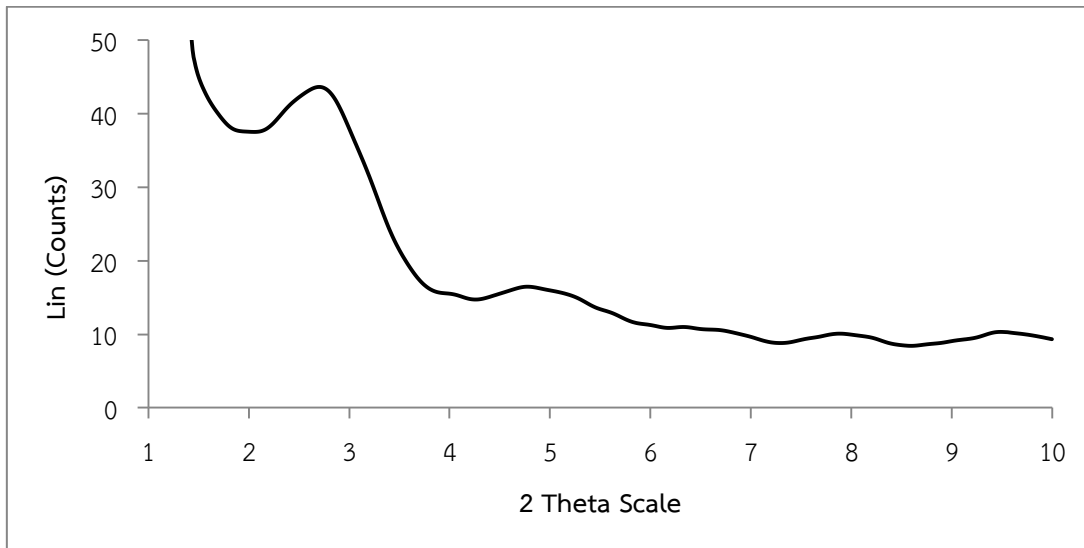
รูปที่ ฉ-9 XRD ติฟแฟร์กโทแกรมของ PBS/PgG10/O1

10. พอลิเมอร์คอมพอยต์ของพอลิบิวทิลีนซัคชิเนตที่เสริมแรงด้วยออร์แกโนเคลย์ในอัตราส่วน 100:2 phr



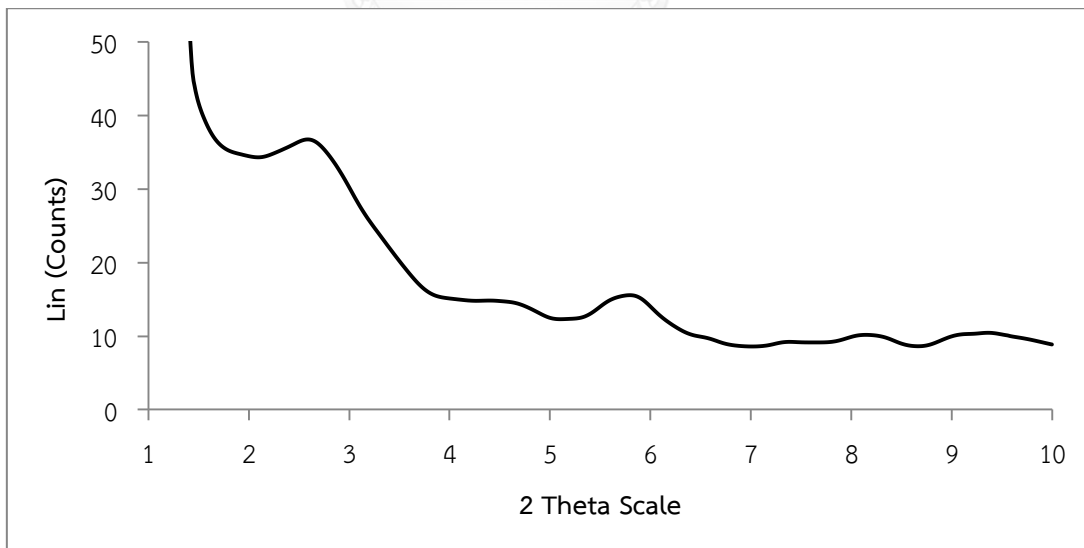
รูปที่ ฉ-10 XRD ติฟแฟร์กโทแกรมของ PBS/O2

11. พอลิเมอร์คอมโพสิตของพอลิบิวทิลีนซัคชีเนตมีพอลิบิวทิลีนซัคชีเนตกราฟต์ด้วยไกลซิดิลเมทาคริเลต เป็นสารคุ่มควบคุมที่เสริมแรงด้วยออร์แกโนเคลย์ในอัตราส่วน 100:3:2 phr



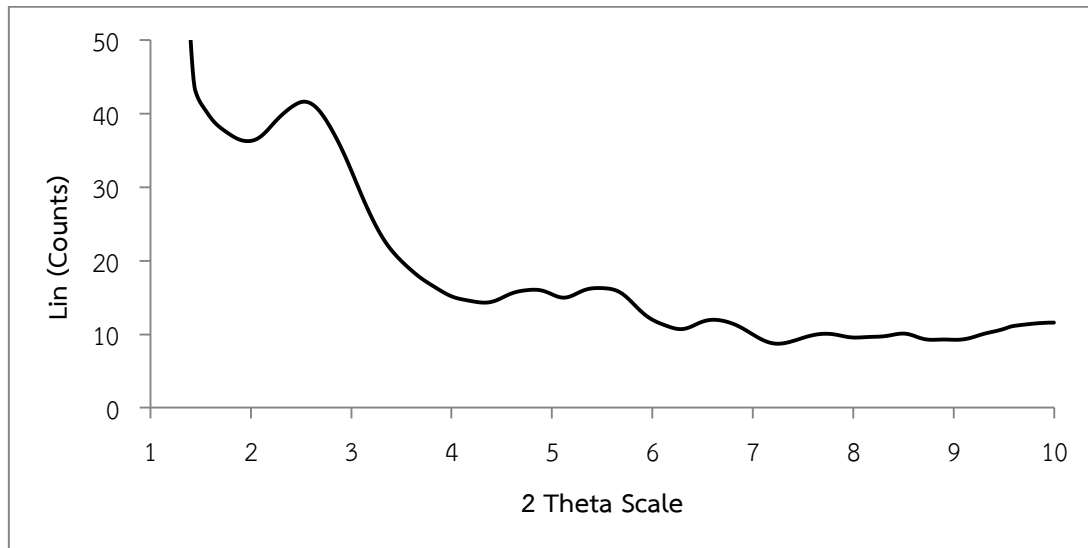
รูปที่ ฉ-11 XRD ดิฟแฟร์กโตแกรมของ PBS/PgG3/O2

12. พอลิเมอร์คอมพอยต์ของพอลิบิวทิลีนซัคชีเนตมีพอลิบิวทิลีนซัคชีเนตกราฟต์ด้วยไกลซิดิลเมทาคริเลต เป็นสารคุ่มควบคุมที่เสริมแรงด้วยออร์แกโนเคลย์ในอัตราส่วน 100:5:2 phr



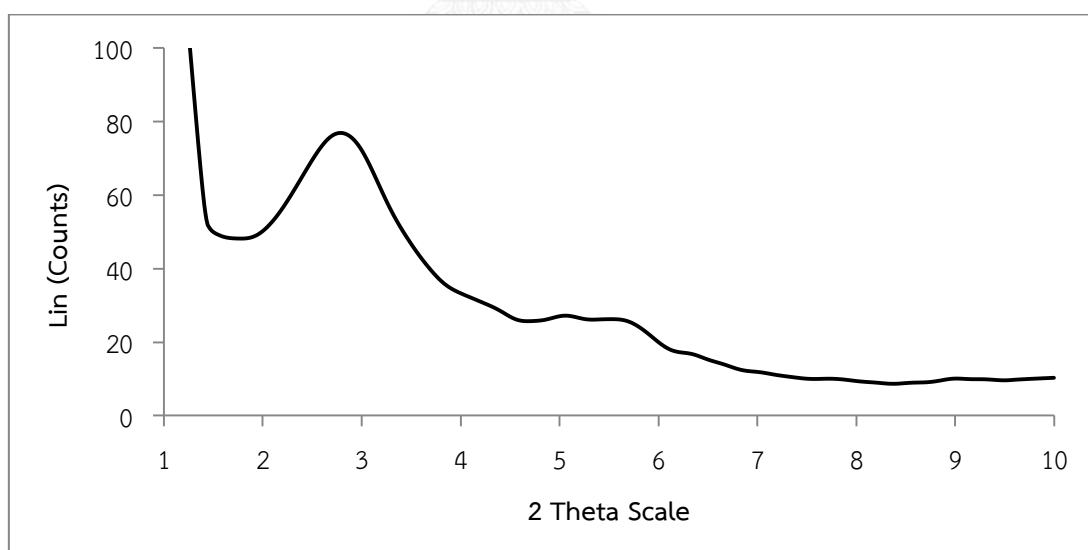
รูปที่ ฉ-12 XRD ดิฟแฟร์กโตแกรมของ PBS/PgG5/O2

13. พอลิเมอร์คอมโพสิตของพอลิบิวทิลีนซัคชิเนตมีพอลิบิวทิลีนซัคชิเนตกราฟต์ด้วยไกลซิดิลเมทาคริเลต เป็นสารคุ่มควบคุมที่เสริมแรงด้วยออร์แกโนเคลย์ในอัตราส่วน 100:10:2 phr



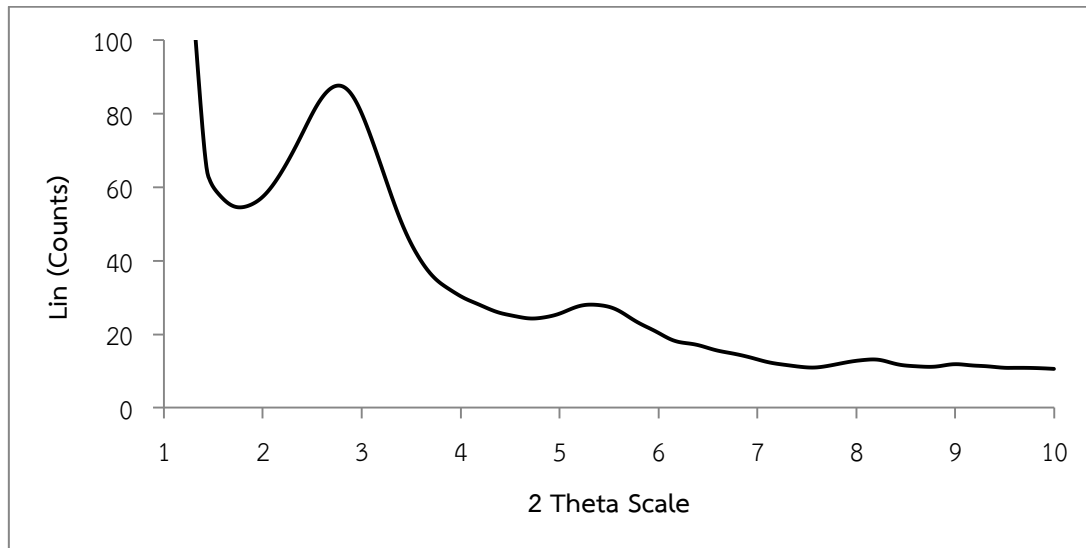
รูปที่ ฉ-13 XRD ติพแฟร์กโทแกรมของ PBS/PgG10/O2

14. พอลิเมอร์คอมพอยต์ของพอลิบิวทิลีนซัคชิเนตที่เสริมแรงด้วยออร์แกโนเคลย์ในอัตราส่วน 100:6 phr



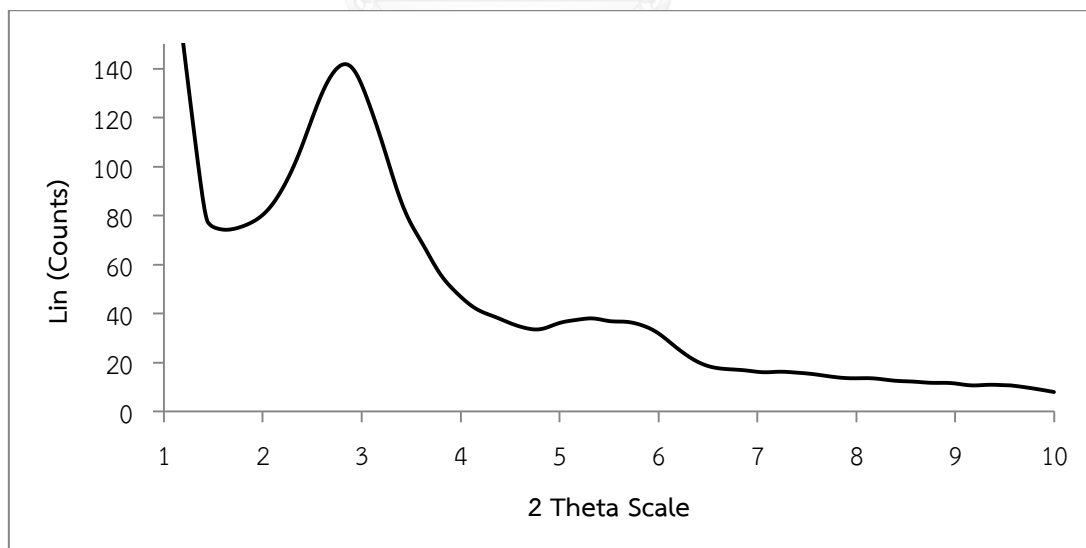
รูปที่ ฉ-14 XRD ติพแฟร์กโทแกรมของ PBS/O6

15. พอลิเมอร์คอมโพสิตของพอลิบิวทิลีนซัคชีเนตมีพอลิบิวทิลีนซัคชีเนตกราฟต์ด้วยไกลซิดิลเมทาคริเลต เป็นสารคุ่มควบคุมที่เสริมแรงด้วยออร์แกโนเคลย์ในอัตราส่วน 100:3:6 phr



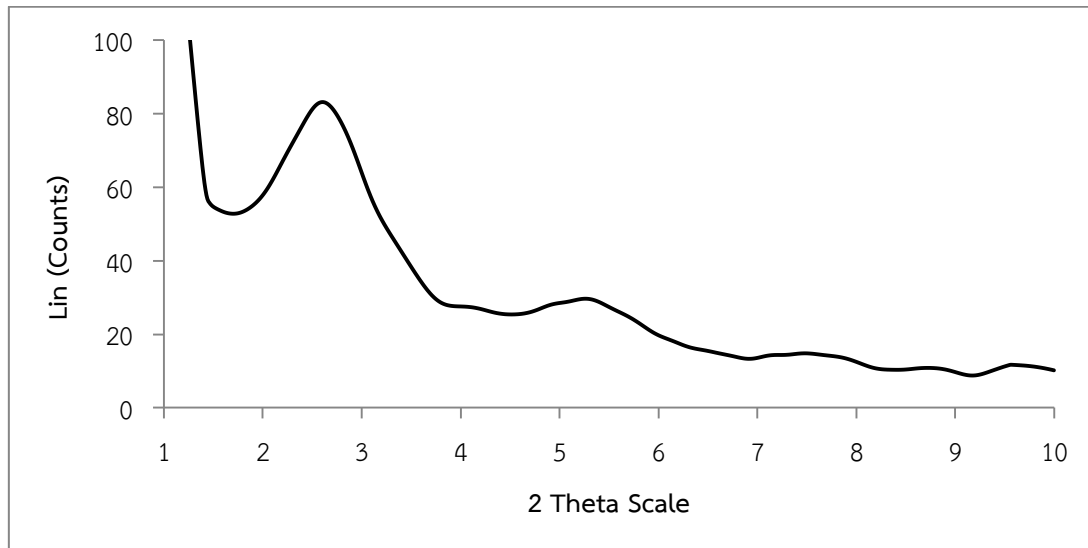
รูปที่ ฉ-15 XRD ดิฟแฟร์กโทแกรมของ PBS/PgG3/O6

16. พอลิเมอร์คอมพอยต์ของพอลิบิวทิลีนซัคชีเนตมีพอลิบิวทิลีนซัคชีเนตกราฟต์ด้วยไกลซิดิลเมทาคริเลต เป็นสารคุ่มควบคุมที่เสริมแรงด้วยออร์แกโนเคลย์ในอัตราส่วน 100:5:6 phr



รูปที่ ฉ-16 XRD ดิฟแฟร์กโทแกรมของ PBS/PgG5/O6

17. พอลิเมอร์คอมโพสิตของพอลิบิวทิลีนซัคชีเนตมีพอลิบิวทิลีนซัคชีเนตกราฟต์ด้วยไกลซิดิลเมทาคริเลต เป็นสารคุ่มควบคุมที่เสริมแรงด้วยออร์แกโนเคลย์ในอัตราส่วน 100:10:6 phr



รูปที่ ฉ-17 XRD ติฟแฟร์กโทแกรมของ PBS/PgG10/O6



ภาคผนวก ช
การวิเคราะห์ข้อมูลทางสถิติ

1. การวิเคราะห์ข้อมูลทางสถิติของพอลิบิวทิลีนซักซิเนตคอมโพสิตที่ขึ้นรูปด้วยเครื่องฉีดพลาสติก
ของ Topfine Precision Machinery Company Ltd. รุ่น A25

ตาราง ช-1-1 การวิเคราะห์ข้อมูลทางสถิติของค่าความหนาแรงดึง

	1	2	3	4	5	6	7	8	9
1	-	0.000	0.000	0.000	0.000	0.000	0.000	0.000	0.262
2	0.000	-	0.000	0.000	0.000	0.000	0.000	0.000	0.000
3	0.000	0.000	-	0.000	0.000	0.000	0.000	0.000	0.000
4	0.000	0.000	0.000	-	0.000	0.000	0.000	0.000	0.000
5	0.000	0.000	0.000	0.000	-	0.000	0.000	0.000	0.000
6	0.000	0.000	0.000	0.000	0.000	-	0.000	0.000	0.000
7	0.000	0.000	0.000	0.000	0.000	0.000	-	0.000	0.000
8	0.000	0.000	0.000	0.000	0.000	0.000	0.000	-	0.000
9	0.262	0.000	0.000	0.000	0.000	0.000	0.000	0.000	-

ตาราง ช-1-2 การวิเคราะห์ข้อมูลทางสถิติของค่ามอตุลสของยัง

	1	2	3	4	5	6	7	8	9
1	-	0.601	0.867	0.001	0.001	0.018	0.000	0.000	0.000
2	0.601	-	0.722	0.005	0.004	0.058	0.000	0.000	0.000
3	0.867	0.722	-	0.002	0.001	0.027	0.000	0.000	0.000
4	0.001	0.005	0.002	-	0.946	0.290	0.000	0.000	0.000
5	0.001	0.004	0.001	0.946	-	0.261	0.000	0.000	0.000
6	0.018	0.058	0.027	0.290	0.261	-	0.000	0.000	0.000
7	0.000	0.000	0.000	0.000	0.000	0.000	-	0.759	0.004
8	0.000	0.000	0.000	0.000	0.000	0.000	0.759	-	0.002
9	0.000	0.000	0.000	0.000	0.000	0.000	0.004	0.002	-

ตาราง ช-1-3 การวิเคราะห์ข้อมูลทางสถิติของค่าความยืดสูงสุด ณ จุดขาด

	1	2	3	4	5	6	7	8	9
1	-	0.977	0.000	0.003	0.000	0.000	0.091	0.000	0.001
2	0.977	-	0.000	0.004	0.000	0.000	0.086	0.000	0.001
3	0.000	0.000	-	0.000	0.171	0.236	0.000	0.000	0.000
4	0.003	0.004	0.000	-	0.000	0.000	0.000	0.002	0.589
5	0.000	0.000	0.171	0.000	-	0.848	0.000	0.000	0.000
6	0.000	0.000	0.236	0.000	0.848	-	0.000	0.000	0.000
7	0.091	0.086	0.000	0.000	0.000	0.000	-	0.000	0.000
8	0.000	0.000	0.000	0.002	0.000	0.000	0.000	-	0.007
9	0.001	0.001	0.000	0.589	0.000	0.000	0.000	0.007	-

ตาราง ช-1-4 การวิเคราะห์ข้อมูลทางสถิติของค่าความหนาแรงดัดคง

	1	2	3	4	5	6	7	8	9
1	-	0.165	0.000	0.000	0.000	0.000	0.000	0.000	0.000
2	0.165	-	0.000	0.000	0.000	0.000	0.000	0.000	0.000
3	0.000	0.000	-	0.000	0.001	0.001	0.000	0.217	0.000
4	0.000	0.000	0.000	-	0.000	0.000	0.000	0.000	0.000
5	0.000	0.000	0.001	0.000	-	0.936	0.000	0.024	0.000
6	0.000	0.000	0.001	0.000	0.936	-	0.000	0.020	0.001
7	0.000	0.000	0.000	0.000	0.000	0.000	-	0.000	0.000
8	0.000	0.000	0.217	0.000	0.024	0.020	0.000	-	0.000
9	0.000	0.000	0.000	0.000	0.000	0.001	0.000	0.000	-

ตาราง ช-1-5 การวิเคราะห์ข้อมูลทางสถิติของค่าความหนาแรงกระแทก

	1	2	3	4	5	6	7	8	9
1	-	0.000	0.000	0.000	0.000	0.000	0.000	0.000	0.000
2	0.000	-	0.000	0.000	0.000	0.000	0.000	0.000	0.000
3	0.000	0.000	-	0.000	0.000	0.000	0.000	0.000	0.000
4	0.000	0.000	0.000	-	0.153	0.000	0.000	0.984	0.000
5	0.000	0.000	0.000	0.153	-	0.000	0.000	0.159	0.000
6	0.000	0.000	0.000	0.000	0.000	-	0.000	0.000	0.000
7	0.000	0.000	0.000	0.000	0.000	0.000	-	0.000	0.000
8	0.000	0.000	0.000	0.984	0.159	0.000	0.000	-	0.000
9	0.000	0.000	0.000	0.000	0.000	0.000	0.000	0.000	-

2. การวิเคราะห์ข้อมูลทางสถิติของพอลิบิวทิลีนซัคชิเนตคอมโพสิตที่ขึ้นรูปด้วยเครื่องฉีดพลาสติกของ Battenfeld Austria รุ่น BA 250/50 CDC

ตาราง ช-2-1 การวิเคราะห์ข้อมูลทางสถิติของค่าความหนาแรงดึง

1	2	3	4	5	6	7	8	9	10	11	12	13	14	15	16	17	18	19	20
1	-	0.000	0.169	0.709	0.000	0.230	0.000	0.000	0.000	0.156	0.000	0.000	0.000	0.000	0.000	0.000	0.000	0.000	0.000
2	0.000	-	0.000	0.000	0.198	0.000	0.000	0.000	0.000	0.000	0.000	0.000	0.000	0.000	0.000	0.000	0.000	0.000	0.000
3	0.169	0.000	-	0.082	0.000	0.011	0.000	0.000	0.000	0.965	0.000	0.000	0.000	0.000	0.000	0.000	0.000	0.000	0.000
4	0.709	0.000	0.082	-	0.000	0.405	0.000	0.000	0.000	0.075	0.000	0.000	0.000	0.000	0.000	0.000	0.000	0.000	0.000
5	0.000	0.198	0.000	0.000	-	0.000	0.000	0.000	0.000	0.005	0.000	0.000	0.000	0.000	0.000	0.000	0.000	0.000	0.000
6	0.230	0.000	0.011	0.405	0.000	-	0.000	0.000	0.000	0.002	0.010	0.000	0.000	0.000	0.000	0.000	0.000	0.000	0.000
7	0.000	0.000	0.000	0.000	0.000	-	0.000	0.000	0.000	0.000	0.000	0.000	0.000	0.000	0.000	0.000	0.000	0.000	0.000
8	0.000	0.000	0.000	0.000	0.000	0.000	-	0.221	0.000	0.000	0.001	0.000	0.000	0.456	0.000	0.000	0.000	0.000	0.000
9	0.000	0.000	0.000	0.000	0.000	0.000	0.221	-	0.000	0.000	0.000	0.000	0.000	0.051	0.000	0.000	0.000	0.000	0.000
10	0.000	0.000	0.000	0.000	0.005	0.002	0.000	0.000	-	0.000	0.000	0.000	0.000	0.000	0.000	0.000	0.000	0.000	0.000
11	0.156	0.000	0.965	0.075	0.000	0.010	0.000	0.000	0.000	-	0.000	0.000	0.000	0.000	0.000	0.000	0.000	0.000	0.000
12	0.000	0.000	0.000	0.000	0.000	0.000	0.001	0.000	0.000	0.000	-	0.000	0.000	0.007	0.000	0.000	0.000	0.000	0.000
13	0.000	0.000	0.000	0.000	0.000	0.000	0.000	0.000	0.000	0.000	0.000	-	0.000	0.000	0.000	0.000	0.000	0.000	0.000
14	0.000	0.000	0.000	0.000	0.000	0.000	0.000	0.843	0.156	0.000	0.000	0.001	0.000	-	0.584	0.000	0.000	0.000	0.000
15	0.000	0.000	0.000	0.000	0.000	0.000	0.456	0.051	0.000	0.000	0.007	0.000	0.000	-	0.000	0.000	0.000	0.000	0.000
16	0.000	0.000	0.000	0.000	0.000	0.000	0.000	0.000	0.000	0.000	0.000	0.000	0.000	-	0.000	0.000	0.000	0.000	0.000
17	0.000	0.000	0.000	0.000	0.000	0.000	0.000	0.000	0.000	0.000	0.000	0.000	0.000	0.000	-	0.000	0.000	0.000	0.000
18	0.000	0.000	0.000	0.000	0.000	0.000	0.000	0.000	0.000	0.000	0.000	0.000	0.000	0.000	-	0.000	0.000	0.000	0.000
19	0.000	0.000	0.000	0.000	0.000	0.000	0.000	0.000	0.000	0.000	0.000	0.000	0.000	0.000	-	0.000	0.000	0.000	0.038
20	0.000	0.000	0.000	0.000	0.000	0.000	0.000	0.000	0.000	0.000	0.000	0.000	0.000	0.000	-	0.000	0.000	0.000	0.038

ตาราง ช-2-5 การวิเคราะห์ข้อมูลทางสถิติของค่าความหนาแรงกระแทก

	1	2	3	4	5	6	7	8	9	10	11	12	13	14	15	16	17	18	19	20
1	-	0.071	0.024	0.081	0.650	0.028	0.000	0.050	0.051	0.001	0.000	0.580	0.000	0.000	0.000	0.168	0.000	0.000	0.000	
2	0.071	-	0.641	0.951	0.025	0.683	0.000	0.870	0.878	0.082	0.000	0.206	0.005	0.003	0.000	0.662	0.000	0.000	0.000	
3	0.024	0.641	-	0.597	0.007	0.954	0.000	0.761	0.754	0.199	0.000	0.085	0.017	0.011	0.000	0.567	0.000	0.000	0.000	
4	0.081	0.951	0.597	-	0.029	0.638	0.000	0.822	0.830	0.072	0.000	0.239	0.004	0.002	0.000	0.707	0.000	0.000	0.000	
5	0.650	0.025	0.007	0.029	-	0.009	0.000	0.016	0.017	0.000	0.000	0.315	0.000	0.000	0.000	0.068	0.000	0.000	0.000	
6	0.028	0.683	0.954	0.638	0.009	-	0.000	0.806	0.798	0.180	0.000	0.096	0.014	0.009	0.000	0.398	0.000	0.000	0.000	
7	0.000	0.000	0.000	0.000	0.000	0.000	-	0.000	0.000	0.000	0.424	0.000	0.000	0.000	0.000	0.000	0.000	0.000	0.000	
8	0.050	0.870	0.761	0.822	0.016	0.806	0.000	-	0.992	0.113	0.000	0.154	0.007	0.005	0.000	0.548	0.000	0.000	0.000	
9	0.051	0.878	0.754	0.830	0.017	0.798	0.000	0.992	-	0.111	0.000	0.157	0.007	0.005	0.000	0.555	0.000	0.000	0.000	
10	0.001	0.082	0.199	0.072	0.000	0.180	0.000	0.113	0.111	-	0.000	0.003	0.255	0.195	0.000	0.030	0.000	0.000	0.000	
11	0.000	0.000	0.000	0.000	0.000	0.000	0.0424	0.000	0.000	0.000	-	0.000	0.000	0.000	0.000	0.000	0.000	0.000	0.000	
12	0.580	0.201	0.085	0.229	0.315	0.096	0.000	0.154	0.157	0.003	0.000	-	0.000	0.000	0.000	0.406	0.000	0.000	0.000	
13	0.000	0.005	0.017	0.004	0.000	0.014	0.000	0.007	0.007	0.255	0.000	0.000	-	0.874	0.000	0.001	0.000	0.000	0.000	
14	0.000	0.008	0.011	0.002	0.000	0.009	0.000	0.005	0.005	0.195	0.000	0.000	0.874	-	0.000	0.001	0.000	0.000	0.000	
15	0.000	0.000	0.000	0.000	0.000	0.000	0.000	0.000	0.000	0.000	0.000	0.000	0.000	0.000	-	0.000	0.000	0.000	0.000	
16	0.168	0.662	0.367	0.707	0.068	0.398	0.000	0.548	0.555	0.030	0.000	0.406	0.001	0.001	0.000	-	0.000	0.000	0.000	
17	0.000	0.000	0.000	0.000	0.000	0.000	0.000	0.000	0.000	0.000	0.000	0.000	0.000	0.000	0.000	-	0.245	0.265	0.534	
18	0.000	0.000	0.000	0.000	0.000	0.000	0.000	0.000	0.000	0.000	0.000	0.000	0.000	0.000	0.000	0.245	-	0.955	0.586	
19	0.000	0.000	0.000	0.000	0.000	0.000	0.000	0.000	0.000	0.000	0.000	0.000	0.000	0.000	0.000	0.268	0.955	-	0.625	
20	0.000	0.000	0.000	0.000	0.000	0.000	0.000	0.000	0.000	0.000	0.000	0.000	0.000	0.000	0.000	0.534	0.586	0.625	-	



ประวัติผู้เขียนวิทยานิพนธ์

นางสาววนาลี ตันศิริ เกิดเมื่อวันที่ 27 มิถุนายน พ.ศ. 2530 สำเร็จการศึกษาระดับปริญญาตรี วิทยาศาสตรบัณฑิต ภาควิชาเคมี คณะวิทยาศาสตร์ จุฬาลงกรณ์มหาวิทยาลัย ในปี การศึกษา 2552 ต่อมาเข้าทำงานในตำแหน่งเจ้าหน้าที่ห้องปฏิบัติการ ที่ศูนย์เทคโนโลยีโลหะและวัสดุแห่งชาติ สำนักงานพัฒนาวิทยาศาสตร์และเทคโนโลยีแห่งชาติ ในปี 2552 หลังจากนั้นเข้าศึกษาต่อในหลักสูตรวิทยาศาสตรมหาบัณฑิต สาขาวิชาวิทยาศาสตร์พอลิเมอร์ประยุกต์และเทคโนโลยีสิ่งทอ ภาควิชาวัสดุศาสตร์ คณะวิทยาศาสตร์ จุฬาลงกรณ์มหาวิทยาลัย ในภาคการศึกษาต้น เมื่อปีการศึกษา 2556 และสำเร็จการศึกษาในภาคปลาย ปีการศึกษา 2557

โดยมีผลงานทางวิชาการ ดังนี้

1. Tansiri, V.; Potiyaraj, P., Compatibilization Efficiency of Reactively Modified Poly(butylene succinate) as a Compatibilizer for Poly(butylene succinate) Composites. Advanced Materials Research 2015, 1119, 288-291.
2. V. Tansiri & P. Potiyaraj, Reactively modified poly(butylene succinate) as a compatibilizer for PBS composites. (Accepted)